

М.С. Захарьевский

**КИНЕТИКА
КАТАЛИЗ**

K.B.1
1963

ЛЕНИНГРАДСКИЙ ОРДЕНА ЛЕНИНА ГОСУДАРСТВЕННЫЙ
УНИВЕРСИТЕТ имени А. А. ЖДАНОВА

М. С. ЗАХАРЬЕВСКИЙ

КИНЕТИКА И КАТАЛИЗ

*Допущено Министерством высшего и среднего специального
образования РСФСР в качестве учебного пособия для университетов*



ИЗДАТЕЛЬСТВО
ЛЕНИНГРАДСКОГО УНИВЕРСИТЕТА
1963

*Печатается по постановлению
Редакционно-издательского Совета
Ленинградского университета*

В книге рассмотрены основные теории химической кинетики и изложены основы гомогенной кинетики в газах и растворах, гетерогенной кинетики, в том числе твердофазных реакций, кинетики цепных реакций, а также теории гомогенного, гетерогенного, ферментативного и фотокатализа.

Книга предназначена для студентов химических факультетов университетов и химических вузов.

*Ответственные редакторы чл.-корр. АН СССР Б. П. Никольский,
канд. хим. наук Д. П. Добычин.*

ПРЕДИСЛОВИЕ

Книга «Кинетика и катализ» является учебным пособием по химической кинетике и катализу и построена на материале общего учебного курса, читаемого автором на протяжении ряда лет студентам дневного и вечернего отделений химического факультета Ленинградского университета.

Входящий в программу основной материал курса напечатан обычным шрифтом, дополнительный материал — петитом, в приложение же вынесены принципиальные в кинетическом и сложные в математическом отношении выводы. Таким образом, по сложности усвоения материал разбит на три части, что, как показал опыт, облегчает усвоение курса студентами при их самостоятельной работе. Основные формулы, неоднократно встречающиеся в тексте, обозначены двойной нумерацией с указанием главы и порядкового номера (например, II, 10), остальные формулы переименованы по порядку без указания глав.

Издание рассчитано в основном на студентов химических факультетов университетов и химических вузов, в связи с чем список литературы ограничен сравнительно легко доступными учебниками, монографиями и сборниками, изданными в Советском Союзе:

Автор считает своим приятным долгом принести благодарность проф. А. В. Сторокинцу, материалами которого автор частично воспользовался, акад. А. Н. Теренину, проф. Р. Л. Мюллеру, проф. С. А. Щукареву и проф. М. Е. Позину за ряд ценных советов при подготовке рукописи, акад. А. А. Балаидину, чл.-корр. АН СССР проф. Б. П. Никольскому, проф. О. М. Тодесу, канд. хим. наук Д. П. Добычину, канд. хим. наук А. И. Русанову, канд. физ.-мат. наук Г. А. Корсуновскому за ряд замечаний по рукописи.

ВВЕДЕНИЕ

Кинетикой химических реакций называется учение о закономерностях, управляющих скоростью течения данного процесса в зависимости от различных условий его протекания, учение о скоростях химических реакций.

Содержание химической кинетики составляют два основных раздела: а) формально математическое описание скорости реакции без учета механизма самой реакции (математическое выражение процесса в целом), так называемая *формальная кинетика*; б) учение о механизме химического взаимодействия как *теория химической кинетики*. Последнее является основным и наиболее существенным в кинетике.

Скорость процесса химического взаимодействия зависит от условий, в которых протекает реакция. В соответствии с тем, в какой фазе протекает реакция, отличают кинетику газовых реакций, кинетику реакций в растворах (в жидкой фазе) и кинетику реакций в твердой фазе.

В зависимости от того, в каких системах протекают реакции, они могут быть гомогенными и гетерогенными. *Гомогенными* называются реакции, протекающие в однородной среде (например, в смеси реагирующих газов или в растворе), *гетерогенными* — реакции, протекающие в неоднородной среде, на поверхности соприкосновения взаимодействующих веществ, находящихся в разных фазах (например, твердой и жидкой, газообразной и жидкой и т. п.).

В системах, в которых протекает последовательно несколько процессов, скорость всего процесса в целом определяется наиболее медленной так называемой *определяющей стадией*. Если определяющей стадией является сам акт химического взаимодействия и процесс подвода и отвода компонентов реакции не влияет на ее скорость, то говорят, что реакция протекает в кинетической области. Здесь величина скорости реакции

определяется кинетическими законами собственно химической стадии процесса. Могут встречаться реакции, в которых определяющей стадией является подвод реагирующего вещества, а не сам акт химического взаимодействия. В этом случае процесс протекает в диффузионной области, и скорость всего процесса определяется законами диффузии. Далее, могут быть случаи, когда скорость реакции и диффузии соизмеримы. Скорость всего процесса тогда является сложной функцией кинетических и диффузионных явлений, и процесс протекает в переходной области.

Скорость химической реакции зависит от концентрации реагирующих веществ и наличия или отсутствия катализаторов — ускорителей реакции. В связи с этим реакции подразделяются на каталитические и некаталитические. Наконец, реакции могут идти как только с участием валентно-насыщенных молекул или ионов — так называемые нецепные реакции, — так и с участием свободных радикалов или атомов. В последнем случае реакции идут по цепному механизму и относятся к классу цепных реакций. В зависимости от условий протекания реакции механизм кинетических процессов меняется. Поэтому для различных условий течения реакции характерны специфически различные кинетические законы. Это приводит к необходимости разделения кинетики на разделы: кинетика некаталитических и каталитических реакций. Каждая из этих глав может быть в свою очередь разделена на кинетику нецепных реакций и кинетику цепных реакций. Нецепные и цепные реакции могут быть как гомогенными, так и гетерогенными. Кинетика гомогенных реакций объединяет кинетику газовых реакций и кинетику реакций в растворах. Специфика гетерогенных реакций зависит как от фазового состояния системы, так и от того, в какой области (кинетической, диффузионной или переходной) протекает реакция.

Часть I
КИНЕТИКА

ГЛАВА I

ФОРМАЛЬНАЯ КИНЕТИКА

§ 1. Основные положения и понятия кинетики

Основной величиной химической кинетики является скорость химической реакции. За скорость химической реакции принимают величину, пропорциональную производной от количества реагирующего вещества по времени (т. е. величину, характеризующую изменение количества вещества в единицу времени) или при постоянном объеме системы — от производной концентрации по времени (т. е. изменение концентрации в единицу времени)

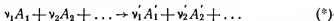
$$v = f \frac{dc}{dt}.$$

В подавляющем большинстве случаев (но не всегда) скорость, концентрацию и время выражают в одной и той же системе единиц. Тогда $f = 1$ и

$$v = - \frac{dc}{dt} \quad \text{или} \quad v = + \frac{dx}{dt},$$

где c — концентрация исходного вещества; x — концентрация продукта реакции.

Напишем стехиометрическое уравнение реакции



Если за время dt исчезло dA_1 вещества A_1 , то вещества A_2 уменьшилось на $\frac{\nu_2}{\nu_1} dA_1$, вещества A'_1 увеличилось на $\frac{\nu'_1}{\nu_1} dA_1$, вещества A'_2 — на $\frac{\nu'_2}{\nu_1} dA_1$ и т. д. Поделив количество вещества на объем смеси, найдем изменение объемных концентраций всех реагирующих веществ

$$\frac{dA_2}{v} = dc_2 = \frac{\nu_2}{\nu_1} dc_1, \quad \frac{dA'_1}{v} = dc'_1 = \frac{\nu'_1}{\nu_1} dc_1, \quad \frac{dA'_2}{v} = dc'_2 = \frac{\nu'_2}{\nu_1} dc_1.$$

$$-\frac{dc_1}{dt} = -\frac{\nu_1}{\nu_2} \frac{dc_2}{dt} = \frac{\nu_1}{\nu_1} \frac{dc_1'}{dt} = \frac{\nu_1}{\nu_2} \frac{dc_2}{dt}.$$

Таким образом, скорости изменения концентраций всех реагирующих веществ связаны между собой, и скорость всего процесса можно измерить по изменению концентрации только одного из реагирующих веществ.

Выражая скорость реакции через концентрации веществ, исчезающих в процессе реакции, следует писать

$$v = -\frac{dc}{dt},$$

тогда как для веществ, образующихся в процессе реакции,

$$v = \frac{dx}{dt}.$$

Реакции, протекающие в одну сторону, можно классифицировать следующим образом:

1) по порядку уравнения для скорости реакции — по порядку реакции. *Порядком реакции* называется сумма показателей степеней в кинетическом уравнении реакции;

2) по числу частиц, принимающих участие в элементарном акте, — по *молекулярности реакции*.

Порядок и молекулярность реакции совпадают только в случае простых реакций, протекающих в соответствии с уравнением реакций. В подавляющем большинстве случаев, даже у сравнительно простых реакций, молекулярность реакции и порядок ее не совпадают. Объясняется это тем, что стехиометрическое уравнение реакции, описывающее процесс в целом, не в состоянии отразить истинного механизма реакции, протекающей, как правило, в особенности у сложных реакций, через ряд последовательных стадий.

Скорость реакций зависит от числа встреч реагирующих частиц в единицу времени, частота встреч пропорциональна произведению концентраций реагирующих веществ.

Если бы реакции протекали в один этап, то скорость реакции была бы пропорциональна концентрации реагирующих веществ в степенях, показатели которых соответствовали бы стехиометрическим коэффициентам уравнения реакции. Так, для реакции (*) скорость реакции должна была бы быть равна

$$-\frac{dc}{dt} = kc_1^{\nu_1} c_2^{\nu_2} \dots, \quad (1,1)$$

здесь k — константа скорости реакции (удельная скорость реакции), т. е. скорость, отнесенная к единице концентраций.

В действительности, однако, большинство реакций протекает через ряд последовательных стадий, причем скорость всей реакции в целом определяется скоростью самой медленной стадии.

Так как в уравнение (I, 1) входят концентрации исходных веществ, а не промежуточных продуктов, участвующих в самой медленной стадии, то показатели степени в уравнении (I, 1) обычно не равны стехиометрическим коэффициентам и могут быть как целыми, так и дробными.

Уравнение, связывающее скорость реакции с концентрациями реагирующих веществ, называется *кинетическим уравнением реакции*; для реакции (*) кинетическое уравнение будет

$$v = kc_1^{n_1} c_2^{n_2} \dots \quad (I, 2)$$

Порядок этой реакции $n = n_1 + n_2 + \dots$

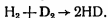
Реакции могут быть нулевого, первого, второго, третьего, а также дробного порядка. Дробный порядок наблюдается у сложных реакций, протекающих через промежуточные стадии, т. е. имеющих более одного элементарного акта. В реакциях нулевого порядка скорость реакции постоянна во времени

$$v = \text{const} = kc^0 = kx^0.$$

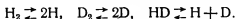
Это наблюдается в таких гетерогенных реакциях, в которых скорость подвода реагирующего вещества во много раз больше скорости химического взаимодействия.

Несоответствие между химическим и кинетическим уравнениями объясняется тем, что химическое уравнение является результирующим ряда промежуточных реакций, а в кинетическое уравнение входят концентрации исходных веществ. Скорость же реакции зависит от скорости наиболее медленных промежуточных стадий. Поэтому кинетическое уравнение является сложной функцией стехиометрических уравнений ряда промежуточных стадий данной реакции.

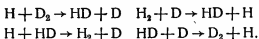
Несоответствие между порядком и молекулярностью реакции наблюдается даже у простых реакций, как, например,



Реакция эта бимолекулярна, сумма стехиометрических коэффициентов равна двум, и реакция должна была бы идти по второму порядку. Опыт, однако, показывает, что порядок этой реакции равен 3/2. Реакция обмена водорода с дейтерием идет в несколько стадий. Первая стадия — диссоциация молекул — протекает быстро, с установлением равновесия между молекулами и атомами



Реакции между атомами и молекулами идут медленно, и их скорость определяет суммарную скорость процесса



Скорость реакции в целом равна (с учетом одной из медленных реакций)

$$v = k [H] [D_2],$$

но

$$\frac{[H]^2}{[H_2]} = k',$$

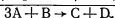
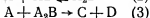
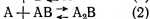
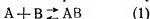
где k' — константа равновесия, поэтому

$$v = k \sqrt{k'} [H_2]^{1/2} [D_2].$$

Процессами рекомбинации атомов в молекулу можно пренебречь, так как концентрации атомов водорода и дейтерия ничтожно малы и скорость рекомбинации практически равна нулю.

Под реакциями рекомбинации понимаются реакции образования молекулы из атомов, из атомов и радикалов или из радикалов. При этом реакции рекомбинации с участием только атомов отличаются от реакций рекомбинации с участием радикалов. Первые, как будет показано ниже, могут протекать только при тройных соударениях с молекулой или на поверхности твердого тела. Реакции рекомбинации с участием радикалов в принципе не отличаются от реакций присоединения с участием молекул.

Если реакция протекает через ряд стадий, в которых участвуют одни и те же молекулы, причем предыдущие стадии идут быстро, с установлением равновесия, а последняя медленно, то порядок реакции может быть выше третьего. Схематически такая реакция может быть изображена следующим образом:



Скорость всей реакции в целом определяется скоростью последней — самой медленной стадии $v = k[A][A_2B]$, где k — константа скорости этой стадии.

Концентрация промежуточного вещества A_2B может быть выражена через концентрации исходных веществ, учитывая, что в (1) и (2) быстро протекающих стадиях устанавливается равновесие

$$\frac{[AB]}{[A][B]} = K'_p, \quad \frac{[A_2B]}{[AB][A]} = K''_p,$$

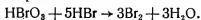
где K'_p и K''_p — константы равновесия.

С учетом этих равенств

$$[A_2B] = K'_p K''_p [A]^2 [B]$$

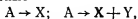
$$v = k K'_p K''_p [A]^3 [B] = k_3 [A]^3 [B].$$

Здесь k_s — экспериментальная константа скорости, порядок же такой реакции равен четырем. Так, например, по четвертому порядку протекает реакция

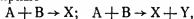


По молекулярности реакции могут подразделяться на моноби- и тримолекулярные. Последние вследствие малой вероятности тройных соударений встречаются редко. Реакций дробной молекулярности быть не может. Классификация реакций по их молекулярности:

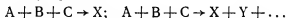
а) мономолекулярные



б) бимолекулярные



в) тримолекулярные

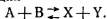


Реакций с молекулярностью более чем три не бывает, так как вероятность одновременного столкновения более трех молекул практически равна нулю.

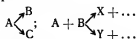
Если механизм реакции включает только один элементарный акт, то порядок и молекулярность реакции совпадают. У сложных реакций порядок будет зависеть от молекулярности отдельных стадий. В кинетике таких реакций возможно существование трех типов различных уравнений: стехиометрического уравнения реакции, кинетического уравнения, связывающего скорость всего процесса в целом с концентрациями исходных веществ, и ряда уравнений молекулярности, т. е. стехиометрических уравнений элементарных актов взаимодействия.

В зависимости от механизма реакции могут быть подразделены на простые и сложные. К простым реакциям относятся реакции, протекающие в одном направлении и включающие один химический этап. Сложные реакции подразделяются следующим образом:

1. Обратимые реакции



2. Параллельные реакции



В случае параллельных реакций скорость всего процесса будет определяться в первую очередь скоростью наиболее быстрой его стадии.

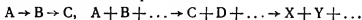
3. Сопряженные реакции



Сопряженные реакции открыты и подробно исследованы в 1905 г. Н. А. Шнловым. Они характеризуются тем, что одна из них, например реакция (а), идет самопроизвольно, тогда как другая, например (б), только в присутствии первой. Так, перекись водорода окисляет соли двухвалентного железа, но не окисляет раствора нодистого водорода. В присутствии же ионов двухвалентного железа перекись водорода окисляет растворы нодистого водорода.

Вещество А, участвующее в обеих реакциях, называется *актором*; вещество В, легко реагирующее с А и индуцирующее реакцию (б), называется *индуктором*; вещество С — *акцептором*. Идущая самопроизвольно реакция (а) называется *первичной*, индуцируемая реакция (б) — *вторичной*.

4. Последовательные реакции



В последовательных реакциях скорость всего процесса будет определяться скоростью самой медленной стадии.

Формальная кинетика рассматривает процесс, не интересуясь механизмом реакции, чисто количественно описывает результат всех стадий, всех превращений, результат всей реакции в целом. Поэтому конечной задачей формальной кинетики является составление уравнения для расчета константы скорости данной реакции, т. е. уравнения, позволяющего в любой момент времени рассчитать скорость реакции как функцию концентраций. Для этого необходимо определить порядок реакции по отношению к каждому из реагирующих веществ, составить дифференциальное уравнение для скорости реакции и проинтегрировать его. Составление дифференциального кинетического уравнения — задача физико-химическая, требующая знания порядка реакции. Интегрирование дифференциального уравнения — задача чисто математическая.

Для составления кинетического уравнения определяют экспериментальную зависимость концентраций одного из реагирующих веществ от времени (кривую концентрация — время), после чего одним из описанных ниже способов вычисляют порядок реакции.

Метод Вант-Гоффа. Реагирующие вещества берут в одинаковых концентрациях. Определяют скорость реакции при двух различных концентрациях (в различные моменты времени)

$$-\frac{dc_1}{dt} = kc_1^n; \quad -\frac{dc_2}{dt} = kc_2^n; \quad \frac{v_1}{v_2} = \left(\frac{c_1}{c_2}\right)^n;$$

$$n = \frac{\lg v_1 - \lg v_2}{\lg c_1 - \lg c_2}.$$

Скорость можно определить по кривой концентрации — время методом графического дифференцирования или же заменив в числителе производные конечными разностями.

Графический метод нахождения скоростей v_1 и v_2 , соответствующих концентрациям C_1 и C_2 , приведен на рис. 1.

Определение порядка реакции n по времени полупревращения τ . Временем полупревращения (периодом полураспада) называется время, в течение которого концентрация реагирующего вещества уменьшается вдвое. Для реакций различных порядков зависимость времени полупревращения от начальной концентрации реагирующих веществ различна. Здесь следует рассмотреть 2 случая.

а) Реакции первого порядка $n=1$.

$$\frac{dx}{dt} = k(a-x)$$

$$-\ln(a-x) = kt + \text{const.}$$

При $t=0$, $x=0$ $\text{const} = -\ln a$.

Поэтому для реакций первого порядка

$$k = \frac{1}{t} \ln \frac{a}{a-x}.$$

При $t=\tau$, $x=\frac{a}{2}$

$$\tau = \frac{1}{k} \ln 2,$$

т. е. период полупревращения для реакций первого порядка не зависит от начальной концентрации.

б) Если реакция не первого порядка, т. е. $n \neq 1$, и реагирующие вещества взяты в равных начальных концентрациях, то

$$\frac{dx}{dt} = k(a-x)^n, \quad \frac{dx}{(a-x)^n} = k dt,$$

$$kt = -\frac{(a-x)^{1-n}}{1-n} + \text{const.}$$

При $t=0$, $x=0$ $\text{const} = \frac{a^{1-n}}{1-n}$,

откуда

$$k = \frac{(a-x)^{1-n} - a^{1-n}}{(n-1)t}.$$

При $t=\tau$ $x=\frac{a}{2}$, откуда

$$\tau_n = \frac{2^{n-1} - 1}{k(n-1)a^{n-1}}. \quad (1,3)$$

n и k в одной и той же реакции постоянны. Для двух различных начальных концентраций a_1 и a_2 период полупревращения

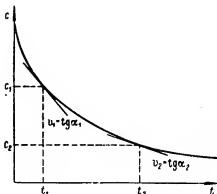


Рис. 1.

различен, так как он обратно пропорционален начальной концентрации в степени $n - 1$.

$$\frac{\tau_1}{\tau_2} = \left(\frac{a_2}{a_1} \right)^{n-1}, \quad n = \frac{\lg \tau_1 - \lg \tau_2}{\lg a_2 - \lg a_1} + 1. \quad (I, 4)$$

Таким образом, определив по экспериментальным кривым концентрация — время (см. рис. 1) время полупревращения для двух различных начальных концентраций, можно по формуле (I, 4) вычислить порядок реакции. Более точно можно определить порядок реакции, если определить период полупревращения при нескольких разных начальных концентрациях. Порядок реакции, как это видно из уравнения (I, 3), равен тангенсу угла наклона прямой плюс единица в координатах $\lg t$ и $\lg a$.

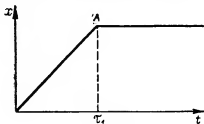


Рис. 2.

Обозначим время, необходимое для полного превращения реагирующего вещества, через τ_1 , и время, в течение которого реагирует $3/4$ количества исходного вещества, через $\tau_{3/4}$. Нетрудно показать, что для реакции первого порядка $\tau_{3/4} = \frac{1}{2} \tau_1$ и что для всех реакций, у которых порядок больше или равен единице, $\tau_1 = \infty$. Если, однако, порядок меньше единицы, то τ_1 конечно. Так, например, для реакции нулевого порядка

$$\frac{dx}{dt} = k(a - x)^0 = k \text{ и } x = kt.$$

График изменения концентрации продукта реакции от времени представлен на рис. 2. Реакция течет с постоянной скоростью до полного истощения реагирующего вещества в системе. Обозначим запас вещества в системе через M . Точка A отвечает моменту завершения реакции $\tau_1 = \frac{M}{k}$.

Докажем, что для реакции дробного порядка τ_1 также конечно. Пусть порядок реакции $n = \frac{1}{m}$, где $m > 1$.

$$-\frac{dc}{dt} = kc^{\frac{1}{m}}.$$

После интегрирования

$$a^{1+\frac{1}{m}} - c^{1+\frac{1}{m}} = kt \left(1 + \frac{1}{m} \right).$$

При $c = 0$ τ_1 конечно и равно

$$\tau_1 = \frac{ma^{1+\frac{1}{m}}}{(m+1)k}.$$

Метод Оствальда - Нойеса. Этот метод применяется для определения порядка реакции по отношению к каждому из реагирующих веществ. Пусть в реакцию вступают вещества А, В и С, причем

$$-\frac{dc_1}{dt} = kc_1^{n_1}c_2^{n_2}c_3^{n_3},$$

где c_1 , c_2 и c_3 — концентрации веществ А, В и С. Определяют одним из описанных выше методов порядок n_1 по отношению к веществу А при избытке веществ В и С, затем n_2 при избытке А и С и, наконец, n_3 при избытке А и В. Значительный избыток концентраций всех реагирующих веществ, кроме одного, позволяет считать концентрации этих веществ постоянными в процессе реакции. Например, при избытке веществ В и С кинетическое уравнение реакции может быть записано в следующем виде

$$-\frac{dc_1}{dt} = k'c_1^{n_1},$$

т. е. скорость реакции зависит только от концентрации вещества А.

Как указывалось выше, для определения порядка реакции необходимо экспериментально определить изменение концентрации одного из реагирующих веществ (исходных или продуктов реакции) во времени в процессе течения реакции. Измерение концентрации может быть произведено или химико-аналитическим путем или с помощью физико-химических методов. Перед проведением химического анализа необходимо применить «закалку» — например охлаждение реакционной смеси, для того чтобы скорость реакции уменьшилась и за время отбора пробы и производства анализа концентрации практически не менялись бы. Так, например, при изучении кинетики гидролиза сложных эфиров (этилацетата, метилацетата и др.) в водных растворах проба реакционной смеси отбирается через определенные промежутки времени, переносится в колбу с охлажденной водой, после чего титруется щелочью.

При изучении кинетики газовых реакций применяют метод струи, сочетая его с «закалкой». Так, например, при изучении кинетики разложения аммиака на водород и азот аммиак пропускается через реактор, а затем через холодильник. После охлаждения смесь водорода, азота и аммиака поглощается титрованным раствором кислоты, из которой отбираются пробы для определения содержания аммиака (рис. 3). Время реакции равно времени нахождения аммиака в реакторе.

Значительно чаще применяют физико-химические методы определения концентрации веществ. Преимуществами их является: возможность непрерывного анализа смеси без отбора проб, возможность в ряде случаев определения концентрации при температуре реакции, измерение концентрации высокоактивных и

короткоживущих веществ (атомов, радикалов) и, наконец, возможность раздельного определения концентраций близких по химическому составу веществ, как, например, оптических изомеров. Для физико-химического анализа применимо любое физическое свойство, меняющееся с изменением концентрации вещества. Для реакций, сопровождающихся изменением объема, как, например, разложение аммиака, разложение карбонатов или оксалатов, измеряют объем газовых продуктов реакции. Для растворов измеряют изменение объема реакционной смеси в процессе реакции, как, например, при изучении кинетики гидролиза сахарозы dilatометрическим методом.

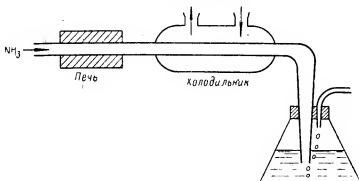


Рис. 3.

Широко применяют оптические методы: спектроскопию, спектрофотометрию, измерение показателя преломления, для оптически активных веществ — полярометрический метод. При изучении реакций в растворах электролитов пользуются методом электропроводности, при изучении изотопного обмена и механизма реакции применяют метод меченых атомов. Для исследования быстрых реакций применяют метод измерения скорости распространения и коэффициента поглощения звука и в особенности ультразвука. При изучении скорости рекомбинации атомов используют метод раздельного калориметрирования (А. А. Ковальский, 1946). В ряде случаев, как, например, изучение быстрых реакций или рекомбинации атомов, химико-аналитические методы вообще неприменимы.

§ 2. Простые реакции

Реакции первого порядка $A \rightarrow B + C$. В простых реакциях первого порядка скорость реакции пропорциональна концентрации реагирующего вещества

$$v = \frac{dx}{dt} = - \frac{dc}{dt} = k_1 c.$$

Здесь x — количество прореагировавшего вещества в единице объема в момент времени t , c — концентрация реагирующего вещества.

$$k_1 dt = -d \ln c, \quad k_1 t = -\ln c + \text{const} \\ \text{при } t=0 \quad \text{const} = -\ln a,$$

где a — начальная концентрация реагирующего вещества. Отсюда

$$k_1 t = \ln \frac{a}{c} = \ln \frac{a}{a-x}, \quad x = a(1 - e^{-k_1 t}), \\ c = a e^{-k_1 t},$$

концентрация исходного вещества в реакции первого порядка убывает по экспоненциальному закону.

Размерность константы скорости первого порядка $[k_1] = [t^{-1}]$ и, следовательно, величина константы скорости первого порядка не зависят от размерности, в которой выражаются концентрации. Изменение концентрации реагирующего c и образующего x в процессе реакций веществ во времени показано на рис. 4.

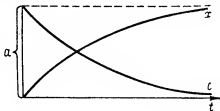
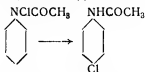


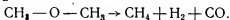
Рис. 4.

Приведем примеры реакции первого порядка:

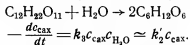
1. Реакции изомеризации, например превращение ацетохлоранилида в параклорацетоанилид



2. Разложение паров простых эфиров, например паров диметилового эфира



3. Псевдомономолекулярные реакции, т. е. реакции, в которых концентрация одного из реагирующих веществ во много раз меньше остальных. Примером таких реакций является реакция инверсии тростникового сахара в водных растворах



Реакции второго порядка $A + B \rightarrow X + Y$. У реакций второго порядка скорость пропорциональна произведению концен-

траций реагирующих веществ. При этом могут быть два случая: начальные концентрации реагирующих веществ равны или же не равны.

Если начальные концентрации реагирующих веществ равны между собой, то

$$\frac{dx}{dt} = k_2(a-x)^2, \quad k_2 t = \frac{1}{a-x} + \text{const.}$$

При $t = 0$ $x = 0$ и $\text{const} = -\frac{1}{a}$, поэтому окончательно

$$k_2 = \frac{x}{at(a-x)}, \quad x = \frac{k_2 a^2 t}{1 + k_2 a t}, \quad c = \frac{a}{1 + k_2 a t}.$$

Если начальные концентрации реагирующих веществ не равны, то

$$\frac{dx}{dt} = k_2(a-x)(b-x), \quad k_2 dt = \frac{dx}{a-b} \left(\frac{1}{b-x} - \frac{1}{a-x} \right),$$

$$k_2 t = \frac{1}{a-b} [\ln(a-x) - \ln(b-x)] + \text{const.}$$

При $t = 0$ $x = 0$ и $\text{const} = \frac{1}{a-b} \ln \frac{b}{a}$, следовательно,

$$k_2 = \frac{1}{t(a-b)} \ln \frac{b(a-x)}{a(b-x)}.$$

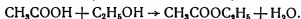
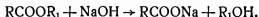
Размерность константы скорости будет

$$[k_2] = [t^{-1} M^{-1} L^3].$$

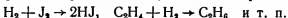
У реакций второго порядка величина константы скорости зависит от выбора единиц, в которых выражается концентрация.

Примеры реакций второго порядка:

1. Омыление сложных эфиров и этерификация.



Многие реакции простых молекул в газовой среде



Реакции третьего порядка. Для реакций третьего порядка скорость реакции пропорциональна произведению концентраций трех реагирующих веществ, причем их начальные концентрации могут быть равны или не равны друг другу.

Если начальные концентрации всех реагирующих веществ равны, т. е. $a = b = c$, то

$$\frac{dx}{dt} = k_3(a-x)^3,$$

откуда

$$k_3 t = \frac{1}{(a-x)^2} + \text{const.}$$

Тип реакции	Соотноше- ние началь- ных концен- траций	Скорость реакции	Константа скорости реакции
$A \rightarrow X + \dots$		$\frac{dx}{dt} = k_1(a-x)$	$k_1 = \frac{1}{t} \ln \frac{a}{a-x}$
$A + B \rightarrow X + \dots$	$a \gg b$	$\frac{dx}{dt} \approx k_2 a(b-x)$	$k_2 = \frac{1}{at} \ln \frac{b}{b-x}$
$A + B + C \rightarrow X + \dots$	$a, b \gg c$	$\frac{dx}{dt} = k_3 ab(c-x)$	$k_3 = \frac{1}{tab} \ln \frac{c}{c-x}$
$A + B \rightarrow X + \dots$		$\frac{dx}{dt} = k_2(a-x)(b-x)$	$k_2 = \frac{1}{t(a-b)} \ln \frac{b(a-x)}{a(b-x)}$
$A + B + C \rightarrow X + \dots$	$a \gg b, c$	$\frac{dx}{dt} \approx k_3 a(b-x)(c-x)$	$k_3 = \frac{1}{at(b-c)} \ln \frac{c(b-x)}{b(c-x)}$
$2A \rightarrow X + \dots$		$\frac{dx}{dt} = k_2(a-x)^2$	$k_2 = \frac{x}{at(a-x)}$
$A + B \rightarrow X + \dots$	$a = b$	$\frac{dx}{dt} = k_3(a-x)^2$	$k_3 = \frac{1}{2t} \left[\frac{1}{(a-x)^2} - \frac{1}{a^2} \right]$
$3A \rightarrow X + \dots$	$a = b = c$		
$A + B + C \rightarrow X + \dots$		$\frac{dx}{dt} = k_3(a-x)(b-x)(c-x)$	$k_3 = \frac{1}{t} \left[\frac{1}{(a-b)(c-a)} \ln \frac{a}{a-x} + \frac{1}{(a-b)(b-c)} \times \right.$ $\times \ln \frac{b}{b-x} + \frac{1}{(b-c)(c-a)} \ln \frac{c}{c-x} \left. \right]$
$A + B + C \rightarrow X + \dots$	$a = b$	$\frac{dx}{dt} = k_3(a-x)^2(c-x)$	$k_3 = \frac{1}{t(c-a)^2} \left[\frac{(c-a)x}{a(a-x)} + \ln \frac{(a-x)c}{(c-x)a} \right]$
$2A + C \rightarrow X + \dots$		$\frac{dx}{dt} = k_3(a-2x)^2(c-x)$	$k_3 = \frac{1}{t(a-2c)^2} \left[\frac{(2c-a)2x}{a(a-2x)} + \ln \frac{(a-2x)c}{(c-x)a} \right]$

При $t=0$ $x=0$ и $\text{const} = -\frac{1}{2a^2}$, значит

$$k_3 = \frac{x(2a-x)}{2ta^2(a-x)^2}.$$

Если начальные концентрации всех реагирующих веществ не равны, то

$$\frac{dx}{dt} = k_3(a-x)(b-x)(c-x),$$

и после интегрирования

$$k_3 = \frac{1}{t} \left[\frac{1}{a'b'} \ln \frac{a}{a-x} + \frac{1}{a'b'} \ln \frac{b}{b-x} + \frac{1}{b'c'} \ln \frac{c}{c-x} \right],$$

где $a' = a - b$, $b' = b - c$, $c' = c - a$.

Размерность константы скорости таких реакций

$$[k_3] = [t^{-1} M^{-2} L^6].$$

В общем случае для реакции n -го порядка

$$[k_n] = [t^{-1} M^{-(n-1)} L^{3(n-1)}].$$

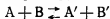
В табл. 1 представлены различные типы простых реакций, а также уравнения для скорости и константы скорости этих реакций.

§ 3. Сложные реакции

Сложными реакциями называются реакции, протекающие: в разные стороны — обратимые реакции; в одну сторону, но в нескольких направлениях — параллельные реакции; в несколько стадий — последовательные реакции и, наконец, сопряженные реакции, о которых говорилось выше.

В основе кинетики сложных реакций лежит принцип независимости различных реакций. По этому принципу, если в системе протекает несколько реакций, каждая из них протекает независимо от другой и каждая подчиняется закону действия масс. Полное изменение системы является суммой изменений, внесенных всеми этими независимыми реакциями. Математически это означает, что кинетическое уравнение сложной реакции является алгебраической суммой кинетических уравнений составляющих ее простых реакций. Простые реакции, входящие в состав сложных реакций, могут быть разных порядков. Рассмотрим только такие реакции, в которых порядок простых реакций одинаков.

Обратимые реакции. В уравнения обратимых реакций входят две независимых величины: константы скорости прямой и обратной реакции. Поэтому для вычисления константы скорости прямой или обратной реакции необходимо иметь экспериментальные данные (концентрацию, время), позволяющие вычислить равновесную концентрацию реагирующего вещества. В реакции



скорость прямой реакции

$$v_1 = - \frac{d[A]}{dt} = k_1 [A] [B],$$

скорость обратной реакции

$$v_2 = + \frac{d[A]}{dt} = k_2 [A'] [B'].$$

Суммарная скорость процесса v на основании принципа независимости различных реакций равна разности скоростей прямой и обратной реакции

$$v = v_1 - v_2 = k_1 [A] [B] - k_2 [A'] [B'].$$

В момент равновесия скорость процесса равна нулю и, следовательно,

$$\frac{k_1}{k_2} = \frac{[A'] [B']}{[A] [B]} = K.$$

Здесь K — константа равновесия. Таким образом,

$$K = \frac{k_1}{k_2} \quad \text{и} \quad k_1 = K k_2.$$

Обратимые реакции могут быть различных порядков. Рассмотрим реакции первого и второго порядка.

Обратимые реакции первого порядка $A \rightleftharpoons B$. К обратимым реакциям первого порядка принадлежат взаимные превращения изомеров, например α - и β -пентацетатов d -глюкозы, d -ментона и l -ментона, тиоционата аммония и тиомочевинный



Если a и b начальные концентрации веществ A и B и x — концентрация прореагировавшего за время t вещества, то

$$\begin{aligned} \frac{dx}{dt} &= k_1(a-x) - k_2(b+x) = (k_1 + k_2) \left(\frac{k_1 a - k_2 b}{k_1 + k_2} - x \right) = \\ &= (k_1 + k_2)(D - x), \end{aligned}$$

где

$$D = \frac{k_1 a - k_2 b}{k_1 + k_2}$$

постоянная не зависящая от времени величина,

$$\frac{dx}{D-x} = (k_1 + k_2) dt, \quad (k_1 + k_2)t + \text{const} = -\ln(D-x).$$

При $t=0$, $x=0$, $\text{const} = -\ln D$

$$k_1 + k_2 = \frac{1}{t} \ln \frac{D}{D-x};$$

$$k_2 = \frac{1}{t(K+1)} \ln \frac{Ka-b}{Ka-b-(K+1)x}.$$

Обратимые реакции второго порядка $A+B \rightleftharpoons A'+B'$. Примером реакции подобного типа могут служить реакции омыления сложных эфиров и этерификации. Формула скорости реакции для данного случая будет иметь следующий вид:

$$\frac{dx}{dt} = k_1(a-x)(b-x) - k_2(c+x)(d+x),$$

здесь a , b , c и d — начальные концентрации реагирующих веществ. Обозначим через x_0 количество вещества в единице объема, прореагировавшего к моменту наступления равновесия. Тогда

$$K = \frac{k_1}{k_2} = \left(\frac{x_0}{a-x_0} \right)^2.$$

Положим для упрощения $a = b$ и $c = d = 0$. Тогда скорость реакции

$$\begin{aligned} \frac{dx}{dt} &= k_1(a-x)^2 - k_2x^2 = (k_1 - k_2) \left(x^2 - \frac{2k_1a}{k_1 - k_2}x + \frac{k_1a^2}{k_1 - k_2} \right) = \\ &= k_2(K-1) \left[x^2 - \frac{2Ka}{K-1}x + \frac{Ka^2}{K-1} \right] = k_2(K-1)(m_1-x)(m_2-x), \end{aligned}$$

где m_1 и m_2 — корни квадратного уравнения в скобках, равные

$$m_1 = \frac{a\sqrt{K}}{\sqrt{K}+1}; \quad m_2 = \frac{a\sqrt{K}}{\sqrt{K}-1}.$$

После интегрирования получаем

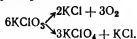
$$\ln \frac{m_2-x}{m_1-x} = (m_2-m_1)(K-1)k_2t + \text{const.}$$

Так как при $t=0$ $x=0$, то $\text{const} = \ln \frac{m_2}{m_1}$.

Поэтому окончательно

$$k_2 = \frac{1}{t(K-1)(m_2-m_1)} \ln \frac{m_1(m_2-x)}{m_2(m_1-x)} = \frac{1}{2at\sqrt{K}} \ln \frac{a\sqrt{K}-x(\sqrt{K}-1)}{a\sqrt{K}-x(\sqrt{K}+1)}.$$

Параллельные реакции. Примером односторонних параллельных реакций, т. е. реакций, протекающих одновременно в нескольких направлениях, может служить идущее при умеренном нагревании разложение бертолетовой соли на хлористый калий, кислород и перхлорат калия



Особенно часто параллельные реакции встречаются в органической химии: получение орто-, мета- и параизомеров при нитровании фенолов, трех нитробензойных кислот при нитровании бензойной кислоты и т. д.

Параллельные реакции первого порядка

$\begin{matrix} & 1 \\ & \nearrow \\ A & \rightarrow B \\ & \searrow \\ & C \end{matrix}$

Согласно принципу независимости протекания различных реакций, скорости первой и второй реакции не зависят друг от друга. Течение каждой из этих реакций (а следовательно, и ее скорость) не зависит от наличия другой реакции

$$v_1 = \frac{dx_1}{dt} = k_1(a - x), \quad v_2 = \frac{dx_2}{dt} = k_2(a - x),$$

где x_1 и x_2 — количества вещества, прореагировавшие за время t в первой и второй реакции соответственно.

Общее количество вещества А, исчезнувшего к моменту времени t , равно сумме убыли этого вещества в параллельных реакциях

$$x = x_1 + x_2, \quad dx = dx_1 + dx_2.$$

Отсюда следует, что общая скорость параллельной реакции равна сумме скоростей отдельных реакций

$$v = \frac{dx}{dt} = \frac{dx_1}{dt} + \frac{dx_2}{dt} = v_1 + v_2 = k_1(a - x) + k_2(a - x) = k(a - x).$$

Суммарная константа скорости превращения исходного вещества равна сумме констант скоростей отдельных параллельных реакций.

Наконец, в параллельных реакциях первого порядка отношение количеств прореагировавшего (или образовавшегося в результате реакции) в каждой из параллельных реакций вещества в любой момент времени постоянно и равно отношению констант скоростей отдельных реакций. Это правило вытекает из отношения скоростей отдельных параллельных реакций

$$\frac{dx_1}{dx_2} = \frac{v_1}{v_2} = \frac{k_1(a - x)}{k_2(a - x)} = \frac{k_1}{k_2} = \text{const} = k',$$

и, следовательно,

$$\frac{x_1}{x_2} = \frac{k_1}{k_2} = \text{const} \quad x_1 = k' x_2$$

для любого момента времени и для любой скорости превращения исходного вещества.

При изучении параллельных реакций определяют сумму констант скоростей по убыли вещества и по отношению концентраций образовавшихся веществ — отношение констант скоростей

$$\frac{k_1}{k_2} = \frac{x_1}{x_2}, \quad \frac{k_2}{k_3} = \frac{x_2}{x_3} \text{ и т. д.}$$

После чего находят величины констант скорости и отдельных реакций.

Параллельные реакции второго порядка



Для этих реакций, так же как и для реакций первого порядка, общее количество прореагировавшего вещества равно сумме количества веществ, прореагировавших в каждой из отдельных реакций.

$$\begin{aligned} x &= x_1 + x_2, \\ v &= \frac{dx_1}{dt} + \frac{dx_2}{dt} = \\ &= k_1(a-x)(b-x) + k_2(a-x)(b-x) = k(a-x)(b-x) \end{aligned}$$

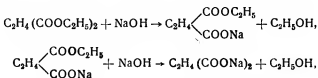
и

$$\frac{x_1}{x_2} = \frac{k_1}{k_2} = \text{const.}$$

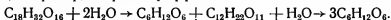
Аналогичный результат можно получить и для параллельных реакций любого порядка, если все они имеют один и тот же порядок.

Таким образом, у параллельных реакций скорость и константа скорости реакции равны сумме скоростей и констант скорости отдельных параллельных реакций, а отношение количеств исходного вещества, прореагировавшего в каждой из параллельных реакций за одно и то же время, есть величина постоянная и равна отношению констант скоростей этих реакций.

Последовательные реакции. К последовательным реакциям можно отнести омыление эфиров двухосновных кислот щелочью, как, например, омыление янтарноэтилового эфира едким натром



и гидролиз трисахаридов в присутствии кислот или ферментов, как, например, гидролиз раффиноз



Простейшим типом последовательных реакций является последовательная реакция первого порядка $A \xrightarrow{k_1} B \xrightarrow{k_2} C$, причем $k_1 \neq k_2$. Обозначим через a начальное количество исходного вещества A , через x — количество его, прореагировавшее за время t , через y — количество промежуточного вещества B , прореагировавшего за время t , т. е. количество образовавшегося продукта C . Тогда в момент времени t концентрации исходного, про-

межуточного вещества и продукта реакции будут соответственно равны

$$[A] = a - x, \quad [B] = x - y, \quad [C] = y, \quad (1)$$

скорость первой реакции превращения исходного вещества будет

$$v_1 = \frac{dx}{dt} = k_1(a - x) \quad \text{и} \quad x = a(1 - e^{-k_1 t}), \quad (2)$$

скорость образования продукта реакции

$$v_2 = \frac{dy}{dt} = k_2(x - y). \quad (3)$$

Подставляя в уравнение (3) значение x из уравнения (2), получаем дифференциальное уравнение типа уравнений Лейбница

$$\frac{dy}{dt} + k_2 y = k_2 a (1 - e^{-k_1 t}).$$

Решение этого уравнения дает (см. приложение 1)

$$y = a \left(1 - \frac{k_2}{k_2 - k_1} e^{-k_1 t} + \frac{k_1}{k_2 - k_1} e^{-k_2 t} \right), \quad (4)$$

$$x - y = \frac{k_1 a}{k_2 - k_1} (e^{-k_1 t} - e^{-k_2 t}). \quad (5)$$

Уравнение (5) дает зависимость концентрации промежуточного вещества от времени.

Изменения концентраций исходного А, промежуточного В и конечного вещества С во времени представлены на рис. 5. Как видно из рис. 5, концентрация промежуточного вещества сначала возрастает, достигает максимального значения и затем убывает.

Время достижения максимальной концентрации промежуточного продукта t_{\max} зависит только от констант скорости промежуточных реакций, т. е. от природы реагирующих веществ, и не зависит от их концентраций. Чтобы найти t_{\max} , дифференцируем по t концентрацию промежуточного продукта из уравнения (5) и, приравняв производную нулю, решаем полученное уравнение относительно времени

$$\frac{k_1 a}{k_2 - k_1} (k_2 e^{-k_2 t_{\max}} - k_1 e^{-k_1 t_{\max}}) = 0,$$

откуда

$$t_{\max} = \frac{\ln k_1 - \ln k_2}{k_1 - k_2}.$$

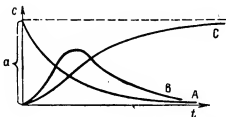


Рис. 5.

Обозначим отношение констант скоростей второй и первой реакции через

$$r \equiv \frac{k_2}{k_1},$$

тогда

$$t_{\max} = -\frac{\ln r}{k_1(1-r)},$$

и максимальная концентрация промежуточного продукта

$$(x-y)_{\max} = \frac{k_1 a}{k_1 r - k_1} (e^{-k_1 t_{\max}} - e^{-k_2 t_{\max}}) = \frac{a}{r-1} \left(e^{-\frac{\ln r}{1-r}} - e^{-\frac{r \ln r}{r-1}} \right).$$

Таким образом, наибольшая концентрация промежуточного вещества не зависит от величин констант скоростей, а зависит только от их отношения и начальной концентрации исходного вещества. Чем больше константа скорости первой реакции и чем меньше константа скорости второй реакции, тем больше максимальная величина концентрации промежуточного продукта в момент времени t_{\max} . Напротив, если константа второй реакции значительно больше константы скорости первой реакции, то максимальная концентрация промежуточного продукта будет близка к нулю. При малых отношениях $\frac{k_1}{k_2}$ кривая образования промежуточного продукта реакции В лежит практически на оси абсцисс. Аналитически промежуточный продукт реакции не обнаруживается в течение некоторого времени, называемого *скрытым периодом образования вещества*, или *периодом индукции*. Скрытый период наиболее ярко выражен в том случае, если в реакции существует несколько промежуточных стадий. Как видно из рис. 5, кривая образования конечного продукта С имеет точку перегиба, совпадающую по времени с моментом максимального накопления промежуточного продукта.

При любом соотношении констант скоростей образования и распада промежуточного вещества скорость его образования в начале реакции всегда больше скорости распада (при условии, конечно, что в начальный момент времени концентрация промежуточного продукта равна нулю). В момент достижения максимальной концентрации промежуточного продукта скорости его образования и распада сравниваются. В дальнейшем скорость распада промежуточного вещества становится больше скорости его образования и поэтому концентрация его падает. Объясняется это тем, что в начальные моменты времени мала концентрация промежуточного вещества, в конечные же — исходного.

Уравнения последовательных реакций второго и дробных порядков обычно не рассматриваются формальной кинетикой

в силу математических трудностей, возникающих при интегрировании дифференциальных уравнений.

Сопряженные реакции. Как указывалось выше, сопряженными называются такие сложные реакции, в которых одна реакция идет только в присутствии другой. К сопряженным относятся параллельно-последовательные реакции, протекающие через общие активные промежуточные продукты. В сопряженных реакциях промежуточное вещество первичной реакции является связующим звеном в обеих реакциях. Вторичная реакция начинается с взаимодействия промежуточного вещества первичной реакции с исходным веществом вторичной.

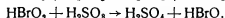
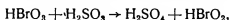
Схематически сопряженные реакции могут быть изображены следующим образом



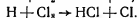
В первичной реакции (I) A — актор, B₁ — нидуктор, X — активное промежуточное вещество, B₂ — акцептор во вторичной (нн-дицируемой реакции). Одно из исходных веществ может быть одинаковым в первичной и вторичной реакции. Так, например, в реакциях



вторичная реакция (б) не идет без первичной (а), хотя в обеих реакциях участвует одно и то же реагирующее вещество — бромоватая кислота. Объясняется это тем, что мышьяковистая кислота окисляется не непосредственно бромоватой кислотой, а промежуточными веществами первичной реакции — бромистой и бромоватистой кислотами, образующимися в результате реакций



Реакция между хлором и водородом в темноте при температуре 150—250° С практически не идет, но идет в присутствии паров металлического натрия



Непосредственно с водородом реагирует не молекула хлора, а продукт первичной реакции — атом хлора, образующийся также в процессе течения вторичной реакции.

Могут быть сопряженные реакции, в которых все исходные реагирующие вещества различны. Например, N-карбобензокс-аминнокислоты не реагируют непосредственно с эфирами аминокислот с образованием пептидной связи, но реакция идет в при-

сутствии дициклогексилкарбодиимида, реагирующего с водой с образованием дициклогексилмочевины.

Кинетические уравнения сопряженных реакций (I) и (II) следующие:

$$\begin{aligned}-\frac{d[A]}{dt} &= -\frac{d[B_1]}{dt} = k_1 [A] [B_1], \\ \frac{d[X]}{dt} &= k_1 [A] [B_1] - k_2 [B_2] [X], \\ -\frac{d[B_2]}{dt} &= \frac{d[C]}{dt} = k_2 [B_2] [X].\end{aligned}$$

Эта система нелинейных уравнений в общем виде не решается. Для приближенного решения применяют метод квазистационарных состояний Боденштейна—Семенова.* Сущность его состоит в том, что в последовательных реакциях, при времени большем, чем время достижения максимальной концентрации промежуточного продукта, концентрация его меняется мало, наступает стационарное состояние, т. е. $\frac{d[X]}{dt} \approx 0$. Это выполняется тем точ-

нее, чем более активно промежуточное вещество, т. е. чем больше k_2 по сравнению с k_1 , и, следовательно, чем ближе к нулю t_{\max} . Это позволяет исключить концентрации высокоактивных, не поддающихся измерению промежуточных продуктов. Так, в данной системе уравнений при

$$\begin{aligned}\frac{d[X]}{dt} &= 0, \quad X = \frac{k_1 [A] [B_1]}{k_2 [B_2]}, \\ -\frac{d[B_2]}{dt} &= \frac{d[C]}{dt} = -\frac{d[A]}{dt} = k_1 [A] [B_1].\end{aligned}$$

Если промежуточное вещество реагирует не только с акцептором, но и с индуктором, то уравнения усложняются, но и в этом случае можно, применяя метод стационарных состояний, упростить кинетические уравнения, исключив из них концентрации высокоактивных промежуточных веществ. Количественно индуцирующее действие может быть охарактеризовано коэффициентом индукции F .

$$F = \frac{\text{Убыль акцептора}}{\text{Убыль индуктора}} = \frac{\text{Убыль актора}}{\text{Убыль промежуточного вещества}}.$$

Если $F \gg 1$, то реакция является каталитической или неразветвленной цепной реакцией; если $0 < F < 1$ — сопряженной реакцией, если же $F < 0$, т. е. концентрация индуктора или промежуточного продукта возрастает, то это характерно для разветвленных цепных процессов.

* О применении метода стационарных состояний, а также меченых атомов к изучению механизма реакций см.: Н. Н. Семенов. ЖФХ, 17, 1943; М. Б. Нейман. ЖФХ, 28, 1954; М. Б. Нейман и Г. И. Феклясов. ДАН СССР, 140, 1953; Д. А. Франк-Каменецкий. Усп. химии, 10, 1941.

Отличие индукции от катализа в том, что катализатор не расходуется и не может служить источником свободной энергии. В сопряженных реакциях продукты индуцируемой реакции могут образовываться с концентрациями, значительно превышающими термодинамически равновесные, т. е. индуцируемая реакция может идти с приростом свободной энергии, т. е. при $\Delta\Phi > 0$. При катализе реакция всегда идет с уменьшением свободной энергии $\Delta\Phi < 0$. Источником энергии для индуцируемой реакции служит индуцирующая реакция, идущая с уменьшением свободной энергии, при $\Delta\Phi' < 0$, причем $|\Delta\Phi'| > |\Delta\Phi|$. Сопряженные реакции имеют большое значение для аналитической химии.

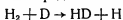
§ 4. Влияние температуры на скорость реакции

Обычно при повышении температуры скорость химической реакции увеличивается. Встречаются, однако, и такие реакции (среди тримолекулярных), у которых константа скорости уменьшается с ростом температуры.

Влияние температуры на скорость химической реакции количественно может быть охарактеризовано, в узком интервале температур, величиной температурного коэффициента константы скорости реакции. *Температурным коэффициентом скорости реакции* γ называется отношение констант скорости реакции при двух температурах, отличающихся на 10° ,

$$\gamma = \frac{k_{t+10}}{k_t}.$$

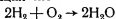
Для подавляющего большинства реакций температурный коэффициент скорости реакции больше 1, причем величина его может изменяться в широких пределах. Например, для реакции



при 727°C $\gamma = 1,04$, для реакции



при 37°C $\gamma = 12,5$, реакция же



при 300°C без катализатора практически не идет, при 600°C эта реакция протекает мгновенно — со взрывом. У многих реакций в растворах, при комнатной температуре, а также у ряда реакций в газовой фазе, протекающих при более высоких температурах, повышение температуры на 10° вызывает возрастание скорости реакции в 2—4 раза (правило Вант-Гоффа).

Примеры реакций, подчиняющихся этому приближенному эмпирическому правилу, приведены в табл. 2.

Увеличение скорости реакции в 2—4 раза при увеличении температуры на 10° не может быть объяснено только увеличением

Таблица 2

Реакция	Фаза	Интервал температур, °C	γ
$H_2 + J_2 \rightarrow 2HJ$	Газовая фаза	283—393	2,5
$CH_3N \rightarrow NCH_3 \rightarrow C_2H_6 + N_2$	Газовая фаза	290—330	1,9
$2N_2O_5 \rightarrow 2N_2O_4 + O_2$	Газовая фаза	0—65	3,8
$CH_3COOC_2H_5 + NaOH \rightarrow C_2H_5OH + CH_3COONa$	Водный раствор	10—45	1,9
Инверсия тростникового сахара	Водный раствор	25—55	3,6
$C_2H_5ONa + CH_3I \rightarrow NaI + CH_3OC_2H_5$	Раствор в этиловом спирте	10—40	3,34

числа столкновений молекул за счет увеличения их средней скорости движения с температурой. Так, для реакции между водородом и йодом повышение температуры на 10° при $327^\circ C$ увеличивает среднюю скорость движения, а следовательно, и общее число столкновений молекул в 1,01 раза.

$$\frac{\bar{u}_1}{\bar{u}_2} = \frac{\sqrt{\frac{3RT_1}{M}}}{\sqrt{\frac{3RT_2}{M}}} = \sqrt{\frac{610}{600}} \approx 1,01.$$

Объяснение больших величин температурного коэффициента дано теорией активных столкновений Аррениуса.

ЛИТЕРАТУРА

- Г. М. Панченков, В. П. Лебедев. Химическая кинетика и катализ. Изд-во МГУ, 1961.
 В. Н. Коидратьев. Кинетика химических газовых реакций. М., Изд-во АН СССР, 1958.
 А. В. Раковский. Химическая кинетика и катализ. М.—Л., Госхимиздат, 1932.
 Уч. зап. МГУ, вып. 174. Изд-во МГУ, 1955.
 М. Ф. Нагиев. Основы химической кинетики промышленных систем. Баку, Изд-во АН Азербайдж. ССР, 1950.
 Н. М. Родигни, Э. Н. Родигниа. Последовательные химические реакции. М., Изд-во АН СССР, 1960.
 А. И. Бродский. Химия изотопов. М., Изд-во АН СССР, 1957.
 Катализ. Исследование гетерогенных процессов. М., ИЛ, 1956.
 Цепные реакции окисления углеводов в газовой фазе. М., Изд-во АН СССР, 1950.
 И. М. Кольтоф, В. А. Стенгер. Объемный анализ, гл. VIII. М.—Л., Госхимиздат, 1950.

ГЛАВА II

ТЕОРИИ КИНЕТИКИ

Задачей теорий кинетики является объяснение влияния различных факторов на скорость реакции (в первую очередь влияния температуры) и расчет константы скорости, а тем самым и скорости химической реакции. В первой теории кинетики — теории Аррениуса — объясняется влияние температуры на скорость реакции и рассчитывается зависимость константы скорости от температуры.

§ 5. Теория активных столкновений Аррениуса

Большие величины температурного коэффициента скорости реакции, а также несоответствие между общим числом столкновений реагирующих молекул и скоростью реакции позволили Аррениусу сформулировать его теорию активных столкновений. Подсчеты показывают, что если бы все столкновения молекул реагирующих веществ вызывали реакции, то реакций либо совершенно не могло быть, либо они протекали бы со сверхвзрывной скоростью.

Так, например, в реакции



при $T = 700^\circ \text{K}$ общее число столкновений в $1 \text{ см}^3/\text{сек}$ равно приблизительно $2 \cdot 10^{28}$, и если бы все сталкивающиеся молекулы реагировали, то при давлении в 1 атм реакция почти закончилась бы за время 10^{-10} сек . В действительности реакция протекает в $2,5 \cdot 10^{14}$ раза медленнее. Это указывает на то, что только незначительная часть столкновений молекул реагирующих веществ приводит к реакции. Согласно Аррениусу, всякая реакция протекает через промежуточную стадию, связанную с образованием особой модификации — активных молекул.

Нормальные молекулы $\xrightleftharpoons{1}$ Активные молекулы $\xrightarrow{2}$ Продукт реакции

Первый процесс протекает значительно быстрее второго, и поэтому в процессе течения реакции между нормальными и активными молекулами все время сохраняется равновесие.*

К равновесию между нормальными и активными молекулами можно применить термодинамическое уравнение изохоры реакции

$$\frac{d \ln K}{dT} = \frac{q}{RT^2}, \quad (6)$$

где K — константа равновесия между нормальными и активными молекулами, а q — тепловой эффект процесса перехода нормальных молекул в активные, так называемая теплота активации

$$K = \frac{[\text{Активная модификация}]}{[\text{Инертная модификация}]}.$$

Как указывалось выше, только ничтожная доля столкновений приводит к реакции. Следовательно, концентрация активных молекул мала и составляет ничтожную долю концентрации инертных молекул. Поэтому можно не учитывать изменение концентрации инертных молекул за счет перехода их в активные и считать, что концентрация инертных молекул равна общей концентрации c . Общая концентрация молекул c не зависит от температуры. Поэтому если положить $c = \text{const}$ и учесть, что концентрация активных молекул $c_a = Kc$, то после дифференцирования получим

$$\frac{d \ln c_a}{dT} = \frac{d \ln K}{dT} = \frac{q}{RT^2},$$

откуда, считая, что теплота активации не зависит от температуры,

$$c_a = B e^{-\frac{q}{RT}}, \quad (7)$$

где B — постоянная интегрирования.

Процесс активации обычно протекает значительно быстрее процесса химического взаимодействия. Наиболее медленная стадия (процесс взаимодействия) и будет в этом случае определять скорость реакции в целом

$$v = -\frac{dc_a}{dt} = k_a c_a = k_a K c.$$

Здесь k_a — константа скорости процесса взаимодействия активных молекул. Выражая концентрацию активных молекул как функцию температуры из уравнения (7), получим

$$v = k_a c_a = k_a B e^{-\frac{q}{RT}} = k_a c,$$

* Схема Аррениуса принимается и в настоящее время, но под активными молекулами понимают не особую химическую модификацию, а обычные молекулы, обладающие повышенной энергией. Иными словами, первая стадия схемы Аррениуса есть не что иное, как отражение наличия статистического равновесия между молекулами со средней и повышенной энергиями.

где

$$k_2 = k_a e^{-\frac{q}{RT}} \quad (8)$$

— экспериментально определяемая константа скорости реакций, следовательно,

$$\frac{d \ln k_2}{dT} = \frac{q}{RT^2}. \quad (11,5)$$

Уравнение (11, 5) представляет собой уравнение Аррениуса в дифференциальной форме. Хотя уравнение Аррениуса по форме тождественно с уравнением изохоры, не следует забывать различия в величинах K и k_2 . Уравнение Аррениуса показывает зависимость константы скорости реакции от температуры и справедливо только в том случае, когда процесс химического взаимодействия значительно медленнее процесса установления статистического равновесия.

Экспоненциальный вид зависимости константы скорости реакции от температуры объясняет большие величины температурных коэффициентов скоростей реакции.

Из формулы (8) видно, что логарифм экспериментально определяемой константы скорости является линейной функцией обратной температуры при условии, что теплота активации не зависит от температуры

$$\ln k_2 = \ln k_a - \frac{q}{R} \frac{1}{T} = A - \frac{q}{R} \frac{1}{T}, \quad (9)$$

где $A = \ln k_a$ — постоянная. Это дает возможность экспериментально определять теплоту активации, измеряя константу скорости при различных температурах. Измерив константу скорости при двух температурах T_1 и T_2 , можно вычислить, применяя уравнение (9), теплоту активации

$$\ln \frac{k'_2}{k_2} = \frac{q}{R} \left(\frac{1}{T_2} - \frac{1}{T_1} \right),$$

где k'_2 и k_2 — константа скорости при температурах T_1 и T_2 . Более точно значения теплоты активации можно получить, если измерить константу скорости при нескольких температурах и отложить на графике $\lg k_2$ в функции от обратной температуры. Тангенс угла наклона прямой в координатах $\lg k_2$ и $\frac{1}{T}$ равен,

как это следует из уравнения (9), $\frac{q}{4,576}$ (рис. 6), откуда $q = 4,576 \lg \alpha$.

Из (8) следует, что температурный коэффициент скорости реакции будет тем больше, чем больше теплота активации, и тем меньше, чем выше температура реакции. В самом деле, из (8) следует, что

$$\lg \tau = \frac{10q}{2,3 \cdot R \cdot T(T+10)} \approx \frac{10q}{2,3 \cdot R T^2}.$$

Правило Вант-Гоффа, как это видно из уравнения Аррениуса, строго говоря, не является правилом. Появление правила Вант-Гоффа во многом объясняется тем, что в XIX в. экспериментально обычно изучались реакции, у которых энергия активации меняется в сравнительно узких пределах (20 000—

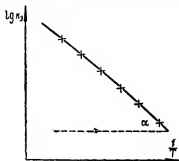


Рис. 6.

40 000 кал/моль). Температуры, при которых проводились эти реакции, были не слишком высокими (273—700° K), температурный же интервал — сравнительно узким. С понижением температуры скорость реакции сильно падает, доходя в некоторых случаях практически до нуля.

Так, например, разложение иодистого водорода идет с измеримой скоростью при 280° C. При 100° C скорость разложения резко падает, период полураспада становится равным $3 \cdot 10^6$ лет.

При температуре же 0° C период полураспада возрастает до 10^{17} лет, т. е. реакция практически не идет, хотя система не находится в термодинамическом равновесии. Процесс может идти самопроизвольно. Но этому препятствует большой энергетический барьер (большое значение q). В случаях, подобных описанному, система находится в состоянии ложного равновесия и, будучи выведена из этого состояния самопроизвольно, перейдет с преодолением энергетического барьера в состояние истинного равновесия.

§ 6. Теория бинарных столкновений

Задачей теории бинарных соударений является расчет константы скорости по экспериментальным данным теплоты активации. Для решения этой задачи необходимо найти общее число столкновений и долю активных соударений, т. е. соударений, приводящих к реакции.

Химическая кинетика исследует неравновесные состояния, процессы и системы, в которых протекают химические превращения. В обратимых реакциях кинетика изучает стадии процесса до наступления момента равновесия. Даже в тех случаях, когда химическое равновесие отсутствует, для любого момента времени существует статистическое равновесие между молекулами, т. е. равновесие между молекулами со средней и повышенной энергией. На рис. 7 показано максвелл-больцмановское распре-

деление молекул по энергиям. Молекулы, для которых $E \gg q$ (заштрихованная область), являются реакционноспособными. Реакции протекают благодаря наличию активных молекул. На рис. 8 показано изменение энергии реагирующей системы. Здесь область I — исходные молекулы, II — активные частицы, III — продукты реакции, q — теплота активации, Q — теплота реакции. Избыточная по сравнению со средним значением энергия необходима для преодоления сил отталкивания электронных облаков сталкивающихся молекул, а тем самым необходима для разрыва или ослабления связей в молекулах реагирующих веществ (энергия активации). Под энергией активации понимают минимальное значение суммарной энергии сталкивающихся молекул, которая обеспечивает вступление их в реакцию между собой.

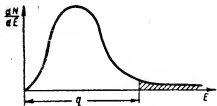


Рис. 7.

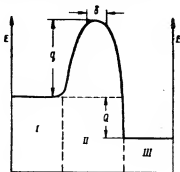


Рис. 8.

Чтобы вычислить долю активных столкновений, необходимо определить, что такое энергия активации и какова ее связь с теплотой активации. Всякая элементарная реакция складывается из трех этапов: активирование путем столкновения двух частиц, химическое превращение активных частиц и, наконец, возможно дезактивирование активной частицы — отдача ею части энергии неактивной частице. Последнее осуществляется также путем бинарного соударения активной и неактивной частиц.

Активирование осуществляется путем соударения молекул. Само протекание реакции, возможность ее осуществления обусловлены столкновением активных частиц. Столкновения как неактивных, так и активных частиц, как правило, являются бинарными вследствие малой вероятности тройных соударений.

Избыточная энергия для осуществления реакции необходима потому, что для реакции необходимо преодолеть отталкивание электронных облаков реагирующих молекул. Это приводит к деформации электронного облака, отдалению его от ядра, более близкого к приближающейся молекуле. Отдаление электронного облака от приближающейся молекулы вызывает увеличение рас-

стояний между ядрами, т. е. ослабление связи между ними, увеличение потенциальной энергии.

Теория столкновений основана на двух предпосылках:

1) на наличии в системе активных молекул, возникающих за счет неактивных столкновений по законам статистического распределения энергии;

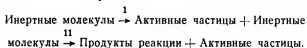
2) на том, что осуществление реакции возможно только в результате столкновения активных молекул.

Под активными молекулами понимают в настоящее время не особую химическую модификацию, а частицы, обладающие избыточным запасом энергии, достаточным для преодоления энергетического барьера реакции, т. е. обладающие энергией, достаточной для преодоления энергии отталкивания электронных облаков сталкивающихся молекул.

В реакциях могут встретиться два случая.

Во-первых, активированными частицами являются молекулы с избыточной энергией (т. е. энергия столкновения их больше или равна энергии активации). Активные и неактивные молекулы сосуществуют в максвелл-больцмановском равновесии. Скорость реакции значительно меньше скорости релаксации (процесса восстановления равновесия). В этом случае скорость всего процесса в целом будет определяться концентрацией активных молекул, которая может быть вычислена по законам статистического (максвелл-больцмановского) распределения.

Во-вторых, активными частицами являются химически отличные частицы: ионы, атомы, радикалы. В этом случае образование активных частиц происходит не за счет статистического равновесия, а за счет других процессов: ионизации, диссоциации, образования радикалов и т. д. Схематически этот процесс может быть представлен так:



В таких реакциях концентрация активных частиц, как, например, атомов или радикалов, в процессе течения реакции может значительно превосходить при данной температуре равновесную. Скорость реакции здесь больше скорости релаксации. Активные частицы возникают за счет самой реакции (энергии отдельных ее стадий), и статистическое распределение к процессу в целом уже неприменно. Подобного рода механизм в особенности характерен для цепных реакций.

Теория столкновений рассматривает только первый тип реакций. Выводы теории столкновений используются и в теории цепных реакций; однако с помощью этой теории без дополнительных предпосылок нельзя объяснить цепного механизма.

Конечной задачей теории бинарных соударений является вычисление константы скорости реакции, а следовательно, и

скорости реакции при данной концентрации реагирующих веществ. Константа скорости реакции непосредственно связана с числом столкновений активных молекул. Вследствие наличия статистического равновесия между активными и инертными молекулами активные молекулы составляют какую-то определенную часть, долю от общего числа молекул. Следовательно, зная величину этой доли и общее число столкновений, можно вычислить число активных соударений. Первой задачей теории бинарных соударений и является вычисление общего числа столкновений частиц в единице объема за единицу времени.

Из кинетической теории газов следует, что общее число столкновений (см. приложение 2) частиц газа равно

$$z = 2 \frac{v_1 v_2}{\sigma_{12}} \left(\frac{2\pi kT}{\mu} \right)^{1/2} r_{12}^2. \quad (II,6)$$

Число же активных столкновений z_a равно

$$z_a = ze^{-\frac{\epsilon_*}{kT}}. \quad (II,7)$$

Здесь v_1 и v_2 — число молекул первого и второго сорта, заключенных в единице объема; σ_{12} — коэффициент симметрии, $\sigma_{12} = 2$, если молекулы одинаковые, и $\sigma_{12} = 1$, если молекулы не тождественны; r_{12} — сумма радиусов сталкивающихся частиц; μ — приведенная масса

$$\frac{1}{\mu} = \frac{1}{m_1} + \frac{1}{m_2},$$

где m_1 и m_2 — массы молекул; k — постоянная Больцмана; ϵ_* — энергия активации, рассчитанная на одну молекулу. Если обозначить энергию активации одного моля через E , то очевидно, что

$$E = N\epsilon_*,$$

где N — число Авогадро.

§ 7. Активные столкновения

Суммарная энергия двух сталкивающихся частиц может складываться из кинетической энергии их движения и их внутренней энергии (колебательной, вращательной, электронной).

Если реакция совершается в самый момент соударения, то энергия внутренних колебаний атомов в молекуле не успевает возбудиться. Кинетическая энергия столкновения сразу переходит в энергию ослабления или разрыва нужной связи, т. е. при активном столкновении реагируют обе столкнувшиеся молекулы. реакция неотделима от активного столкновения. В таком случае число активных столкновений можно определить по числу реагирующих в единицу времени молекул. Если же реагируют молекулы сложного строения, то энергия столкновения должна

перейти в энергию внутренних колебаний атомов в молекуле и перераспределиться по связям, для того чтобы начали колебаться атомы именно по той связи, которая должна подвергнуться разрыву. Процесс миграции энергии по связям, постепенного возбуждения колебаний каждой связи требует времени. Поэтому если реагируют сложные молекулы, то химическое превращение наступает после активирующего столкновения, когда молекулы разойдутся одна от другой. Здесь число активирующих столкновений не равно числу реагирующих молекул, так как часть активных молекул может дезактивироваться, не успев прореагировать, потеряв часть энергии при столкновении с неактивной молекулой.

Под активными столкновениями целесообразно понимать именно такие столкновения, которые завершаются химическим превращением. Определить, что именно следует понимать под активными столкновениями, можно, если сопоставить рассчитанную (см. ниже) и экспериментально определенную константу скорости. Для возможности проведения подобных расчетов следует исходить из столкновений без учета внутренней энергии, так как именно в этом случае число активных столкновений равно числу актов химического превращения, т. е. скорости реакции.

Рассмотрим столкновения частиц без учета их внутренней энергии. Значением внутренней энергии можно пренебречь в тех случаях, когда реакция происходит непосредственно в момент столкновения. Кинетическая энергия при столкновении сразу переходит в энергию разрыва реакционно-чувствительной связи (связи, разрыв или ослабление которой приводит к реакции), не перераспределяясь по другим связям. Подобного рода реакции осуществимы при столкновении простых молекул, состоящих из небольшого числа атомов, они протекают по бимолекулярному механизму. Кинетическая энергия движения двух частиц равна сумме кинетических энергий их относительного движения и движения центра тяжести. Кинетическая энергия движения центра тяжести не может перейти в энергию разрыва связи. Энергия связи атомов в молекуле не может измениться от того, с какой скоростью движется в пространстве центр тяжести молекулы. Поэтому при столкновении двух частиц химическое превращение может зависеть только от кинетической энергии их относительного движения.

Активными столкновениями могут быть такие, у которых вся кинетическая энергия относительного движения превышает некоторое минимально-необходимое значение, или же только такие, у которых составляющая кинетической энергии относительного движения вдоль линии центров сталкивающихся молекул больше энергии активации. Сопоставление теоретических расчетов с опытом показывает, что при первой предпосылке активной оказывается только незначительная часть (несколько процентов) соударений, тогда как во втором случае все соударения за-

канчиваются химическим превращением (см. ниже). Естественно, что целесообразнее считать активными столкновениями такие и только такие, у которых составляющая кинетической энергии относительного движения вдоль линии центров превышает величину энергии активации (или равна ей).

Найдем зависимость между числом столкновений, кинетическая энергия относительного движения которых превышает заданное значение (числом активных столкновений), и константой скорости бимолекулярных реакций. При этом рассмотрим два случая:

а) будем считать активными столкновениями такие, при которых составляющая кинетической энергии относительного движения вдоль линии центров превышает заданное значение;

б) примем за активные столкновения такие, у которых вся кинетическая энергия относительного движения превышает заданное значение.

Рассмотрим сначала первый случай. Число столкновений в единице объема за единицу времени, для которых составляющая кинетической энергии относительного движения вдоль линии центров превышает заданное значение ϵ^* , дается уравнением (II,7). Число столкновений частиц с энергией, заключенной в пределах $\epsilon_0, \epsilon_0 + d\epsilon_0$, найдем, продифференцировав выражение (II,7). Число столкновений с составляющей кинетической энергии вдоль линии центров, лежащей в интервале $\epsilon_0, \epsilon_0 + d\epsilon_0$, равно

$$dz_a = ze^{-\frac{\epsilon_0}{kT}} \frac{d\epsilon_0}{kT}, \quad \epsilon_0 = \frac{1}{2} \mu R^2,$$

где R — составляющая относительной скорости вдоль линии центров сталкивающихся частиц.

Обозначим через \bar{k} долю столкновений, завершающихся химическими превращениями. Она рассчитывается от числа столкновений, для которых составляющая кинетической энергии вдоль линии центров лежит в пределах $\epsilon_0, \epsilon_0 + d\epsilon_0$. Величина \bar{k} есть функция энергии и природы молекул. Умножив эту величину на общее число столкновений, получим число столкновений, у которых составляющая кинетической энергии заключена в пределах $\epsilon_0, \epsilon_0 + d\epsilon_0$ и которые заканчиваются химическими превращениями. Проинтегрировав по всем возможным значениям энергии, достаточным для осуществления реакции (от ϵ_* до ∞), получим число столкновений в единице объема за единицу времени, которые завершаются химическими превращениями, т. е. получим величину скорости химической реакции

$$v = \frac{dv_1}{dt} = z \int_{\epsilon_*}^{\infty} \bar{k} e^{-\frac{\epsilon_0}{kT}} \frac{d\epsilon_0}{kT}. \quad (10)$$

Величина z пропорциональна произведению $v_1 v_2$, следовательно, уравнение (10) применимо к реакциям, протекающим по второму порядку.

Чтобы произвести интегрирование уравнения (10), нужно знать вид функциональной зависимости \bar{k} от ϵ_0 . Иначе говоря, нужно знать, как зависит \bar{k} от величины кинетической энергии относительного движения ϵ_0 , угла, образуемого при столкновении молекул θ , и состояния молекул — их внутренней энергии. Так как вид функциональной зависимости \bar{k} от ϵ_0 неизвестен, то интегрирование выражения (10) можно произвести только, исходя из определенных предположений о зависимости \bar{k} от ϵ_0 . Правильность этих предположений можно проверить, сопоставив результаты вычислений с экспериментальными данными.

Будем исходить из следующих предположений.

1. Каждое соударение, при котором составляющая кинетической энергии относительного движения вдоль линии центров превышает некоторое минимальное значение ϵ_* , заканчивается химическим превращением. Это предположение равносильно утверждению того, что кинетическая энергия относительного движения при столкновении переходит в колебательную энергию по месту небольшого числа связей, в результате чего образуется разрыв или ослабление, достаточное для осуществления реакции. Оно является справедливым для простых молекул. У сложных молекул, обладающих большим числом связей, возможно перераспределение энергии по связям и, как следствие этого, дезактивация молекулы.

2. Допустим, что \bar{k} не зависит от состояния молекулы — ее внутренней энергии, но зависит от величины составляющей кинетической энергии, относительного движения вдоль линии центров ϵ_0 . При этом, если $\epsilon_0 < \epsilon_*$, то $\bar{k} = 0$, если $\epsilon_0 > \epsilon_*$, то $\bar{k} = \alpha$, где α — постоянная величина, представляющая собой долю сталкивающихся активных частиц, которые испытывают химическое превращение.

Найдем константу скорости реакции, отнесенную к одной молекуле

$$k_2 = \frac{dv_1}{dt} \frac{1}{v_1 v_2} = \frac{\alpha \bar{k}}{v_1 v_2} \int_{\frac{\epsilon_*}{kT}}^{\infty} e^{-\frac{\epsilon_0}{kT}} \frac{d\epsilon_0}{kT} = \frac{\alpha \bar{k}}{v_1 v_2} e^{-\frac{\epsilon_*}{kT}} = \\ = \frac{2\alpha r_{12}^2}{\sigma_{12}} \left(\frac{2\pi kT}{\mu} \right)^{1/2} e^{-\frac{\epsilon_*}{kT}}.$$

Если в реакции принимают участие обе сталкивающиеся молекулы, то коэффициент симметрии $\sigma_{12} = 1$ независимо от того, сталкиваются различные или одинаковые молекулы, так как если реагируют одинаковые молекулы, то, хотя $\sigma_{12} = 2$, скорость реакции пропорциональна удвоенному числу столкновений,

как, например, в прямой и обратной реакции



Следовательно,

$$k_2 = 2\alpha r_{12}^2 \left(\frac{2\pi kT}{\mu} \right)^{1/2} e^{-\frac{\epsilon_*}{kT}}. \quad (11)$$

Это же выражение может быть написано в такой форме:

$$k_2 = P T^{1/2} e^{-\frac{\epsilon_*}{kT}},$$

где коэффициент P содержит все множители, не зависящие от температуры.

Найдем зависимость скорости реакции от температуры

$$\ln k_2 = \ln P + \frac{1}{2} \ln T - \frac{\epsilon_*}{kT}.$$

ϵ_* — величина, постоянная для данной реакции, от температуры не зависит. Поэтому

$$\frac{d \ln k_2}{dT} = \frac{1}{2T} + \frac{\epsilon_*}{kT^2} = \frac{E + \frac{1}{2} RT}{RT^2}, \quad (12)$$

где R — газовая постоянная.

Сопоставление формулы (12) с уравнением Аррениуса (11,5) показывает, что в рассматриваемом случае теплота активации (величина, экспериментально определяемая) связана с энергией активации следующим образом:

$$q = E_* + \frac{1}{2} RT.$$

Теперь рассмотрим второй случай. Предположим, что химическим превращением завершаются только те столкновения, при которых вся кинетическая энергия относительно движения является большей некоторого минимального значения ε_* . Число столкновений, для которых кинетическая энергия относительного движения заключена в пределах $\varepsilon, \varepsilon + d\varepsilon$, найдем, продифференцировав общее число столкновений, для которых вся кинетическая энергия столкновения превышает или равна энергии активации ε_* . Число таких столкновений (см. приложение 2) равно

$$z'_a = ze^{-\frac{\varepsilon_*}{kT}} \left(\frac{\varepsilon}{kT} + 1 \right).$$

После дифференцирования получим

$$dz'_a = ze^{-\frac{\varepsilon_*}{kT}} \frac{\varepsilon}{kT} \frac{d\varepsilon}{kT}.$$

Как и в предыдущем случае, положим $\bar{k} = 0$ при $\varepsilon < \varepsilon_*$, $\bar{k} = \alpha'$ при $\varepsilon > \varepsilon_*$, где α' — постоянная величина. Тогда скорость реакции

$$\frac{dv_1}{dt} = z \int_{\frac{\varepsilon_*}{kT}}^{\infty} \alpha' e^{-\frac{\varepsilon}{kT}} \frac{\varepsilon}{T\bar{k}} \frac{d\varepsilon}{kT}$$

и константа скорости

$$\begin{aligned} k_2 &= \frac{dv_1}{dt} \frac{1}{v_1 v_2} = \frac{z\alpha'}{v_1 v_2} \int_{\frac{\varepsilon_*}{kT}}^{\infty} e^{-\frac{\varepsilon}{kT}} \frac{\varepsilon}{kT} \frac{d\varepsilon}{kT} = \\ &= -\frac{z\alpha'}{v_1 v_2} \left[e^{-\frac{\varepsilon}{kT}} \left(\frac{\varepsilon}{kT} + 1 \right) \right]_{\frac{\varepsilon_*}{kT}}^{\infty} = \frac{z\alpha'}{v_1 v_2} e^{-\frac{\varepsilon_*}{kT}} \left(\frac{\varepsilon_*}{kT} + 1 \right). \end{aligned}$$

Обычно $\varepsilon_* \gg kT$, поэтому

$$k_2 \approx 2\alpha' r_{12}^2 \left(\frac{2\pi kT}{\mu} \right)^{1/2} e^{-\frac{\varepsilon_*}{kT}} \frac{\varepsilon_*}{kT}. \quad (13)$$

Или в иной форме

$$k_2 = P'T^{-\frac{1}{2}} e^{-\frac{\varepsilon_*}{kT}}.$$

Здесь множитель P' содержит все не зависящее от температуры величины.

Найдем зависимость константы скорости от температуры

$$\ln k_2 = \ln P' - \frac{1}{2} \ln T - \frac{\varepsilon_*}{kT}.$$

$$\frac{d \ln k_2}{dT} = -\frac{1}{2T} + \frac{\varepsilon_*}{kT^2} = \frac{E_* - \frac{1}{2} RT}{RT^2} \quad (14)$$

и

$$q = E_* - \frac{1}{2} RT.$$

Из сопоставления уравнений (11), (12), (13) и (14) видно, что как для константы скорости реакции, так и для ее температурного коэффициента получаются различные выражения в зависимости от исходных предположений.

Формулы (13) и (14) выражают константу скорости реакции и ее зависимость от температуры при условии, что активация в столкновениях осу-

ществляется при участии трех поступательных степеней свободы. В формулах (11) и (12) активация за счет столкновений рассматривается как процесс с участием только одной степени свободы поступательного движения (по линии центров сталкивающихся молекул). В соответствии с этим в первом случае теплота активации равна

$$q = E_* - \frac{1}{2} RT,$$

во втором на две степени свободы (на величину RT) больше

$$q = E_* + \frac{1}{2} RT.$$

Для определения того, что именно следует понимать под активными столкновениями, сопоставим результаты расчетов по формулам (11), (12), (13) и (14) с экспериментальными данными. Из опыта можно определить величины константы скорости, ее зависимость от температуры (теплоту активации) и диаметры молекул. Из этих данных можно рассчитать значения энергии активации и величины r_{12} . Таким образом, в выражениях (11) и (13) единственной неизвестной величиной является доля молекул, подвергающихся химическим превращениям, т. е. величина α (или α').

Вычислим эти величины для какой-либо бимолекулярной реакции, например для реакции разложения водистого водорода



Диаметр молекул с погрешностью до 30% можно определить по вязкости газа, рефракции или по уравнению Ван-дер-Ваальса. Примем для водистого водорода $r_{12} = 2,5 \cdot 10^{-8}$ см

$$\mu = \frac{m^2}{2m} = \frac{1}{2} \frac{128}{6,06 \cdot 10^{23}}.$$

В интервале температур 550–790° К эта реакция гомогенна и протекает по второму порядку. В этом интервале температур зависимость константы скорости от температуры может быть выражена любой из приведенных ниже эмпирических формул

$$k_2 = 3 \cdot 10^{-12} \cdot T^{1/2} \cdot e^{-\frac{22000}{T}} \quad (*)$$

или

$$k_2 = 2 \cdot 10^{-9} \cdot T^{-1/2} \cdot e^{-\frac{22000}{T}}. \quad (**)$$

Эмпирические формулы (*) и (**) по характеру зависимости константы скорости от температуры идентичны формулам (11) и (13). Поэтому вычисленное значение константы скорости можно сравнить с любой из этих эмпирических формул. Для удобства вычисления сопоставим теоретическую формулу (11) с эмпирической (*) и соответственно (13) с (**).

Вычислим константу скорости по формуле (11) и сопоставим с уравнением (*)

$$3 \cdot 10^{-12} \alpha T^{1/2} \cdot e^{-\frac{22000}{T}} = 3 \cdot 10^{-12} \cdot T^{1/2} \cdot e^{-\frac{22000}{T}}.$$

Отсюда $\alpha = 1$. Как было указано ранее, при вычислении следует принять $\alpha_{12} = 1$.

Вычислим теперь константу скорости по уравнению (13) и сопоставим с эмпирическим уравнением (**). Для температуры 700° К

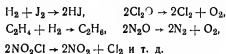
$$\frac{\epsilon^*}{kT} = \frac{22000}{700} = 30, \text{ т. е. } \epsilon^* \gg kT,$$

$$7,5 \cdot 10^{-8} \alpha' T^{-1/2} e^{-\frac{22000}{T}} = 2 \cdot 10^{-9} T^{-1/2} \cdot e^{-\frac{22000}{T}}.$$

В этом случае $\alpha' = \frac{1}{37}$.

Таким образом, если за активные столкновения принимать те, при которых составляющая кинетической энергии относительного движения вдоль линии центров превышает заданное значение, то каждое такое соударение завершается химическим превращением ($\alpha = 1$). Если же под активными соударениями понимать такие, у которых вся кинетическая энергия относительного движения больше или равна энергии активации, то к химической реакции приводит только какая-то часть из этих соударений, т. е. не все такие соударения окажутся активными ($\alpha' < 1$).

Аналогичный результат получается, если сопоставить вычисленное и экспериментальные значения константы скорости и для других бимолекулярных реакций с участием простых молекул, как, например,



Под активными соударениями понимают такие и только такие, при которых составляющая кинетической энергии относительного движения вдоль линии центров сталкивающихся молекул превышает некоторую величину ϵ_* называемую энергией активации. Энергия активации связана с теплотой активации (величиной экспериментально определяемой) соотношением

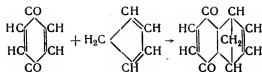
$$E_* = q - \frac{1}{2} RT. \quad (\text{II}, 8)$$

Энергия активации, т. е. минимальное значение энергии, необходимое для преодоления отталкивания электронных облаков реагирующих молекул, — величина постоянная для данной реакции. Теплота активации, строго говоря, является функцией температуры. Однако у большинства реакций энергия активации велика, и поэтому разница между энергией и теплотой активации не превышает 1—2%. Число активных столкновений, т. е. скорость реакции, можно вычислить по формулам (II, 6 и II, 7). Если обе сталкивающиеся молекулы реагируют (коэффициент симметрии σ_{12} равен единице), из уравнений (II, 6) и (II, 7) получаем:

$$v = v_1 v_2 2r_{12}^2 \left(\frac{2\pi kT}{\mu} \right)^{\frac{1}{2}} e^{-\frac{E}{RT}}, \quad (\text{II}, 9)$$

$$k_2 = \frac{v}{v_1 v_2} = 2r_{12}^2 \left(\frac{2\pi kT}{\mu} \right)^{\frac{1}{2}} e^{-\frac{E}{RT}}. \quad (\text{II}, 10)$$

Расчет показывает, что в реакциях с участием простых молекул величины константы скорости, вычисленные по уравнению (II, 10), удовлетворительно совпадают с экспериментальными. В некоторых случаях, однако, величина экспериментальной константы оказывается во много раз меньше. Нередко это наблюдается, когда для осуществления реакции необходимо выполнить определенные пространственные условия, например



В связи с тем, что константа скорости, вычисленная по уравнению (II, 10), оказывается иногда больше, чем экспериментальная, в уравнение (II, 10) вводится дополнительный множитель P , так называемый *стерический коэффициент*, или *стерический фактор*. Стерическим фактором этот коэффициент называется не потому, что только пространственные препятствия являются единственной причиной расхождения между вычисленными и экспериментальными значениями константы скорости. Пространственные препятствия исторически являются первым объяснением необходимости введения дополнительного множителя в уравнение (II, 10), но не единственно возможным. Необходимость в ряде случаев введения дополнительного множителя P в уравнение константы скорости реакции объясняется теорией переходного состояния (см. § 8). С учетом этого обстоятельства уравнение для константы скорости примет вид

$$k_2 = P b e^{-\frac{E}{RT}}. \quad (\text{II}, 11)$$

Здесь P — стерический фактор, величина которого колеблется для разных реакций в пределах $1-10^{-9}$

$$b = \frac{z}{v_1 v_2} = 2r_{12}^2 \left(\frac{2\pi kT}{\mu} \right)^{1/2}.$$

Для реакций, в которых участвуют молекулы простого строения, величина P обычно равна единице, и уравнение (II, 11) превращается в

$$k_2 = b e^{-\frac{E}{RT}}. \quad (\text{II}, 12)$$

Механизм активации связан с возможностью особо благоприятных соударений, при которых частица с меньшей энергией (скоростью) передает часть энергии частице с большей энергией (скоростью). Осуществление таких соударений требует особо благоприятного расположения частиц в момент удара и поэтому является событием редким, благодаря чему доля частиц с повышенной энергией ничтожно мала. С ростом температуры число столкновений частиц возрастает, что приводит к увеличению вероятности благоприятных соударений, а тем самым и доли активных частиц по закону максвелл-больцмановского распределения.

§ 8. Теория абсолютных скоростей реакций

Для того, чтобы рассчитать константу скорости химической реакции, нужно экспериментально определить теплоту активации реакции и, для многих реакций, эмпирический множитель P в уравнении (II, 11) — стерический коэффициент. Теория абсолютных скоростей реакций ставит перед собой задачу расчета энергии активации и предэкспоненциального множителя P . Таким образом, конечной задачей теории абсолютных скоростей реакций является возможность вычисления скорости реакции, без определения каких-либо эмпирических кинетических величин. В основе теории абсолютных скоростей реакций лежит учение о переходном состоянии в момент реакции, поэтому эту теорию называют иногда теорией переходного состояния или теорией активированного комплекса.

Теория переходного состояния представляет собой дальнейшее развитие теории бинарных соударений. Возникла она в связи с тем, что необходимо было объяснить несовпадения вычисленных по теории бинарных соударений и экспериментальных значений констант скорости, т. е. величин предэкспоненциального множителя P в уравнении (II, 11). Если теория бинарных соударений может объяснить, в некоторых случаях, малые значения величины P стерическими препятствиями или другими причинами, связанными со строением реагирующих частиц, то наличие нецепных реакций, у которых фактор $P \gg 1$, совершенно не объяснить этой теорией. Ниже приведены некоторые примеры подобных реакций:

Реакция	P
$[\text{Cr}(\text{H}_2\text{O})_6]^{+++} + \text{CNS}^-$	$1.09 \cdot 10^8$
$[\text{Co}(\text{NH}_3)_5\text{Br}]^{++} + \text{OH}^-$	$1,39 \cdot 10^6$
$\text{NH}_4^+ + \text{CNO}^-$	38,3
$\text{XH}^+ + \text{Cl}^-$	47,6

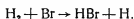
Теория бинарных соударений рассматривает только результат соударения, но не сам акт соударения; в основу же теории переходного состояния положено энергетическое изучение самого акта соударения. Таким образом, теория переходного состояния не отменяет, а дополняет и углубляет теорию бинарных соударений.

Формальная кинетика рассматривает процесс реакции в целом, не интересуясь ее истинным механизмом: дает чисто количественное описание результата взаимодействия частиц, не изучая деталей этого процесса. Теория Аррениуса позволяет вычислить энергию активации для реакции в целом, но не отвечает на вопрос о том, что представляет собой эта энергия, как она связана с механизмом реакции и строением молекул.

Теория бинарных соударений изучает механику соударений, рассматривая акт соударения как упругий удар. Она объясняет механизм активации и позволяет производить количественные расчеты константы скорости простейших газовых реакций, в которых отсутствуют внутримолекулярные процессы.

Наконец, теория переходного состояния изучает энергетический процесс соударения, объясняет количественно энергетический механизм активации, рассматривает физику активных соударений и химического превращения. Активные соударения, т. е. соударения, приводящие к реакции, — это сложный процесс постепенного перераспределения связей в молекуле, который начинается еще до столкновения молекул и заканчивается только после того, как молекулы разойдутся на расстояния, превышающие дальность действия их силовых полей.

Рассмотрим схематически механизм соударения двух частиц в реакции



Когда молекула водорода приблизится на какое-то расстояние к атому брома, то связь между атомами водорода начнет ослабевать из-за притяжения атома водорода атомом брома. Соударение протекает во времени. Моменту наибольшего сближения частиц отвечает наибольшее ослабление связи в молекуле водорода и наибольшее притяжение ею атома брома. В этот момент все три атома принадлежат одному (переходному) состоянию. Здесь наиболее вероятно образование новой молекулы (HBr). При дальнейшем движении атомов расстояние между ними в образовавшейся молекуле HBr начнет уменьшаться, а атом водорода станет удаляться от нее.

Молекулы — это не хрупкие упругие шары. При столкновениях, которые приводят к химическому превращению, молекулы не «разбиваются» на осколки, соединяющиеся в новые молекулы. Переходное состояние представляет собой систему из двух движущихся навстречу друг другу молекул в момент их наибольшего сближения.

Если при образовании активированного комплекса теории бинарных соударений между этим комплексом и исходными веществами устанавливается равновесие



где X — активированный комплекс, то переходное состояние не может находиться в подобном равновесии с исходными веществами. Переходное состояние возникает только из A и превращается в B, т. е. процесс идет по схеме



Это связано с тем, что, достигнув положения наибольшего сближения, атомы реагирующих молекул не смогут остановиться при

своем движении в положении, которое соответствует конфигурации переходного состояния.

Если реакция обратима, т. е. возможно установление равновесия $A \rightleftharpoons B$, то это равновесие устанавливается в соответствии со схемой



здесь Z — переходное состояние в прямой реакции, Z' — в обратной. Переходное состояние в обратной реакции Z' имеет ту же конфигурацию атомов, что и Z , но противоположное движение по пути реакции.

Образование переходного состояния связано с ослаблением связей в молекулах реагирующих веществ, т. е. первоначально с затратой работы и соответственно с увеличением энергии. Реакция в процессе прохождения сопровождается сначала ростом, а затем падением потенциальной энергии. Состояния A и B разделены энергетическим барьером.

При приближении атома брома к молекуле водорода электронное облако атома брома отталкивает электронное облако молекулы водорода и одновременно притягивает ближайший протон. Электронное облако молекулы водорода деформируется, отдаляется от атома брома и «тянет» за собой удаленный от брома протон, расстояние по связи $H-H$ увеличивается, по связи $H-Br$ — уменьшается. В переходном состоянии расстояния между всеми атомами соизмеримы. Зная, как сказывается изменение расстояний между атомами на потенциальной энергии частицы, в принципе возможно рассчитать изменение энергии при образовании переходного состояния, т. е. энергию активации.

В основу теории переходного состояния положен следующий постулат: исходные вещества находятся в равновесии с переходным состоянием, последнее же разлагается с конечной скоростью. *Переходное состояние не существует как устойчивая частица, оно образуется только из исходных веществ и превращается только в конечные.* Однако в термодинамическом отношении (и только в этом смысле) переходное состояние можно рассматривать как обычную молекулу.

Термодинамические расчеты применимы к системам, находящимся в состоянии равновесия. Если процесс протекает последовательно и первая стадия идет с очень большой скоростью по сравнению с последующими, то можно утверждать, что в этой стадии исходные вещества и образующиеся продукты находятся в состоянии равновесия (см., например, теорию активации Аррениуса и теорию бинарных соударений). В теории переходного состояния равновесие понимается в том смысле, что реакция не меняет заметно концентрацию частиц

в переходном состоянии, которое распадается с конечной скоростью, образование же его протекает достаточно быстро, чтобы сразу же восполнить убыль распадающихся частиц.

§ 9. Термодинамика переходного состояния

Согласно уравнению (II, 12), константа скорости бимолекулярной реакции будет

$$k_1 = b_1 e^{-\frac{E_1}{RT}}.$$

Если реакция обратима, то для обратной реакции

$$k_2 = b_2 e^{-\frac{E_2}{RT}}.$$

Для константы равновесия имеем:

$$K = \frac{k_1}{k_2} = \frac{b_1}{b_2} e^{-\frac{E_1 - E_2}{RT}}.$$

Так как обычно $b_1 \approx b_2$, то

$$K = e^{-\frac{E_1 - E_2}{RT}},$$

но

$$H_1 = E_1 + pV, \\ H_2 = E_2 + pV \quad \text{и} \quad \Delta H = H_1 - H_2 = E_1 - E_2,$$

где ΔH — изменение энтальпии в результате реакции, поэтому

$$K = e^{-\frac{\Delta H}{RT}}. \quad (15)$$

Из термодинамики известно, что константа равновесия равна

$$K = e^{-\frac{\Delta \Phi}{RT}},$$

где $\Delta \Phi$ — изменение свободной энергии реакции. Из того, что

$$\Delta \Phi = \Delta H - T \Delta S,$$

следует, что формула (15) справедлива или при $T = 0$ (при абсолютном нуле), или при $\Delta S = 0$.

Изменение свободной энергии в процессе реакции равно разности изменений свободных энергий активации прямой и обратной реакций

$$\Delta \Phi = \Delta \Phi_1^* - \Delta \Phi_2^*.$$

Знак \neq относится к процессу активации. Поэтому выражение для константы скорости правильнее записать в таком виде:

$$k_1 = b e^{-\frac{\Delta \Phi_1^*}{RT}} = b e^{-\frac{\Delta H^*}{TR}} e^{\frac{\Delta S^*}{R}}, \quad (16)$$

здесь $\Delta\Phi^*$, ΔH^* и ΔS^* — изменение свободной энергии, энтальпии и энтропии активации соответственно.

Найдем, какой член в выражении для константы скорости зависит от энтропии активации. Выражение для константы скорости реакции в наиболее общей форме дается формулой (II, 11). Сравним это выражение с (16)

$$k_1 = Pbe^{-\frac{E}{RT}} = Pbe^{-\frac{\Delta H^*}{RT}}, \quad (\text{II}, 11)$$

$$k_1 = be^{-\frac{\Delta H^*}{RT}} e^{\frac{\Delta S^*}{R}}.$$

Из сопоставления этих уравнений следует, что

$$P = e^{\frac{\Delta S^*}{R}},$$

т. е. стерический фактор отражает влияние изменения энтропии в процессе активации.

Если в реакции участвуют простые молекулы, то значение ΔS^* очень мало, и стерический фактор равен единице. В бимолекулярных реакциях с участием молекул сложного строения значение ΔS^* велико, и стерический фактор заметно отличается от единицы. Таким образом, расчет предэкспоненциального множителя P сводится к расчету изменения энтропии активации. Если известно строение переходного состояния (последнее во многих случаях близко по строению к образующейся в результате реакции молекуле), то можно статистически рассчитать ΔS^* , а следовательно, величину P и скорость реакции

$$\Delta S^* = S_a - S_n,$$

где S_a — энтропия переходного состояния, S_n — энтропия исходной молекулы. Расчет энтропии обычной молекулы можно произвести, зная, какими степенями свободы обладает данная молекула. В этом смысле, т. е. в отношении расчета энтропии (но только в этом смысле), переходное состояние можно рассматривать как обычную молекулу, и применять к нему статистические расчеты.

Обычная молекула из m атомов имеет 3 поступательных степени свободы, 2 (3) — вращательных и $3m - 6$ (5) — колебательных. Переходное состояние можно рассматривать как частицу, имеющую вместо одной степени свободы колебательного движения степень свободы по пути реакции. Переходное состояние, образуясь, мгновенно распадается, и поэтому, строго говоря, в нем не могут возникнуть ни колебания, ни вращение.

Колебательные и вращательные движения в случае переходного состояния обозначают зависимость потенциальной и кинетической энергии от координат и импульсов. Эта зависимость по форме совпадает с зависимостью потенциальной и кинетической энергии колебательного и вращательного движений устойчивой молекулы от координат и импульсов. «Колебания» в случае переходного состояния характеризуют отклонения от наивыгоднейшего пути реакции (например, в простейшем случае реакции двухатомной молекулы с атомом — отклонения от прямой, соединяющей центры атомов). Одна из координат переходного состояния не имеет аналогии с устойчивыми молекулами, она определяет степень продвижения системы вдоль наивыгоднейшего пути реакции.

Распад переходного состояния связан с прохождением его через вершину энергетического барьера. Поэтому скорость реакции равна числу частиц, проходящих в единицу времени через вершину энергетического барьера

$$v = C_x. \quad (17)$$

Здесь C_x — число частиц переходного состояния, проходящих в единицу времени через вершину энергетического барьера. Найдем, чему равна эта величина.

Обозначим ширину энергетического барьера через δ (см. рис. 8). Вершина энергетического барьера сравнительно плоская; поэтому прохождение через нее комплекса можно рассматривать как одномерное поступательное движение по пути реакции. Такое утверждение не означает, конечно, что сам комплекс движется в одномерном пространстве. Координата реакции характеризует не само передвижение комплекса в пространстве, а изменение энергии движения атомов в образующемся комплексе частиц (в переходном состоянии) относительно друг друга. Статистически степень свободы, соответствующая координате реакции, может рассматриваться как одномерное поступательное движение.

Введем следующие обозначения: \bar{X} — средняя (линейная) скорость движения переходного комплекса через энергетический барьер, τ — среднее время прохождения комплекса через энергетический барьер шириной δ , т. е. среднее время существования комплекса

$$\bar{X} = \frac{\delta}{\tau},$$

C^* — линейная концентрация комплекса, т. е. число комплексов в единице объема, приходящееся на единицу длины пути реакции. Тогда число комплексов, проходящих через вершину энергетического барьера C_x , равно

$$C_x = C^* \cdot \bar{X},$$

и скорость реакции, согласно формуле (17), будет

$$v = C^* \cdot \bar{X}.$$

Среднюю скорость движения комплекса через вершину энергетического барьера можно найти по правилу нахождения средних, учитывая, что комплекс может двигаться только в одном направлении — в направлении разложения вдоль пути реакции

$$\bar{X} = \frac{\int_0^{\infty} \dot{X} e^{-\frac{m\dot{X}^2}{2kT}} d\dot{X}}{\int_{-\infty}^{+\infty} e^{-\frac{m\dot{X}^2}{2kT}} d\dot{X}} = \frac{\frac{kT}{m^*}}{\left(\frac{2\pi kT}{m^*}\right)^{1/2}} = \left(\frac{kT}{2\pi m^*}\right)^{1/2},$$

где m^* — масса переходного комплекса.

Если вещества А, В... реагируют друг с другом, образуя переходное состояние, то скорость реакции равна

$$v = k_1 C_A C_B,$$

где k_1 — константа скорости реакции, следовательно,

$$C^* \cdot \bar{X} = C^* \left(\frac{kT}{2\pi m^*}\right)^{1/2} = k_1 C_A C_B \dots \quad (18)$$

Равновесие комплекса и исходных веществ не является обычным термодинамическим равновесием, при котором скорости прямого и обратного процессов равны. Комплекс движется только в одном направлении и, как правило, не может разлагаться на исходные вещества. Равновесие здесь такого же типа, как и при последовательных реакциях, когда скорости образования и разложения промежуточного соединения одинаковы (точка максимальной концентрации промежуточного продукта). Однако формально к такому равновесию можно применять термодинамические соотношения.

Обозначим константу равновесия между активированным комплексом и исходными веществами через K^* , т. е. K^* — константа равновесия реакции образования единичного комплекса, заключенного в данном единичном интервале его конфигурации. Константа равновесия по отношению к единичной частице рассматривается как отношение продолжительностей ее существования в обоих состояниях (исходном и конечном).

$$K^* = \frac{a^*}{a_A a_B \dots} \approx \frac{C^*}{C_A C_B \dots}, \quad (19)$$

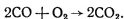
где a^* , a_A , a_B и т. д. — активности переходного комплекса и исходных веществ. Соответственно из (18) и (19) следует

$$k_1 = K^* \bar{X} = K^* \left(\frac{kT}{2\pi m^*}\right)^{1/2}.$$

Часть переходных комплексов может распасться на исходные продукты.

Введем трансмиссионный коэффициент κ , показывающий долю комплексов, распадающихся на исходные вещества.

Для перестройки ядер требуется время 10^{-10} — 10^{-13} сек, для перестройки электронных облаков время порядка 10^{-23} сек. Поэтому обычно при перестройке ядерной конфигурации в переходном состоянии электроны следуют за ядрами и комплекс переходит через вершину энергетического барьера. Если, однако, электронная конфигурация оказывается запрещенной, то время перестройки электронов составляет секунды и даже минуты, как, например, в реакции



Электронная конфигурация оказывается запрещенной, если суммарный спин молекулы сильно отличается от суммарного спина исходных веществ. При образовании CO_2 один из спинов должен скачкообразно изменить свою ориентацию. В подобных, так называемых неадиабатических, реакциях переходное состояние может распасться на исходные вещества. Вероятность устойчивости образующегося переходного состояния (вероятность различия в спинах электронов) характеризуется трансмиссионным коэффициентом. Если он мал, то константа скорости уменьшается, но не за счет уменьшения энтропии активации, связанной с изменением конфигурации ядер, а за счет малой вероятности изменения электронной конфигурации. Обычно $\kappa = 1$. С учетом этого константа скорости реакции

$$k_1 = \kappa K^* \left(\frac{kT}{2\pi m^*} \right)^{1/2}. \quad (20)$$

Величину K^* можно выразить через статистические суммы (суммы состояний) комплекса и исходных молекул. Как известно, под суммой состояний понимается общая вероятность того, что частица находится в одном из возможных состояний. Сумме состояний пропорционально число частиц данного сорта в данном объеме. Из закона распределения следует, что сумма состояний

$$Z = \sum_i g_i e^{-\frac{\epsilon_i}{kT}},$$

где g_i — статистические веса энергетических состояний (соответствующих энергиям ϵ_i). Если все микросостояния равновероятны (классическая статистика), то

$$g_1 = g_2 = \dots = g_k$$

и

$$Z = \sum_i e^{-\frac{\epsilon_i}{kT}}.$$

Полная сумма состояний для любого вещества может содержать члены, соответствующие ядерной, электронной, колебательной, вращательной и поступательной энергиям. Все эти величины, за исключением последней, могут быть найдены из спектроскопических данных. Приближению (но с большой степенью точности) можно считать, что различные формы энергии независимы друг от друга, т. е. что энергия частицы складывается из энергий поступательного, вращательного, колебательного движений, электронной и ядерной

$$\epsilon = \epsilon_1 + \epsilon_2 + \epsilon_3 + \epsilon_4 + \epsilon_5,$$

тогда

$$\begin{aligned} Z &= \sum e^{-\frac{\epsilon}{kT}} = \sum e^{-\frac{\epsilon_1 + \epsilon_2 + \epsilon_3 + \epsilon_4 + \epsilon_5}{kT}} = \sum_i \prod e^{-\frac{\epsilon_i}{kT}} = \\ &= \prod_i \sum e^{-\frac{\epsilon_i}{kT}} = \sum e^{-\frac{\epsilon_1}{kT}} \sum e^{-\frac{\epsilon_2}{kT}} \sum e^{-\frac{\epsilon_3}{kT}} \sum e^{-\frac{\epsilon_4}{kT}} \sum e^{-\frac{\epsilon_5}{kT}} = \\ &= Z_{\text{пост}} Z_{\text{вращ}} Z_{\text{колеб}} Z_{\text{электр}} Z_{\text{ядерн}}. \end{aligned}$$

Для каждого вида движения величину энергии, приходящейся на одну степень свободы, приближенно можно считать одинаковой, и сумму состояний для каждого типа энергии приближенно можно считать состоящей из некоторого числа одинаковых сомножителей — по одному на каждую степень свободы данного состояния. Если молекула имеет t поступательных, r вращательных и v колебательных степеней свободы, то полная статистическая сумма приближенно запишется

$$Z \approx f_{tr}^t f_{rot}^r f_v^v, \quad (21)$$

где f_{tr} — сумма состояний для 1 степени свободы поступательного движения, f_{rot} — вращательного и f_v — колебательного.

Константа равновесия между переходным состоянием и исходными веществами K^* равна

$$K^* = \frac{C_{\kappa}}{C_{\text{н}}} = \frac{n_{\kappa}}{n_{\text{н}}}.$$

Здесь C_{κ} и $C_{\text{н}}$ — концентрации в конечном и начальном состояниях, а n_{κ} и $n_{\text{н}}$ — число молекул в конечном и начальном состояниях. Но число молекул любого сорта в данном объеме пропорционально полной сумме состояний данного вещества в этом объеме, т. е.

$$K^* = \frac{Z'}{Z''},$$

здесь Z' и Z'' — суммы состояний на единицу объема, следовательно,

$$K^* = \frac{Z^*}{Z_A Z_B}, \quad (22)$$

где Z^* — статистическая сумма переходного комплекса, Z_A , Z_B — статистические суммы исходных веществ.

Комплекс отличается от обычной молекулы одной дополнительной степенью свободы поступательного движения вдоль пути реакции. Если комплекс рассматривать как обычную молекулу, в которой одна степень свободы колебательного движения заменена степенью свободы поступательного движения, и обозначить статистическую сумму подобной молекулы (стабильной молекулы без одной степени свободы колебательного движения) через Z^\ddagger , то

$$Z^* = Z^\ddagger f_{tr}. \quad (23)$$

Найдем, чему равна f_{tr} . Из уравнения Шредингера следует, что для частицы, движущейся в прямоугольном ящике со стороной a , в одном измерении (параллельно оси X) значение энергии частицы равно

$$E_X = \frac{n_X^2 h^2}{8a^2 m},$$

где m — масса частицы, а n_X можно рассматривать как квантовое число, которое определяет возможные значения энергии частицы.

Для невырожденного состояния уровни энергии расположены так близко друг к другу, что распределение энергии можно считать непрерывным, а не квантовым, а при вычислении статистической суммы суммирование заменить интегрированием. В этом случае

$$f_{tr} = \sum e^{-\frac{\epsilon}{kT}} = \int_0^\infty e^{-\frac{\epsilon}{kT}} dn.$$

При поступательном одномерном движении

$$\epsilon = \frac{n^2 h^2}{8a^2 m} \text{ и } \frac{\epsilon}{kT} = \frac{n^2 h^2}{8a^2 m kT} = n^2 \lambda,$$

где

$$\lambda = \frac{h^2}{8a^2 m kT},$$

$$\int_0^\infty e^{-n^2 \lambda} dn = \frac{1}{2\sqrt{\lambda}} \Gamma\left[\frac{1}{2}\right] = \frac{1}{2} \sqrt{\frac{\pi}{\lambda}} = \frac{(2\pi m kT)^{1/2}}{h} a,$$

$$f_{tr} = \frac{(2\pi m kT)^{1/2}}{h} a.$$

Константа равновесия переходного состояния (19), а следовательно, и статистическая сумма комплекса (формулы 22 и 23) включают линейную концентрацию комплекса C на единицу длины пути реакции, поэтому $a = 1$, и

$$f_{tr} = \frac{(2\pi m^* kT)^{1/2}}{h}. \quad (24)$$

Из формул (23) и (24) следует, что

$$Z^* = Z^\ddagger \frac{(2\pi m^* kT)^{1/2}}{h}.$$

Подставив последнее уравнение в (22), получим

$$K^* = \frac{Z^*}{Z_A Z_B} \frac{(2\pi m^* kT)^{1/2}}{h} = K^\ddagger \frac{(2\pi m^* kT)^{1/2}}{h}, \quad (25)$$

где

$$K^\ddagger = \frac{Z^\ddagger}{Z_A Z_B}$$

константа равновесия комплекса, рассматриваемого как обычная стабильная молекула без одной степени свободы колебательного движения. Необходимо учитывать, что комплекс имеет на единицу меньшее число степеней свободы колебательного движения по сравнению с первоначальным молекулярным состоянием из того же числа атомов.

В нормальной молекуле из m атомов $3m-6$ (5) колебательных степеней свободы; в комплексе их $3m-7$ (6). Если (25) подставить в (20), то для константы скорости получим

$$k_1 = \kappa K^\ddagger \frac{(2\pi m^* kT)^{1/2}}{h} \left[\frac{kT}{2\pi m^*} \right]^{1/2} = \kappa \frac{kT}{h} K^\ddagger. \quad (II, 13)$$

В формуле (II, 13) множитель $\frac{kT}{h}$ одинаков для всех веществ и типов реакций и представляет собой частоту, с которой комплекс переходит через вершину барьера при данной температуре. При 300°K эта частота составляет $6 \cdot 10^{12} \text{ сек}^{-1}$.

Уравнение (II, 13) является совершенно общим для различных типов реакций: мономолекулярных, бимолекулярных и тримолекулярных. Специфика различных типов реакций проявляется в величине K^\ddagger . Эта константа для каждой конкретной реакции того или иного типа имеет свой особенный вид. Так, например, если в реакции между веществами A и B , наряду с образованием переходного комплекса M , возникают устойчивые молекулы C и D , то K^\ddagger в уравнении (II, 13) будет иметь вид

$$K^\ddagger = \frac{Z^* Z_C Z_D}{Z_A Z_B} \quad \text{и} \quad k_1 = \frac{kT}{h} \kappa \frac{Z^* Z_C Z_D}{Z_A Z_B}.$$

Из основного уравнения теории переходного состояния (II, 13) видно, что для вычисления константы скорости реакции необходимо вычислить величины K^\ddagger через статистические суммы и определить трансмиссионный коэффициент κ . Появление трансмиссионного коэффициента связано с тем, что некоторая часть комплексов может разложиться на исходные вещества за счет колебаний по связям в образовавшейся молекуле. Обычно величина κ равна 1. В ряде случаев трансмиссионный коэффициент можно вычислить теоретически, наконец, значения его могут быть определены экспериментально.

Статистические суммы реагирующих веществ вычисляются на основе спектроскопических данных. Вычисление же статистической суммы переходного состояния может быть осуществлено, если известна поверхность потенциальной энергии. Из поверхности потенциальной энергии можно определить энергию, размеры и расстояния между атомами переходного комплекса. Зная размеры, можно вычислить момент инерции комплекса.

При помощи энергетической поверхности и теории малых колебаний можно вычислить частоту колебаний в комплексе. Наличие всех этих данных позволяет определить сумму состояний переходного комплекса. Следует учесть, однако, что построение энергетической поверхности возможно только для самых простых реакций (например, молекула и атом). Для реакции между молекулами, в особенности сложными, построение энергетической поверхности практически невозможно. В последнем случае статистические суммы комплекса можно оценить приближению, рассматривая его как устойчивую молекулу без одной степени свободы колебательного движения.

Согласно уравнению (21) статистическая сумма молекулы приближенно равна произведению множителей, отвечающих колебательному, вращательному и поступательному движениям. Для одной степени свободы поступательного движения статистическая сумма, согласно (24), будет

$$f_{tr} = \frac{(2\pi m^* kT)^{1/2}}{h},$$

для одной степени колебательного движения

$$f_v = \left(1 - e^{-\frac{h\nu}{kT}}\right)^{-1}$$

(см. приложение III).

Как следует из квантовой механики, вращательная энергия жесткой двухатомной молекулы равна

$$\epsilon_{rot} = \frac{J(J+1)h^2}{8\pi^2 I},$$

где I — момент инерции молекулы, J — вращательное квантовое число. Тогда сумма состояний вращательного движения подобной молекулы будет иметь вид

$$\begin{aligned} Z_{rot} &= \sum e^{-\frac{\epsilon_{rot}}{kT}} = \sum_{j=0}^{\infty} (2J+1) e^{-\frac{J(J+1)h^2}{8\pi^2 I kT}} = \\ &= \sum_{j=0}^{\infty} (2J+1) e^{-J(J+1)\rho}, \end{aligned}$$

здесь

$$\rho = \frac{h^2}{8\pi^2 I kT}.$$

Если $\rho < 1$, что справедливо при всех температурах, кроме самых низких, то результат суммирования можно с удовлетворительной точностью представить в виде ряда Эйлера — Маклорена

$$Z_{rot} = \frac{1}{\rho} \left(1 + \frac{\rho}{3} + \frac{\rho^2}{15} + \dots \right).$$

При умеренно высоких и при высоких температурах ρ почти для всех веществ меньше 0,05, в этих случаях

$$Z_{rot} \approx \frac{1}{\rho} = \frac{(8\pi^2/kT)}{h^2} = f_{rot}^2,$$

следовательно,

$$f_{rot} = \frac{(8\pi^2/kT)^{1/2}}{h}. \quad (26)$$

Основное уравнение теории переходного состояния, позволяющее рассчитывать константы скоростей реакций, включает константу равновесия между комплексом и реагирующими веществами K^\ddagger . Пусть стандартная свободная энергия процесса активации будет

$$-\Delta\Phi_0^\ddagger = RT \ln K^\ddagger.$$

Подставив это выражение в формулу (II, 13), получим

$$k_1 = \kappa \frac{kT}{h} e^{-\frac{\Delta\Phi_0^\ddagger}{RT}}, \quad (27)$$

так как

$$\Delta\Phi_0^\ddagger = \Delta H_0^\ddagger - T\Delta S_0^\ddagger,$$

то

$$k_1 = \kappa \frac{kT}{h} e^{-\frac{\Delta H_0^\ddagger}{RT}} e^{\frac{\Delta S_0^\ddagger}{R}}, \quad (II, 14)$$

где ΔH_0^\ddagger и ΔS_0^\ddagger — стандартные изменения энтальпии и энтропии процесса активации.

Уравнения (27) и (II, 14) показывают, что скорость химической реакции определяется изменением свободной энергии активации, а не теплотой активации, т. е. что необходимо учитывать изменение энтропии активации. Во многих газовых реакциях, в которых участвуют относительно простые молекулы, ΔS_0^\ddagger невелико. В этом случае (ию и только в этом) скорость реакции определяется теплотой активации. Если ΔS_0^\ddagger велико, то при большой теплоте активации изменение свободной энергии активации может быть мало, как, например, при денатурации белков и дезактивации энзимов (табл. 3).

Вещество	Температура, °K	ΔH_0^\ddagger , ккал	ΔS_0^\ddagger , кал/град	$\Delta \Phi_0^\ddagger$, ккал
Яичный альбумин . . .	338	132,1	315,7	25,4
Гемоглобин	338	76,3	152,0	24,5
Пепсин	298	55,6	113,3	21,9
Ренин	323	89,3	208,1	22,1
Трипсин	323	40,2	44,7	25,7
Инвертаза pH = 4,0 . .	323	110,3	262,5	25,5
pH = 5,7 . .	323	52,2	84,7	25,0

Несмотря на большую теплоту активации, реакции денатурации белков и дезактивации энзимов имеют большую скорость

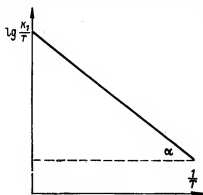


Рис. 9.

реакции. Это связано с тем, что свободная энергия активации этих реакций мала вследствие большого значения энтропии активации. Возрастание энтропии в процессе активации, вероятно, связано с разрыхлением структуры белков и энзимов, разрывом при активации части солевых мостиков между кислотными и основными группами.

Скорость реакции определяется величиной свободной энергии активации $\Delta \Phi^\ddagger$. Катализаторы, уменьшая свободную энергию активации, повышают скорость реакции. Эн-

тальпия, свободная энергия и энтропия активации могут быть вычислены по экспериментально определенным значениям константы скорости и энергии активации.

Сначала по экспериментальным данным из (27) вычисляют $\Delta \Phi_0^\ddagger$. Затем по тангенсу угла наклона в координатах $\ln \frac{k_1}{T} - \frac{1}{T}$ находят теплоту активации ΔH_0^\ddagger , согласно (II,14)

$$\ln \frac{k_1}{T} = \ln \left(x \frac{k}{h} e^{\frac{\Delta S_0^\ddagger}{R}} \right) - \frac{\Delta H_0^\ddagger}{RT}.$$

Таким образом, тангенс угла наклона прямой $\lg \frac{k_1}{T}$ в функции от $\frac{1}{T}$ дает $\frac{\Delta H_0^\ddagger}{2,3R}$ (рис. 9). Зная $\Delta \Phi_0^\ddagger$ и ΔH_0^\ddagger , находят ΔS_0^\ddagger

$$\Delta S_0^\ddagger = \frac{\Delta H_0^\ddagger - \Delta \Phi_0^\ddagger}{T}.$$

При вычислении свободной энергии активации непосредственно по уравнению (27) необходимо знать трансмиссионный коэффициент κ . Можно, однако, вычислить $\Delta \Phi_0^\ddagger$ и без трансмиссионного коэффициента и по полученным данным свободной энергии активации определить величину трансмиссионного коэффициента. Из (27) следует

$$\ln k_1 = \ln \frac{\kappa k}{h} + \ln T - \frac{\Delta \Phi_0^\ddagger}{RT},$$

откуда

$$\frac{d \ln k_1}{dT} = \frac{1}{T} + \frac{\Delta \Phi_0^\ddagger}{RT^2} = \frac{\Delta \Phi_0^\ddagger + RT}{RT^2}.$$

Из последнего выражения по экспериментальным данным константы скорости можно вычислить свободную энергию активации, а затем по (27) и трансмиссионный коэффициент κ .

§ 10. Расчет стерического коэффициента

Уравнение константы скорости (II, 13), общее для реакций различных порядков, может быть применимо и к бимолекулярным реакциям. Константа равновесия K^\ddagger , входящая в это уравнение, может быть выражена через статистические суммы

$$k_1 = \frac{kT}{h} \frac{Z^\ddagger}{Z_A Z_B}.$$

В свою очередь, статистическую сумму, как указывалось выше, можно представить в виде произведения сомножителей, каждое из которых показывает величину энергии, приходящейся на поступательное, вращательное, колебательное и другие виды движения

$$Z = Z_{tr} Z_v Z_{rot} Z_{el} = Z_{tr} Z_v Z_{rot} Z'_{el} e^{-\frac{E'_0}{RT}},$$

здесь Z_{tr} — статистическая сумма поступательного движения, Z_v , Z_{rot} и Z_{el} — то же соответственно для колебательного, вращательного и электронного движений, E'_0 — низший уровень для электронов невозбужденной молекулы. При $T = 0^\circ \text{K}$ в молекуле отсутствуют поступательное, вращательное и колебательные движения, и E'_0 можно рассматривать как значение потенциальной энергии при абсолютном нуле.

Каждую из статистических сумм, входящих в константу равновесия K^\ddagger — уравнение (II, 13), — можно разложить на сомножители $Z_{tr} Z_v Z_{rot} Z'_{el} e^{-\frac{E'_0}{RT}}$. Если из статистических сумм вы-

нести сомножители, содержащие энергии при абсолютном нуле E_0 , то константа равновесия может быть записана в виде

$$K^\# = \frac{Z^\#}{Z_1 Z_2}, \quad (28)$$

где $Z^\#$, Z_1 , Z_2 — статистические суммы переходного состояния и реагирующих молекул, причем за начало отсчета энергии при вычислении статистических сумм принимаются в каждом случае нулевые энергетические уровни соответствующих веществ (это происходит потому, что все члены с энергиями веществ на нулевом энергетическом уровне вынесены из статистических сумм); $E_0^\#$, E_{01} , E_{02} — энергия комплекса и реагирующих молекул при абсолютном нуле.

Разность между энергиями комплекса и реагирующих веществ равна энергии активации

$$E_0 = E_0^\# - E_{01} - E_{02}.$$

Величина энергии при абсолютном нуле E_0 , которую должны получить исходные вещества, чтобы перейти в активированное состояние и прореагировать, называется *энергией активации*.

Подстановка (28) в (11, 13) дает

$$k_1 = \kappa \frac{kT}{h} K^\# e^{-\frac{E_0}{RT}}. \quad (29)$$

Применим уравнение (29) к простейшей бимолекулярной реакции — взаимодействию двух атомов. Переходное состояние в данной реакции состоит из двух атомов и имеет линейную конфигурацию. Такой комплекс будет иметь $3m - 6 = 0$ степеней свободы колебательного движения. Одна степень свободы колебательного движения затрачена на степень свободы поступательного движения вдоль пути реакции. Кроме того, комплекс будет иметь 3 обычных степени свободы поступательного и 2 степени свободы вращательного движения.

Статистическая сумма комплекса $Z^\#$ равна

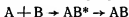
$$Z^\# = Z_{tr}^\# Z_{rot}^\#.$$

Согласно уравнениям (24) и (26),

$$Z_{rot}^\# = f_{rot}^2 = \frac{8\pi^2 I^* kT}{h^2},$$

$$Z_{tr}^\# = f_{tr}^3 = \frac{(2\pi m^* kT)^{3/2}}{h^3}.$$

Масса переходного комплекса при реакции



равна сумме масс атомов A и B

$$m^* = m_A + m_B,$$

приведенная масса комплекса

$$\mu = \frac{m_A m_B}{m_A + m_B}.$$

Радиус комплекса приближенно равен сумме радиусов атомов

$$r_{12} = r_A + r_B, \quad I^* = \mu r_{12}^2 = r_{12}^2 \frac{m_A m_B}{m_A + m_B},$$

отсюда

$$Z^* = \frac{[2\pi(m_A + m_B)kT]^{3/2} 8\pi^2 kT r_{12}^2 m_A m_B}{h^3 h^2 (m_A + m_B)}.$$

Атомы А и В обладают только поступательным движением. Для них статистические суммы соответственно равны

$$Z_A = \frac{(2\pi m_A kT)^{3/2}}{h^3}, \quad Z_B = \frac{(2\pi m_B kT)^{3/2}}{h^3}.$$

Константа равновесия комплекса в уравнении (29) будет

$$K^* = \frac{Z^*}{Z_A Z_B} = \frac{[2\pi(m_A + m_B)kT]^{3/2} 8\pi^2 kT r_{12}^2 m_A m_B h^3 h^3}{h^3 h^2 (2\pi m_A kT)^{3/2} (2\pi m_B kT)^{3/2} (m_A + m_B)} =$$

$$= 2r_{12}^2 h \left(\frac{2\pi}{\mu kT} \right)^{1/2} = \frac{f_{rot}^*}{f_{tr(\mu)}^3},$$

где $f_{tr(\mu)} = \frac{(2\pi\mu kT)^{3/2}}{h^3}.$

Приняв трансмиссионный коэффициент равным единице и подставив значение константы равновесия K^* , для константы скорости получим

$$k_1 = 2r_{12}^2 \left(\frac{2\pi kT}{\mu} \right)^{1/2} e^{-\frac{E_0}{RT}} = b e^{-\frac{E_0}{RT}}. \quad (30)$$

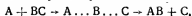
С другой стороны, пренебрегая различием в массе комплекса и исходных молекул, т. е. полагая $f_{tr}^* \approx f_{tr(A)} \approx f_{tr(B)}$, получим приближенное соотношение

$$K^* = \frac{f_{tr}^* \cdot f_{rot}^*}{f_{tr(A)}^3 \cdot f_{tr(B)}^3} \approx \frac{f_{rot}^2}{f_{tr}^3}.$$

Сопоставление формул (30) и (II, 12) показывает, что в случае простейших бимолекулярных реакций теория переходного состояния приводит к тем же результатам, что и теория биарных столкновений. Для подобных реакций стерический фактор P равен единице, а константа скорости реакции равна

$$k_1 = \frac{kT}{h} K^*.$$

Если атом реагирует с молекулой в реакции



как, например, в реакции $H_2 + Br$, то переходное состояние будет состоять из трех атомов и иметь линейную конфигурацию как наиболее выгодную в энергетическом отношении.

При нелинейном сближении атомов приближающийся атом А будет испытывать отталкивание суммарного электронного облака молекулы ВС, при линейном в основном только атома В. Такой комплекс обладает 3 степенями поступательного движения, 2 вращательного и $3m - 6 = 3$ колебательного. Одна степень свободы колебательного движения затрачена на степень свободы поступательного движения вдоль пути реакции. Для комплекса из трех атомов

$$Z^\# = Z_{tr}^\# Z_{rot}^\# Z_v^\# = f_{tr}^3 f_{rot}^2 f_v^3.$$

Молекула ВС имеет 3 поступательных, 2 вращательных и 1 колебательную степень свободы, для нее

$$Z_{BC} = f_{tr}^3 f_{rot}^2 f_v,$$

для атома

$$Z_A = f_{tr}^3,$$

откуда, приняв $f_v^* \approx f_v(BC)$, $f_{tr}^* \approx f_{tr}(BC) \approx f_{tr}(A)$,

$$K^\# = \frac{Z^\#}{Z_A Z_{BC}} \approx \left(\frac{f_v}{f_{rot}} \right)^2 \frac{f_{rot}^{*2}}{f_{tr(\mu)}^3}.$$

Если значение $K^\#$ подставить в уравнение (29), положить $\kappa = 1$ и учесть, что

$$\frac{f_{rot}^{*2}}{f_{tr(\mu)}^3} \approx 2r_{12}^2 h \left(\frac{2\pi}{\mu kT} \right)^{1/2},$$

где μ — приведенная масса, r_{12} — радиус комплекса, то для константы скорости реакции получим

$$k_1 = 2r_{12}^2 \left(\frac{2\pi kT}{\mu} \right)^{1/2} \left(\frac{f_v}{f_{rot}} \right)^2 e^{-\frac{E_0}{RT}}.$$

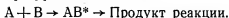
По теории бинарных соударений в общем случае

$$k_1 = P 2r_{12}^2 \left(\frac{2\pi kT}{\mu} \right)^{1/2} e^{-\frac{E_0}{RT}},$$

где P — стерический фактор. Сопоставление этих выражений показывает, что величина P в уравнении (II, 11) для реакции атома с молекулой равна

$$P \approx \left(\frac{f_v}{f_{rot}} \right)^2.$$

Рассуждая подобным же образом, можно найти выражение для стерического фактора в более сложных реакциях. Так, например, если реагируют две нелинейных сложных молекулы А и В, содержащие соответственно n_A и n_B атомов (n_A и $n_B > 2$), то комплекс будет содержать $n_A + n_B$ атомов и будет иметь нелинейную конфигурацию



В такой реакции

$$Z_A = f_{tr}^3 f_{rot}^3 f_v^{3n_A - 6}, \quad Z_B = f_{tr}^3 f_{rot}^3 f_v^{3n_B - 6},$$

$$Z^\ddagger = f_{tr}^3 f_{rot}^3 f_v^{3(n_A + n_B) - 7}.$$

Полагая, что $f_v^* \approx f_{v(A)} \approx f_{v(B)}$, $f_{tr}^* \approx f_{tr(A)} \approx f_{tr(B)}$,

$$f_{rot}^* \approx f_{rot(A)} \approx f_{rot(B)},$$

$$K^\ddagger = \frac{Z^\ddagger}{Z_A Z_B} \approx \frac{f_{rot}^2}{f_{tr}^3} \left(\frac{f_v}{f_{rot}} \right)^5,$$

откуда

$$k_1 = 2r_{12}^2 \left(\frac{2\pi kT}{\mu} \right)^{1/2} e^{-\frac{E_0}{RT}} \left(\frac{f_v}{f_{rot}} \right)^5, \quad P \approx \left(\frac{f_v}{f_{rot}} \right)^5.$$

Таким образом, стерический фактор связан с наличием колебательных и вращательных степеней свободы. Величина константы скорости, вычисленная по теории переходного состояния, отличается от константы скорости, рассчитанной по теории бинарных соударений (II,10), на величину $\left(\frac{f_v}{f_{rot}} \right)^l$, где l для реакций различной степени сложности принимает значение $l = 0, 1, 2, 3, 4, 5$.

Найдем порядок величины $\frac{f_v}{f_{rot}}$

$$\frac{f_v}{f_{rot}} = \frac{h}{\left(1 - e^{-\frac{h\nu}{kT}} \right) (8\pi^2 kT)^{1/2}}.$$

При обычных температурах $h\nu \gg kT$ и f_v по порядку величины близко к единице. Если атомы прочно связаны друг с другом, то колебательные частоты низки, и тогда даже при невысоких температурах $h\nu \ll kT$ и $f_v > 1$.

Сумма состояний для вращательного движения f_{rot} имеет порядок от 10 до 100 (тем больше, чем больше молекула).

Следовательно, $\frac{f_v}{f_{rot}} \approx 10^{-1} \div 10^{-2}$. Предэкспоненциальный множитель P меняется от 10^{-1} до 10^{-2} для реакций между простыми молекулами и от 10^{-5} до 10^{-10} — для реакций со сложными молекулами. Если в реакции образуется линейный комплекс, то скорость реакции должна быть в $\frac{f_v}{f_{rot}}$ раз меньше, чем в случае нелинейного комплекса. В § 9 было показано, что

$$P = e^{\frac{\Delta S^\ddagger}{R}}.$$

Как указывалось ранее, во многих реакциях активированное состояние близко к конечному. Это значит, что изменение энтро-

Тип реагирующих веществ	P	Порядок величины P	Пример реакции	Определено экспериментально	
				P	$\frac{\Delta S}{eR}$
Два атома	1	1	Рекомбинация атомов	—	—
Атом и двухатомная молекула			Цепные реакции	—	—
а) нелинейный комплекс . .	$\frac{fv}{f_{rot}}$	$\left. \begin{array}{l} 10^{-1} - \\ -10^{-2} \end{array} \right\}$	$H_2 + O$	$7 \cdot 10^{-2}$	—
б) линейный комплекс . . .	$\left(\frac{fv}{f_{rot}} \right)^2$		$H + C_2H_4$	$2,6 \cdot 10^{-2}$	—
Атом и многоатомная молекула	$\left(\frac{fv}{f_{rot}} \right)^3$		$H + C_2H_6$	$0,5 \cdot 10^{-2}$	—
Две двухатомных молекулы .			Диссоциация йодистого водорода	0,5	0,15
а) нелинейный комплекс . .	$\left(\frac{fv}{f_{rot}} \right)^4$	$10^{-3} -$ -10^{-7}	—	—	
б) линейный комплекс . . .			Хлорирование фенольных эфиров	$1,5 \cdot 10^{-5}$	$2,2 \cdot 10^{-5}$
Двухатомная и многоатомная молекулы	$\left(\frac{fv}{f_{rot}} \right)^5$	$10^{-5} -$ -10^{-10}	Диметил-анилин + йодистый метил	$0,5 \cdot 10^{-7}$	$0,9 \cdot 10^{-8}$
Две многоатомные молекулы .					

пии в процессе активации ΔS^\ddagger не должно сильно отличаться от изменения энтропии реакции ΔS , т. е. что

$$\Delta S^\ddagger \approx \Delta S.$$

В табл. 4 приведены значения величины стерического фактора для реакций различного типа, а также примеры реакций, для которых P и $e^{\frac{\Delta S}{R}}$ определены экспериментально. Из табл. 4 видно, что значения стерического фактора, вычисленные по теории абсолютных скоростей реакций, определенные экспериментально и вычисленные из изменения энтропии в реакции, по порядку величины, показывают удовлетворительное совпадение. В реакциях со сложными молекулами скорости малы вследствие малости величины стерического фактора. В реакциях с простыми молекулами при повышенных температурах $h\nu \ll kT$ и $\frac{f_v}{rot} \approx 1$. Поэтому для таких реакций теория бинарных соударений дает правильные результаты.

При образовании переходного состояния энтропия его может быть больше или меньше суммы энтропий молекул исходных веществ. В соответствии с этим предэкспоненциальный множитель $P = e^{\frac{\Delta S^\ddagger}{R}}$ в уравнении константы скорости реакций может быть как больше, так и меньше единицы. Несовпадение рассчитанных по теории бинарных соударений и измеренных экспериментально значений констант скорости теория переходного состояния объясняет необходимостью учитывать влияние изменения энтропии в процессе активации. С учетом энтропии активации может быть рассчитана абсолютная не содержащая никаких эмпирических поправок константа скорости реакции. Подобные расчеты носят название *расчетов абсолютных скоростей реакций*.

§ 11. Расчет энергии активации

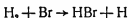
Чтобы рассчитать энергию активации, необходимо знать изменение потенциальной энергии переходного состояния при изменении расстояния между атомами. В двухатомной молекуле изменение энергии с расстоянием между атомами представлено на рис. 10. По оси ординат отложена энергия, по оси абсцисс расстояние между атомами. E_0 соответствует энергии молекулы в устойчивом невозбужденном состоянии, r_0 — расстоянию между атомами в такой молекуле, а D — энергия диссоциации, соответствующая удалению атомов друг от друга на бесконечное расстояние. Изменение энергии с изменением расстояния между атомами дается формулой Морзе

$$E = E_0 + D [1 - e^{a(r-r_0)}]^2,$$

где

$$\alpha = \omega_0 2\pi \sqrt{\frac{\mu}{2D}},$$

ω_0 — основная частота колебаний, μ — приведенная масса. Величины D , ω_0 и μ могут быть определены из спектральных данных. В простейшей реакции



переходное состояние включает три атома и энергия является функцией трех расстояний

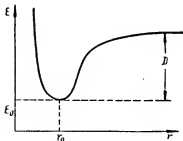


Рис. 10.



Для изображения зависимости энергии от конфигурации комплекса необходима трехмерная поверхность в четырехмерном пространстве (E , r_1 , r_2 , r_3).

Можно, однако, показать, что наименьшая энергия будет в случае линейного расположения атомов, т. е. когда $r_3 = r_1 + r_2$.

Для линейного трехатомного комплекса энергия является функцией двух расстояний, и для нахождения минимального энергетического барьера необходимо построить поверхность потенциальной энергии в трехмерном пространстве, так как независимо могут меняться и r_1 и r_2 , т. е. расстояния между атомами в молекуле H_2 и в молекуле HBr .

На рис. 11 дана зависимость расстояния между атомами в молекулах H_2 и HBr от величины энергии связей в этих молекулах. Отрезки l_{H_2} и l_{HBr} соответствуют расстоянию между атомами водорода и брома в переходном состоянии $\text{H} \dots \text{H} \dots \text{Br}$



Кривая показывает, как меняется энергия в процессе реакции по мере изменения расстояния между атомами в молекулах реагирующего и образующегося веществ. Эта кривая, энергетически описывающая весь путь реакции, называется *координатой реакции*.

Во многих случаях, связанных с коренным изменением электронной структуры (реакции с образованием ионов и изменением валентности вещества, например переход двухвалентного углерода в четырехвалентный, и т. п.), энергию и конфигурацию переходного состояния можно вычислить, исходя из энергии связей реагирующих веществ. Если бы не было никакого взаимодействия между реагирующими веществами, то изменение потенциальной энергии для одного из веществ (например, для водорода) изображалось бы кривой 1 (рис. 11), а изменение потенциальной энергии другого вещества (бромистого водорода) — кривой 2. В этом случае энергии актива-

ции реакций образования и разложения бромистого водорода равнялись бы E_1 и E_2 . Взаимодействие между молекулами и связанное с ним ослабление межатомных связей в молекулах приводит к снижению энергетического барьера до величины q_1 . Разность $E_1 - q_1$ называется *энергией возмущения*.

В реакциях, связанных с коренной перестройкой электронной структуры, энергия возмущения h мала по сравнению с энергией активации q_1 , поэтому приближенно можно положить

$$q_1 \approx E_1.$$

Таким образом, в подобных реакциях энергию активации, а значит и константу скорости реакции можно вычислить по энергии связи в реагирующих молекулах. При расчетах следует учесть, что экспериментально измеряется теплота активации, тогда как скорость реакции связана с изменением свободной энергии активации. Если не учитывать энергию возмущения, то можно рассчитать E_1 , меняя r_1 в

пределах 0,5—4 Å при постоянном r_2 , и наоборот, и построить поверхность потенциальной энергии.

Потенциальная энергия, а следовательно, и энергетический барьер активации являются функцией расстояния между атомами. На рис. 12 изображен энергетический путь реакции как функция расстояния между атомами при взаимодействии молекулы водорода с атомом брома. Показана проекция поверхности потенциальной энергии системы из трех атомов. (Величины энергии для простоты изображения поставлены произвольно.)

Сверху на рисунке приведено изменение потенциальной энергии при изменении расстояния между атомами в молекуле водорода (атом брома находится на бесконечно большом удалении). Справа — то же для молекулы бромистого водорода. Точка P отвечает переходному состоянию. Пунктиром показан энергетически наиболее выгодный путь реакции (атомы сближаются по прямой, соединяющей их центры). Этот путь отвечает постепенному поднятию из энергетической „долины“ (в области 10 ккал) молекулы H_2 на относительно плоскую площадку в области точки P (энергия активации) и спуску в другую „долину“ в области 10 ккал HBr . По бокам от этого пути расположены сравнительно высокие энергетические „холмы“. Отклонение от наимыгоднейшего пути — движения по „лощине“ — описывается колебаниями, являющимися аналогами деформационных колебаний в молекуле.

Бесконечно большими практически являются расстояния свыше 4 Å. Однако пренебрегать энергией возмущения можно только в редких случаях. Поэтому для построения поверхности потенциальной энергии необходимо учесть взаимное влияние всех атомов. Для построения поверхности потенциальной энергии даже для реакции молекула—атом не существует точных методов расчета. Применяется полуэмпирический метод расчета, принцип которого сводится к следующему.

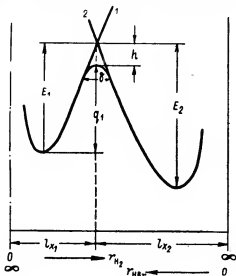


Рис. 11.

В реакции



где X, Y, Z — атомы, переходное состояние можно рассматривать как конфигурацию атомов, включающую одновременно молекулы XY, XZ, YZ . Для каждой двухатомной молекулы энергию связи можно представить как сумму кулоновской и обменной части энергии связи, например для молекулы XY

$$E_{XY} = A + \alpha,$$

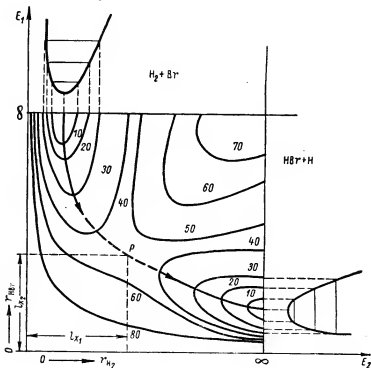


Рис. 12.

где A — так называемый кулоновский интеграл, равный энергии электростатического взаимодействия ядер и электронов в изолированной молекуле XY ; α — обменный интеграл, характеризующий специфику взаимодействия атомов. Аналогично для молекул XZ и YZ

$$E_{XZ} = B + \beta, \quad E_{YZ} = C + \gamma.$$

Согласно квантово-механическим представлениям энергия переходного состояния из трех атомов равна

$$E = A + B + C - \left\{ \frac{1}{2} \left[(\alpha - \beta)^2 + (\beta - \gamma)^2 + (\gamma - \alpha)^2 \right] \right\}^{\frac{1}{2}}. \quad (31)$$

Для расчета энергии как функции расстояний между атомами условно принимается, что кулоновская составляющая представляет определенную часть полной энергии, т. е.

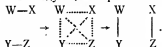
$$\frac{A}{A+\alpha} = \frac{B}{B+\beta} = \frac{C}{C+\gamma} \approx 0,1-0,15.$$

Приняв это предположение, можно, вычислив по формуле Морзе E_{XY} , E_{XZ} и E_{YZ} в функции от расстояний между $X-Y$, $X-Z$ и $Y-Z$, соответственно, рассчитать по уравнению (31) E как функцию r_1 и r_2 (для линейного комплекса $r_3 = r_1 + r_2$). Затем, построив поверхность потенциальной энергии E в зависимости от r_1 и r_2 (см. рис. 12), можно определить по проекции седловны величину энергии активации.

Если реагируют две двухатомные молекулы



то энергия комплекса будет функцией шести расстояний. Схематически реакцию можно представить следующим образом:



Переходное состояние можно рассматривать как комплекс из шести молекул WX , YZ , WZ , XY , WY и XZ . Поэтому пространство конфигураций (расстояний между атомами) необходимо заменить пространством связей.

В начале реакции существуют связи в молекулах WX и YZ . Суммарная энергия этих связей равна

$$a = a_1 + a_2,$$

где a_1 и a_2 — энергии связей в молекулах WX и YZ . В конце реакции суммарная энергия связей в молекулах WY и XZ равна

$$c = c_1 + c_2,$$

где c_1 и c_2 связи в молекулах WY и XZ . В переходном состоянии необходимо учесть наличие связей в молекулах WZ и XY

$$b = b_1 + b_2.$$

По мере образования и распада переходного состояния энергия от максимального значения a переходит к максимальному значению c . Величины a и c для различных расстояний между атомами можно вычислить по формуле Морзе. Затем для различных a и c так подбирают b , чтобы энергия системы была наименьшей. После этого строят поверхность потенциальной энергии E в функции от a и c и находят энергию активации.

Для реакций, в которых число участвующих атомов больше четырех, методы расчета значительно усложняются. Погрешность же расчетов, связанная с приближенностью и неточностью исходных предположений, настолько велика, что даже для самых простых реакций проблема теоретического расчета энергии активации по существу не может считаться решенной. Очевидно, что для расчета энергии активации необходимы принципиально иные пути.

ЛИТЕРАТУРА

- Г. М. Паиченков, В. П. Лебедев. Химическая кинетика и катализ. Изд-во МГУ, 1961.
В. Н. Кондратьев. Кинетика химических газовых реакций. М., Изд-во АН СССР, 1958.
С. Глестон, К. Лейдлер, Г. Эйринг. Теория абсолютных скоростей реакций. М., ИЛ, 1948.
С. Г. Глестон. Теоретическая химия. М., ИЛ, 1948.
Р. Фаулер, Э. Гуггенгейм. Статистическая термодинамика, гл. XII. М., ИЛ, 1949.
Н. Н. Семенов. О некоторых проблемах химической кинетики и реакционной способности. М., Изд-во АН СССР, 1958.
Вопросы химической кинетики, катализа и реакционной способности. М., Изд-во АН СССР, 1955.

ГЛАВА III

КИНЕТИКА ГОМОГЕННЫХ РЕАКЦИЙ

§ 12. Изменение порядка газовых реакций в зависимости от давления

Химическое превращение может происходить непосредственно в момент столкновения или после того, как столкнувшиеся молекулы разойдутся. Продолжительность столкновения составляет 10^{-11} — 10^{-13} сек, время жизни возбужденной молекулы порядка 10^{-8} сек, а промежуток между двумя соударениями при нормальных условиях равен в среднем 10^{-10} сек. В зависимости от того, какое время требуется для осуществления химического превращения, скорость реакции может зависеть или не зависеть от скорости дезактивации.

Скорость дезактивации молекул связана с концентрацией их, т. е. с давлением. Поэтому порядок газовых реакций, в которых играют роль процессы дезактивации, может меняться с давлением.

Найдем зависимость порядка реакции от давления. Возможность течения реакции связана с наличием процессов активации, дезактивации и химического превращения. Процесс активации осуществляется путем бинарных соударений неактивных молекул. Обозначим скорость процесса активации через

$$v_1 = k_1 C^2,$$

где k_1 — константа скорости процесса активации (величина экспериментально неопределимая, так как процесс активации невозможно изолировать от процессов химического превращения и дезактивации), C — концентрация неактивных молекул с очень большой степенью точности, равная общей концентрации газа, так как доля активных молекул ничтожно мала.

Активированная молекула может прекратить существование или путем дезактивации (посредством передачи избытка энергии при столкновении с нормальной молекулой), или же за счет химического превращения. Обозначим через C_a концентрацию активированных молекул, v_3 и k_3 — скорость и константу ско-

рости процесса химического превращения, v_2 и k_2 — скорость и константу скорости процесса дезактивации.

Величины k_2 и k_3 экспериментально неопределимы по той же причине, которая была указана для k_1 . Скорости процессов дезактивации и химических превращений соответственно будут

$$v_2 = k_2 CC_a, \quad v_3 = k_3 C_a.$$

Для стационарного процесса

$$v_1 = v_2 + v_3.$$

Если условие стационарности процесса не выполняется, то реакция или же быстро прекратится, не дойдя до конца при $v_1 < v_2 + v_3$, или же пойдет по цепному механизму за счет непрерывного роста числа активных частиц при $v_1 > v_2 + v_3$ и сможет перейти во взрыв.

Подставив в уравнение стационарности процесса выражения для скоростей реакции, получим

$$k_1 C^2 = k_2 CC_a + k_3 C_a,$$

откуда

$$v_3 = k_3 C_a = \frac{k_1 C^2 k_3 C_a}{k_2 CC_a + k_3 C_a} = \frac{k_1 C^2}{1 + \frac{k_2}{k_3} C}. \quad (32)$$

Рассмотрим два крайних случая.

1. Константа скорости химического превращения значительно больше константы скорости процесса дезактивации

$$\frac{k_2}{k_3} \ll 1.$$

В этом случае в уравнении стационарности можно пренебречь скоростью процесса дезактивации по сравнению со скоростями химического превращения и активации. Тогда реакция протекает по второму порядку независимо от давления.

$$v_3 = k_3 C_a = k_1 C^2. \quad (33)$$

Физический смысл неравенства $k_2 \ll k_3$ состоит в том, что время существования активированных молекул от момента активации до момента химического превращения ничтожно мало по сравнению со временем, протекающим между соударениями, и потому практически они не успевают дезактивироваться. Это наблюдается у несложных молекул, состоящих из небольшого числа атомов. Для разрыва связи при реакции не требуется перераспределения энергии по связям молекулы. В данном случае нет необходимости учитывать внутреннюю энергию и расчет константы скорости можно вести по формуле (II, 10).

Реакции, в которых одновременно реагируют обе сталкивающиеся молекулы, относятся к бимолекулярным реакциям. Отличительным признаком бимолекулярных реакций является неза-

зависимость порядка реакции от давления. Самым медленным процессом у бимолекулярных реакций является процесс активации. Этот процесс протекает по второму порядку ($v_1 = k_1 C^2$) и определяет собой скорость реакции в целом.

2. Константа скорости процесса дезактивации во много раз больше константы скорости химического превращения

$$\frac{k_2}{k_3} \gg 1.$$

Для достаточно больших давлений (не очень малое C) в уравнении (32)

$$\frac{k_2}{k_3} C \gg 1,$$

следовательно,

$$v_3 = k_3 C_a = \frac{k_1 k_3}{k_2} C = kC,$$

где k — экспериментальная константа скорости. Таким образом, подобные реакции протекают при высоких давлениях по первому порядку. В этом случае самым медленным процессом, определяющим скорость реакции, будет являться процесс самого химического превращения. Он протекает по первому порядку ($v_3 = k_3 C_a$), и от него зависит порядок реакции.

Количество активированных в единицу времени молекул во много раз превышает количество молекул, которые претерпевают химическое превращение, но подавляющее большинство их дезактивируется, не успев прореагировать. Это возможно тогда, когда время жизни активированных молекул велико, и для реакции необходимо перераспределение энергии по связям внутри активированных молекул. Перераспределение происходит после активирующего столкновения. Подобные реакции наблюдаются у молекул сложного строения, состоящих из большого числа атомов.

Перераспределение энергии внутри молекулы по связям необходимо для того, чтобы энергия сконцентрировалась именно на реакционно-чувствительной связи. Этот процесс миграции энергии зависит от времени. Химическое превращение происходит здесь спустя некоторое время после активирующего столкновения тогда, когда активированная частица существует уже сама по себе, реагирует одна. Поэтому такие реакции являются мономолекулярными.

Таким образом, мономолекулярные и бимолекулярные реакции различаются не только по химизму, но и по соотношению скоростей процессов дезактивации и химического превращения. В случае мономолекулярных реакций сложные молекулы испытывают химическое превращение в течение некоторого времени уже после активирующего столкновения. В случае бимолекулярных реакций химическое превращение молекулы испыты-

вают практически в самый момент активирующего столкновения. Однако экспериментальным путем изучить отдельно процессы дезактивации и химического превращения, изолировать их друг от друга невозможно. Поэтому невозможно экспериментально определить соотношение констант k_2 и k_3 и, таким образом, различить моно- и бимолекулярные реакции.

Практически отличить мономолекулярные реакции от бимолекулярных можно по изменению порядка реакции в зависимости от давления. Бимолекулярные реакции, как уже указывалось выше, протекают только по второму порядку. Для них уравнение (32) превращается в (33); кажущимся исключением является псевдомономолекулярные реакции.

Если при протекании мономолекулярной реакции давление, а следовательно, и концентрация C очень малы, то из (32) следует, что в этом случае

$$v_3 = k_3 C_a = k_1 C^2.$$

При низких давлениях вероятность дезактивации мала, и определяющим скорость реакции процессом (определяющей стадией) является процесс активации. Если давление достаточно велико, то мономолекулярная реакция протекает по первому порядку. При промежуточных давлениях порядок мономолекулярной реакции меняется в пределах от двух до единицы.

§ 13. Бимолекулярные газовые реакции

Бимолекулярный механизм реакции может быть представлен следующей схемой. При некоторых столкновениях двух нормальных молекул (при активирующих столкновениях) кинетическая энергия составляющей относительного движения по линии центров может превысить энергию связи в молекулах, что приведет к немедленному распаду обеих молекул или же только одной из них. Бимолекулярные реакции имеют ряд общих свойств:

- а) реагируют простые молекулы с небольшим числом связей;
- б) реакция протекает практически в самый момент соударения; активация и химическое превращение практически совпадают во времени, вследствие чего скорость процесса дезактивации настолько мала, что ею можно пренебречь;
- в) процессом, определяющим скорость реакции, является процесс активации; константу скорости реакции можно вычислить без учета внутренней энергии по уравнению (II, 10);
- г) бимолекулярные реакции протекают по второму порядку, независимо от давления.

Бимолекулярные реакции можно подразделить на две группы:

- 1) реакция присоединения $A + B \rightarrow X$,
- 2) реакция обмена $A + B \rightarrow X + Y$.

Эти две группы могут быть подразделены на три различных типа реакций:

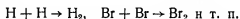
а) реакции присоединения, в которых А и В атомы (реакции рекомбинации атомов в молекулу),

б) реакции обмена, в которых одно из реагирующих веществ атом,

в) реакции присоединения и обмена, в которых участвуют только молекулы.

Теория бинарных соударений, как правило, рассматривает только последний тип реакций.

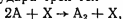
Реакция обмена с участием атомов протекает по цепному механизму. Реакции рекомбинации атомов протекают со скоростями, во много раз меньшими, чем это требуется теорией бинарных соударений. К реакциям рекомбинации относятся такие реакции, как



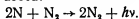
Скорость этих реакций настолько мала, что не всегда может быть измерена. Объясняется это тем, что хотя процесс и не нуждается в энергии активации ($\epsilon_*=0$), но образующиеся молекулы обладают огромным запасом энергии — больше энергии диссоциации молекулы на атомы. Благодаря этому продолжительность жизни образовавшихся молекул ничтожно мала, порядка продолжительности самого столкновения $10^{-11} \div 10^{-13}$ сек, и значительная часть этих молекул распадается снова на атомы.

При образовании молекулы из двух атомов энергия ее атомов равна сумме теплоты реакции при абсолютном нуле и кинетической энергии обоих атомов относительно центра тяжести. Если эта энергия находится в молекуле в виде колебательной энергии, то ее достаточно для разрыва связей между атомами, т. е. для диссоциации молекулы. Чтобы молекула не диссоциировала, ей необходимо освободиться от избытка энергии путем соударения. Поэтому увеличению скорости реакции рекомбинации благоприятствуют столкновения молекулы с другими, возбужденными молекулами, или же со стенками сосуда.

Следовательно, реакции рекомбинации могут протекать только как следствие удара трех тел

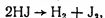


где X — частица стенки сосуда или инертная молекула. Если X — молекула, то реакция проходит через тройное соударение, если X — частица стенки сосуда, то реакция протекает как гетерогенная — на поверхности раздела фаз. При увеличении числа тройных соударений повышение давления обычно благоприятствует реакции рекомбинации. Иногда отвод избыточной энергии осуществляется в виде излучения, как, например, при реакции рекомбинации азота:



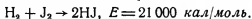
Приведем примеры бимолекулярных реакций.

1. Разложение йодистого водорода

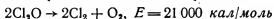


энергия активации E в расчете на обе молекулы равна 44 000 кал/моль.

2. Образование йодистого водорода

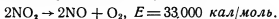


3. Термическое разложение окиси хлора

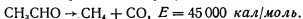


при $t = 60 \div 140^\circ\text{C}$. При более высоких температурах разложение окиси хлора происходит со взрывом.

4. Термическое разложение двуокиси азота



5. Термическое разложение уксусного альдегида



§ 14. Мономолекулярные газовые реакции

Мономолекулярный механизм реакции может быть представлен следующей схемой. При активирующем столкновении двух нормальных молекул образуется молекула с повышенной энергией. Естественно, что при таком столкновении энергия другой молекулы уменьшается. Эта молекула спустя некоторое время после столкновения претерпевает самопроизвольное превращение. Кинетическая энергия относительного движения молекул переходит при столкновении в колебательную энергию атомов по связям.

Во время существования активированной молекулы энергия внутренних колебаний перераспределяется по связям, и когда энергия колебаний определенной реакционно-чувствительной связи (или связей) превысит критическое значение, произойдет разрыв связи и превращение молекулы. Скорость мономолекулярных реакций зависит от внутренней энергии молекулы. Следовательно, рассчитывать константу скорости по формуле (II, 10) в этом случае уже нельзя. Необходимо учесть энергию внутренних колебаний молекулы.

Число осцилляторов в молекуле определяет собой число возбуждаемых реакционно-чувствительных (подлежащих разрыву) связей. В молекуле из m атомов, не имеющей двойных и тройных связей, общее число связей равно $m - 1$, а число степеней свободы колебательного движения (максимальное возможное число осцилляторов) $3m - 6$, $3m - 5$ соответственно для нелинейных и линейных молекул. Если m велико, то на одну связь приходится

$$\frac{3m-6}{m-1} \approx 3$$

степеней свободы колебательного движения. В молекуле, состоящей из двух атомов, одной связи отвечает одна степень свободы колебательного движения. Наличие в молекуле двойных и тройных связей уменьшает число осцилляторов, приходящихся на одну одинарную связь.

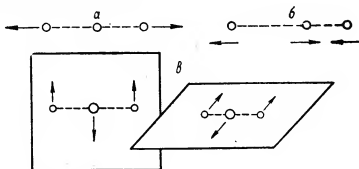


Рис. 13.

Таким образом, число степеней свободы колебательного движения, приходящихся на одну связь (в одинарной, двойной или тройной связи), меняется в пределах от единицы (для простых молекул) до трех (у сложных молекул). Так, например, линейная трехатомная молекула имеет четыре колебательных степени свободы: симметричное валентное колебание (рис. 13, а), антисимметричное валентное колебание (рис. 13, б) и два деформационных колебания в двух взаимно перпендикулярных плоскостях (рис. 13, в). Все другие деформационные колебания могут быть представлены как сумма двух деформационных колебаний, изображенных на рис. 13, в.

Существование активированной молекулы может быть прервано или путем дезактивации при столкновении с обычной молекулой или путем ее распада.

Найдем выражение для константы скорости мономолекулярных реакций. Обозначим через v — число молекул А в единице объема; λ_1 — долю инертных молекул А, превращающихся в единицу времени в единице объема в активированные молекулы А' по схеме: $A \rightarrow A' \rightarrow$ продукты реакции (вследствие того, что активация осуществляется путем бинарных соударений, λ_1 пропорциональна концентрации); λ_{-1} — долю активированных молекул, дезактивирующихся в единицу времени в единице объема при столкновении с другими (обычными) молекулами; λ_0 — долю активированных молекул, реагирующих в единицу времени в единице объема.

Тогда число образовавшихся в единицу времени в единице объема активированных молекул A' равно $v' = v\lambda_1$. Число дезактивированных молекул A' равно $v\lambda_1\lambda_{-1}$ и число прореагировавших — $v\lambda_1\lambda_0$. Скорость реакции

$$-\frac{dv}{dt} = v\lambda_1\lambda_0.$$

Согласно условию стационарности процесса,

$$v\lambda_1 = v\lambda_1\lambda_{-1} + v\lambda_1\lambda_0$$

и

$$\lambda_{-1} + \lambda_0 = 1.$$

С учетом этого обстоятельства

$$-\frac{dv}{dt} = v\lambda_1 \frac{\lambda_0}{1} = v\lambda_1 \frac{\lambda_0}{\lambda_{-1} + \lambda_0}.$$

Молекулярная константа, характеризующая прочность реакционно-чувствительных связей λ_0 , не зависит от концентрации, тогда как λ_1 и λ_{-1} пропорциональны давлению. Последнее связано с тем, что как активация, так и дезактивация осуществляются путем бинарных соударений. Величины λ_1 и λ_{-1} представляют собой число столкновений 1 молекулы (соответственно обычной или активной) со всеми остальными в единице объема в 1 сек.

Убедимся, что полученное для скорости реакции выражение отвечает свойствам мономолекулярных реакций. При высоких давлениях процесс дезактивации намного вероятнее процесса самопроизвольного разложения и $\lambda_{-1} \gg \lambda_0$. В этом случае

$$-\frac{dv}{dt} = \lambda_1 \frac{\lambda_0}{\lambda_{-1}} v,$$

и реакция протекает по первому порядку; экспериментальная константа скорости мономолекулярной реакции

$$k_1 = \lambda_0 \frac{\lambda_1}{\lambda_{-1}}. \quad (34)$$

При достаточно малых давлениях вероятность дезактивации за счет столкновений мала и $\lambda_0 \gg \lambda_{-1}$. Тогда

$$-\frac{dv}{dt} = \lambda_1 v.$$

Величина λ_1 пропорциональна концентрации, следовательно, реакция пойдет по второму порядку.

Таким образом, при высоких давлениях процесс дезактивации преобладает над процессом самопроизвольного разложения, и реакция идет по первому порядку. При низких давлениях процесс самопроизвольного превращения преобладает над процессом дезактивации, и реакция протекает по второму по-

рядку. При промежуточных давлениях порядок реакции лежит между первым и вторым.

Переход от первого порядка ко второму (или обратно) осуществляется в случаях, когда

$$\frac{\lambda_0}{\lambda-1} \approx 1.$$

При высоких давлениях, когда мономолекулярная реакция протекает по первому порядку, процесс разложения не нарушает заметно концентрации активированных молекул. Скорость этого процесса мала по сравнению со скоростью процесса дезактивации.

Подавляющее большинство активирующихся частиц гибнет за счет дезактивации. Следовательно, можно считать, что скорость процесса дезактивации равна скорости активации

$$v\lambda_{-1} = v\lambda_1.$$

Следовательно, число активированных частиц будет

$$v' = v \frac{\lambda_1}{\lambda-1}.$$

Отсюда и из уравнения (34) имеем:

$$k_1 = \lambda_0 \frac{v'}{v}. \quad (35)$$

Отношение $\frac{v'}{v}$ представляет собой долю активированных молекул от общего числа частиц.

Чтобы иметь возможность вычислить константу скорости мономолекулярной реакции, нужно знать, чему равна доля активированных молекул. Найти долю активированных частиц все равно, что найти вероятность для молекулы иметь энергию свыше некоторого значения. Эта вероятность (см. приложение 3) равна

$$p = \frac{1}{(s-1)!} \left(\frac{\epsilon_v^*}{kT} \right)^{s-1} e^{-\frac{\epsilon_v^*}{kT}} \quad \text{или} \quad p = e^{-\frac{\epsilon_v^*}{kT}} \sum_{s=1}^{S-1} \frac{1}{(s-1)!} \left(\frac{\epsilon_v^*}{kT} \right)^{s-1}.$$

Здесь S — число степеней свободы колебательного движения, ϵ_v^* — энергия активации (с учетом энергии внутренних колебаний атомов в молекуле). Будем учитывать только энергию внутренних колебаний, не принимая во внимание вращательной и поступательной энергии молекулы.

Пренебрежение поступательными и вращательными степенями свободы не внесет существенной ошибки в вычисление, так как мономолекулярный механизм характерен для сложных молекул с большим числом атомов. У таких молекул колебательная энергия атомов в молекуле во много раз больше, чем сумма поступательной и вращательной энергии молекулы.

Энергетический механизм мономолекулярных реакций в первом приближении можно представить следующим образом. После активирующего столкновения сумма внутренней энергии молекул и кинетической энергии их относительного движения переходит в энергию внутренних колебаний одной из молекул и локализуется на одной или нескольких связях. Если при этом энергия внутренних колебаний превышает энергию активации, то молекула распадается. Таким образом, в мономолекулярных реакциях решающую роль играют внутренние степени свободы.

Зная вероятность для молекулы иметь энергию свыше ϵ_v^* или, что то же самое, долю молекул, которые обладают внутренней энергией свыше заданного значения, можно вычислить константу скорости мономолекулярной реакции. Доля молекул, обладающих повышенной энергией, есть не что иное, как доля активных молекул $\frac{v'}{v}$.

$$k_1 = \lambda_0 \frac{v'}{v} = \lambda_0 e^{-\frac{\epsilon_v^*}{kT}} \sum_{s=1}^{S-1} \left(\frac{\epsilon_v^*}{kT} \right)^{s-1} \cdot \frac{1}{(s-1)!} \quad (36)$$

Или для реакций, в которых $\epsilon_v^* \gg SkT$,

$$k_1 = \lambda_0 e^{-\frac{\epsilon_v^*}{kT}} \frac{1}{(s-1)!} \left(\frac{\epsilon_v^*}{kT} \right)^{s-1} \quad (37)$$

Для проверки допустимых исходных предпосылок вывода сопоставим расчетные величины констант мономолекулярных реакций с экспериментальными данными. В формулах (36) и (37) величины k_1 , λ_0 и ϵ_v^* могут быть вычислены из опыта, энергия активации — по зависимости константы скорости реакции от температуры, λ_0 — по давлению, при котором меняется порядок реакции. Зная k_1 , λ_0 и ϵ_v^* , по уравнениям (36) или (37) можно рассчитать число осцилляторов.

Можно также рассчитать, при каком давлении должен меняться порядок мономолекулярной реакции. Для этого из уравнения (37) найдем зависимость константы скорости от температуры

$$\begin{aligned} \ln k_1 &= \ln \frac{\lambda_0}{(s-1)!} - \frac{\epsilon_v^*}{kT} + (S-1) \ln \frac{\epsilon_v^*}{kT}, \\ \frac{d \ln k_1}{dT} &= \frac{\epsilon_v^* - (S-1)kT}{kT^2} \approx \frac{\epsilon_v^*}{kT^2}. \end{aligned} \quad (38)$$

Формула (38) справедлива при тех же условиях, что и исходная (37). С помощью (38) по экспериментальным значениям константы скорости реакции при разных температурах можно вычислить величину активации ϵ_v^* .

Долю распадающихся молекул λ_0 непосредственно экспериментальным путем измерить нельзя. Однако эту величину можно вычислить приближенно при таких давлениях, когда изменяется порядок реакции и $\lambda_0 \approx \lambda_{-1}$.

Долю дезактивирующихся молекул можно вычислить по теории бинарных соударений.

В реакциях, подвергающихся экспериментальному изучению, энергия активации обычно велика — порядка десятков тысяч калорий на моль. Доля

активированных молекул $e^{-\frac{e_v}{kT}}$ в таких реакциях ничтожно мала. Вследствие этого большинство столкновений нормальных молекул с активными приводит к дезактивации последних, потери ими избыточной энергии, так как приобретение активированной молекулой избыточной энергии при столкновении с нормальной молекулой гораздо менее вероятно, чем отдача части избыточной энергии нормальной молекуле. Можно считать поэтому, что вероятность дезактивации активных молекул в единицу времени равна числу столкновений активированных и нормальных молекул.

Число столкновений активированных и нормальных молекул в единице объема в единицу времени равно

$$2\nu v \left(\frac{2\pi kT}{\mu} \right)^{\frac{3}{2}} r_{12}^2$$

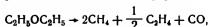
Поделив число столкновений на концентрацию активных молекул, получим долю дезактивирующихся в единицу времени молекул, т. е. величину

$$\lambda_{-1} = 2\nu r_{12}^2 \left(\frac{2\pi kT}{\mu} \right)^{\frac{3}{2}} = 2\nu r^2 \left(\frac{4\pi kT}{m} \right)^{\frac{3}{2}} \approx \lambda_0, \quad (39)$$

где ν — концентрация частиц при таком давлении, при котором меняется порядок реакции.

По формулам (37), (38) и (39) вычислим, при каком давлении должен меняться порядок некоторых мономолекулярных реакций.

1. Термическое разложение диэтилового эфира



изученное в интервале температур 700–860° К и до давлений 200 мм рт. ст., является гомогенной реакцией первого порядка. При более низких давлениях процесс протекает по второму порядку. Для расчетов положим:

$$r_{12} = 5 \cdot 10^{-8} \text{ см}, \quad T = 800^\circ, \quad m = \frac{74}{6 \cdot 10^{23}}, \quad \text{тогда, согласно (39),}$$

$$\lambda_{-1} = 1,5 \cdot 10^{-10} \nu \text{ сек}^{-1}.$$

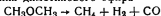
Экспериментальные данные показывают, что порядок реакции меняется при давлении 200 мм рт. ст. При этом давлении $\nu = 2,4 \cdot 10^{18}$ молекул на 1 см³ и $\lambda_{-1} = 12,7 \cdot 10^8 \text{ сек}^{-1}$. Константа скорости этой реакции может быть выражена эмпирической формулой, соответствующей уравнению (37)

$$k_1 = 6,9 \cdot 10^8 \cdot \frac{1}{3!} \left(\frac{29000}{T} \right)^3 \cdot e^{-\frac{29000}{T}} \text{ сек}^{-1}.$$

Следует учесть, что при составлении эмпирического уравнения константы скорости величина энергии активации должна быть выбрана в соответствии с данными по зависимости скорости реакции от температуры — урав-

исие (38), величина же S должна быть целым числом. Из эмпирического уравнения для константы скорости находим $\lambda_0 = 6,9 \cdot 10^3 \text{ сек}^{-1}$. Таким образом, приняв $S = 4$, в соответствии с экспериментальными данными для давления 200 мм рт. ст. получаем $\frac{\lambda-1}{\lambda_0} \approx 1$.

2. Реакция разложения диметилового эфира



гомогенна и при температурах 700—825° К протекает по первому порядку до давлений 400 мм рт. ст. Константа скорости этой реакции может быть выражена эмпирической формулой

$$k_1 = 1,7 \cdot 10^3 \cdot \frac{1}{5!} \left(\frac{33\,250}{T} \right)^5 \cdot e^{-\frac{33\,250}{T}} \text{ сек}^{-1}.$$

Откуда $S = 6$ и $\lambda_0 = 1,7 \cdot 10^3 \text{ сек}^{-1}$. Положив $r_{12} = 4,0 \cdot 10^{-8} \text{ см}$, $m = \frac{45}{6 \cdot 10^{23}}$ и $T = 800^\circ \text{ К}$ для давления 400 мм рт. ст., найдем, что число дезактивирующих столкновений в единицу времени при $v = 4,8 \cdot 10^{18}$ молекул в 1 см^3 $\lambda_{-1} = 2 \cdot 10^3 \text{ сек}^{-1}$. Таким образом, и в этой реакции для давления, при котором меняется порядок реакции, λ_{-1} совпадает по порядку величины с λ_0 .

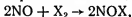
Следует учесть, что большего согласия теории с опытом ожидать трудно, так как переход от первого порядка ко второму совершается не при строго определенной величине давления, а в некотором интервале давления. При давлениях, соответствующих верхней границе этого интервала, реакция идет по первому порядку, начиная с нижней границы — по второму, а внутри интервала — по промежуточному. В табл. 5 приведены примеры мономолекулярных реакций термического распада, для которых теория находится в удовлетворительном согласии с экспериментом.

Таблица 5

Реагент	Температура, °К	Давление, см рт. ст.	$\frac{E}{R}$, град	S
N_2O	833—940	8,1—800	26 500	1
$\text{C}_2\text{H}_5\text{NH}_2$	773—813	5,0—40	21 700	3
$\text{CH}_3\text{OC}_2\text{H}_5$	659—733	2,6—54	23 500	4
$\text{CH}_3\text{OC}_2\text{H}_7$	673—723	2,2—33	24 500	6
$\text{CH}_3\text{N}=\text{NNHCH}_3$	473—503	0,019—8	16 900	7
$\text{CH}_3\text{N}=\text{NC}_3\text{H}_7$	523—605	0,0058—13	23 740	17

§ 15. Тримолекулярные газовые реакции

Характерной особенностью тримолекулярных реакций является малая величина энергии активации реакции. Последнее может быть, если в реакции участвуют радикалы или молекулы, близкие по свойствам к радикалам — ненасыщенные молекулы, способные к реакции присоединения. Такой молекулой, в частности, является молекула окиси азота. Во всех известных тримолекулярных газовых реакциях участвуют две молекулы окиси азота. Они могут быть представлены следующей схемой:



где X — водород, кислород, хлор, бром.

При малой величине энергии активации и достаточно высоких температурах возможно уменьшение константы скорости реакции с повышением температуры. Этот факт необъясним с позиций теории столкновений. Кроме того, значения констант скорости, вычисленные по теории столкновений, у ряда тримолекулярных реакций оказались намного выше определенных экспериментально. Теория переходного состояния позволяет объяснить как отрицательный температурный коэффициент, так и несоответствие вычисленных и экспериментальных значений константы скорости.

Согласно уравнению (29),

$$k_1 = \kappa \frac{kT}{h} \frac{Z^\#}{Z_{\text{NO}}^2 Z_{\text{X}_2}} e^{-\frac{E_0}{RT}},$$

где $E_0 = E_0^\# - E_{0\text{NO}} - E_{0\text{X}_2}$ — энергия активации при абсолютном нуле.

Найдем вид зависимости константы скорости от температуры. Молекулы NO и X_2 имеют по 3 поступательных, 2 вращательных и 1 колебательной степени свободы. Переходное состояние состоит из 6 атомов и имеет 3 поступательных степени свободы, 1 степень свободы по пути реакции, 3 вращательных и $3 \cdot 6 - 7 = 11$ колебательных. С учетом этого

$$\begin{aligned} Z_{\text{NO}} &= \frac{(2\pi m_{\text{NO}} kT)^{3/2} 8\pi^2 I_{\text{NO}} kT}{h^3 h^2 \left(1 - e^{-\frac{h\nu_{\text{NO}}}{kT}}\right)}, \\ Z_{\text{X}_2} &= \frac{(2\pi m_{\text{X}_2} kT)^{3/2} 8\pi^2 I_{\text{X}_2} kT}{h^3 h^2 \left(1 - e^{-\frac{h\nu_{\text{X}_2}}{kT}}\right)}, \\ Z^\# &= \frac{(2\pi m^* kT)^{3/2} (8\pi^2 I^* kT)^{3/2}}{h^3 h^3 \left(1 - e^{-\frac{h\nu^*}{kT}}\right)^{11}}, \\ k_1 &= \kappa \frac{kT}{h} \frac{(m^* I^*)^{3/2} h^3 \left(1 - e^{-\frac{h\nu^*}{kT}}\right)^{-11} \left(1 - e^{-\frac{h\nu_{\text{NO}}}{kT}}\right)^2 e^{-\frac{E_0}{RT}}}{m_{\text{NO}}^3 I_{\text{NO}}^2 m_{\text{X}_2}^{3/2} I_{\text{X}_2} (2\pi kT)^3 (8\pi^2 kT)^{3/2} \left(1 - e^{-\frac{h\nu_{\text{X}_2}}{kT}}\right)^{-1}} = \\ &= GT^{-7/2} \frac{\left(1 - e^{-\frac{h\nu^*}{kT}}\right)^{-11} e^{-\frac{E_0}{RT}}}{\left(1 - e^{-\frac{h\nu_{\text{NO}}}{kT}}\right)^{-2} \left(1 - e^{-\frac{h\nu_{\text{X}_2}}{kT}}\right)^{-1}}. \end{aligned} \quad (40)$$

В уравнении (40) множитель G включает все величины, не зависящие от температуры. При высоких частотах колебаний

$1 - e^{-\frac{h\nu}{kT}} \approx 1$, тогда

$$k_1 = GT^{-7/2} e^{-\frac{E_0}{RT}}. \quad (41)$$

Из (41) следует:

$$\ln k_1 = \ln G - \frac{7}{2} \ln T - \frac{E_0}{RT},$$

$$\frac{d \ln k_1}{dT} = -\frac{7}{2T} + \frac{E_0}{RT^2} = \frac{E_0 - \frac{7}{2} RT}{RT^2}. \quad (42)$$

Выражение (42) показывает, что при $\frac{7RT}{2} > E_0$ температурный коэффициент будет отрицателен, при $\frac{7RT}{2} < E_0$ — положительный. Иными словами, до значений температуры, при которой $\frac{7RT}{2} = E_0$, константа скорости с повышением температуры должна

возрастать, после чего дальнейший рост температуры связан с уменьшением константы скорости (рис. 14). Так, например, в реакции $2\text{NO} + \text{O}_2$ константа скорости падает с $86 \cdot 10^9$ до $2 \cdot 10^9$ $\text{см}^6 \cdot \text{моль}^{-2} \cdot \text{сек}^{-1}$ при изменении температуры от 80 до 560°K .

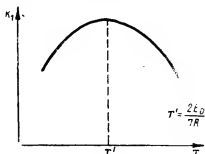
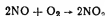


Рис. 14.

Можно, однако, дать иное объяснение уменьшению константы скорости с ростом температуры. Тримолекулярные реакции можно рассматривать как двухстадийные бимолекулярные. Первая стадия протекает быстро с установлением равновесия, вторая — значительно медленнее. С ростом температуры скорость каждой из этих реакций увеличивается. Одновременно с этим равновесие в первой стадии смещается в сторону разложения промежуточного соединения, что приводит к уменьшению экспериментальной константы скорости с температурой.

Так, реакция

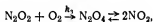


протекает через стадии



с константой равновесия

$$K = \frac{k_1}{k_2}.$$



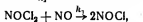
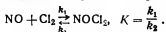
$$\frac{d[\text{NO}_2]}{dt} = k_3 [\text{N}_2\text{O}_2] [\text{O}_2] = k_3 K [\text{NO}]^2 [\text{O}_2].$$

Реакция протекает по третьему порядку и экспериментальная константа скорости равна

$$k_p = k_3 K.$$

Константа скорости k_3 растет с ростом температуры, но константа равновесия K уменьшается в большей степени и k_p также уменьшается.

Аналогично при образовании хлористого нитрозила

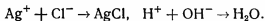


$$\frac{d[\text{NOCl}]}{dt} = k_3 [\text{NOCl}_2] [\text{NO}] = k_3 K [\text{NO}]^2 [\text{Cl}_2].$$

§ 16. Бимолекулярные реакции в растворах

Все реакции в растворах по скорости их протекания можно разделить на 4 группы:

1) мгновенные реакции—реакции электростатического взаимодействия, нейтрализации зарядов, как, например,



У таких реакций отсутствует изменение в ковалентных связях, и скорость процесса определяется скоростью подвода реагирующего вещества: перемешивания растворов, конвекции, диффузии;

2) быстрые реакции, у которых вычисленная по теории бинарных соударений константа скорости меньше определенной экспериментально ($P > 1$, доходя до 10^8). Эти реакции встречаются как среди ионных реакций, в которых происходит изменение в ковалентных связях ионов (комплексных или органических), так и среди молекулярных реакций, как, например, при денатурации белков. Количественное (термодинамическое) объяснение этому явлению дается в теории переходного состояния;

3) нормальные реакции, у которых экспериментальная константа скорости совпадает с вычисленной по теории бинарных соударений. Последнее наблюдается, как правило, когда в растворах реагируют молекула с ионом или полярные молекулы;

4) медленные реакции, у которых экспериментальная константа скорости меньше вычисленной по теории бинарных соударений ($P < 1$, доходя до 10^{-10}).

Можно показать теоретически (см. приложение 4), что для бимолекулярных реакций в растворе применима теория бинарных соударений газовой фазы. При изучении реакций в растворах можно пользоваться уравнениями теории бинарных соударений, дающими общее число столкновений, число активных столкновений, зависимость константы скорости реакции от температуры и т. д. Применение теории бинарных соударений ограничено необходимостью выполнения ряда условий, а именно:

1) размеры и форма молекул растворенного вещества не должны существенно отличаться от размеров и формы молекул растворителя;

2) должны отсутствовать силы специфического взаимодействия между молекулами растворенного вещества и растворителя.

теля; раствор должен быть идеальным или не слишком отличаться от него;

3) скорость реакции при взаимодействии в условиях отсутствия идеального смешения компонентов в жидкой фазе не должна быть очень велика, иначе она будет определяться диффузией, а не химическим превращением.

Строго говоря, перечисленные выше условия не выполняются в реальных растворах. В растворах неизбежно образование сольватов, наличие роев молекул, растворение иногда связано с диссоциацией молекул растворенного вещества и т. д. Все это приводит к отклонению от идеальной картины. Теория не может установить допустимой степени отклонения в реальных растворах от требуемых предпосылок. Поэтому вопрос о практической применимости теории бинарных соударений к растворам можно решить только путем сопоставления теоретических расчетов с экспериментальными данными.

Существует несколько методов проверки применимости теории бинарных соударений к растворам. Рассмотрим эти методы.

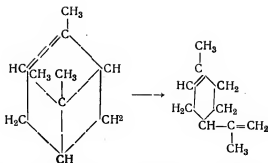
Метод сопоставления констант в жидкой и газообразной фазах. Если теория бинарных соударений применима к растворам, то константа скорости одной и той же реакции в газовой фазе и в растворе должна быть одинаковой. Опыт показывает, что нередко растворитель действительно является инертным или почти инертным по отношению к реагирующим веществам. Так, например, мономолекулярная реакция разложения пятиоксида азота протекает с приблизительно одинаковой константой скорости и в газообразной фазе и в таких растворителях, как четыреххлористый углерод, хлороформ, бром, четырехокись азота, нитрометан и трихлорзамещенные производные этана. Напротив, такие растворители, как азотная кислота и дихлорпропан, обладают заметным каталитическим действием: понижают скорость этой реакции в среднем в 25 раз и заметно повышают теплоту активации. Значения константы скорости реакции разложения пятиоксида азота в некоторых растворителях при различных температурах приведены в табл. 6.

Таблица 6

$t^{\circ}\text{C}$	Значение $K \cdot 10^5 \text{ сек}^{-1}$		
	в газообр. фазе	в CCl_4	в CHCl_3
25	3,38	4,09	3,72
30	5,89	8,42	10,3
35	13,5	16,2	14,5
40	24,7	32,2	38,1
45	49,8	61,1	50,1
50	75,9	116	128
55	150	212	166

Энергия активации реакции разложения пятиоксида азота в газообразной фазе, хлороформе и четыреххлористом углероде одинакова и равна $25000 \pm \pm 500 \text{ кал}$.

Гомогенная реакция изомеризации d-пинена в дипентен при температурах около 200°C также протекает мономолекулярно



Константы скорости этой реакции в газовой фазе, в жидкой фазе и в растворе (петролейный эфир) также не очень сильно различаются между собою (табл. 7).

Таблица 7

Среда	Значение $K \cdot 10^5 \text{ сек}^{-1}$ при		
	$T = 184,5^\circ \text{C}$	$T = 197,9^\circ \text{C}$	$T = 217,9^\circ \text{C}$
Газ	3,66	14,3	88,5
Чистая жидкость	4,99	—	—
Петролейный эфир	—	21,3	130

Бимолекулярная реакция разложения монооксида хлора в газовой фазе и четыреххлористом углеводе протекает также примерно с одинаковой константой скорости и имеет одну и ту же величину энергии активации в обоих случаях. Ниже приведены значения времени, требуемого для изменения концентрации от 20 до 60% прореагировавшего вещества в растворе и в газовой фазе ($E_{\text{раств}} = 20\,300 \text{ кал}$, $E_{\text{газ}} = 21\,000 \text{ кал}$). В среднем отношение $\frac{t_{\text{раств}}}{t_{\text{газ}}}$

составляет примерно 1,03, что отвечает равенству констант скоростей реакций в обеих фазах.

T°, C	70,7	59,8	69,8	65,2	60,1	75,3	80,1
$\frac{t_{\text{раств}}}{t_{\text{газ}}}$	1,05	1,14	0,92	1,02	0,95	0,89	1,25

Метод сопоставления вычисляемых и экспериментальных величин. Применимость теории бинарных соударений к растворам можно проверить, сопоставляя вычисленные по этой теории кинетические величины с измеренными экспериментально. Так, например, можно вычислить константу скорости бимолекулярной реакции по уравнению (II,16), экспериментально определив энергию активации по зависимости константы скорости реакции от температуры.

Для реакции между йодистым метилом и этилатом натрия в этиловом спирте при 18°C значение $k_{\text{выч}} = 4,1 \cdot 10^{-4} \text{ л/моль} \cdot \text{сек}$ при вычислении принято $E = 19\,500 \text{ кал}$, $r_1 = 2,64 \cdot 10^{-8} \text{ см}$, $r_2 = 2,74 \cdot 10^{-8} \text{ см}$. Экспериментальная константа

$$k_3 = 4,96 \cdot 10^{-4} \text{ л/моль} \cdot \text{сек}.$$

Из соотношения скорости реакции с числом столкновений можно вычислить энергию активации и по зависимости константы скорости реакции от температуры сопоставить полученную величину с определенной экспери-

ментально. Так, в реакции соединения бромистого этила с диэтилсульфидом в бензиловом спирте



при $80^\circ C$ $E_{\text{экс}} = 24\,470 \pm 1000 \text{ кал}$, $k_2 = 2,44 \cdot 10^{-5} \text{ л/моль} \cdot \text{сек}$. Общее число столкновений в 1 см^3 по формуле (II,6) составляет $1,59 \cdot 10^{32}$. Число молекул, соединяющихся в секунду в 1 см^3 , равно

$$2,44 \cdot 10^{-5} \cdot \frac{6 \cdot 10^{23}}{1000} = 1,48 \cdot 10^{16},$$

отсюда

$$e^{-\frac{E}{RT}} = \frac{1,48 \cdot 10^{16}}{1,59 \cdot 10^{32}} = 0,93 \cdot 10^{-16},$$

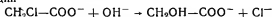
$$E = 25\,800 \text{ кал/моль}.$$

Наконец, по формуле (II,10) можно вычислить число столкновений при концентрациях, равных единице, и сопоставить полученную величину с числом столкновений, определенных по уравнению Аррениуса z_A из экспериментальной константы

$$k_2 = b e^{-\frac{E}{RT}} \cdot 6 \cdot 10^{20} = z_A e^{-\frac{E}{RT}} \quad \text{и} \quad z_A = b \cdot 6 \cdot 10^{20}.$$

При таком вычислении величины $\lg k_2$ являются функцией от обратной температуры и графически экстраполируются на значение обратной температуры, равное нулю.

Для реакции



в водном растворе в интервале температур $70-130^\circ C$, с промежутками через $10^\circ C$, величина z_A , определенная из графика $\lg k_2 - \frac{1}{T}$, равна $4,55 \cdot 10^{11}$. Число столкновений, вычисленное по формуле (II, 6) при $v_1 = v_2 = N$, составляет $2,86 \cdot 10^{11}$.

В табл. 8 приведено несколько примеров бимолекулярных реакций, которые иллюстрируют удовлетворительное совпадение между вычисленными по теории бинарных соударений и экспериментально измеренными константами скорости.

Таблица 8

Реакция	Растворитель	E , кал/моль	$\frac{K_{\text{выч}}}{K_2}$
$CH_3ONa + 1, 2, 4-C_6H_3(NO_2)_2$	CH_3OH	17 450	1,3
$CH_3ONa + CH_3J$	C_2H_5OH	19 490	0,8
$C_2H_5ONa + C_2H_5J$	C_2H_5OH	20 650	1,5
$C_6H_5CH_2ONa + \text{изо-}C_4H_9J$	C_2H_5OH	21 350	1,0
$C_2H_5Br + OH^-$	C_2H_5OH	21 400	0,9
$CH_3JCOO^- + OH^-$	H_2O	22 370	0,5
$CH_3(CH_2)_3Cl + J^-$	$(CH_3)_2CO$	23 500	0,7
$C_3H_7Br_2 + J^-$	CH_3OH	25 100	1,3

§ 17. Мономолекулярные реакции в растворах

В разбавленных растворах число столкновений частицы растворенного вещества с молекулами растворителя в тысячи раз

больше, чем число столкновений молекул растворенного вещества друг с другом. Поэтому в отличие от газов в растворах активация и дезактивация осуществляются преимущественно при столкновении частицы растворенного вещества с молекулами растворителя.

Найдем константу скорости мономолекулярных реакций в растворе. Скорость реакции равна числу таких столкновений в единицу времени в единице объема молекул растворенного вещества с частицами растворителя, для которых энергия соударений равна или больше энергии активации. Число подобных соударений равно общему числу столкновений молекул растворенного вещества с молекулами растворителя, умноженному на долю активных столкновений, т. е. на вероятность для молекулы растворенного вещества иметь энергию внутренних колебаний свыше заданного предела.

Обозначим через Z_s число столкновений одной молекулы растворенного вещества в единицу времени в единице объема с молекулами растворителя. Если концентрация растворенного вещества C , то скорость реакции, т. е. число соударений, приводящих к реакции, равна

$$v = z_s C \frac{v'}{v},$$

где $\frac{v'}{v}$ — доля активных частиц. Но $\frac{v'}{v}$ равна (см. приложение 3)

$$\frac{v'}{v} = \frac{1}{(s-1)!} e^{-\frac{E}{RT}} \left(\frac{E}{RT} \right)^{s-1},$$

следовательно,

$$v = \frac{z_s C}{(s-1)!} e^{-\frac{E}{RT}} \left(\frac{E}{RT} \right)^{s-1}.$$

Константа скорости мономолекулярной реакции в растворе соответственно равна

$$k_1 = \frac{v}{C} = \frac{z_s}{(s-1)!} e^{-\frac{E}{RT}} \left(\frac{E}{RT} \right)^{s-1}.$$

Найдем, чему равно z_s . Средняя величина смещения частицы растворенного вещества под влиянием соударений с молекулами растворителя дается уравнением Эйнштейна. Это уравнение в данном случае можно применить потому, что истинная скорость движения молекул чрезвычайно велика по сравнению со скоростью эйнштейновского смещения. Средняя величина смещения $\Delta \bar{x}$ вдоль одной из пространственных координат за время t , согласно формуле Эйнштейна, связана с временем уравнением

$$\Delta \bar{x}^2 = \frac{RTt}{3\pi\eta N}.$$

Здесь $\Delta \bar{x}^2$ — средний квадрат смещения вдоль одной из координатных осей за время t в разбавленном растворе для сферической молекулы, размеры которой велики по сравнению с размерами молекул растворителя, η — вязкость среды, T — температура, r — радиус частицы, D_0 — ее диаметр.

Смещение в пространстве трех измерений можно найти, учитывая, что $\overline{\Delta S^2} = 3\overline{\Delta x^2}$, откуда

$$\overline{\Delta S^2} = \frac{TRt}{\pi\eta Nr}.$$

Определим смещение частицы растворенного вещества за время t (время между двумя последовательными столкновениями частицы растворенного вещества с молекулами растворителя). В этом случае $\Delta S = \lambda$, где λ — средняя длина свободного пробега частицы, $t = \frac{u}{\lambda}$, где t — среднее время свободного пробега частицы, а u — ее средняя квадратичная скорость. Тогда

$$\lambda^2 = \frac{RT\lambda}{\pi N\eta r} \quad \text{и} \quad \frac{u}{\lambda} = \frac{1}{t} = \frac{\pi r N\eta u^2}{RT} = \frac{\pi N\eta D_0 3RT}{RT^2 M} = \frac{3\pi\eta D_0}{2m}.$$

Так как

$$r = \frac{D_0}{2}, \quad u^2 = \frac{3RT}{M}, \quad \frac{N}{M} = \frac{1}{m}.$$

Отношение $\frac{u}{\lambda}$ представляет собой не что иное, как число столкновений молекулы растворенного вещества с молекулами растворителя в 1 сек.

$$z_s = \frac{3\pi\eta D_0}{2m}. \quad (43)$$

В итоге константа скорости мономолекулярной реакции в растворе равна

$$k_1 = \frac{3\pi\eta D_0}{2m(S-1)!} \cdot e^{-\frac{E}{RT}} \left(\frac{E}{RT}\right)^{S-1}. \quad (44)$$

Так же, как в случае газовых реакций, константа скорости мономолекулярных реакций в растворах зависит от числа колебательных степеней свободы (внутренних колебаний) S . Если $E < RT$, то доля активных молекул, а следовательно, и константа скорости реакции, падает с ростом числа степеней свободы внутренних колебаний. Однако с такими реакциями в кинетике почти не приходится встречаться. Обычно $E \gg RT$, поэтому константа скорости реакции при постоянстве величины энергии активации и температуры сильно возрастает с ростом величины S . Так, например, при $E = 21\,000$ кал/моль и $T = 300^\circ\text{K}$ при возрастании S с 1 до 7 доля активных молекул увеличивается в $3 \cdot 10^6$ раз:

S	1	2	3	4	5	6	7
$\frac{v'}{v} \cdot 10^{16}$	6,3	221	3864	45 080	394 500	2 761 000	16 000 000

Следует учесть, что величина энергии активации в формуле (44) включает в себя энергию активации вязкости и не равна энергии активации, вычисленной по уравнению Аррениуса. Для нахождения энергии активации мономолекулярных реакций в растворе следует определить экспериментально зависимость $\ln \frac{k_1}{\eta}$ от обратной температуры.

Таблица 9

Реагент	Раствори- тель	$\eta_{00} \times 10^3$	E_A	E	Значение $k \text{ сек}^{-1}$ при 60°C		S
					экспер.	вычисл.	
Малоновая кислота	H ₂ O	4,69	28 220	31 620	$1,41 \cdot 10^{-7}$	$2,11 \cdot 10^{-7}$	2
Мезоксалева кислота	H ₂ O	4,69	33 700	36 330	$1,82 \cdot 10^{-8}$	$1,33 \cdot 10^{-8}$	4
Хлористый л-толуол диазоний	H ₂ O	4,69	27 680	31 150	$5,20 \cdot 10^{-4}$	$5,51 \cdot 10^{-4}$	6
Бромистый феилбензилметилал- ламмоний	CHCl ₃	4,50	29 960	31 620	$1,04 \cdot 10^{-3}$	$1,38 \cdot 10^{-3}$	8
Бромистый триэтилсульфоний . .	C ₆ H ₅ NO ₂	10,94	28 290	31 340	$2,11 \cdot 10^{-4}$	$2,96 \cdot 10^{-4}$	5
• • • • •	CH ₃ COOH	7,16	31 000	33 820	$8,5 \cdot 10^{-7}$	$5,4 \cdot 10^{-7}$	4
• • • • •	C ₂ H ₂ Cl ₄	9,90	30 350	33 180	$2,19 \cdot 10^{-4}$	$1,66 \cdot 10^{-4}$	7

$$\ln \frac{k_1}{\eta} = \ln \frac{3\pi D_0}{2m(S-1)!} + (S-1) \ln \frac{E}{RT} - \frac{E}{RT},$$

$$\frac{d \ln \frac{k_1}{\eta}}{dT} = \frac{E - (S-1)RT}{RT^2} \approx \frac{E}{RT^2}. \quad (45)$$

Энергия активации мономолекулярных реакций в растворе равна

$$E = \frac{\left(\ln \frac{k'}{\eta} - \ln \frac{k''}{\eta''} \right) R}{\frac{1}{T_1} - \frac{1}{T_2}},$$

где k' , k'' , η' и η'' — константы скорости и вязкость при температурах T_1 и T_2 .

В табл. 9 приведены примеры мономолекулярных реакций в растворах, константы скорости которых вычислены по формуле (44), а энергия активации — по (45). Кроме того, даны значения энергии активации E_A , вычисленные по уравнению Аррениуса. Как видно из табл. 9, разница в величинах E и E_A должна быть равна энергии активации вязкости. Из табл. 9 видно, что среднее значение энергии активации вязкости в водных растворах, вычисленное по разности $E - E_A$, составляет $3000 \pm \pm 300$ кал/моль. Непосредственное же измерение „энергии активации“ вязкости воды при 60°C дает 3300 кал/моль. Кроме того, число колебательных степеней свободы в случае одной и той же реакции, как показывает опыт, зависит от растворителя.

§ 18. Медленные и быстрые реакции

В ряде случаев теория бинарных соударений позволяет вычислить константы скоростей бимолекулярных и мономолекулярных реакций в инертных растворителях, причем расчеты находятся в удовлетворительном согласии с опытом. В других случаях при расчетах необходимо учитывать каталитическое действие растворителя. Так, например, такой типичный инертный растворитель, как хлороформ, заметно уменьшает скорость разложения четырехоксида азота и увеличивает скорость обратной реакции по сравнению со скоростями этих реакций в газовой фазе. Могут быть случаи, когда несоответствие между величиной константы скорости, вычисленной по теории бинарных соударений и определенной экспериментально, не может быть объяснено действием растворителя, которое обычно называют каталитическим. Это наблюдается у так называемых медленных реакций.

Например, в реакции между этиловым спиртом и йодистым этилом в спиртовом растворе отношение констант скорости, вычисленной к наблюдаемой, порядка единицы. В реакции между

тиомочевинной и йодистым этилом это отношение порядка 10 000. Первая реакция является типичным примером нормальных реакций, для которых применим математический аппарат теории бинарных соударений. Вторая реакция относится к классу медленных реакций, обладающих своей спецификой и существенно отличающихся от нормальных реакций в растворах. У таких реакций предэкспоненциальный множитель P значительно меньше единицы (до 10^{-9}), т. е. вычисленная константа скорости во много раз больше измеренной экспериментальной.

Медленные реакции были открыты Н. А. Меншуткиным в 1887 г. Изучая кинетику образования йодистого тетраэтиламмония, он показал, что скорость этой реакции (реакции взаимодействия галоид-алкилов с аминами принято называть реакциями Меншуткина) зависит от природы растворителя. Реакция образования йодистого тетраэтиламмония бимолекулярна



Если при 100°C скорость этой реакции в бензиловом спирте условно принята за 100, то величины скорости в других растворителях расположатся в последовательности, приведенной в табл. 10.

Таблица 10

Растворитель	$K_{\text{усл}}$ (C_2H_5) ₄ NJ	Растворитель	$K_{\text{усл}}$ (C_2H_5) ₄ NJ
$\text{C}_6\text{H}_5\text{CH}_2\text{OH}$	100	$\text{C}_2\text{H}_5\text{OC}_2\text{H}_5$	0,57
CH_3COCH_3	45,7	$\text{C}_6\text{H}_5\text{Br}$	20,3
CH_3OH	38,0	$\text{CH}_2\text{Cl}-\text{CH}_2-\text{CH}_3$	4,0
$\text{C}_2\text{H}_5\text{OH}$	27,4	C_6H_6	2,4
$\text{CH}_3\text{COOC}_2\text{H}_5$	16,7	C_6H_{11}	0,13

Кинетика образования йодистого тетраэтиламмония была изучена Н. А. Меншуткиным в целом ряде растворителей (свыше двух десятков). При этом было установлено, что:

а) скорость реакции в ароматических соединениях больше, чем в алифатических;

б) самыми „медленными“ растворителями являются углеводороды, затем идут простые эфиры, далее сложные эфиры и галоидопроизводные; самыми „быстрыми“ растворителями являются спирты и кетоны;

в) электропроводность хлористого водорода в этих растворителях (т. е. степень диссоциации HCl) меняется в той же последовательности, что и константа скорости реакции образования йодистого тетраэтиламмония;

г) каталитическая активность растворителя растет параллельно с увеличением его химической активности.

Последнее Н. А. Меншутки объяснил в духе учения Д. И. Менделеева о растворах специфическим взаимодействием растворенного вещества с растворителем (своего рода гомогенный катализ, образование промежуточного соединения с растворителем). Слабее всего такое взаимодействие проявляется у алифатических углеводородов, сильнее всего — у ароматических спиртов. Вальден, развивая положение Н. А. Меншуткина о зависимости между величиной электропроводности хлористого водорода и каталитическим действием растворителя, показал, что константу скорости реакции Меншуткина можно связать с величиной диэлектрической постоянной растворителя.

Экспериментальная константа скорости реакции Н. А. Меншуткина k_3 в одиннадцати растворителях, меняясь с изменением состава растворителя в 27 000 раз, связана с диэлектрической постоянной этих растворителей соотношением

$$\sqrt[3]{k_3} = \frac{\epsilon}{160}.$$

„Линейная скорость“ реакции (т. е. скорость в „одиомерном пространстве“) пропорциональна диэлектрической постоянной растворителя, по крайней мере для медленных реакций, результатом которых является образование солей.

В настоящее время изучено значительное число реакций, относящихся к типу медленных. Для всех этих реакций, в том числе и мономолекулярных, например реакции разложения ксантогеновой кислоты, сохраняется порядок каталитической активности растворителя, найденный Н. А. Меншуткиным. Некоторые примеры медленных реакций приведены в табл. 11.

Таблица 11.

Реакция	Растворитель	E	$\frac{k_{\text{вмч}}}{k_3}$
$(C_2H_5)_3N + C_2H_5Br$	C_6H_6	11 190	$1,9 \cdot 10^9$
$(C_2H_5)_3N + C_2H_5Br$	$(CH_3)_2CO$	11 710	$6,2 \cdot 10^7$
$C_6H_5NH_2 + C_6H_5CH_2Cl$	99,6% C_2H_5OH	13 450	$2,4 \cdot 10^6$
$C_6H_5N + CH_3J$	C_2H_5Cl	13 220	$5 \cdot 10^7$
$CS(NH_2)_2 + CH_3J$	$(CH_3)_2CO$	13 620	$1,2 \cdot 10^5$
$C_6H_5N(CH_3)_2 + CH_3J$	$C_6H_5CH_2OH$	14 400	$6 \cdot 10^4$
$CS(NH_2)_2 + C_2H_5J$	C_2H_5OH	14 620	$6,8 \cdot 10^4$

Сопоставление экспериментально определенных величин энергии активации со значениями $\frac{k_{\text{вмч}}}{k_3}$, т. е. с величиной, обратной стерическому фактору, показывает, что чем меньше величина энергии активации, тем больше расхождения между вычисленными и наблюдаемыми значениями констант. Вместе с тем, сопоставление величин энергии активации медленных реак-

ций (табл. 11) с величинами энергии активации нормальных реакций в растворах (табл. 8 и 9) показывает, что абсолютные значения энергии активации, экспериментально определенные по зависимости константы скорости реакции от температуры, у медленных реакций значительно меньше, чем у нормальных.

Малая величина предэкспоненциального множителя P в уравнении (II, 11) не может быть объяснена только пространственными препятствиями. Этому противоречит то обстоятельство, что в медленных реакциях участвуют такие вещества, которые в других комбинациях реагируют с нормальными скоростями. Можно было бы предположить, что замедление реакций связано с необходимостью тройных соударений, как это имело место в реакциях рекомбинаций атомов. Однако если в реакциях типа (реакция Меншуткина)



можно предполагать необходимость отвода энергии, выделяющейся при реакции, то наличие среди медленных реакций реакций типа



противоречит этому предположению.

Нельзя также объяснить медленность реакции Меншуткина и других, подобных ей, дезактивирующим действием растворителя. Этому противоречит совпадение скоростей некоторых медленных реакций в газовой фазе и в таких растворителях, как гексан и четыреххлористый углерод. „Медленные“ растворители и есть нормальные, инертные растворители. Те растворители, в которых реакция идет быстрее, чем в гексане и CCl_4 , оказывают положительное каталитическое действие.

Таким образом, неприменимость теории бинарных соударений к медленным реакциям в растворах связана с какими-то специфическими особенностями протекания этих реакций.

Резюмируем отличия медленных реакций от нормальных.

1. У нормальных реакций в растворах предэкспоненциальный множитель $P \approx 1$. Константа скорости таких реакций может быть вычислена по теории бинарных соударений в удовлетворительном согласии с опытом. У медленных реакций $P \ll 1$. Наблюдаемая константа скорости во много раз меньше вычисленной по теории бинарных соударений.

2. В случае нормальных реакций растворитель не влияет на величину константы скорости реакции. Константа скорости реакции в растворе такая же, как и реакции в газовой фазе. В случае медленных реакций скорость реакции зависит от природы растворителя.

3. По своему влиянию на скорость медленных реакций растворители могут быть разделены на „быстрые“ и „медленные“. Скорость медленной реакции в газовой фазе такая же, как в

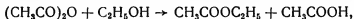
медленных растворителях, но много меньше вычисленной по теории бинарных соударений.

4. Величина константы скорости медленных реакций в самых быстрых растворителях всегда остается меньше значения константы, вычисленного по теории бинарных соударений. Энергия активации медленных реакций меньше энергии активации нормальных.

5. Ускоряющее влияние растворителя растет параллельно с его химической активностью. С ростом константы скорости реакции в различных растворителях увеличивается и энергия активации реакции.

Специфика медленных реакций может быть объяснена теорией абсолютных скоростей реакции. Если в медленных реакциях $P < 1$, то, следовательно, активация сопровождается уменьшением энтропии.

В медленных реакциях присоединения — реакция Меншуткина и ей подобные — переходное состояние близко по строению к конечному продукту и поэтому энтропия при активации уменьшается. В медленных реакциях обмена, как, например,

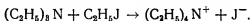


переходное состояние включает все реагирующие вещества, что также ведет к уменьшению энтропии при активации. Энергия активации может уменьшаться или увеличиваться в зависимости от сольватации переходного состояния и исходных веществ. При сольватации часть потенциальной энергии тратится на связывание молекул растворителя и энергия сольватированной частицы всегда меньше чем не сольватированной. Притяжение молекул растворителя ослабляет связи между атомами сольватируемой молекулы.

Схематически изменение энергии между атомами при сольватации показано на рис. 15. На рис. 15а кривая 1 относится к реакции в отсутствии сольватации, кривая 2 к реакции, в которой исходные вещества не сольватированы, переходное состояние сольватировано. ΔH_1 — теплота сольватации переходного состояния. На рис. 15б переходное состояние не сольватировано, исходные вещества не сольватированы (кривая 1) и сольватированы (кривая 2). ΔH_2 — теплота сольватации исходных веществ. Из рис. 15 видно, что в растворе в общем случае энергия активации E равна

$$E = E_0 + \Delta H_2 - \Delta H_1,$$

где E_0 — энергия активации при отсутствии сольватации — в газовой фазе. В медленных реакциях, например в реакции Меншуткина, поляризация молекул в процессе течения реакции сильно возрастает.



Два полярных вещества образуют соль, распадающуюся на ионы. Поэтому чем больше диэлектрическая постоянная растворителя, тем больше сольватация переходного комплекса. В неполярных растворителях (алифатические углеводороды) и исходные вещества и переходный комплекс почти не сольватируются, и скорость реакции в этих растворителях такая же, как в газовой фазе. С ростом полярности растворителя, а следовательно, и его диэлектрической постоянной, растет сольватация

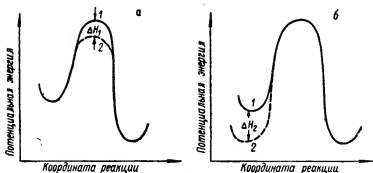


Рис. 15.

исходных веществ и комплекса, но последнего в меньшей степени, т. е. теплота сольватации комплекса меньше, чем теплота сольватации исходных веществ. Разность теплот сольватации

$$Q = \Delta H_1 - \Delta H_2 < 0$$

и по абсолютной величине тем больше, чем полярнее растворитель, а следовательно, тем больше энергия активации, равная

$$E = E_0 - Q.$$

Найдем теперь объяснение параллелизму в ходе изменений стериического коэффициента P и энергии активации, а также малым значениям энергии активации медленных реакций. Как медленные, так и нормальные реакции протекают с самыми различными по абсолютной величине скоростями. Сравним медленную и нормальную реакции с одинаковым численным значением константы скорости. Для нормальной реакции константа скорости

$$k_1 = ze^{-\frac{E_n}{RT}}.$$

Здесь z — общее число столкновений, E_n — экспериментально измеряемая теплота активации.

Для медленной реакции

$$k_2 = zPe^{-\frac{E_m}{RT}} = ze^{\frac{T\Delta S^\ddagger}{RT}} e^{-\frac{E_m}{RT}}. \quad (46)$$

Если сопоставить две таких реакции, чтобы $k_1 = k_2$, то из равенства (46) следует, что

$$E_M = E_H + T\Delta S^\ddagger.$$

Для медленных реакций $\Delta S^\ddagger < 0$, поэтому и $E_M < E_H$.

Теплота активации медленной реакции тем меньше, чем меньше стерический коэффициент, так как тем больше по величине изменение энтропии активации. Помимо медленных реакций, в которых малая величина стерического коэффициента связана с уменьшением энтропии в переходном состоянии по сравнению с исходными веществами, могут быть реакции, в которых $P < 1$ за счет электростатического отталкивания ионов, как, например,

Реакция	P
$\text{ClO}^- + \text{ClO}^-$	$3,19 \cdot 10^{-3}$
$\text{ClO}^- + \text{ClO}_2^-$	$2,83 \cdot 10^{-3}$
$[\text{Co}(\text{NH}_3)_6\text{Br}]^{2+} + \text{Hg}^{2+}$	$4,30 \cdot 10^{-4}$
$\text{AsO}_3^{3-} + \text{TeO}_4^{2-}$	$6,77 \cdot 10^{-6}$
$\text{S}_2\text{O}_4^{2-} + \text{S}_2\text{O}_4^{2-}$	$6,07 \cdot 10^{-8}$

В реакциях с участием одноименно заряженных ионов помимо преодоления обычного для незаряженных частиц энергетического барьера, для осуществления реакции необходимо преодоление и сил электростатического отталкивания. При реакции между нонами появление стерического коэффициента связано с силами электростатического взаимодействия.

$$P = e^{-\frac{E_s}{RT}},$$

где E_s — энергия электростатического взаимодействия. По теории Дебая-Гюккеля в предельно разбавленных растворах (при нулевой ионной силе) энергия электростатического взаимодействия равна

$$E_s = \frac{Ne^2 z_A z_B}{Dr}.$$

Таким образом, для ионных реакций

$$P = e^{-\frac{e^2 z_A z_B}{DkTr}}, \quad (47)$$

где z_A и z_B — электровалентности ионов, e — величина элементарного заряда, D — диэлектрическая проницаемость, k — постоянная Больцмана, r — расстояние между нонами.

Для одноименно заряженных ионов, как видно из уравнения (47), $P < 1$ и такие реакции относятся к классу медленных. Для разноименно заряженных ионов $P > 1$ и реакции относятся к классу быстрых. Примеры таких реакций приведены в § 8.

Кроме ионных реакций между ионами разного знака к быстрым реакциям относятся такие, в которых активация связана с разрушением большого числа связей и, следовательно, с большим увеличением энтропии в переходном состоянии, как, например, при денатурации белков (табл. 3, § 9). Уравнение (47) справедливо только при нулевой ионной силе. Если концентрация электролитов не очень мала, то энергия электростатического взаимодействия, а следовательно, и скорость реакции, будут зависеть от суммарной концентрации электролитов, количественно характеризуемой ионной силой μ

$$\mu = \frac{1}{2} \sum c_i z_i^2,$$

где c_i — концентрация иона, z_i — его валентность.

Изменение скорости реакции под влиянием растворенных солей носит название электростатического эффекта. Различают первичный и вторичный электролитический эффект.

§ 19. Первичный электролитический эффект

Первичным электролитическим эффектом называется изменение скорости реакции при изменении ионной силы раствора. При этом скорости реакции меняются не за счет изменения концентрации ионов, участвующих в реакции, а за счет изменения их коэффициентов активности.

Рассмотрим реакцию между веществами А и В с образованием промежуточного соединения



В этой реакции наиболее медленной (определяющей стадией) может быть или реакция образования промежуточного (активированного) соединения или реакция его превращения в конечные продукты. Промежуточное соединение может иметь крайне малое время существования и присутствовать в такой ничтожной концентрации, что аналитически его невозможно обнаружить. Назовем активированное промежуточное соединение *промежуточным комплексом*.

Если наиболее медленной стадией является реакция образования комплекса, то константа скорости реакции не будет зависеть от ионной силы раствора. В этом случае

$$v = - \frac{dc}{dt} = k [A] [B].$$

Если наиболее медленной стадией является реакция распада комплекса, то экспериментально определенная скорость реакции будет пропорциональна концентрации комплекса

$$v = k_1 [AB].$$

Так как первая стадия протекает быстро, то между молекулами комплекса и исходных веществ в любой момент времени будет сохраняться равновесие.

Термодинамическую константу равновесия можно выразить через активности реагирующих веществ

$$K_p = \frac{a_{AB}}{a_A \cdot a_B} = \frac{[AB]}{[A] [B]} \frac{f_{AB}}{f_A f_B}.$$

Здесь a_i — активности реагирующих веществ и комплекса, f — коэффициенты активности реагирующих веществ, K_p — константа равновесия. Из послед-

него равенства можно выразить концентрацию промежуточного комплекса, не поддающуюся непосредственному определению

$$[AB] = K_p [A] [B] F,$$

где F — фактор кинетической активности $F = \frac{f_A f_B}{f_{AB}}$.

Экспериментально определяемая скорость реакции здесь равна

$$v = k_1 K_p [A] [B] F.$$

Экспериментальная же константа скорости

$$k_2 = k_1 K_p F. \quad (48)$$

В этом уравнении константа равновесия K_p и константа скорости разложения комплекса k_1 постоянны и не зависят от ионной силы, фактор же кинетической активности зависит от ионной силы. Тем самым экспериментальная константа скорости также должна быть связана с ионной силой, т. е. должна зависеть от концентрации нейтральных (не принимающих участия в реакции) растворенных солей.

Уравнение (48) может быть записано в такой форме: $k_2 = k_2 F$,

где $k_0 = k_1 K_p$, k_0 — функция температуры и растворителя, F — функция ионной силы.

Найдем зависимость фактора кинетической активности от ионной силы раствора μ . По теории Дебая — Гюккеля, коэффициент активности иона в растворе связан с валентностью иона и ионной силой раствора соотношением

$$-\lg f_i = \frac{z_i^2 A \sqrt{\mu}}{1 + B a \sqrt{\mu}} - C' \mu. \quad (49)$$

Здесь f_i — коэффициент активности i -го иона, z — его валентность, a — радиус сближения ионов, A и B — константы, зависящие от величины диэлектрической постоянной растворителя и температуры соответственно, и C' — эмпирическая постоянная.

Для отдельного иона коэффициент активности не может быть измерен, и постоянная a не имеет физического смысла. Однако на основании выражения (49) можно вычислить фактор кинетической активности для реакций различного типа.

Из опытных данных по зависимости коэффициентов активности от ионной силы следует, что в области значений ионных сил не более чем 0,1–0,5 последнее слагаемое в правой части уравнения (49) очень мало, и для таких концентраций солей уравнение Дебая — Гюккеля может быть записано в форме

$$-\lg f_i = \frac{z_i^2 A \sqrt{\mu}}{1 + B a \sqrt{\mu}}. \quad (50)$$

Если в уравнении (49) поделить числитель на знаменатель и отбросить в степенном ряду все члены, стоящие после члена, содержащего μ , то получим уравнение Бренстеда

$$-\lg f_i = A z_i^2 \sqrt{\mu} - C \mu, \quad (51)$$

где

$$C = A a B z_i^2 + C'.$$

При малых ионных силах (не более 0,01) уравнения (50) и (51) превращаются в предельный закон Дебая — Гюккеля

$$-\lg f_i = z_i^2 A \sqrt{\mu}. \quad (52)$$

Найдем, чему равен $\lg F$, используя уравнение (52).

$$\begin{aligned}\lg F &= \lg f_A + \lg f_B - \lg f_{AB} = A \sqrt{\mu} (z_A^2 + z_B^2 - z_{AB}^2) = \\ &= A \sqrt{\mu} [(z_A + z_B)^2 - z_A^2 - z_B^2] = 2Az_A z_B \sqrt{\mu}, \\ \lg k_3 &= \lg k_0 + \lg F = \lg k_0 + 2Az_A z_B \sqrt{\mu}.\end{aligned}$$

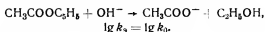
Если одно из реагирующих веществ молекула, а другое — ион или оба реагирующих вещества — молекулы, то при малых ионных силах константа скорости реакции не зависит от присутствия нейтральных солей, так как z_A или z_B равны нулю и $\lg F = 0$. Иное положение будет в том случае, если оба реагирующих вещества ионы. Тогда произведение валентностей ионов не равно нулю, и экспериментальная константа скорости будет меняться с изменением ионной силы тем сильнее, чем больше валентности реагирующих ионов.

В общем случае до ионных сил порядка 0,01 $\lg k_3 = \lg k_0 + 2Az_A z_B \sqrt{\mu}$.

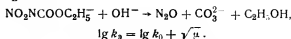
В водных растворах при температурах 15–25° С $A \approx 0,5$ и $\lg k_3 = z_A z_B \sqrt{\mu}$.

Рассмотрим различные случаи влияния ионной силы на константу скорости реакции:

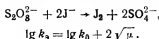
1. A — молекула, $z_A = 0$, B — ион любой валентности.



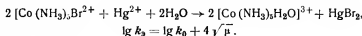
2. $z_A = z_B = 1$.



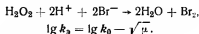
3. $z_A = 1$, $z_B = 2$.



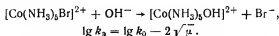
4. $z_A = z_B = 2$.



5. $z_A = -z_B = 1$.



6. $z_A = -2z_B = 2$.



На рис. 16 показана зависимость $\lg \frac{k_3}{k_0}$ от $\sqrt{\mu}$ для приведенных выше

типов реакций. Из рисунка видно, что в разбавленных растворах солей константа скорости возрастает с увеличением ионной силы раствора для всех реакций между ионами одного знака. Возрастание константы скорости тем больше, чем больше валентности ионов, участвующих в реакции. Возрастание константы скорости реакции при добавлении нейтральных солей называется *положительным электролитическим эффектом*.

В реакциях между ионами разного знака константа скорости падает с увеличением ионной силы раствора и при этом тем сильнее, чем больше валентности ионов, участвующих в реакции. Уменьшение константы скорости реакции при добавлении нейтральных солей называется *отрицательным электролитическим эффектом*.

Как в случае положительного, так и в случае отрицательного электролитического эффекта при малых ионных силах $\lg k$ меняется пропорционально $\sqrt{\mu}$, т. е. по параболическому закону относительно ионной силы. Такой эффект называется *квадратичным электролитическим эффектом*.

При больших ионных силах логарифм константы скорости для реакции с участием молекул, согласно уравнению Брейстеда (51), меняется линейно в зависимости от ионной силы

$$\lg k_s = \lg k_0 + C\mu.$$

В этом случае говорят о *линейном электролитическом эффекте*.

Первичный электролитический эффект является чисто кинетическим фактором. Он отражает непосредственное влияние ионной силы на скорость реакции.

Нейтральные соли могут, кроме того, смещать равновесие диссоциации слабого электролита, ионы которого участвуют в реакции и, меняя концентрацию ионов, изменять скорость реакции. В этом случае говорят о *вторичном электролитическом эффекте*.

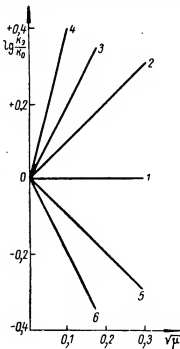


Рис. 16.

§ 20. Вторичный электролитический эффект

Вторичный электролитический эффект проявляется во всех случаях, когда в реакции участвуют слабые электролиты. *Вторичным электролитическим эффектом* называется изменение концентрации ионов, участвующих в реакции, за счет изменения степеней диссоциации под влиянием нейтральных солей. Он является чисто термодинамическим фактором и проявляется везде, где приходится учитывать концентрацию ионов слабых электролитов (например, солевая ошибка индикаторов).

Рассмотрим реакцию, в которой участвуют ионы слабого электролита, например реакцию инверсии тростникового сахара в уксуснокислом растворе. Скорость этой реакции пропорциональна концентрации ионов водорода (точнее говоря ионов оксония) и равна

$$-\frac{dc}{dt} = kC_{\text{сах}}C_{\text{H}_3\text{O}^+}.$$

Концентрация ионов водорода будет зависеть от ионной силы раствора. Если схематически диссоциацию кислоты представить в виде

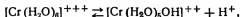


то константа диссоциации

$$K_d = \frac{a_{H^+} \cdot a_{A^-}}{a_{HA}} = \frac{C_{H^+} \cdot C_{A^-}}{C_{HA}} \cdot \frac{f_{H^+} \cdot f_{A^-}}{f_{HA}}.$$

При значениях величин ионных сил не выше 0,5, согласно уравнению (50), $f_{HA} = 1$, коэффициенты же активности f_{H^+} и f_{A^-} падают с ростом ионной силы. Поэтому с увеличением ионной силы степень диссоциации кислоты, а тем самым и скорость реакции будут возрастать. При малых ионных силах первичный электролитический эффект реакции молекулы с ионом, образованный за счет диссоциации слабого электролита, равен нулю, тогда как вторичный положительный и скорость реакции с увеличением ионной силы увеличивается.

Если источником ионов является не нейтральная молекула, а комплексный ион, то вторичный электролитический эффект отрицателен, т. е. скорость реакции падает с ростом ионной силы. Например, если ионы водорода образуются при реакции



то

$$K_d = \frac{C_{H^+} \cdot C_{[Cr(H_2O)_5OH]^{++}}}{C_{[Cr(H_2O)_6]^{+++}}} \cdot \frac{f_{H^+} \cdot f_{[Cr(H_2O)_5OH]^{++}}}{f_{[Cr(H_2O)_6]^{+++}}}.$$

Отношение коэффициентов активностей возрастает с ростом ионной силы, а, следовательно, концентрация ионов водорода при этом уменьшается.

Опыт подтверждает сказанное. Так, например, добавление азотиокислого калия ускоряет разложение диазоуксусного эфира, если реакция проводится в присутствии уксусной кислоты, и замедляет, если источником ионов гидроксония служат ионизация гидратированных ионов хрома. Абсолютная величина электролитических эффектов зависит от конкретных условий. Присутствие 0,1 моля хлористого калия ускоряет инверсию сахарозы на 4% (при наличии 0,1 моля хлористого водорода в качестве катализатора). В данном случае проявляется первичный электролитический эффект. Та же соль с 0,1 моля уксусной кислоты ускоряет эту реакцию на 40% за счет вторичного электролитического эффекта.

ЛИТЕРАТУРА

- Г. М. Панченко, В. П. Лебедев. Химическая кинетика и катализ. Изд-во МГУ, 1961.
В. Н. Коидратьев. Кинетика химических газовых реакций. М., Изд-во АН СССР, 1958.
Мельвин-Хьюз. Кинетика реакций в растворах. М.—Л., ГОНТИ, 1938.
С. Глессон, К. Лейдлер, Г. Эйринг. Теория абсолютных скоростей реакций. М., ИЛ, 1948.
Вопросы химической кинетики, катализа и реакционной способности. М., Изд-во АН СССР, 1955.
М. Г. Гоникберг. Химическое равновесие и скорость реакций при высоких давлениях. М., Изд-во АН СССР, 1960.
Н. А. Измайллов. Электрохимия растворов. Изд-во Харьковского ун-та, 1959.
Уч. зап. МГУ, вып. 174, Изд-во МГУ, 1955.
А. И. Бродский. Химия изотопов. М., Изд-во АН СССР, 1957.
С. З. Рогинский. Теоретические основы изотопных методов изучения химических реакций. М., Изд-во АН СССР, 1956.
Химия координационных соединений. М., ИЛ, 1960.

ГЛАВА IV

ГЕТЕРОГЕННЫЕ РЕАКЦИИ

§ 21. Кинетика гетерогенных процессов

Гетерогенными реакциями называются реакции, протекающие на поверхности раздела фаз. Гетерогенные реакции являются одной из стадий гетерогенных процессов, хотя нередко гетерогенными реакциями называются сами гетерогенные процессы, включающие как одну из стадий химические превращения.

Гетерогенные процессы отличаются от гомогенных тем, что они проходят не во всем объеме системы, а в определенном участке (или на поверхности раздела фаз или в объеме одной фазы гетерогенной системы). И в том и в другом случае для возможности осуществления реакции необходим непрерывный подвод реагирующего вещества. При установившемся процессе количество вещества, которое подводится к поверхности в единицу времени диффузией, равно количеству вещества, которое расходуется в процессе реакции, т. е. в условиях стационарности процесса в целом скорости диффузии и реакции равны (по условиям материального баланса процесса). Константы скоростей этих процессов различаются между собой, а их соотношение определяет протекание процесса в кинетической, смешанной или диффузионной областях.

В кинетике гетерогенных реакций могут наблюдаться три отличных типа процессов:

1) Реакция протекает на поверхности раздела фаз: растворение солей в воде, металлов в кислотах и т. д.. Такие процессы характерны для реакций твердое тело — жидкость или твердое тело — газ.

2) Реакции протекают только в объеме одной фазы при диффузии вещества из другой. К таким процессам относятся реакции между двумя ограниченно смешивающимися жидкостями или реакции окисления воздухом металлов, растворов и т. п.

3) Реакция протекает на поверхности образующейся фазы. Последнее наблюдается, когда реагируют две твердые фазы или

одна твердая фаза превращается в другую (полиморфные превращения). Такие реакции относятся к классу твердофазных реакций.

За исключением последнего класса реакций законы формальной кинетики гетерогенных реакций не отличаются от кинетических законов гомогенных реакций. К гетерогенным реакциям, протекающим в кинетической области, могут быть применимы уравнения реакций с тем лишь отличием, что действующей концентрацией является не объемная, а поверхностная.

Если константа скорости подвода реагирующего вещества значительно больше константы скорости процесса химического взаимодействия, т. е. константа скорости диффузии во много раз больше константы скорости реакции, тогда скорость всего процесса в целом будет определяться исключительно скоростью химического превращения. Экспериментально определяемая скорость реакции будет подчиняться законам химической кинетики гетерогенных систем. Скорость реакции, так же как и в гомогенных системах, будет связана с концентрациями реагирующих веществ кинетическим уравнением реакции. Порядок реакции будет зависеть от природы реагирующих веществ. Однако „действующей массой“ здесь будет концентрация реагирующих веществ не в объеме фазы, а на поверхности раздела.

Если константа скорости химического взаимодействия много больше константы скорости диффузионного подвода, то определяющим этапом является диффузия.

Отличиями диффузионной области от кинетической являются:

а) малые величины энергии активации. В диффузионной области энергия активации не выше 7,5 ккал, в кинетической — не меньше 10 ккал;

б) влияние перемешивания на скорость реакции в диффузионной области и отсутствие этого влияния в кинетической.

Если реакция протекает в переходной области, то константы скорости процессов диффузии и химического превращения соизмеримы. Как во втором, так и в третьем случае (см. стр. 115), скорость процесса, а следовательно, и экспериментальная константа скорости, связаны с закономерностями процессов диффузии.

Вопрос о том, будет идти процесс в кинетической, диффузионной или переходной области, определяется как природой процесса, так и условиями его протекания: температурой, интенсивностью перемешивания и т. д. Повышение температуры сильнее сказывается на скорости химической реакции; с понижением температуры процесс может перейти из диффузионной области в кинетическую. Так, например, к кинетической области относятся растворение в воде лаггебейнита ($K_2SO_4 \cdot 2MgSO_4$), $FeSO_4 \cdot H_2O$, хрома — в соляной кислоте при концентрации кислоты больше 8 г экв/л, растворение алюминия и кадмия в соляной кислоте, буры и борных стекол, богатых щелочами, в во-

де. С другой стороны, в диффузионной области растворяются в воде борный ангидрид и борные стекла, бедные щелочами, бензойная кислота, хлористый свинец, уксуснокислое серебро, магний в кислотах, к диффузионной кинетике относятся и такие процессы, как вытеснение меди цинком и ряд других. Даже растворение близких по природе веществ может протекать в различных областях. Так, кизерит $\text{MgSO}_4 \cdot \text{H}_2\text{O}$ растворяется в воде в кинетической области (мала скорость гидратации), тогда как $\text{MgSO}_4 \cdot 7\text{H}_2\text{O}$ в диффузионной.

Наличие диффузионных процессов при реакциях в гетерогенных системах (в случаях, когда константа скорости диффузии значительно больше константы скорости химической реакции) может привести к тому, что скорость химического превращения не будет зависеть от концентрации. Если убыль вещества, исчезающего в процессе реакции, достаточно быстро восполняется диффузией, то концентрация реагирующего вещества в зоне реакции будет оставаться практически постоянной, и реакция пойдет по нулевому порядку. Это может происходить, например, в реакции омыления сложного эфира в насыщенном эфиром водном растворе, находящемся в равновесии с насыщенным раствором воды в эфире. Если скорость диффузии эфира из эфирного слоя в водный достаточно велика, а толщина водного слоя мала, то концентрация эфира, независимо от времени, будет равна концентрации насыщения $c_{\text{нас}}$.

Экспериментально наблюдаемая скорость реакции

$$v_s = kc_{\text{эф}}c_{\text{H}_2\text{O}}c_{\text{кат}} = \text{const} = k'c_{\text{эф}}^0,$$

где k — константа скорости реакции, $c_{\text{эф}}$, $c_{\text{H}_2\text{O}}$ и $c_{\text{кат}}$ — концентрация в водном слое эфира, воды и катализатора. $c_{\text{кат}}$ в процессе опыта постоянна, $c_{\text{H}_2\text{O}}$ в силу малой растворимости эфира практически также не меняется, $c_{\text{эф}}$ постоянна за счет диффузии его из эфирного слоя.

Реакции нулевого порядка нередко встречаются в гетерогенных процессах, имеющих техническое значение. Таким образом протекает, например, реакция омыления жиров при повышенной температуре (120°C) в присутствии серной кислоты как катализатора.

Если процесс протекает в диффузионной области, то скорость процесса будет определяться законами диффузии. Если процесс идет в переходной области, то скорость процесса сложным образом зависит как от законов диффузии, так и от законов химической кинетики.

§ 22. Диффузия

Диффузией называется процесс самопроизвольного перемещения вещества в пространстве, ведущий к равномерному заполнению всего объема фазы молекулами данного вещества, про-

цесс самопроизвольного выравнивания концентраций. Диффузия может осуществляться только в тех случаях, когда в различных точках пространства концентрация вещества различна. Движущей силой диффузии является градиент концентрации, величина, характеризующая изменение концентрации в соседних участках пространства фазы. При диффузии вещество перемещается во времени и в пространстве, поэтому концентрация в данном случае является функцией координат и времени.

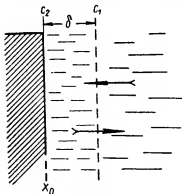


Рис. 17.

Рассмотрим процессы диффузии, протекающие в одном направлении (к плоскости поверхности раздела фаз, в сосуде цилиндрической формы в направлении оси цилиндра и т. п.). Этот тип диффузии наиболее часто встречается в гетерогенных реакциях (рис. 17 и 18).

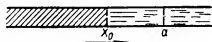


Рис. 18.

На рис. 17 косой штриховкой показана область, занимаемая твердым телом, которое помещено в раствор; δ — слой раствора, непосредственно прилегающий к поверхности раздела, так называемый диффузионный слой. В этом слое выравнивание концентраций происходит только за счет процесса диффузии. В остальном объеме раствора выравнивание концентраций может быть осуществлено так же и недиффузионным путем (перемешивание, конвекция). Стрелкой показаны направления диффузионного потока к поверхности раздела или от нее.

На рис. 18 представлена диффузия из раствора (косая штриховка) в чистый растворитель, находящийся в соприкосновении с раствором, или из одной жидкой фазы в другую. При диффузии в одном измерении концентрация $c = f(X, t)$ и градиент концентрации в общем случае также являются функцией расстояния и времени

$$\frac{dc}{dx} = \varphi(X, t).$$

Скоростью диффузии v_x называется количество вещества, перенесенное в единицу времени через единицу площади поперечного сечения среды, в которой происходит диффузия. Нередко это количество вещества называют также *диффузионным потоком* P .

Количество вещества dm , проходящее при диффузии через площадь s за время dt , пропорционально произведению площади, времени и градиента концентрации. Коэффициент пропорциональности D носит название *коэффициента диффузии* и представляет собой количество вещества, проходящее в единицу времени через единицу площади при градиенте концентрации, равном единице. Размерность коэффициента диффузии $\frac{\text{см}^2}{\text{сек}}$, т. е.

$$[D] = [L^2 T^{-1}].$$

Так как концентрация вещества уменьшается по направлению диффузионного потока, то градиент концентрации имеет отрицательное значение, т. е. dm пропорционально $-\frac{dc}{dX}$, следовательно, количество вещества, проходящее при диффузии, равно

$$dm = Psdt = -Dsd\frac{dc}{dX}. \quad (53)$$

Уравнение (53) называется первым законом Фика (1855 г.). Из (53) следует, что скорость диффузии (или величина диффузионного потока) равна

$$v_A = P = \frac{dm}{sdt} = -D \frac{dc}{dX}. \quad (54)$$

Чтобы определить скорость диффузии, необходимо знать зависимость между концентрацией, временем и расстоянием (линейной координатой диффузии). Эта зависимость дается вторым законом Фика, вывести который можно на основе следующих рассуждений.

Рассмотрим диффузию вещества в направлении оси X в трубке с площадью поперечного сечения $s = 1 \text{ см}^2$. Вырежем в трубке две площадки s_1 и s_2 , находящиеся на расстоянии dX (рис. 19). В единицу времени через площадку s_1 пройдет P_1 вещества. Часть этого вещества может оставаться в объеме $s_1 dX$, вследствие чего через площадку s_2 пройдет меньшее количество вещества P_2 . Разность диффузионных потоков $P_1 - P_2$ вещества накопится в единицу времени в объеме $s dX = dX$. В результате этого концентрация в объеме dX изменится на величину dc . Увеличение количества вещества в объеме dX за время dt будет равно $dcdX$. В единицу времени увеличение количества в объеме dX будет равно $\frac{dcdX}{dt}$. Следовательно,}

$$P_1 - P_2 = \frac{dc}{dt} dX. \quad (55)$$

С другой стороны, согласно (54),

$$P_1 - P_2 = -D \frac{\partial}{\partial X} (c) + D \frac{\partial}{\partial X} \left(c + \frac{dc}{dX} dX \right) = D \frac{\partial^2 c}{\partial X^2} dX, \quad (56)$$

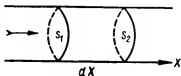


Рис. 19.

Сопоставление уравнений (55) и (56) дает

$$\left(\frac{\partial c}{\partial t}\right)_{X=a} = D \left(\frac{\partial^2 c}{\partial X^2}\right)_{X=a} \quad (57)$$

Следует учесть, что концентрация, а следовательно, и градиент концентрации меняется в зависимости от времени и расстояния. Поэтому уравнение (57) справедливо для любого, но постоянного сечения, находящегося на расстоянии $X=a$ от диффузионной границы. Это уравнение называется вторым законом Фика. Второй закон Фика показывает зависимость скорости изменения концентрации в слое

$$v_x = \left(\frac{\partial c}{\partial t}\right)_{X=a}$$

от градиента концентрации в данном слое $\left(\frac{\partial c}{\partial X}\right)_{X=a}$.

На рис. 20 показан один из возможных случаев изменения концентрации в различные периоды времени t_1 , t_2 и t_3 при односторонней диффузии в одном измерении, из бесконечного источника. Положение ординаты на этом

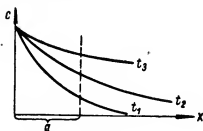


Рис. 20.

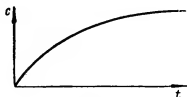


Рис. 21.

рисунке совпадает с границей раздела раствор—растворитель (граница X на рис. 18). Отрезок a на оси абсцисс отвечает сечению растворителя (или раствора), находящемуся на расстоянии a от границы начала диффузии. Величина $\left(\frac{\partial^2 c}{\partial X^2}\right)_{X=a}$ характеризует изменение градиента концентрации в этом

слое в момент времени t . Изменение концентрации в слое, находящемся на расстоянии a от начальной точки диффузии, во времени представлено на рис. 21. Для нахождения v_d и v_x необходимо знать вид функциональной зависимости $c = f(X, t)$, связанный с конкретными условиями протекания процессов диффузии, которые определяют собой начальные и граничные условия решения дифференциального уравнения (57). Уравнение (57) является параболическим дифференциальным уравнением типа уравнений Фурье. Подобные уравнения решаются в курсах уравнений математической физики. При нахождении вида функциональной зависимости концентрации от расстояния и времени, т. е. при решении уравнения (57), приходится сталкиваться с двумя различными типами диффузионных процессов:

- а) стационарное состояние диффузионного потока,
- б) нестационарное состояние диффузионного потока.

§ 23. Диффузионная кинетика при стационарном состоянии диффузионного потока

Стационарное состояние диффузионного потока характеризуется тем, что в элемент объема dX (см. рис. 19) в единицу времени входит такое же количество вещества, какое выходит из этого объема. При стационарном потоке распределение концентраций диффундирующего вещества в направлении диффузионного потока остается постоянным. В различных точках объема количество вещества различно, т. е. $\frac{\partial c}{\partial X} \neq 0$ (в противном случае диффузионный процесс вообще не шел бы), но при стационарном состоянии процесса концентрация в каждом элементе объема остается постоянной во времени, т. е.

$$\left(\frac{\partial c}{\partial t}\right)_{X-a} = 0.$$

Найдем скорость диффузии при стационарном состоянии потока. Условие стационарности определяется следующим образом:

$$\left(\frac{\partial c}{\partial t}\right)_{X-a} = D \left(\frac{\partial^2 c}{\partial X^2}\right)_{X-a} = 0. \quad (58)$$

Примем следующие граничные условия:

$$c = c_1 \text{ при } X = 0 \text{ для любого } t,$$

$$c = c_2 \text{ при } X = \delta \text{ для любого } t.$$

Из условия (58) следует, что $\frac{\partial c}{\partial X} = A$ и $c = Ax + B$, где A и B постоянные интегрирования. Положив $X = 0$, найдем $B = c_1$. Откуда

$$c = \frac{c_2 - c_1}{\delta} X + c_1, \quad \frac{c - c_1}{c_2 - c_1} = \frac{X}{\delta}$$

или

$$\frac{\partial c}{\partial X} = \frac{c_2 - c_1}{\delta} = \text{const}. \quad (59)$$

Из уравнений (58) и (59) следует, что при стационарном состоянии потока для любого момента времени концентрация диффундирующего вещества есть линейная функция расстояния.

На рис. 22 показано распределение концентрации в диффузионном слое толщиной δ при стационарном состоянии потока. Для строгого выполнения стационарности необходимо, чтобы концентрация на границах диффузионного слоя была постоянной. Строго это условие выполняется только лишь в редких случаях, например в опыте, схематически изображенном на рис. 23 (где l — открытая с двух концов трубка, которая помещена в сосуд с насыщенным раствором соли). Через отводы в верхней

части сосуда непрерывно протекает чистый растворитель. Спустя некоторое время после начала опыта в трубке l устанавливается стационарный диффузионный поток. Концентрация растворенного вещества линейно уменьшается с высотой от концентрации насыщения до нуля и не меняется во времени.

Не строго стационарными, но близкими к стационарным являются такие процессы, как растворение кристаллов в большом объеме растворителя при интенсивном перемешивании,

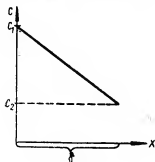


Рис. 22.

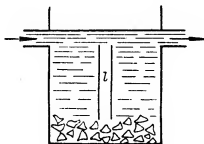


Рис. 23.

растворение некоторых металлов в кислотах, электролитическое выделение металлов при условии интенсивного перемешивания раствора и т. п. При интенсивном перемешивании концентрацию вещества в объеме можно принять или приближенно равной нулю (при растворении кристаллов, если концентрация насыщения достаточно велика), или постоянной в объеме, а у поверхности — равной нулю (растворение металлов).

Скорость диффузии при стационарном состоянии потока, отнесенная к 1 см^2 диффузионной поверхности, согласно (54) и (59), равна

$$v_d = -D \frac{dc}{dx} = D \frac{c_1 - c_2}{\delta}.$$

Если поверхность диффузии равна $s \text{ см}^2$ то

$$v_d = \frac{Ds(c_1 - c_2)}{\delta}.$$

Найдем выражение для экспериментально определяемой константы скорости реакции в случаях, когда диффузия является определяющей стадией процесса. Пусть c_1 — концентрация вещества в объеме $V \text{ л}$ раствора, c_2 — концентрация вещества у поверхности твердой фазы (рис. 17).

Если за время dt через диффузионный слой пройдет dm вещества, то изменение концентрации в растворе (в объеме $V \text{ л}$) будет равно

$$dc_1 = \frac{dm}{V}.$$

Скорость реакции, определяемая экспериментально по убыванию концентрации вещества в растворе, будет равна

$$v_2 = - \frac{dc_1}{dt} = \frac{1}{V} \frac{dm}{dt} = \frac{v_s}{V}. \quad (60)$$

Для необратимой реакции концентрация вещества у поверхности раздела $c_2 \approx 0$, как, например, это имеет место для концентраций ионов водорода при растворении металлов в кислотах. Тогда

$$v_s = \frac{v_s}{V} = \frac{Ds}{V\delta} c_1. \quad (61)$$

Таким образом, если скорость стационарного процесса определяется скоростью диффузии, то реакция всегда будет идти по первому порядку независимо от истинного, а экспериментальная константа скорости реакции будет равна

$$k_2 = \frac{Ds}{V\delta}.$$

Как видно из последнего равенства, экспериментальная константа скорости реакции является величиной сложной, зависящей от величины поверхности раздела s , объема раствора V и толщины диффузионного слоя δ .

В зависимости от условий перемешивания жидкости толщина диффузионного слоя может меняться в значительных пределах. Так, например, в условиях опыта, схематически изображенного на рис. 23, толщина диффузионного слоя равна высоте трубки l . При наличии конвекции, а тем более перемешивания, толщина диффузионного слоя резко уменьшается, стремясь в пределе к некоторой постоянной величине (неподвижный пристенный слой), не поддающейся непосредственному экспериментальному определению.

Увеличение экспериментальной константы скорости в зависимости от перемешивания является свидетельством диффузионного характера процесса. Однако отсутствие изменения экспериментальной константы скорости при увеличении скорости движения жидкости еще не является окончательным доказательством чисто кинетического характера процесса. Толщина диффузионного слоя может быть величиной порядка 0,02—0,05 мм и меньше, и для заметного изменения ее размера требуется достижение очень больших скоростей движения жидкости. К тому же уменьшение толщины диффузионного слоя, как показывает опыт, замедляется с возрастанием скорости перемешивания.

Экспериментально наблюдаемые скорости многих процессов определяются скоростью стационарного диффузионного потока и подчиняются уравнениям (60) или (61). Так, например, скорость растворения в воде бензойной кислоты, хлористого свинца,

уксуснокислого серебра и ряда других кристаллов может быть выражена уравнением

$$\frac{dc}{dt} = ks(c_{\text{нас}} - c),$$

где $c_{\text{нас}}$ — концентрация насыщения, а k — константа, имеющая близкое значение для различных веществ при одних и тех же скоростях перемешивания.

Скоростью стационарного диффузионного потока определяется скорость таких процессов, как растворение некоторых металлов (магния, марганца) в кислотах, растворение мрамора и окиси магния в кислотах, скорость взаимодействия йода, растворенного в KJ , с металлами Hg , Cd , Zn , Cu , Ag . Наконец, явления поляризации при электролизе во многих случаях непосредственно зависят от скорости стационарного диффузионного потока.

Для процессов, лимитируемых диффузией, характерны малые значения величины энергии активации порядка $2000 - 7000 \text{ кал/моль}$ (в растворах). Температурный коэффициент диффузии $\frac{D_{T+10}}{D_T}$ колеблется в пределах $1,1 - 1,5$, при этом чем меньше коэффициент диффузии вещества D , тем больше температурный коэффициент диффузии.

Полагая, что толщина диффузионного слоя не зависит от температуры, для температурного коэффициента константы скорости реакции получим

$$\frac{d \ln k_p}{dT} = \frac{d \ln D}{dT} = \frac{E}{RT^2},$$

откуда энергия активации Аррениуса для $T = 300^\circ \text{K}$ при

$$\frac{D_{T+10}}{D_T} = 1,5$$

равняется 7250 кал . При значении температурного коэффициента $1,3$ энергия активации равна 4600 кал .

Рассмотрим кинетические зависимости в тех случаях, когда константы скоростей диффузии и химического превращения соизмеримы между собой. Количество веществ, доставляемое 1 см^2 поверхности в единицу времени посредством диффузии, равно

$$P = \frac{D}{\delta} (c_1 - c_2) = \beta \Delta c,$$

где $\beta = \frac{D}{\delta}$ константа скорости диффузии, δ — толщина диффузионного слоя.

Предположим для простоты, что реакция у поверхности раздела протекает по первому порядку. Если c_2 — концентрация ве-

щества у поверхности, c_1 — в объеме, то скорость химического превращения у поверхности раздела

$$-\frac{dc_2}{dt} = kc_2.$$

Естественно, что непосредственно экспериментальным путем c_2 определить нельзя.

Скорость всего процесса в целом равна скорости отдельных его этапов: диффузии или скорости реакции

$$\beta(c_1 - c_2) = kc_2 = v_s = -\frac{dc_1}{dt}, \quad (62)$$

где v_s — экспериментально определяемая по изменению концентрации в единице объема раствора скорость реакции. Концентрацию у поверхности раздела c_2 непосредственно измерить нельзя, но можно вычислить из уравнения (62)

$$c_2 = \frac{\beta c_1}{k + \beta}.$$

Подставляя в уравнение (62) вместо c_2 ее значение, получим

$$-\frac{dc_1}{dt} = \beta(c_1 - c_2) = \beta\left(c_1 - \frac{\beta c_1}{k + \beta}\right) = \frac{k\beta}{k + \beta} c_1 = k_s c_1.$$

Экспериментально определяемая константа скорости *

$$k_s = \frac{k\beta}{k + \beta} \quad (63)$$

является величиной сложной, зависящей как от константы скорости химического превращения k , так и от константы скорости диффузии. Из уравнения (63) следует, что

$$\frac{1}{k_s} = \frac{1}{k} + \frac{1}{\beta},$$

т. е. что «сопротивление» суммарного процесса в целом равно сумме «сопротивлений» кинетического и диффузионного этапов.

Примером реакции, кинетика которой протекает в соответствии с уравнением (63), является горение угля при температурах ниже 1100°C , начиная с 600 — 700°C .

Если химическая реакция протекает не по первому порядку, то зависимость между константами скорости диффузии и химического превращения будет более сложной, и решение конечных уравнений потребует применения графических методов.

§ 24. Диффузионная кинетика при нестационарном состоянии диффузионного потока

Для нестационарного состояния диффузионного потока вид зависимости скорости диффузии от градиента концентрации мо-

* Уравнение (63) может служить простейшим примером константы скорости процесса, идущего в переходной области.

жет быть различным для различных условий протекания диффузионных процессов. Рассмотрим два типа нестационарных диффузионных процессов: диффузия из раствора постоянной концентрации в бесконечно длинный столб растворителя и диффузия из бесконечно длинного столба раствора в бесконечно длинный столб растворителя.

Первый случай диффузии выполняется в таких процессах, как, например:

а) диффузия из насыщенного раствора в растворитель, или растворение кристаллов в отсутствии перемешивания; при отсутствии перемешивания и достаточно большом объеме растворителя концентрация раствора у поверхности кристаллов постоянна (насыщенный раствор);

б) диффузия кислорода воздуха в раствор или же в металлы (сталь, железо) при процессах окисления;

в) диффузия воды в твердые тела — стекла, иониты.

Для этих процессов граничными условиями будут

$$c = c_0 \text{ при } X < 0 \text{ для всех } t,$$

$$c = 0 \text{ при } X > 0 \text{ для } t = 0,$$

$$c = f(X, t) \text{ для } X > 0 \text{ и } t > 0.$$

Решение уравнения Фика для этого случая имеет вид

$$c = c_0 \left(1 - \frac{2}{\sqrt{\pi}} I \right), \quad (64)$$

где c_0 — концентрация вещества в растворе, c — концентрация вещества в растворителе на расстоянии x от диффузионной границы к моменту времени t , I — интеграл вероятности

$$I = \int_0^y e^{-y^2} dy,$$

причем

$$y^2 = \frac{X^2}{4Dt}.$$

Интеграл вероятности может быть разложен в ряд, что дает

$$c = c_0 \left[1 - \frac{2}{\sqrt{\pi}} \left(\frac{X}{\sqrt{4Dt}} - \frac{X^3}{12(\sqrt{4Dt})^3} + \dots \right) \right]. \quad (65)$$

Из уравнения (65) найдем выражения для скорости диффузии u_x , скорости изменения концентрации в слое v_x и скорости перемещения слоя заданной концентрации v_c

$$v_c = \left(\frac{\partial x}{\partial t} \right)_c.$$

На рис. 24 показаны расстояния x_1 , x_2 , x_3 и x_4 , на которых по прошествии промежутков времени t_1 , t_2 , t_3 и t_4 концентрация диффундирующего вещества достигает заданного значения c .

Скорость перемещения слоя заданной концентрации характеризует изменение во времени расстояния до диффузионной границы, на котором концентрация достигла заданного значения c . Ограничиваясь в уравнении (65) первым членом разложения, получим

$$v_d = \frac{c_0 D}{\sqrt{\pi D t}}. \quad (66)$$

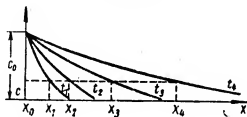


Рис. 24.

Количество вещества Q , прошедшее за время t через 1 см^2 поверхности раздела, найдем, проинтегрировав (66) от 0 до t ,

$$Q = \int_0^t \frac{c_0 D dt}{\sqrt{\pi D t}} = 2c_0 \sqrt{\frac{Dt}{\pi}}.$$

Аналогично из (65), ограничиваясь первым членом разложения

$$c = c_0 - \frac{2c_0 X}{\sqrt{4\pi D t}},$$

найдем

$$v_X = \left(\frac{\partial c}{\partial t} \right)_{X=\text{const}} = \frac{c_0 X}{t \sqrt{4\pi D t}} = \frac{c_0 - c}{2t}.$$

Из уравнения (64) следует, что при $c = \text{const}$

$$dc = \frac{2c_0}{\sqrt{\pi}} e^{-\frac{X^2}{4Dt}} \cdot d\left(\frac{X}{\sqrt{4Dt}}\right) = 0.$$

Множитель, стоящий перед дифференциалом, не равен нулю, следовательно,

$$\frac{X}{\sqrt{4Dt}} = \text{const} \text{ и } \frac{X^2}{t} = A, \quad (\text{IV}, 15)$$

где A — постоянная для данной концентрации c величина.

Уравнение (IV, 15) называется параболическим законом диффузии. Из (IV, 15) следует, что

$$v_c = \left(\frac{\partial c}{\partial t} \right)_c = \frac{A}{2X}$$

или

$$v_c X = \frac{A}{2} = \text{const.}$$

Параболическому закону диффузии подчиняется кинетика процессов диффузии, сопровождающейся необратимой химической реакцией, как, например, образование окалины в сталях, газовая коррозия металлов, образование осадков в студнях и т. д. Видимой границей зоны реакции в таких процессах является граница образования новой фазы — фазы продукта реакции, как, например, граница окисла металла при образовании окалины, граница осадка при реакции осаждения в студнях и т. п. Эта граница находится на расстоянии X от места начала диффузии и перемещается во времени по параболическому закону. Расстояние X соответствует достижению ко времени t диффундирующим веществом (кислород, диффундирующий в металл; металл, диффундирующий в окисел металла; соль, образующая осадок с веществом, растворенным в студне, диффундирующая в студень и т. д.) концентрации, отвечающей стехиометрическому составу продуктов реакции, т. е. стехиометрически эквивалентной концентрации другого реагирующего вещества. Физически это означает, что при течении процессов нарастания слоя твердых продуктов реакции на исходном твердом теле (например, окалинообразование, процессы выщелачивания и т. п.) диффундирующий извне компонент потребляется в зоне реакции (граница раздела: исходная фаза — слой продуктов) и не пересекает ее потому, что его концентрация за зоной реакции практически равна нулю.

При образовании окалины толщина пленки X меняется по закону

$$X = \sqrt{At}.$$

Если в системе проходит реакция и диффузия является лимитирующей стадией, то экспериментально наблюдаемая скорость реакции v_s будет определяться скоростью диффузионного потока

$$v_s = v_d = c_0 \sqrt{\frac{D}{\pi t}}.$$

Второй случай диффузии из бесконечно большого столба раствора в бесконечно длинный столб растворителя через резкую границу между ними в начале диффузии осуществляется в таких процессах, как диффузия радиоактивного изотопа в нерадиоактивный металл, диффузия иона из одной кристаллической решетки в другую (ион Ag^+ из Ag_2S в CuS), процессы ионного обмена с раствором, диффузия из ненасыщенного раствора в растворитель и т. п.

В подобных случаях мы имеем следующие граничные условия:

$$\begin{aligned} c &= c_0 \text{ при } t=0 \text{ и } X < 0, \\ c &= 0 \text{ при } t=0 \text{ и } X > 0, \\ c &= f(X, t) \text{ при } t \neq 0. \end{aligned}$$

Распределение концентраций для этого случая диффузии показано на рис. 25. Решение уравнения Фика будет иметь вид

$$c = \frac{c_0}{2} \left(1 - \frac{2}{\sqrt{\pi}} \int_0^y e^{-y^2} dy \right). \quad (67)$$

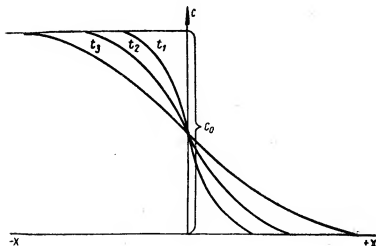


Рис. 25.

Формула (67) отличается от (64) только множителем $\frac{1}{2}$, следовательно, для этого случая диффузии справедливы все положения, рассмотренные в предыдущем разделе, с тем только отличием, что множитель c_0 должен быть заменен на $\frac{c_0}{2}$.

§ 25. Кинетика реакций в твердой фазе

Изучение кинетики реакций, в которых участвуют твердые вещества, имеет не только теоретическое, но и большое практическое значение. Большинство реакций, имеющих значение для техники, протекает с участием твердых веществ. Достаточно указать на такие промышленные процессы, как получение катализаторов для гетерогенного катализа, агломерация руд, производство керамических изделий, огнеупоров, цемента, металло-

керамики, цементация стали, получение нитей для ламп накаливания и т. д.

Однако единой общепризнанной теории кинетики твердофазных реакций еще не существует. Объясняется это сложностью реакций между твердыми телами. Реакции с участием твердых веществ могут лимитироваться не только скоростью химического превращения или диффузии твердых фаз, но могут протекать и через газовую фазу. Так, например, взаимодействие сульфидов с окислами металлов протекает с участием газообразного кислорода, образующегося при разложении окисла.

Кинетика процесса этих реакций определяется участием газообразных веществ. На примерах ряда реакций: взаимодействие окиси свинца с сернистой медью, металлической меди с сульфатом цинка, сульфида цинка с окисью меди — показана возможность их протекания при относительно больших расстояниях между зернами, исключающих наличие непосредственного контакта между ними.*

При классификации реакций в твердой фазе целесообразно в основу ее положить процессы, лимитирующие скорость всего процесса в целом. В связи с этим твердофазные реакции можно подразделить на три класса.**

1. Лимитируемые скоростью химического превращения твердых веществ, как, например, реакции диссоциации, процессы полиморфных превращений и т. д.

2. Лимитируемые диффузией. К ним относится большинство твердофазных процессов, протекающих при достаточной толщине диффузионного слоя продукта реакции на частицах какого-либо реагента.

3. Лимитируемые испарением или возгонкой. Скорость таких реакций зависит от упругости пара и размера частиц. К подобным реакциям относятся некоторые процессы образования шпинелей, сульфидов, взаимодействие основного окисла с кислотным и т. п.

Большинство твердофазных реакций протекает через ряд последовательных стадий. Независимо от соотношения исходных веществ состав первичного продукта один и тот же, например:

Исходные соединения	Первичные промежуточные продукты
$\text{CaO}, \text{Al}_2\text{O}_3$	$\text{CaO} \cdot \text{Al}_2\text{O}_3$
$\text{MgO}, \text{Al}_2\text{O}_3$	$\text{MgO} \cdot \text{Al}_2\text{O}_3$
CaO, SiO_2	$2\text{CaO} \cdot \text{SiO}_2$
MgO, SiO_2	$2\text{MgO} \cdot \text{SiO}_2$

В ряде случаев твердофазные реакции катализируются продуктами реакции. Автокаталитически протекает термический

* М. Е. Позни, А. М. Гинстлинг, В. В. Печковский. ЖПХ, 27, 273, 1954; 28, 543, 1955.

** М. Е. Позни, А. М. Гинстлинг. ЖПХ, 24, 37, 1951.

распад окиси ртути, причем каталитическими свойствами обладает только ртуть, образовавшаяся из окисла, но не ртуть, внесенная извне. Автокаталитически разлагаются оксалаты никеля и кальция в вакууме. Однако, если прервать реакцию и продукты выдержать 75 часов при комнатной температуре, то разложение продукта пойдет с такой же скоростью, как и исходных веществ. Это свидетельствует о том, что каталитическим действием обладают неустойчивые, метастабильные состояния. Метастабильные модификации обладают большой химической активностью и, как правило, большей реакционной способностью.

Экспериментально установлено влияние скорости получения препарата на скорость его последующего химического превращения. Так, чем больше скорость получения двуводного оксалата никеля из сернистого никеля и щавелевой кислоты, тем больше и скорость термического разложения оксалата. Перманганат аммония, полученный быстрым охлаждением раствора, взрывает при последующем нагреве до 78°C . Тот же препарат, полученный изотермическим испарением раствора, при последующем нагреве медленно разлагается, но не взрывает. Старение препаратов оксалата свинца приводит к появлению четких линий на дебаграммах. Параллельно со старением кристаллов растет скорость реакций: скорость растворения, скорость разложения, восстановления водородом, скорость твердофазных реакций. Скорость реакции растет также с измельчением, что экспериментально установлено для скорости гидратации пятиводной сернистой меди, термического разложения перманганатов, углекислого кадмия, оксалата свинца, гидрата окиси магния, перхлората аммония и ряда других реакций. При этом степень дисперсности почти не влияет на скорость термического разложения свежеполученных кристаллов.

У состарившихся препаратов измельчение вызывает рост скорости реакций, но в меньшей степени, чем рост поверхности. Объясняется это наличием у кристаллов внутренней поверхности (микротрещины, блоки), которая может значительно превышать внешнюю. Свежеприготовленные кристаллы имеют особенно много дефектов в кристаллической решетке, исчезающих при рекристаллизации в процессе старения.

Наличие метастабильных фаз может влиять не только на скорость реакции, но и на положение равновесия. Известно, что метастабильные фазы обладают избыточной свободной энергией. Так, например, вальцованная никелевая жесть обладает избытком свободной энергии в 3230 кал/моль по сравнению с рекристаллизованным никелем, порошкообразная медь — в 1380 кал/моль по сравнению с массивной. По мере старения препаратов карбоната никеля свободная энергия диссоциации изменяется на 6700 кал/моль , энергия диссоциации карбоната цинка может меняться в зависимости от условий его приготовления на 3400 кал/моль . Следует учесть, что изменению изобарно-изотер-

мического потенциала на несколько ккал/моль на моль соответствует изменение константы равновесия в десятки и сотни раз.

На ряде веществ экспериментально установлен параллелизм между величиной теплоты растворения и кристаллическим состоянием вещества. Так, падению теплоты растворения образцов окиси кадмия, прокаленных при различных температурах, сопутствовал рост величины кристаллов со 190 до 2500 Å и больше, рост теплот растворения в солянокислом растворе треххлористого йода различных препаратов металлического никеля оказался связанным с увеличением степени дисперсности и аморфности материала.

Для твердофазных реакций, протекающих без участия газобразных фаз, в частности реакций термического разложения, специфической особенностью является локализация процесса в пределах реакционной зоны между исходным твердым веществом и продуктами реакции. Скорость реакций пропорциональна величине реакционной зоны в каждый данный момент времени. В свою очередь последняя зависит от числа зародышей и поверхности каждого из них. Иначе говоря, реакция протекает только на поверхности раздела фаз и скорость реакции пропорциональна величине поверхности раздела.

Следует различать два типа твердофазных реакций. Реагировать могут две твердые фазы, обе меняясь. Здесь реакция протекает с поверхности каждой фазы в ее объеме, реагирует смесь кристаллов, и реакция идет с поверхности кристаллической частицы в ее объеме. Если реагирует одно вещество, превращаясь в другое, как, например, в некоторых реакциях разложения или полиморфных превращений, то реакция тоже протекает на поверхности зародышей образующейся фазы, но здесь зародыши новой фазы образуются в объеме первоначальной фазы. Закономерности течения этих двух типов реакций различны. Для реакций первого типа, если число зародышей постоянно, скорость реакции сначала растет, до тех пор пока зародыши не станут пересекаться, после чего реакционная поверхность начнет уменьшаться и скорость реакции падает.

Обозначим через X — количество прореагировавшего вещества, a — начальное количество вещества, σ — реакционная поверхность каждого зародыша. Скорость реакции в начальный период

$$\frac{dx}{dt} = k'\sigma.$$

Но σ имеет размерность площади $[L]^2$, а объем реагирующего вещества, пропорциональный массе, размерность $[L]^3$. Следовательно, реакционная поверхность каждого зародыша при постоянстве их числа пропорциональна массе в степени $2/3$.

$$\sigma = k'' x^{2/3}, \quad \frac{dx}{dt} = k x^{1/3},$$

$$x = \text{const} \cdot t^3, \quad \sigma = \text{const} \cdot t^2.$$

Таким образом, для начального периода скорость пропорциональна массе в степени $2/3$, общее количество прореагировавшего вещества — кубу времени, а величина поверхности зародышей — квадрату времени. Начиная с момента, когда зародыши начнут пересекаться, скорость реакции будет определяться массой непрореагировавшего вещества:

$$\begin{aligned} \frac{dx}{dt} &= k(a-x)^{1/3}, \quad kt = a^{1/3} - (a-x)^{1/3}, \\ x &= a - (a^{1/3} - kt)^3. \end{aligned}$$

Последнее уравнение справедливо для реакций разложения перманганата калия, углекислых солей серебра, цинка, кальция и других реакций разложения кристаллов, в которых реакция возникает сразу по всей поверхности. Это наблюдается не всегда. Если скорость образования зародышей новой фазы относительно невелика, то зародыши новой фазы образуются в объеме исходной фазы. Если число их постоянно, то общая поверхность реакционной зоны будет расти пропорционально квадрату времени по закону

$$S = k'' N_0 t^2,$$

где S — поверхность, N_0 — число зародышей, k'' — коэффициент пропорциональности.

Обозначим через α долю прореагировавшего вещества за время t , через $1-\alpha$ — долю оставшегося исходного вещества. Скорость реакции, т. е. уменьшение количества исходного вещества в единицу времени, будет пропорциональна количеству этого вещества (аналогично уравнению скорости гомогенных реакций) и величине поверхности реакционной зоны.

$$-\frac{d(1-\alpha)}{dt} = k'' S(1-\alpha) = k(1-\alpha) N_0 t^2.$$

После интегрирования с учетом, что при $t=0$, $\alpha=0$

$$\alpha = 1 - e^{kt^3}.$$

Если число зародышей постоянно, то скорость их роста постоянна, то число их будет увеличиваться во времени по закону

$$\begin{aligned} N &= k' t^m, \\ -\frac{d(1-\alpha)}{dt} &= k'' N t^2 (1-\alpha) = k t^{m+2} (1-\alpha). \end{aligned} \quad (68)$$

Интегрирование уравнения (68) дает с учетом того, что при $t=0$, $\alpha=0$ и $\text{const}=0$

$$\alpha = 1 - e^{kt^n}, \quad (\text{IV}, 16)$$

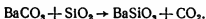
где $n = m + 3$, $n \geq 3$. Если k мало, то уравнение (IV, 16) можно разложить в ряд

$$\alpha = 1 - e^{kt^n} \approx kt^n.$$

Последнее уравнение имеет тот же вид, что и уравнения диффузионной кинетики, но с другим численным значением n . Если диффузия протекает в бесконечный или полубесконечный столб вещества и сопровождается необратимой химической реакцией, то, как было показано (см. § 24, формулу IV, 15), количество прореагировавшего вещества растет по параболическому закону

$$\alpha = kt^{\frac{1}{2}}.$$

Так, например, по параболическому закону идет реакция (при 800—890°)



При стационарной диффузии количество вещества Q , прошедшего через поверхность раздела (т. е. прореагировавшего) за время t , равно

$$Q = \int_0^t dm = \int_0^t D \frac{c_1 - c_2}{\delta} dt = \text{const} \cdot t,$$

$$\alpha = kt.$$

Таким образом, при диффузионной кинетике n меняется от половины до единицы $\frac{1}{2} \leq n \leq 1$.

Если даже приближенно нельзя считать диффузионное пространство бесконечным или полубесконечным, то n может принимать различные значения меньше единицы. Например, реакция термического разложения перхлората аммония имеет n от 0,5 до 0,98. Во многих случаях термического разложения, особенно у взрывчатых веществ, может наблюдаться цепной механизм. Для подобных реакций характерен значительный период индукции с последующим очень быстрым нарастанием скорости. Формальным признаком таких реакций является пропорциональность скорости реакции доле прореагировавшего вещества

$$\frac{d\alpha}{dt} = k\alpha, \quad \alpha = Ce^{kt}, \quad \frac{d\alpha}{dt} = C_1 e^{kt}, \quad (\text{IV}, 17)$$

где k , C и C_1 — постоянные.

Механизм цепных реакций и их особенности рассматриваются в следующей главе.

ЛИТЕРАТУРА

Д. А. Франк-Каменецкий. Диффузия и теплопередача в химической кинетике. М.—Л., Изд-во АН СССР, 1947.

П. П. Будников, А. М. Гиистлиг. Реакции в смесях твердых веществ. М., Госстройиздат, 1961.

В. В. Болдырев. Методы изучения кинетики термического разложения твердых веществ. Изд-во Томского ун-та, 1958.

П. П. Будников, А. С. Бережной. Реакции в твердых фазах. М., Промстройиздат, 1949.

Ж. Дюкло. Диффузия в жидкостях. М.—Л., ГОНТИ, 1939.

В. Г. Левич. Физико-химическая гидродинамика. М., Изд-во АН СССР, 1952.

А. Б. Здаиовский. Кинетика растворения природных солей в условиях вынужденной конвекции. Л., Госхимиздат, 1956.

Проблемы кинетики и катализа, V. Методы изучения катализаторов. М.—Л., Изд-во АН СССР, 1948.

Г. К. Боресков. Катализ в производстве серной кислоты. М.—Л., Госхимиздат, 1954.

Р. Баррер. Диффузия в твердых телах. М., ИЛ, 1948.

Б. И. Болтакс. Диффузия в полупроводниках. М., Физматгиз, 1961.

С. Д. Герцрике, И. Я. Дехтяр. Диффузия в металлах и сплавах в твердой фазе. М., Физматгиз, 1960.

Кинетика и катализ. Сб. под ред. Л. А. Николаева. М., Изд-во АН СССР, 1960.

С. Ю. Елович, Г. М. Жаброва. Теоретические основы гидрирования жиров. М.—Л., Изд-во АН СССР, 1948.

М. Г. Гоникберг. Химическое равновесие и скорость реакций при высоких давлениях. М., Изд-во АН СССР, 1960.

О. К. Ботвинник. Физическая химия силикатов. М., Промстройиздат, 1955.

Д. И. Орочко. Теоретические основы ведения синтезов жидких топлив. М.—Л., Гостоптехиздат, 1951.

Т. С. Ростовцев. Теория металлургических процессов. М., Металлургия, 1956.

Гетерогенные химические реакции. Минск, Изд-во высшего образования БССР, 1961.

С. А. Казеев. Кинетика в приложении к металловедению. М., Оборонгиз, 1956.

Скорость окисления металлов и сплавов. Л., Изд-во ЛГУ, 1957.

Т. Викиерстаф. Физическая химия крашения. М., Гизлегпром, 1956.

ГЛАВА V

ЦЕПНЫЕ РЕАКЦИИ

§ 26. Фотохимические реакции

Фотохимическими называются реакции, идущие под действием света. Фотохимически активным является только свет, поглощаемый реагирующим веществом. При отсутствии поглощения электромагнитных колебаний фотохимические реакции, естественно, идти не могут. Поглощение энергии электромагнитных колебаний может не только повышать энергию молекул, активируя их, но и приводить к диссоциации молекул на атомы или радикалы.

На рис. 26 показаны потенциальные кривые нормальной a и возбужденной b молекулы. По оси ординат отложена потенциальная энергия, по оси абсцисс — расстояния между ядрами, D — энергия диссоциации. Согласно принципу Франка — Кондона, возбуждение электронных уровней совершается настолько быстро, что за это время ядра не меняют своего положения. Это означает, что переход совершается от точки A (или B) потенциальной кривой нормальной молекулы к расположенной вертикально над ней точке A' (или B') потенциальной кривой возбужденной молекулы. Нетрудно видеть, что электронное возбуждение уменьшает прочность молекулы. Равновесное расстояние между ядрами увеличивается, а энергия диссоциации в возбужденном состоянии уменьшается. При переходе из точки B в точку B' , лежащую выше асимптоты, энергия молекулы становится больше энергии диссоциации и молекула диссоциирует.

Иногда возбужденная молекула может не испытывать никаких химических изменений, освобождая энергию при возвращении в основное состояние излучением (флуоресценция или фотолюминесценция). При этом излучаемый квант как правило меньше поглощенного, т. е. излучение флуоресценции лежит в более длинноволновой области, чем поглощенный свет (правило Стокса). В зависимости от химической природы вещества под влиянием света в молекулах могут протекать

различные химические превращения, что приводит к наличию различных типов фотохимических реакций. Фотохимические реакции можно классифицировать следующим образом.

1. Реакции фотораспада (фотодиссоциации), в которых вещество под влиянием света распадается на радикалы (атомы) или ионы.

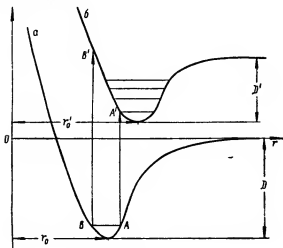
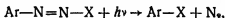
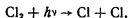


Рис. 26.

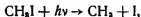
а) Фотолиз на радикалы (атомы), например распад диазосоединений с выделением азота под действием ультрафиолетовых волн



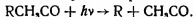
где Ar — ароматический остаток молекулы, распад молекул хлора на атомы



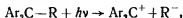
распад йодистого метила



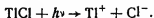
фотолиз метилкетонов RCH_3CO с образованием ацетила CH_3CO



б) Фотолиз на ионы (фотоионизация), как, например, окрашивание под влиянием света лейкокарбинолов, лейкоцианинов, лейкосульфидов трифенилметановых красителей, переходящих в спиртовых растворах из бесцветного неэлектролита в окрашенный электролит

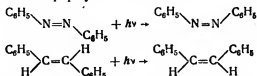


или фотоионизация галоидных солей таллия

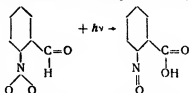


2. Реакции фотоперегруппировки.

а) Реакции фотоизомеризации, например превращение под действием ультрафиолетового света транс-формы азобензола и стильбеиа в цис-форму

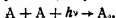


б) Реакции фототаутомеризации, как, например, превращение *o*-нитробензальдегида в *o*-нитробензойную кислоту



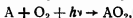
3. Реакции фотоприсоединения.

а) Реакции фотодимеризации, идущие по схеме



например образование в растворе антрацена молекул диантрацена, распадающихся в темноте вновь на одиночные молекулы.

б) Реакции фотоокислорования, присоединения кислорода



например образование бензойной кислоты и перекисных соединений при освещении толуола в присутствии кислорода светом с длиной волны 300—240 мкм или образование гидроперекиси бензоила из бензойного альдегида.

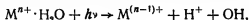
в) Реакции фотогидролиза, как, например, фотогидролиз красителей при деструктивном их выцветании.

4. Реакции фотопереноса электронов.

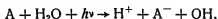
а) Реакции фотоокисления. Фотоокислению могут подвергаться молекулы и ионы — органические и неорганические. Роль реакций фотоокисления исключительно велика, так как природный фотосинтез вероятнее всего начинается с фотоокисления воды, сопряженная же темновая реакция — восстановление углекислого газа до углеводов.* К реакциям фотоокисления относят-

* Под темновыми реакциями понимают вторичные (обычные — нефотохимические) реакции, в которых свет не принимает участия, следующие после фотохимической реакции.

ся реакции фотоокисления воды ионами переменной валентности, т. е. разрушение гидратированных комплексов по схеме

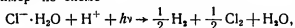


фотоокисление воды в растворах

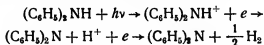


где A — акцептор электронов;

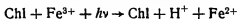
фотоокисление ионов Cl^- , OH^- , SO_3^{2-} , Fe^{2+} , $RCOO^-$ и других, например по схеме



фотоокисление ароматических соединений и красителей (эозина, флуоресцеина, метиленового фиолетового и других), как, например, фотоокисление дифениламина

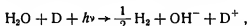


или фотоокисление (выцветание) хлорофилла

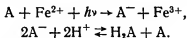


и ряд других реакций.

б) Реакции фотовосстановления, например фотовосстановление воды

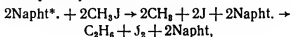


где D — донор электрона; фотовосстановление красителей, как обратимое выцветание водного подкисленного раствора тионина или метиленового голубого, с образованием лейкоформы красителя

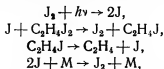


Здесь A — молекула красителя, H_2A — ее лейкоформа.

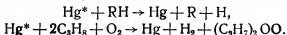
5. Фотосенсибилизация (очувствление). Если в результате возбуждения молекул одного вещества при облучении светом энергия может перераспределиться (может быть передана молекулам другого вещества), то последние смогут реагировать, хотя бы они и не поглощали света в данной области спектра. Например, так происходит фотохимическая диссоциация йодистого метила в безольном растворе в присутствии молекул нафталина



где Napht.* — фотохимически возбужденные, Napht. — не возбужденные молекулы нафталина; фотохимическое разложение йодистого этилена в присутствии йода



где M — инертная частица (см. § 13); реакции разложения или окисления содержащих водород веществ (углеводороды), сенсibilизированных ртутью,



В результате фотосенсибилизации могут протекать фотосенсибилизированное окисление, фотосенсибилизированное восстановление и фотосенсибилизированный перенос электронов. В ряде случаев фотосенсибилизатор может обратимо меняться.

Скорость фотохимических реакций не зависит от температуры, так как определяется вероятностью поглощения квантов света молекулами исходных веществ. Температурный коэффициент фотохимических реакций может быть обусловлен как вторичными процессами, так и тем, что с повышением температуры обратные реакции могут ускоряться в большей степени, чем прямые. Это приводит к тому, что температурный коэффициент фотохимических реакций может быть больше, меньше или равен единице, как это видно из табл. 12.

Таблица 12

Реакция	Температурный коэффициент	Интервал температур, °C
$H_2 + Br_2 \rightarrow 2HBr$	1,48	160—218
$H_2 + Cl_2 \rightarrow 2HCl$	1,21	11—60
$3O_2 \rightarrow 2O_3$	1,00	—180+18
$2NOCl \rightarrow 2NO + Cl_2$	1,00	0—78
$2HJ \rightarrow H_2 + J_2$	1,00	150—175
$Cl_2 + SO_2 \rightarrow SO_2Cl_2$	0,88	291—372
Выцветание циановых красителей в коллоидной пленке	1,04—1,08	60—120
Выцветание кристаллического фиолетового в целлофане	1,03—1,05	—40+60

Фотохимические процессы описываются законами Ламберта—Бера, Вант-Гоффа и Эйнштейна.

Если рассматривать поглощение света как взаимодействие фотонов с молекулами поглощающего вещества, то относи-

тельное ослабление света при поглощении, т. е. относительное уменьшение числа фотонов J_λ при длине волны λ , пропорционально количеству молекул, содержащихся в элементарном объеме толщиной dx с площадью поперечного сечения 1 см^2 .

$$-\frac{dJ_\lambda}{J_\lambda} = kn dx, \quad (69)$$

где n — число молекул в 1 см^3 , k — коэффициент пропорциональности, зависящий от природы вещества и называемый молекулярным коэффициентом поглощения. Если отнестись коэффициент поглощения к $1 \text{ г} \cdot \text{моль/л}$, обозначив его через ϵ , то очевидно, что

$$\epsilon c = kn, \quad (70)$$

где ϵ — молярный коэффициент поглощения. Интегрируя (69) в пределах от x_1 до x_2 для слоя конечной толщины $l = x_1 - x_2$, с учетом (70) получим изменение интенсивности выходящего света I по сравнению с падающим

$$\ln \frac{I}{I_0} = e^{-\epsilon c l}, \quad (71)$$

представляющее собой обычное выражение закона Ламберта — Бера. На практике вместо натуральных логарифмов пользуются десятичными

$$\lg \frac{I}{I_0} = e_1^{-\epsilon c l},$$

где e_1 — десятичный молярный коэффициент поглощения, называемый коэффициентом погашения (экстинкции). Очевидно, что

$$e_1 = 0,43\epsilon, \quad \epsilon = 6 \cdot 10^{20} k.$$

По закону Вант-Гоффа скорость реакции пропорциональна «скорости» поглощения световой энергии. Энергия светового потока A , поглощаемая слоем ежесекундно, равна $I_0 - I$, а за время dt соответственно $(I_0 - I) dt$, что с учетом (71) дает

$$\begin{aligned} A &= I_0 - I = I_0(1 - e^{-\epsilon c l}), \\ -dc &= b A dt = b I_0(1 - e^{-\epsilon c l}) dt, \\ -\frac{dc}{dt} &= b I_0(1 - e^{-\epsilon c l}). \end{aligned} \quad (72)$$

Уравнение (72) представляет собой математическое выражение закона Вант-Гоффа, b — коэффициент пропорциональности.

Основным законом фотохимии является закон эквивалентности Эйнштейна (1912 г.), согласно которому каждый поглощенный фотон может вызвать изменение только

одной молекулы. Если поглощенная за некоторое время энергия монохроматического света равна A , то число поглощенных фотонов N_a равно числу «измененных» молекул N_m и закон квантовой эквивалентности запишется в виде

$$N_a = \frac{A}{h\nu} = N_m. \quad (73)$$

Отношение числа прореагировавших молекул к числу молекул, поглотивших фотоны, называется квантовым выходом γ . Если бы каждый поглощенный фотон неизбежно вызывал химическое превращение молекулы, то квантовый выход должен был бы всегда быть равен единице. Однако возможны разнообразные физические процессы, приводящие к превращению поглощенной световой энергии в тепло, без химического изменения молекулы. Поэтому квантовый выход может быть меньше единицы.

§ 27. Особенности цепных реакций

Возникновение теории цепных реакций связано с тем, что теорией бинарных соударений невозможно объяснить ряд экспериментальных фактов:

1) ненормально высокий (значительно больше единицы) квантовый выход у ряда фотохимических реакций;

2) влияние размеров, формы и материала сосуда на скорость химических реакций;

3) несоответствие между экспериментальными и вычисленными по теории бинарных соударений значениями скорости реакции, экспериментально определенная скорость реакции значительно превышает вычисленную;

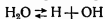
4) чувствительность реакции к ничтожным следам примесей, прекращающим или вызывающим реакцию (так, например, окисление окиси углерода или водорода прекращается, если упругость водяных паров в смеси становится меньше 10^{-4} — 10^{-5} мм рт. ст.);

5) наличие верхнего и нижнего пределов по давлению у ряда реакций, в частности во взрывных реакциях; при давлениях меньше нижнего или больше верхнего предельного реакция не идет, при промежуточных давлениях скорость реакции очень велика;

6) наличие периода индукции и последующее автоускорение реакции.

Принципиальное отличие цепных процессов от нецепных состоит в том, что в цепных реакциях активные частицы отличны от нормальных молекул не только энергетически, но и химически. Активными частицами в цепных реакциях являются атомы или свободные радикалы, образующиеся в процессе течения самой реакции. Концентрация атомов или свободных

радикалов в процессе прохождения реакции значительно отличается от равновесной. Например, в реакции образования воды из водорода и кислорода концентрация свободного гидроксила может доходить до 0,1% от количества исходных газов, превышая равновесную концентрацию реакции



во много тысяч раз. К концу реакции свободные радикалы и атомы исчезают за счет реакций рекомбинации их в молекулы.

Схему цепной реакции можно представить следующим образом:



В цепных реакциях нет равновесия между нормальными и активными частицами (I стадия), и поэтому концентрацию активных частиц по законам статистического распределения вычислить невозможно. Концентрация активных частиц меняется в процессе реакции, возрастая в начале реакции и убывая в конце реакции. Поэтому условие стационарности в цепных реакциях не выполняется, скорость возникновения активных частиц может быть как больше, так и меньше скорости их гибели.

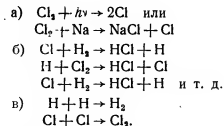
Цепные реакции состоят из ряда параллельно-последовательных процессов с участием свободных радикалов. Всякое цепное превращение включает реакции трех типов.

Во-первых, *реакцию зарождения цепи*. Нормальная молекула распадается на атомы или радикалы, что связано с затратой значительной энергии, равной энергии диссоциации молекулы. Вследствие большой величины энергии активации самопроизвольный распад молекулы на атомы или радикалы маловероятен, и обычно зарождение цепи возможно при условии поступления энергии извне: в виде излучения при фотохимических реакциях ($\text{H}_2 + \text{Cl}_2 + h\nu \rightarrow 2\text{HCl}$), тепла в термических реакциях (местный разогрев в реакции $2\text{H}_2 + \text{O}_2 \rightarrow 2\text{H}_2\text{O}$), энергии химического взаимодействия, как, например, введение ничтожных следов (0,1 — 0,01%) паров натрия в реакции образования хлористого водорода из водорода и хлора в темноте, электрической энергии и т. п. Количество энергии, необходимой для зарождения цепи, невелико, так как для возникновения цепного процесса достаточно образования незначительного количества свободных радикалов. Если радикалы возникли, то дальше цепной процесс равняется самопроизвольно.

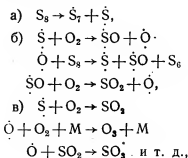
Во-вторых, *реакцию развития цепи*. В этом процессе чередуются акты взаимодействия радикалов с молекулами, в результате чего образуются продукты реакции и новые радикалы.

В-третьих, *реакцию обрыва цепи*. Исчезают свободные валентности (атомы, радикалы) при рекомбинации радикалов в валентно-насыщенную молекулу или иным путем.

Цепи в реакциях развития могут быть разветвленными и неразветвленными. В неразветвленных цепных процессах каждый исчезающий радикал вызывает появление одного нового радикала. Это можно наблюдать в ходе реакции образования хлористого водорода.



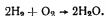
В реакциях с разветвленными цепями каждый гибнущий радикал порождает несколько новых, количество активных частиц в процессе реакции лавинообразно возрастает, и скорость реакции увеличивается. Примером цепной разветвленной реакции может являться реакция окисления паров серы при 100—150° С



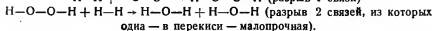
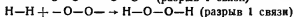
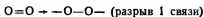
где М — инертная молекула. Реакции с разветвлением могут идти со взрывом (гремучий газ) и относительно медленно при комнатной температуре (горение паров фосфора при низких давлениях) — так называемые *холодные пламена*.

Во всякой цепной реакции процесс может идти только при наличии промежуточных продуктов: атомов, радикалов, бирадикалов. Впервые на роль промежуточных продуктов в реакциях окисления указал в 1894 г. А. Н. Бах, развивший в 1896—1897 гг. перекисную теорию окисления.

Непосредственная реакция в процессе окисления водорода требует тройного соударения (что само по себе мало вероятно) и разрыва четырех прочных связей



Согласно А. Н. Баху, процесс идет последовательно, с образованием перекисей как промежуточных этапов окисления

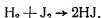


Он экспериментально установил наличие перекисей в ходе медленного окисления различных веществ и объяснил явление сопряженного окисления образованием перекисей. С известными поправками его положения сохранили свое значение и до настоящего времени. Теория А. Н. Баха не объясняет, однако, откуда берется энергия разрыва связи при активировании кислорода. В 1905 г. Н. А. Шилов в теории сопряженных реакций показал, что энергия активации, необходимая для начала реакции, может быть получена за счет другой, сопряженной с первой, реакции.

Работы А. Н. Баха и Н. А. Шилова являлись основой, на которой развивалась цепная теория. Однако эти работы не могли объяснить всей специфики цепных реакций: наличие индукционного периода, влияние ничтожных следов примесей, формы и размеров сосуда на скорость реакции и т. п. Теория цепных реакций была создана в результате работы советской школы физико-химиков (Н. Н. Семенова и его учеников), проводимой начиная с 1926 г.

Всякое химическое превращение, как правило, идет по пути с наименьшей энергией активации. Ниже излагаются три возможных варианта течения реакций.

1. Реакция между валентно-насыщенными молекулами, например реакция



реакция мономолекулярного распада диметилового эфира и т. п. Реакции между валентно-насыщенными молекулами встречаются сравнительно редко и, как правило, протекают в газовой фазе. Это связано с большой энергией активации, обычно необходимой для разрыва связей в реагирующих молекулах.

2. Реакция между молекулой и ионом или двумя ионами (за исключением мгновенно протекающих реакций электростатического взаимодействия между двумя противоположно заряженными ионами). Этот тип реакций характерен для полярных молекул в жидких растворах.

3. Реакция между молекулой и радикалом или атомом, т. е. цепная реакция. Цепные реакции встречаются в газовой фазе (многие фотохимические, взрывные реакции, процессы горения и т. п.) и среди реакций в растворах (реакции окисления сульфидов, полимеризации, окисление углеводов и т. д.).

В каждом конкретном случае реакция может пойти по одному из этих путей, в зависимости от того, какой из них в данных условиях наиболее энергетически выгоден.

В реакциях между валентно-насыщенными молекулами активные и инертные частицы находятся в статистическом равновесии, доля активных частиц $\frac{v'}{v}$ постоянная, и к реакции

применимо условие стационарности. Концентрация активных частиц может быть вычислена по законам статистического распределения.

Реакции между ионами и молекулами характеризуются тем, что в них участвуют активные частицы (ионы), образовавшиеся за счет процесса диссоциации. В этом случае доля активных частиц может быть как постоянной, так и увеличиваться в случаях автокаталитических ионных реакций. Однако условие стационарности процесса справедливо и для случая ионных реакций, так как дезактивация и в этом случае осуществляется за счет обмена энергией, а не путем химического акта. Концентрация активных частиц здесь также связана с общей концентрацией законами распределения.

В случае цепных реакций активные частицы возникают за счет самой реакции. Доля активных частиц $\frac{v'}{v}$ сначала увеличивается в процессе реакции, а затем уменьшается за счет процессов рекомбинации. Скорость цепной реакции зависит от соотношения скоростей образования и рекомбинации радикалов или атомов, условие стационарности не выполняется. Активация и дезактивация в цепных реакциях непосредственно не связаны между собой, хотя и в том и в другом случае радикалы принимают непосредственное участие.

Время жизни свободных радикалов обычно очень мало (порядка тысячных долей секунды) вследствие их высокой химической активности, приводящей к рекомбинации. Концентрация активных частиц — радикалов не может быть вычислена по законам статистического распределения, так как во время реакции значительно превышает равновесную. Однако в элементарных актах взаимодействия радикала с молекулой принимают участие не любые частицы, а энергетически активные. Энергия активации взаимодействия радикала с молекулой хотя и меньше энергии активации между молекулами, но не равна нулю. Поэтому скорость реакции в каждом из звеньев цепи связана с законами статистического распределения и может быть рассчитана по теории соударений. Реакция же в целом представляет собой сложный процесс образования и параллельного исчезновения радикалов, причем соотношение скоростей этих процессов может меняться в зависимости от условий: тип реакции, объем и форма сосуда, материал стенок, давление, температура, примеси и т. д.

§ 28. Атомы и радикалы

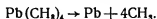
Как указывалось выше, цепные реакции идут при участии свободных атомов или радикалов. При изучении кинетики цепных реакций бывает необходимо знать их концентрации в процессе реакции. Атомы и радикалы являются как правило

чрезвычайно реакционноспособными частицами, легко рекомбинирующими в молекулы. Поэтому для получения атомов и радикалов, а также для измерения их концентраций, применяют специальные методы, позволяющие изучать эти высокоактивные, короткоживущие частицы.

Атомный водород можно получить в тлеющем разряде в водороде при давлениях 0,1—1 мм рт. ст. Рекомбинацию атомов водорода в молекулы можно замедлить, применяя низкое давление и плохо катализирующие стенки реактора. Так, при давлении 0,1 мм рт. ст. в стеклянном сосуде продолжительность жизни атомов водорода составляет около 1 сек. Можно получить атомный водород при помощи фотосенсибилизации — облучая кварцевой ртутной дугой водород, насыщенный парами ртути. Можно получить атомный водород фотохимическим разложением водородосодержащих молекул, например молекул йодистого водорода.

Атомы кислорода без примеси молекулярного кислорода получаются в высоковольтном разряде в парах воды, а также фотохимическим методом. Для получения атомов галогенов применяют фотохимическое разложение молекул, метод тлеющего разряда и метод реакции с парами натрия (см. § 27). Однако время жизни атомов галогенов значительно меньше, чем водорода и кислорода, составляя для атомов хлора время порядка 10^{-4} сек. Значительно шире набор методов получения свободных радикалов. Основные методы следующие.

1. Термическое разложение органических соединений, например разложение тетраметилсвинца при нагревании



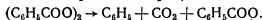
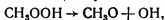
Аналогично возможно получение этильных и бензильных радикалов. Удобным источником радикалов являются йодиды, разлагающиеся при сравнительно невысоких температурах из-за малой прочности связи C—J



Радикалы образуются при распаде азосоединений, например CH_3 — при распаде азометана. CH_2 — при распаде диазометана:



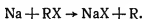
Особенно легко распадаются различные перекиси, например перекись водорода, бензоила, тетралина и т. д.



Перекиси нередко применяются как инициаторы образования радикалов при цепной полимеризации.

2. Фотохимическое разложение. При освещении паров H_2O_2 цинковой искрой образуется гидроксил, получающийся также при оптической диссоциации молекул воды, уксусной кислоты и др. При фотохимическом разложении алкилгалогенидов обнаруживаются радикалы CH_3 , CH_2Cl , CHCl_2 , при освещении паров JCN алюминиевой искрой образуется CN , при фотолизе паров $\text{Hg}(\text{CH}_3)_2$ радикал CH_3 , при облучении паров ацетона в области 2000 Å радикалы CH_3 и COCH_3 и т. д. Особенно эффективен метод флешфотолиза, в основе которого лежит получение мощного светового импульса за счет электрического разряда большой силы.

3. Метод диффузионных пламен. Сущность метода состоит в том, что в трубку, через которую при высоком разряде проходят галоидпроизводные различных углеводов, вводятся через сопло пары натрия, разбавленные инертным газом (азотом). У сопла поток атомов натрия встречается с потоком органических молекул и при диффузии паров натрия происходит реакция



Если освещать прибор сбоку светом натриевой резонансной лампы, то свет поглощается парами натрия, и на экране за прибором можно видеть тень натриевого пара (рис. 27). По размерам тени на экране можно определить скорость реакции образования радикалов. Таким путем можно получать радикалы CH_3 , C_2H_5 , C_6H_5 и др.

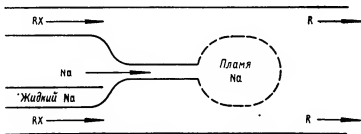
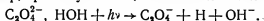


Рис. 27.

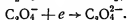
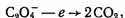
4. Реакции в электрическом разряде. При электрическом разряде в парах получают самые различные радикалы. Так, электрический разряд в парах воды дает H , O и OH . Недостатком этого метода является невозможность получения данного радикала без примеси других активных частиц. Поэтому для получения алифатических радикалов применяют вариант электроразрядного метода, по которому непосредственно в электрическом разряде получают атомы водорода и сразу же вводят их в реактор, содержащий олефины, где и образуется

алифатический радикал за счет присоединения атома водорода к молекуле олефина.

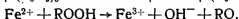
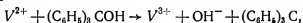
5. Фотоперенос электронов. В этом процессе первичное воздействие кванта света сводится к фотопереносу электронов, причем одна частица окисляется, другая восстанавливается, как, например, при облучении щавелевокислых солей



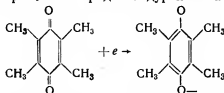
Анион C_2O_4^- представляет собой отрицательно заряженный ион-радикал, обладающий как окислительными, так и восстановительными свойствами:



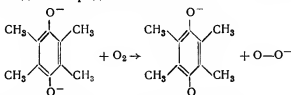
6. Окислительно-восстановительные процессы в растворах. Многие (но не все) окислительно-восстановительные процессы протекают через стадию одноэлектронного перехода. При наличии органических веществ и ионов переменной валентности это ведет к возникновению органических радикалов



Подобные окислительно-восстановительные процессы могут происходить на электродах при пропускании через раствор тока. Например, при анодном окислении сульфита образуются ион-радикалы SO_3^- , которые рекомбинируя образуют анион дитионовой кислоты $\text{S}_2\text{O}_6^{2-}$ или при катодном восстановлении duroхинона при $\text{pH} \geq 9$ ион-радикал duroхинона

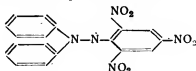


Взаимодействие молекулярного кислорода с дианионом duroхинона дает два ион-радикала



7. Радиационное (α , β , γ), рентгеновское излучение и ультразвуковые колебания также могут вызвать появление свободных радикалов.

Радикалы, полученные тем или иным путем, могут быть как относительно *стабильными* (трифенилметил, некоторые перекисные радикалы типа ROO, как пероксид изопропила, 2,2-дифенил-1-пикрилгидразил, существующий в виде радикала не только в растворах, но и в кристаллическом состоянии,



и другие), так и *лабильными* со временем жизни в тысячные доли секунды и меньше (метил, этил и т. п.). Увеличению времени жизни радикалов способствует глубокое охлаждение полученных радикалов (закалка), а также увеличение диаметра сосуда.

Для обнаружения радикалов и определения их концентрации применяют как прямые методы: спектроскопию, метод каталитической рекомбинации атомов на поверхности и другие, так и косвенные, при которых радикал или атом реагируют с образованием устойчивых молекул, концентрация которых и измеряется.

При спектроскопических измерениях используют как эмиссионную, так и абсорбционную спектроскопию в ультрафиолетовой, видимой и инфракрасной области. С помощью эмиссионного спектрального анализа в различных пламенах обнаружены радикалы CH, NH, OH, NO, PO, SO, BrO, CN, CS, CBr, C₂, S₂, HCO, NH₂, NO₂ и другие. Недостаток метода — невозможность количественных измерений. Абсорбционная спектроскопия позволяет определять радикалы не только качественно, но и количественно. По спектрам поглощения в пламенах при термической диссоциации, фотодиссоциации и диссоциации в электрическом разряде обнаружены радикалы BH, CH, NH, OH, PH, SH, CN, CF, CS, NO, ClO, HCO, CH₃O, C₂H₅O, C₆H₅, C₆H₅O, C₆H₅S и другие. Недостатком количественного абсорбционного спектрального анализа радикалов является его относительно малая чувствительность. При толщине поглощающего слоя 10 см предельная чувствительность составляет для гидроксила $6 \cdot 10^{-8}$, а CN — около $6 \cdot 10^{-10}$ г·моль/л, для других радикалов чувствительность снижается. Концентрация свободных радикалов в цепных реакциях обычно порядка 10^{-7} г·моля/л.

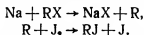
Более чувствительным количественным методом (до 10^{-12} г·моля/л) анализа радикалов является метод электронного парамагнитного резонанса. Наличие неспаренного электрона у радикалов вызывает, в отличие от молекул, появление у радикалов парамагнетизма. Для количественного анализа применяется также масс-спектрографический метод. Потенциалы ионизации радикалов ниже, чем потенциалы ионизации соответ-

ствующих молекул. Подвергая газ, поступающий в ионизационную камеру, бомбардировке электронами от накаливаемого катода и измеряя потенциалы появления ионов определенных масс, можно определять те или иные радикалы.

Концентрацию атомов водорода и некоторых других можно измерять методом каталитической рекомбинации. Метод основан на том, что каталитическая рекомбинация атомов на поверхности различных веществ специфична. Так, для атомов водорода катализатором служит $ZnO \cdot Cr_2O_3$. Покрывая этим слоем поверхность кварцевого капилляра с термопарой, можно, измерив разогрев поверхности за счет рекомбинации водорода, вычислить концентрацию его атомов. Температура поверхности может на несколько сотен градусов превышать температуру газа. Этим методом определено, что в пламени водорода с кислородом при давлениях несколько мм рт. ст. концентрация атомарного водорода составляет десятки процентов от всей концентрации его. Концентрация атомов в газе может быть определена также по изменению теплопроводности газа, по изменению давления и т. п.

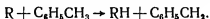
К косвенным методам измерения концентрации радикалов относятся следующие.

а) Йодный метод. В этом методе пары йода добавляют к реагирующей смеси паров натрия и алкилгалогенида. В смеси идет реакция



Измеряя концентрацию йодаalkила RJ, вычисляют концентрацию радикала. Аналогичный метод применим и к жидкой фазе, например при изучении свободных радикалов, образующихся в процессе полимеризации. Йод вводится в реагирующую смесь и титриметрически определяются продукты взаимодействия радикалов с йодом.

б) Толуольный метод Шварца. Этот метод основан на легкой подвижности атома водорода метильной группы толуола и малой активности бензильного радикала $C_6H_5CH_2$. В реагирующую смесь добавляется толуол, концентрация радикалов вычисляется по количеству дибензила, образующегося при реакции



в) Метод зеркал Панета. Свободные металлы легко реагируют с радикалами, образуя металлорганические соединения. Пропуская струю газа из реактора через трубку, покрытую зеркальным металлическим налетом, по скорости исчезновения зеркала можно судить о концентрации радикалов, а по анализу образовавшегося металлорганического соединения — о природе радикалов. Металлы реагируют с радикалами специфически,

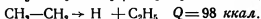
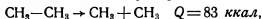
вследствие чего наличие или отсутствие взаимодействия позволяет судить о природе радикалов. Так, например, метиленовый радикал CH_2 реагирует с зеркалами Te , Sb , Se , As и не реагирует с Zn , Cd , Bi , Tl , Pb , тогда как метильный радикал CH_3 реагирует со всеми этими веществами. Атомы водорода реагируют с Ge , Sn , Sb , Te , углем, и не действует на Pb и Bi . При применении этого метода необходимо тщательное удаление следов кислорода, образующего окисную пленку, пассивирующую зеркало.

Концентрацию радикалов можно также определить применяя методы изотопного обмена, пара-орто-превращения водорода и другие.

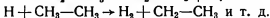
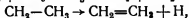
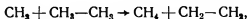
§ 29. Неразветвленные цепные реакции

Типичным примером неразветвленной цепной реакции является реакция образования хлористого водорода из хлора и водорода. В этой реакции, как и во всякой цепной реакции, самым трудным звеном является первичный процесс образования свободных радикалов — процесс инициирования цепи.

Простейший (но не самый легкий) путь зарождения радикалов — это распад молекулы на атомы или радикалы. Распад происходит бимолекулярно у простых молекул — за счет двойного соударения с любой другой молекулой и мономолекулярно — в случае сложных молекул. Распад быстрее всего осуществляется по слабейшей связи, например



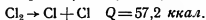
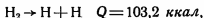
В данном случае первичный распад этана пойдет преимущественно с образованием метильных радикалов. Возникшие метильные радикалы, вступая в реакцию с этаном, образуют этильные радикалы, которые и осуществляют далее весь цепной процесс



Суммарная реакция выразится уравнением:

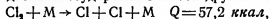


Если в реакции участвуют две молекулы, то скорость реакции зависит от энергии разрыва слабейшей связи в молекулах, например в реакции синтеза хлористого водорода.



Поэтому цепной процесс будет осуществляться за счет первичного образования свободных атомов хлора одним из трех возможных путей:

а) путем двойных соударений с любой другой молекулой



скорость этого процесса равна

$$v_0 = fb [\text{Cl}_2] [\text{M}] e^{-\frac{Q}{RT}}, \quad (74)$$

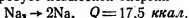
где $f \approx 1$ — стерический фактор,

$$b = 2r_{12}^2 \left(\frac{2\pi kT}{\mu} \right)^{1/2};$$

б) за счет поглощения энергии извне (электрический разряд, освещение и т. п.);

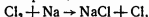
в) вследствие химической реакции с другим веществом, присутствующим в виде атомов или радикалов.

Так, например, процесс диссоциации молекул Na_2 на атомы в газовой фазе требует невысокой энергии



При 100°C пары натрия почти полностью диссоциируют на атомы. Поэтому примесь паров натрия к смеси хлора с водородом снижает температуру темновой реакции образования хлористого водорода до 100°C , тогда как в отсутствии паров натрия реакция идет при 300°C .

Каждый атом натрия способен вызвать образование до 1000 молекул хлористого водорода. Это значит, что пока атом хлора, образовавшийся в реакции



исчезнет за счет рекомбинации в молекулу, в реакции развития цепи произойдет около тысячи элементарных актов взаимодействия



Цепь будет состоять из тысячи звеньев. Количество звеньев в цепи, приводящих к образованию продуктов реакции и возникающих в результате появления одного первичного радикала, называется *длиной цепи*. Длина цепи есть отношение скорости цепной реакции к скорости процесса диссоциации исходного вещества на радикалы

$$\nu = \frac{v_n}{m n_0},$$

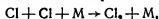
где m — число радикалов, образующихся при реакции иницирования цепи, n_0 — число ежесекундно возникающих первичных радикалов. Для рассматриваемой реакции

$$\nu = \frac{v_n}{2n_0}.$$

Если цепная реакция протекает в жидкости, то появляются некоторые особенности. Образующиеся в растворе радикалы в большинстве случаев с трудом могут разойтись из-за малого коэффициента диффузии; разойдясь же, с трудом рекомбинируют по той же причине. В жидкости скорости диссоциации на радикалы и рекомбинации меньше, чем в газовой фазе. Если, как это нередко бывает, свободные радикалы в состоянии вступать в цепную реакцию с молекулами растворителя, то свободная валентность передается «эстафетно», что приводит к увеличению скорости реакции.

В неразветвленных цепных реакциях каждый радикал, исчезающий в процессе развития цепи, образует один новый радикал. Каждый радикал, исчезающий в процессе рекомбинации, заменяется вновь образовавшимся первичным радикалом. Иными словами, число (концентрация) вновь образующихся радикалов в неразветвленных цепных реакциях должно быть постоянным и равным числу гибнущих в процессе рекомбинации n_0 . Если скорость гибели радикалов превышает скорость их зарождения, то цепная реакция при данных условиях не пойдет.

Длину цепи можно определить и как отношение скорости продолжения цепи (именно здесь образуются продукты реакции) к скорости обрыва цепи. Скорость обрыва цепи v_0 , связанного с рекомбинацией атомов хлора



равна

$$v_0 = k_3 [\text{Cl}]^2 [\text{M}],$$

где $[\text{M}]$ — число всех молекул в 1 см^3 , k_3 — константа скорости тройных соударений в единице объема.

Если в реакции участвуют не атомы, а радикалы, то их рекомбинация происходит при двойных соударениях, например

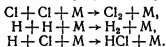


Скорость этого процесса равна

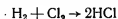
$$v_0 = f b e^{-\frac{e}{RT}} [\text{CH}_3]^2,$$

где e — энергия активации процесса рекомбинации радикалов, в подавляющем большинстве случаев равная нулю. Стерический фактор в процессах рекомбинации большей частью равен единице.

В реакции образования хлористого водорода исчезновение свободных атомов возможно в результате трех процессов:



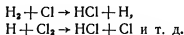
Разрыв молекулы хлора требует значительно меньшей энергии, чем молекул водорода и хлористого водорода. Первичные радикалы будут зарождаться преимущественно за счет диссоциации молекул хлора. Поэтому скорость первой реакции будет больше второй и третьей и $[Cl] \gg [H]$. Атомы хлора будут определять не только число зарождающихся цепей, но и число гибнущих цепей. Число вновь зарождающихся цепей равно числу гибнущих цепей в неразветвленных цепных процессах. Следовательно, в реакции



цепи практически будут зарождаться и гибнуть за счет возникновения или исчезновения атомов хлора.

Скорость рекомбинации растет с увеличением концентрации свободных радикалов, т. е. с увеличением скорости процесса иницирования n_0 . Чем больше скорость рекомбинации, тем короче цепь, следовательно, чем больше скорость иницирования, тем короче цепь. Длина цепи при комнатной температуре в различных реакциях может колебаться от 1 000 000 превращенных молекул на один первичный радикал (хлорирование олефинов) до нескольких десятков звеньев.

При длинных цепях число различных звеньев в цепи одноково. Процесс развития цепи при образовании хлористого водорода состоит в чередовании реакций образования атомов хлора и водорода



Скорость всей реакции будет

$$v = \frac{d[HCl]}{dt} = v_1 + v_2,$$

где v_1 и v_2 — скорости первого и второго процессов в реакции. При длинных цепях

$$v_1 = v_2.$$

Скорость каждого из отдельных процессов реакции развития цепи равна

$$\begin{aligned} v_1 &= fbe^{-\frac{e_1}{kT}} [H_2] [Cl], \\ v_2 &= fbe^{-\frac{e_2}{kT}} [H] [Cl_2], \end{aligned}$$

где e_1 и e_2 — энергии активации взаимодействия радикалов (атомов) с молекулами в реакции.

Чтобы найти энергию активации, необходимо экспериментально определить зависимость скорости реакции от температуры и измерить концентрации реагирующих веществ. Это

представляет очень большие трудности, так как концентрации свободных радикалов обычно очень малы, кроме того, они имеют высокую реакционную способность, а следовательно, малое время жизни. Величину концентрации свободных радикалов и скорость элементарных реакций вычисляют обычно по скоростям образования устойчивых промежуточных или конечных продуктов. Для простейших радикалов возможно все же и непосредственное определение их концентрации и скорости реакции (методы определения концентраций радикалов см. § 28).

Концентрацию свободных радикалов определяют спектроскопическими или другими методами, о скорости взаимодействия радикала с молекулой судят по уменьшению концентрации радикала. Так, например, при измерении скорости взаимодействия гидроксила с различными веществами создают постоянную концентрацию радикала в струе, подвергая пары воды высоковольтному разряду. К струе, содержащей радикалы, подмешивают вещества, молекулы которых реагируют с гидроксильным.

Концентрацию гидроксила и изменение этой концентрации за счет реакции определяют спектроскопически — методом линейчатого поглощения. Зная скорость реакции и концентрации реагирующих веществ, по формуле бимолекулярной реакции вычисляют константу скорости, которая с температурой и энергией активации связана выражением

$$k = be^{-\frac{E}{RT}}.$$

Для неразветвленных цепных реакций вид зависимости скорости реакции от концентраций и энергии активации по форме является таким же, как и в случае нецепных процессов. В общем виде формально-кинетическое уравнение для скорости может быть записано в форме

$$v = kc_1^n c_2^m \dots$$

Для неразветвленной цепной реакции, так же как и для нецепной, можно экспериментально определить порядок реакции по отношению к каждому реагирующему веществу, константу скорости и энергию активации. Отличие состоит в том, что константа скорости и энергия активации цепной реакции являются величинами сложными. Константа скорости включает числа двойных и при реакциях атомов тройных столкновений. Энергия активации цепной реакции складывается из энергии активации наиболее трудного звена в цепи и половины энергии разрыва слабейшей связи в реагирующих молекулах.

Покажем это на примере реакции образования хлористого водорода в процессе реакции образования хлористого водорода энергии активации ϵ_1 и ϵ_2 равны соответственно 6 и 2 ккал, поэтому равенство $v_1 = v_2$ можно записать следующим образом:

$$[H_2] [Cl] e^{-\frac{6000}{RT}} = [Cl_2] [H] e^{-\frac{2000}{RT}},$$

откуда

$$\frac{[Cl]}{[H]} = \frac{[Cl_2]}{[H_2]} e^{\frac{4000}{RT}}.$$

Если концентрации молекулярного хлора и водорода равны и $T \approx 600^\circ K$, то

$$\frac{[Cl]}{[H]} \approx 25 \quad \text{и} \quad [Cl] \gg [H].$$

С другой стороны, скорость реакции будет

$$v = v_1 + v_2 = 2v_1 = 2k_1 [Cl] [H_2],$$

где k_1 — константа скорости бимолекулярной реакции



В процессе развития цепи атомы хлора регенерируются и концентрация их за счет этой реакции не меняется.

Концентрация атомов зависит от скорости их возникновения в реакции инициирования при распаде молекул хлора на атомы. Эта скорость равна скорости гибели атомов хлора в процессе рекомбинации. При уменьшении концентрации молекул хлора соответственно уменьшается и концентрация образующихся из них атомов хлора, что приведет к уменьшению скорости рекомбинации.

Число ежесекундно гибнущих при рекомбинации (зарождающихся при инициировании) радикалов равно

$$n_0 = k_3 [M] [Cl]^2,$$

где k_3 — константа скорости реакции



Отсюда

$$[Cl] = \sqrt{\frac{n_0}{k_3 [M]}},$$

и скорость реакции

$$v = 2k_1 [H_2] [Cl] = 2k_1 [H_2] \sqrt{\frac{n_0}{k_3 [M]}}. \quad (75)$$

Согласно (74),

$$n_0 = v_0 = b [Cl_2] [M] e^{-\frac{Q}{RT}}, \quad (76)$$

если радикалы образуются за счет бинарных соударений с молекулами в процессе теплового движения. k_1 в уравнении (75) — константа скорости реакции радикала с молекулой. По теории бинарных соударений,

$$k_1 = f b e^{-\frac{e_1}{kT}}. \quad (77)$$

Если в реакции участвует простой радикал типа OH, то f порядка 0,1, если радикалы более сложные, то стерический фактор значительно меньше. На основании уравнений (76) и (77) скорость реакции можно записать в следующем виде:

$$v = 2f b e^{-\frac{E_1}{RT}} [H_2] \sqrt{\frac{b [Cl_2] e^{-\frac{Q}{RT}}}{k_3}} = \\ = \frac{2fb^{3/2}}{k_3^{1/2}} [H_2] [Cl_2]^{1/2} e^{-\frac{E_1 + \frac{1}{2}Q}{RT}}. \quad (78)$$

Из уравнения (78) следует, что энергия активации цепной реакции складывается из энергии активации наиболее трудного звена в цепи и энергии разрыва слабейшей связи в молекуле. Для реакции образования хлористого водорода

$$E_a = \frac{1}{2} Q + E_1 = \frac{57,2}{2} + 6 = 34,7 \text{ ккал.}$$

Хотя уравнение (78) выведено для частного случая неразветвленной цепной реакции, однако общие принципы, положенные в основу вывода, справедливы для любой неразветвленной цепной реакции. Поэтому вид уравнения (78) является достаточно общим для неразветвленных цепных процессов.

Анализ уравнения (78) показывает, что вид зависимости скорости реакции от концентраций и энергии активации по форме является таким же, как и в случае нецепных процессов. В общем виде формально-кинетическое уравнение для скорости может быть записано в форме

$$v = k c_1^{n_1} c_2^{n_2} \dots$$

В неразветвленной цепной реакции скорость зарождения радикалов равна скорости их гибели в процессе рекомбинации. В противном случае цепная реакция или прервется, не дойдя до конца, если скорость рекомбинации радикалов превысит скорость их зарождения, или же пойдет по разветвленному цепному механизму. При выводе уравнения (78) учитывалась только рекомбинация в объеме. Рекомбинация радикалов или атомов в молекулу может идти и на стенках сосуда. В этом случае скорость рекомбинации, а следовательно, и скорость цепной реакции будет зависеть от формы, размеров и материала сосуда, в котором идет реакция.

§ 30. Влияние материала и размеров сосуда на скорость цепной реакции

Скорость цепной реакции зависит от скорости исчезновения носителей свободных валентностей: атомов, радикалов. В объеме при рекомбинации в молекулы атомы исчезают в связи с наличием тройных соударений; радикалы гибнут при бинарных соударениях.

Найдем, чем определяется обрыв цепей на стенках сосуда. Предположим для простоты, что цепи в объеме не обрываются. По формуле Смолуховского, среднее число столкновений, которые испытывает частица при диффузии на расстоянии y , равно

$$n = \frac{3\pi y^2}{4\lambda^2}, \quad (79)$$

здесь n — среднее число столкновений, λ — длина свободного пути. Если активный центр при диффузии к стенке исчезнет

в результате реакции, то возникает другой активный центр (атом, радикал). Регенерация радикалов в процессе реакции образования конечных продуктов позволяет считать, что к стенке диффундирует один активный центр.

Пусть ширина плоского сосуда равна d (рис. 28). Если центр зародился на расстоянии x от нулевой плоскости, то расстояние диффузии его до стенки y равно

$$y = \frac{d}{2} - x.$$

На этом расстоянии, согласно уравнению (79), радикал или атом испытает в среднем n_y столкновений

$$n_y = \frac{3\pi \left(\frac{d}{2} - x\right)^2}{4\lambda^2}.$$

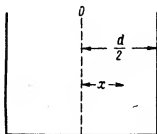


Рис. 28.

Активные центры зарождаются равномерно по всему объему. Поэтому среднее число столкновений равно

$$\bar{n}_y = \frac{\int_0^{\frac{d}{2}} n_y dy}{\frac{d}{2}} = \frac{3\pi}{4\lambda^2} \frac{d}{2} \int_0^{\frac{d}{2}} \left(\frac{d}{2} - x\right)^2 dx = \frac{\pi d^2}{16\lambda^2}.$$

Столкновение активного центра с молекулой может или привести, или не привести к химическому превращению.

Пусть для осуществления реакции в среднем нужно q столкновений радикала с молекулой. Тогда длина цепи будет равна

$$v = \frac{\bar{n}_y}{q} = \frac{\pi d^2}{16q\lambda^2}.$$

Экспериментальная скорость реакции

$$v = n_0 v.$$

Из двух последних уравнений следует

$$v = \frac{\pi n_0 d^2}{16q\lambda^2}.$$

Обозначим через λ_0 длину свободного пути при давлении, равном единице (например, в миллиметрах ртутного столба). Тогда

$$\lambda = \frac{\lambda_0}{p}, \quad v = \frac{\pi n_0 p^2 d^2}{16q\lambda^2}, \quad (80)$$

т. е. скорость реакции, рассчитанная на единицу объема, пропорциональна квадрату диаметра сосуда в случае, если самой медленной стадией рекомбинации является диффузия к стенке.

Из уравнения (80) следует, что скорость реакции прямо пропорциональна $(pd)^2$, скорость же рекомбинации, равная скорости зарождения первичных радикалов, т. е. величине n_0 при данной скорости реакции, обратно пропорциональна $(pd)^2$. Предположим теперь, что скорость рекомбинации лимитируется процессами, происходящими на самой стенке, — «вероятностью прилипания» частицы к стенке. Число ударов о стенку площадью s , отнесенное к 1 см^3 объема (см. приложение V), равно

$$n' = \frac{u_a [H] s}{4V},$$

где u_a — средняя арифметическая скорость движения активных центров, $[H]$ — их концентрация, V — объем сосуда.

Введем коэффициент μ — «вероятность прилипания» частицы к стенке. Тогда константа скорости рекомбинации будет равна

$$k_p' = \frac{\mu u_a s}{4V}.$$

Так как $\frac{s}{V}$ пропорционально d^{-1} , то скорость рекомбинации v_p' в цилиндрическом сосуде равна

$$v_p' = \frac{\mu u_a s p}{4V} = \frac{\mu u_a p}{d}.$$

Величина k_p' пропорциональна d^{-1} .

Коэффициент μ можно определить экспериментально из опытов с атомарным водородом, полученным в электрическом разряде. «Вероятность прилипания» к стенке зависит от материала сосуда. Для металла, угля или стекла, промытого раствором хлористого калия, μ близко к единице. Здесь определяющей стадией процесса рекомбинации будет диффузия к стенке. Скорость реакции рекомбинации равна скорости зарождения первичных активных центров, т. е. n_0 .

Для стекла μ очень мало, сильно меняется с температурой и зависит от предварительной обработки поверхности стекла. Константа скорости рекомбинации, согласно (80), равна

$$k_p^* = \frac{a_2}{pd^2}, \quad (81)$$

где a_2 — коэффициент пропорциональности. Если определяющей стадией процесса рекомбинации является диффузия к стенке ($\mu = 1$), то скорость и константа скорости почти не зависят от температуры, но константа скорости рекомбинации падает с увеличением давления и диаметра сосуда. Для стеклянных стенок «вероятность прилипания» очень малая величина.

При фиксации радикала или атома требуется энергия активации. Например, захват атомов водорода стеклянной стенкой при $T = 450-500^\circ$ требует энергии активации порядка 8—9 ккал. В этом случае константа скорости рекомбинации k'_p , обратно пропорциональная диаметру сосуда, будет меняться в зависимости от температуры по экспоненциальному закону, так как

k'_p растет с температурой пропорционально $e^{-\frac{E_\phi}{RT}}$, где E_ϕ — энергия активации при захвате атома или радикала стенкой. Если определяющей стадией рекомбинации является захват атома стенкой, то

$$k'_p = \frac{a_1 e^{-\frac{E_\phi}{RT}}}{d}, \quad (82)$$

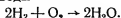
где a_1 — коэффициент пропорциональности. Следует учесть, что поверхность не только обрывает цепи, но и может инициировать их, способствуя диссоциации молекул на атомы.

Скорость рекомбинации зависит от химической природы материала и состояния поверхности. Скорость рекомбинации убывает в ряду Pt, Pd, W, Fe, Cr, Ag, Cu, Pb, причем энергия активации этого процесса на платине составляет около 3 ккал. Если кварцевое стекло покрыть мономолекулярной пленкой воды, то это затрудняет процесс рекомбинации атомов водорода или кислорода.

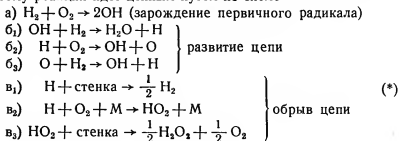
Рекомбинация в объеме подчиняется законам гомогенной кинетики и происходит при бинарных (радикалы) или тройных (атомы) соударениях.

§ 31. Разветвленные цепные реакции

Примером разветвленной цепной реакции может служить реакция образования воды



Реакция между двумя молекулами водорода и молекулой кислорода непосредственно идти не может. Для осуществления ее требуется тройное соударение и разрыв трех прочных связей. Поэтому реакция идет цепным путем по схеме



(*)

В разветвленных цепных реакциях скорость реакции возрастает во времени, затем сразу же или постепенно уменьшается (рис. 29, где по оси ординат отложена скорость реакции, по оси абсцисс — время).

Для разветвленных цепных реакций характерно наличие периода индукции, т. е. периода времени t' (кривая 2), в течение которого реакция практически не идет. На самом деле в течение периода индукции скорость реакции не равна нулю, но так мала, что практически продукты реакции не обнаруживаются. В этот период происходит процесс накопления промежуточных продуктов: радикалов, атомов. Естественно, что

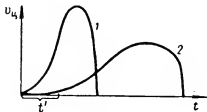


Рис. 29.

период индукции не есть строго определенная величина, а зависит от чувствительности методов измерения скорости; он может быть очень мал (кривая 1), как, например, для реакции окисления водорода.

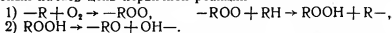
В цепях с разветвлениями скорость реакции не зависит от скорости инициирования — достаточно одного

радикала, чтобы реакция началась. Такие реакции зависят не от скорости инициирования, а от давления, материала, формы и размера сосуда. Разветвление, как правило, идет быстро, поэтому разветвленные цепные реакции или протекают с большой скоростью или при данных условиях не идут.

Могут быть случаи, однако, когда период индукции велик, доходит до нескольких часов и даже суток, как, например, при окислении углеводородов (рис. 29, кривая 2). Это наблюдается в цепных процессах с вырожденными разветвлениями. Цепи с вырожденными разветвлениями представляют собой медленно текущие цепные процессы, автоускоряющиеся во времени. Период индукции у таких реакций значительно больше, чем время протекания реакции с экспериментально наблюдаемой скоростью. Скорость реакции зависит от скорости процесса разветвления цепи.

В цепях с вырожденными разветвлениями в результате первичной реакции образуется не конечный, а сравнительно устойчивый промежуточный продукт, медленно реагирующий независимым путем. Разветвление в этом случае осуществляется за счет такой реакции промежуточного молекулярного продукта, при которой из него образуется два новых радикала. Молекулярное промежуточное соединение реагирует медленно, поэтому и скорость реакции относительно невелика. Разветвление происходит спустя значительное время после того, как цепь, породившая первичный продукт, развилась и оборвалась.

Например, в реакциях окисления углеводородов образуются промежуточные соединения — перекиси. В перекиси связь слаба и распад молекулы перекиси приводит к появлению двух радикалов, что эквивалентно образованию активных центров, способных начать цепь первичной реакции



Таким образом, промежуточный продукт — перекись — катализирует цепную реакцию окисления тем же путем, что и инициирование. Цепные процессы с вырожденными разветвлениями вышние отличаются от автокаталитических нецепных реакций тем, что цепи с разветвлениями имеют нижний предел реакции по давлению. У автокаталитических реакций пределов по давлению нет. Объяснение явлению пределов дано ниже.

Найдем, от чего зависит скорость реакции при наличии периода индукции, связанного с разветвленными цепями. Период индукции может наблюдаться и в любой цепной реакции при малом количестве примесей, обрывающих цепь. В этом случае он определяется временем, необходимым для израсходования примеси. После того как вещество, которое обрывает цепь, израсходовано, реакция начинает идти со скоростью, нарастающей по мере накопления промежуточных форм: атомов, радикалов. Естественно, что период индукции, вызванный наличием примесей, не может быть теоретически учтен, тогда как в случае разветвляющихся цепных реакций скорость реакции нарастает по экспоненциальному закону.

Обозначим через δ вероятность разветвления цепи на данном ее звене, β — вероятность гибели активного центра, исключаяющей возможность дальнейшего создания в реакции нового активного центра, и $\Delta\tau$ — время между двумя последующими реакциями в цепи, т. е. время жизни одного звена. Тогда число разветвлений f в единицу времени в единице объема за счет одного активного центра (вероятность разветвления цепи в единицу времени) равно

$$f = \frac{\delta}{\Delta\tau}.$$

Если n — концентрация активных центров, то fn — число разветвлений в единицу времени в единице объема. Пусть g — число погибающих (неосуществляемых) цепей в единицу времени в единице объема за счет одного активного центра

$$g = \frac{\beta}{\Delta\tau}.$$

Тогда gn — число цепей, гибнущих в единице объема в единицу времени.

Число активных центров, не связанных с разветвлением, т. е. число первичных радикалов, появляющихся в единицу времени,

обозначим через n_0 . Увеличение числа активных центров в единицу времени равно

$$\frac{dn}{dt} = n_0 + (f - g)n.$$

Проинтегрируем это выражение, считая f и g постоянными. При $t = 0$ и $n = 0$ постоянная интегрирования равна $\frac{1}{f-g} \ln n_0$, следовательно,

$$n = \frac{n_0}{f-g} (e^{(f-g)t} - 1).$$

Из этого количества активных центров $\frac{n}{\Delta\tau}$ прореагируют, остальные погибнут.

Концентрация активных центров n меняется во времени. Скорость реакции, т. е. изменение концентрации реагирующего вещества в единицу времени, будет определяться количеством частиц, способных к продолжению реакции в момент времени t .

В единицу времени реагирует $\frac{n}{\Delta\tau}$ активных центров, следовательно, уравнение скорости реакции будет иметь вид

$$v = \frac{n}{\Delta\tau} = \frac{n_0}{\left(\frac{\delta}{\Delta\tau} + \frac{\beta}{\Delta\tau}\right) \Delta\tau} \left(e^{\frac{\delta-\beta}{\Delta\tau} t} - 1\right) = \frac{n_0}{\delta - \beta} (e^{\varphi t} - 1),$$

где $\varphi = \frac{\delta - \beta}{\Delta\tau}$, т. е. разность между скоростью разветвления и обрыва зависит от вероятности разветвления δ и гибели цепи β . Если бы δ и β были постоянными на всем протяжении реакции, то скорость возрастала бы по экспоненциальному закону до бесконечности. В действительности приблизительное постоянство величин δ , β и φ сохраняется только в начальном периоде реакции. В процессе реакции возрастает концентрация радикалов, в связи с чем увеличивается вероятность гибели цепей β и уменьшается вероятность разветвления δ . В начале реакции $\delta > \beta$ (в противном случае цепь вообще не разовьется). К концу реакции $\beta = \delta$. Зависимость величин δ от концентрации исходных веществ и β от концентрации радикалов приводит к экстремальному изменению скорости реакции во времени, как это представлено на рис. 29.

В связи с разветвленными цепными процессами во взрывных реакциях существуют пределы по давлению. Известно, что окисление и воспламенение возможны лишь в том случае, когда давление не выходит за границы минимального и максимального. Например, свечение фосфора, вызванное его окислением, прекращается, если воздух заменить кислородом при давлении 1 атм, но возобновляется, если давление упадет до 0,5—0,4 атм. Смеси $\text{PH}_3 + \text{O}_2$ и $\text{SiH}_4 + \text{O}_2$, стойкие при атмосферном давлении, взрывают при пониженном давлении. С другой

стороны, при падении давления кислорода ниже, чем 10^{-3} мм рт. ст., окисление паров фосфора прекращается.

Наличие нижнего предела воспламенения (взрыва) объясняется тем, что при низких давлениях скорость рекомбинации радикалов на стенках больше, чем скорость разветвления цепи. Цепи не могут развиваться до тех пор, пока скорость разветвления за счет столкновений в объеме не станет больше скорости обрыва цепи на стенках. Нижний предел воспламенения мало зависит от температуры, но сильно зависит от состава реакционной смеси, материала и диаметра сосуда. Нижний предел по давлению есть функция диаметра сосуда. Величина нижнего предела воспламенения убывает пропорционально квадрату диаметра. Примесь инертных газов понижает величину нижнего предела, способствуя развитию цепи.

При давлениях ниже предельного скорость реакции практически равна нулю; при давлениях, немного превышающих предельное, скорость реакции резко возрастает. Это связано с тем, что по достижении предельного давления число цепей, а следовательно, и скорость реакции увеличиваются по закону $e^{kf} - 1$ вследствие того, что f становится больше нуля и продолжает возрастать. Дальнейшее увеличение давления приводит к повышению вероятности обрыва цепей в объеме. При некотором предельном давлении скорость обрыва в объеме становится больше скорости развития цепей, и реакция прекращается.

Верхний предел мало зависит от формы сосуда и материала стенок, но сильно зависит от температуры и наличия примесей. Примеси инертных газов увеличивают вероятность обрыва цепей за счет тройных соударений, что приводит к понижению верхнего предела. Для смеси $H_2 + O_2$ при $550^\circ C$ значение нижнего предела 2—3, верхнего 100 мм рт. ст. С ростом тем-

пературы верхний предел растет по закону $e^{-\frac{E}{RT}}$. Для смеси водорода с кислородом $E = 18$ ккал.

На рис. 30 показана зависимость между температурой и давлением для смесей постоянного состава. При температурах ниже T_0 реакция не идет при любых давлениях. Слева от кривой mn скорость обрыва цепей превышает скорость разветвления. На кривой mn скорость гибели цепей равна скорости разветвления. При более высоких температурах скорость реакции ничтожно мала или равна нулю слева от кривой mn и очень велика справа от нее (заштриховано). В заштрихованной области давлений и температур (область воспламенения и взрыва) скорость разветвления цепей значительно больше скорости их гибели.

Следовательно, для предельных давлений можно применить уравнение стационарности процесса. Звенья, определяющие обрыв или рост цепи, зависят от механизма цепной реакции.

Так, например, в реакции окисления водорода (*) (см. стр. 151) развитие цепи осуществляется за счет звеньев b_2 и b_3 , гибель цепей происходит в реакциях v_1 (обрыв на стенке) и v_2 (обрыв в объеме).

При стационарном состоянии скорости развития и обрыва цепей равны. Скорость развития цепи равна $v_1 = 2k_1 [O_2] [H]$, так как число звеньев b_2 и b_3 одинаково. Скорости обрыва на стенках v_2 и в объеме v_3 будут

$$v_2 = k_2 [H],$$

$$v_3 = k_3 [O_2] [M] [H],$$

где k_1 , k_2 и k_3 — константы скоростей.

На линии mn

$$v_1 - v_2 - v_3 = 0$$

или

$$2k_1 [O_2] [H] - k_2 [H] - k_3 [O_2] [M] [H] = 0$$

и

$$2k_1 [O_2] - k_2 - k_3 [O_2] [M] = 0.$$

Согласно уравнениям (81) и (82),

$$k_2 = \frac{a_2}{p d^2},$$

если определяющей стадией обрыва является диффузия к стенке, или

$$k_2 = \frac{a_1 e^{-\frac{E_\phi}{RT}}}{d},$$

если определяющей стадией рекомбинации является фиксация атома или радикала на стенке сосуда.

Скорость обрыва цепей в объеме будет иметь вид

$$k_3 [O_2] [M] = B p^2,$$

где B — постоянная, p — давление. Скорость зарождения цепи в соответствии с уравнением (77) равна

$$2k_1 [O_2] = A p e^{-\frac{E_1}{RT}}.$$

Здесь A — постоянная, E_1 — энергия активации взаимодействия атомного водорода с молекулярным кислородом. В соответствии с этим уравнение для предельных давлений при постоянном составе смеси может быть записано следующим образом:

$$Ape^{-\frac{E_2}{RT}} - Bp^2 - \frac{a_2}{pd^2} = 0 \quad (83)$$

или

$$Ape^{-\frac{E_2}{RT}} - Bp^2 - \frac{a_1 e^{-\frac{E_\phi}{RT}}}{d} = 0 \quad (84)$$

для нижнего и верхнего пределов соответственно. Коэффициенты A , B , a_1 и a_2 могут быть определены экспериментально, частично могут быть вычислены теоретически.

Разность между скоростями обрыва и разветвления ϕ на линии m равна нулю. При постоянной температуре (например, T' , рис. 30) ϕ мала у верхнего и нижнего пределов и достигает максимума в середине заштрихованного участка, где давление достаточно велико, чтобы заметно сказывался обрыв на стенках сосуда, но еще достаточно мало для тройных соударений. Период индукции велик у пределов и достигает минимума между ними.

При изменении состава смеси значения пределов меняются. Так, взрыв смеси водорода с кислородом наблюдается лишь тогда, когда кислорода в смеси не меньше 8,5 и не больше 92%. При иных соотношениях реагирующих веществ взрыва не происходит.

Для разветвленных цепных реакций экспериментально измеряемая («кажущаяся») энергия активации, вычисленная по формуле Аррениуса

$$v_a = ze^{-\frac{E}{RT}},$$

будет расти с повышением температуры. Изменение «кажущейся» энергии активации с температурой — один из признаков разветвленных цепных реакций. Скорость реакции также растет с ростом температуры, и при $T = T_{кр}$ (критической температуре взрыва) наступает взрыв.

Уравнения (83) и (84) позволяют количественно оценить зависимость пределов воспламенения от разнообразных факторов: температуры, присутствия инертных газов, характера стенок сосуда, размеров сосуда, состава исходной смеси и т. п. Таким образом, теория цепных реакций позволяет количественно изучать кинетику этих сложных процессов.

ЛИТЕРАТУРА

- Н. Н. Семенов. Цепные реакции. Л., Госхимиздат, 1934.
 Н. Н. Семенов. О некоторых проблемах химической кинетики и реакционной способности. М., Изд-во АН СССР, 1958.
 В. Н. Коидратьев. Кинетика химических газовых реакций. М., Изд-во АН СССР, 1958.
 В. Н. Коидратьев. Спектроскопическое изучение химических газовых реакций. М.—Л., Изд-во АН СССР, 1944.

Н. М. Эмануэль. Промежуточные продукты сложных газовых реакций. М.—Л., Изд-во АН СССР, 1946.

Г. М. Паичеиков, В. П. Лебедев. Химическая кинетика и катализ. Изд-во МГУ, 1961.

А. Н. Теренин. Фотохимия красителей. М.—Л., Изд-во АН СССР, 1947.

А. Б. Набалдяи, В. В. Воеводский. Механизм окисления и горения водорода. М.—Л., Изд-во АН СССР, 1949.

Х. С. Багдасарьян. Теория радикальной полимеризации. М., Изд-во АН СССР, 1959.

Ч. Уоллинг. Свободные радикалы в растворе. М., ИЛ, 1960.

Д. Инграм. Электронный парамагнитный резонанс в свободных радикалах. М., ИЛ, 1961.

Цепные реакции окисления углеводов в газовой фазе. М., Изд-во АН СССР, 1950.

Кинетика цепных реакций окисления. М.—Л., Изд-во АН СССР, 1950.

Вопросы химической кинетики, катализа и реакционной способности. М., Изд-во АН СССР, 1955.

К. И. Иванов. Промежуточные продукты и промежуточные реакции автоокисления углеводов. М.—Л., Гостоптехиздат, 1949.

С. Бемфорд, У. Барб, А. Джекинс, П. О'нои. Кинетика радикальной полимеризации виниловых соединений. М., ИЛ, 1961.

Л. Н. Хитрин. Физика горения и взрыва. Изд-во МГУ, 1957.

Т. И. Темникова. Курс теоретических основ органической химии. Л., Госхимиздат, 1959.

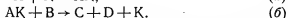
Часть II
КАТАЛИЗ

ВВЕДЕНИЕ

Катализом называется явление увеличения скорости или возбуждения реакции, происходящее под действием некоторых веществ. Эти вещества, называемые катализаторами, принимают участие в реакции, оставаясь к концу ее химически неизменными. Встречаются вещества, уменьшающие скорость реакции. Такие вещества называются ингибиторами или отрицательными катализаторами. Поскольку механизм действия ускорителей реакции — катализаторов и замедлителей — ингибиторов различен, термин «отрицательные катализаторы» неудачен и теории катализа и ингибирующего действия следует рассматривать отдельно. При катализе катализатор и реагирующее вещество образуют промежуточное соединение, которое реагирует с другим исходным веществом реакции, давая продукты реакции и катализатор.

Промежуточное соединение в катализе это не обычное устойчивое химическое соединение, которое может быть выделено в чистом виде или может существовать в виде отдельной фазы. Промежуточные соединения в катализе это: а) очень нестойкие соединения в гомогенном катализе, соединения с малым временем жизни, не существующие вне раствора и образующиеся только в процессе катализа; б) поверхностные соединения в гетерогенном катализе, соединения не существующие в виде отдельной фазы, свойства которых резко отличаются от свойств аналогичных соединений, образующих объемную фазу; в) неустойчивые соединения различных групп высокомолекулярного коллоидального катализатора с реагирующим веществом — в ферментативном катализе.

Схематически это можно представить так:



Здесь А и В — исходные реагирующие вещества, С и D — продукты реакции, К — катализатор.

Реакции (а) и (б) идут во много раз быстрее, чем процесс непосредственного взаимодействия исходных веществ без катализатора, т. е. реакция



поэтому реакция в присутствии катализатора ускоряется и тем в большей степени, чем быстрее протекают реакции (а) и (б), т. е. чем меньше время жизни промежуточного соединения АК. Если катализатор достаточно активен, т. е. реакции (а) и (б) протекают значительно быстрее, чем некаталитический процесс, то требуется незначительное количество катализатора. Так, одна частица коллоидной платины в секунду может разложить 100 000 молекул H_2O_2 , а одна частица фермента каталазы 300 000 молекул H_2O_2 .

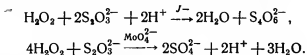
Существование промежуточных соединений иногда может быть обнаружено непосредственно, например спектроскопическим методом, но нередко о существовании промежуточного соединения можно судить только по косвенным признакам, как, например, при гидролизе сахарозы в кислых растворах, где катализатором служат ионы водорода.

Различные катализаторы могут ускорять или одну реакцию, или группу реакций, или же реакции различного класса. В соответствии с этим катализаторы могут обладать и д и в и д у а л ь н о й специфичностью (абсолютной специфичностью), групповой специфичностью или являться универсальными. Высокая избирательность (селективность) наблюдается у ферментов. Так, *l*-аргиназа действует только на *l*-аргинин, но не на *d*-аргинин, лактодегидраза мышц дегидрирует только *l*-, но не *d*-молочную кислоту и т. д.

Для глубокого окисления органических соединений применимы все благородные металлы, но окись этилена из этилена и кислорода может быть получена только на серебряном катализаторе. С другой стороны, металлический никель катализирует реакции гидрирования, но не окисления, тогда как пятиокись ванадия хороший катализатор реакций окисления, но не реакций гидрирования. Эти катализаторы обладают групповой специфичностью. Примером универсальных катализаторов могут служить платина, катализирующая разнообразные реакции, в том числе гидрирования и окисления, и ионы водорода, катализирующие реакции гидролиза, изомеризации, алкилирования, гидратации олефинов и т. д.

Особое значение избирательность катализатора имеет при возможности протекания параллельных реакций. Применяя различные катализаторы, можно из одних и тех же исходных веществ получать различные продукты реакции. Так, например, перекись водорода окисляет тиосульфат в присутствии ионов

йода (катализатор) в тетратионат, в присутствии же молибденовой кислоты (катализатор) образуется сульфат:



При разложении муравьиной кислоты на окиси цинка образуются водород и углекислый газ, на окиси титана—вода и окись углерода. Из этанола, применяя различные катализаторы, можно получить или бутанол, или этилацетат, или ацетон, или дивинил и т. д. Ниже в табл. 13 приведена схема некоторых каталитических превращений этанола в присутствии различных катализаторов и синтезов из водяного газа.

Таблица 13

Исходное вещество	Катализатор	Температура, °C	Продукт реакции
$\text{C}_2\text{H}_5\text{OH}$	Cu	200—250	$\text{CH}_3\text{CHO} + \text{H}_2$
"	Al_2O_3	350—360	$\text{C}_2\text{H}_4 + \text{H}_2\text{O}$
"	Al_2O_3	250	$(\text{C}_2\text{H}_5)_2\text{O} + \text{H}_2\text{O}$
"	$\text{ZnO} \cdot \text{Cr}_2\text{O}_3$	400—450	$\text{CH}_2=\text{CH}-\text{CH}=\text{CH}_2 +$ $+ \text{H}_2 + 2\text{H}_2\text{O}$ $\text{C}_4\text{H}_9\text{OH} + \text{H}_2\text{O}$
$\text{CO} + \text{H}_2$	Na		CH_4
"	Ni (1 атм)		Синтин
"	Ni (10—20 атм)		

Как видно из табл. 13, не только применение различных катализаторов позволяет получать различные продукты реакции. К тому же может привести и изменение условий реакции (температуры, давления) при проведении ее с одним и тем же катализатором. Ускоряющее реакцию действие катализатора может быть вызвано снижением энергии активации. В среднем можно принять энергию активации некаталитических реакций равной 30—45 ккал, гетерогенно-каталитических 16—30 ккал и ферментативных 8—12 ккал.

На рис. 31 показан энергетический барьер реакции без катализатора (кривая 1) и с катализатором (кривая 2). E — энергия активации реакции без катализатора, E_1 и E_2 — энергии активации при образовании промежуточного соединения и при его разложении в реакциях (а) и (б), соответственно. Из рис. 31 видно, что $E_1 + E_2 < E$ вследствие того что энергия активации одной стадии E замещается меньшими энергиями E_1 и E_2 двух последовательных стадий скорость реакции возрастает. Например, если $E_1 = E_2 = \frac{1}{2}E$, то константы скорости обеих стадий будут одинаковы и равны

$$k_1 = k_2 = Ae^{-\frac{E}{2RT}}$$

Константа скорости без катализатора

$$k = Ae^{-\frac{E}{RT}}$$

Если энтропия активации существенно не меняется, то

$$A \approx A_1$$

и увеличение константы скорости реакции равно

$$\frac{k_1}{k} = e^{\frac{E}{2RT}}$$

Таким образом, если даже $E_1 + E_2 > E$, но $E_1, E_2 < E$, то и в этом случае скорость реакции возрастет. Однако катализаторы могут не только уменьшать энергию активации, но и увеличивать энтропию активации, что также ведет к увеличению скорости реакции.

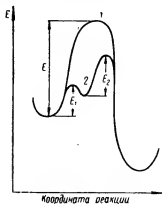


Рис. 31.

В зависимости от характера образующихся промежуточных соединений катализ по механизму действия можно разделить на три вида, отличающихся своими специфическими особенностями, а именно: 1) гомогенный катализ, 2) гетерогенный катализ, 3) ферментативный катализ. Кроме того, некоторыми специфическими особенностями обладают микрогетерогенный катализ (катализ коллоидными частицами) и фотокатализ. Различие между перечисленными выше видами катали-

за связано с отличием в химических свойствах промежуточных соединений, что в свою очередь приводит к появлению специфических закономерностей для каждого вида катализа. Промежуточные соединения в катализе могут образовывать:

1) молекулы или ионы в гомогенной системе, например в растворе или в газе — обычные, но чрезвычайно лабильные соединения;

2) атомы поверхности с молекулами реагирующего вещества — поверхностные соединения;

3) молекулы реагирующего вещества с отдельными атомами, находящимися на поверхности катализатора и не входящими в его кристаллическую решетку, — «аморфные» поверхностные соединения;

4) молекулы реагирующего вещества с атомами или радикалами, входящими в состав высокомолекулярного соединения, — промежуточные соединения в ферментативном катализе.

Химия промежуточных соединений в катализе отличается от обычной химии и еще только начинает разрабатываться. Так, например, фазовые окислы платины или палладия неустойчивы при высоких температурах, тогда как поверхностные устойчивы. Поверхностные окислы, гидриды, нитриды ряда металлов отличаются от объемных своими термодинамическими свойствами.

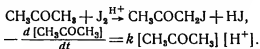
В настоящее время не существует единой теории катализа, позволяющей объяснять те или иные специфические особенности различных видов катализа. Создание единой теории катализа требует установления единой теории образования промежуточных соединений. Законы же образования промежуточных соединений в гомогенном, гетерогенном и ферментативном катализе различны. Поэтому в настоящее время предложены различные теории для различных видов катализа. Основные теории рассматриваются ниже в главах, посвященных различным видам катализа.

ГЛАВА VI

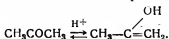
ГОМОГЕННЫЙ КАТАЛИЗ

§ 32. Формальная кинетика гомогенного катализа

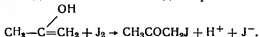
Методы составления кинетических уравнений гомогенных каталитических реакций в принципе не отличаются от некаталитических реакций. Первоначально определяется порядок реакции по каждому из реагирующих веществ, как это было описано в § 1, после чего составляется дифференциальное кинетическое уравнение и интегрируется. Однако в отличие от некаталитических реакций в кинетические уравнения каталитических реакций могут входить концентрации не всех реагирующих веществ. Так, например, скорость реакции между ацетоном и йодом не зависит от концентрации йода, но зависит от концентрации ацетона и ионов водорода (катализатор)



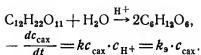
Объясняется это тем, что медленной стадией, определяющей скорость всей реакции в целом, является энолизация кетона, протекающая под влиянием ионов водорода



Процесс энолизации связан с присоединением к молекуле ацетона иона водорода с последующим отщеплением иона водорода от энола. Взаимодействие энола с йодом протекает быстро.



Аналогично с бромом и йодом реагируют альдегиды, хотя в таких реакциях параллельно возможны процессы окисления. Во всех гомогенных каталитических реакциях скорость реакции пропорциональна концентрации катализатора. Например, в псевдомономолекулярной реакции гидролиза сахарозы

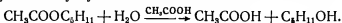


При изменении начальной концентрации катализатора (кислоты) и сахарозы экспериментально измеряемая константа скорости этой реакции k_3 будет меняться по эмпирическому уравнению*

$$k_3 = \frac{v}{c_{\text{сах}}} = \frac{c_{\text{HCl}}}{c_{\text{H}_2\text{O}}} \cdot 0,182 \cdot 10^{0,2c_{\text{HCl}}}.$$

Такая сложная зависимость константы скорости реакции от концентрации реагирующих веществ может быть объяснена, если предположить, что самой медленной определяющей стадией является присоединение протона к молекуле сахарозы, гидратация же образующегося соединения, его распад и диссоциация иона оксония протекают быстро.

В каталитических реакциях катализатор может образовываться в процессе самой реакции. Такие реакции называются автокаталитическими и могут быть различных порядков. Так, при гидролизе третичного амилацетата катализатором является образующаяся уксусная кислота



Кинетическое уравнение этой реакции — уравнение автокаталитической реакции II порядка

$$\frac{dx}{dt} = k(x + x_0)(1 - x).$$

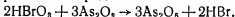
Здесь x — относительное количество разложившегося амилацетата, x_0 — относительная начальная концентрация уксусной кислоты. Интегрирование этого уравнения дает

$$kt = \frac{1}{1 + x_0} \ln \frac{x + x_0}{(1 - x)x_0}, \quad (85)$$

так как при $t = 0$, $x = 0$ и постоянная интегрирования

$$\text{const} = \frac{1}{1 + x_0} \ln x_0.$$

Реакция между HBrO_3 и As_2O_3 подчиняется уравнению автокаталитической реакции I порядка



Здесь медленной является стадия взаимодействия между бромноватой и бромистоводородной кислотами, что и определяет скорость всей реакции в целом. Скорость реакции равна:

$$\frac{dx}{dt} = kx(1 - x), \quad \ln \frac{x}{1 - x} = kt + \text{const}.$$

* М. С. Захарьевский, К. М. Василенко. ЖОХ, 26, 2304, 1956.

Определить постоянную интегрирования для автокаталитической реакции I порядка по начальным условиям нельзя, так как при $t=0$ и $x=0$ $\text{const} = -\infty$. Физически это означает, что начало автокаталитической реакции I порядка лежит в бесконечности. В действительности, реакция начинается с момента смешения реагирующих веществ. Постоянную интегрирования автокаталитической реакции можно определить по времени полупревращения, положив $t=\tau_{0,5}$ при $x=\frac{1}{2}$. Тогда

$$\begin{aligned}\text{const} &= -k\tau, \\ \ln \frac{x}{1-x} &= k(t-\tau).\end{aligned}\quad (86)$$

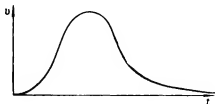


Рис. 32.

Из уравнений (85) и (86) следует, что скорость автокаталитической реакции проходит через максимум, причем для реакции I порядка время достижения максимальной скорости $t_{\max}=\tau$, для реакции II порядка

$$t_{\max} = \frac{1}{k(1+x_0)} \ln \frac{1}{x_0}$$

зависит от начальной концентрации катализатора и лежит в пределах

$$0 < t_{\max} < \tau.$$

На рис. 32 показано изменение скорости автокаталитической реакции во времени. По оси ординат отложена скорость реакции, по оси абсцисс время.

§ 33. Теория гомогенного катализа

Количественная теория гомогенного катализа была разработана Е. И. Шпитальским и Н. И. Кобозевым (1926—1941 гг.). Теория Кобозева — Шпитальского исходит из следующих положений:

- 1) катализ осуществляется путем образования лабильного промежуточного соединения реагирующих веществ с катализатором;
- 2) образование промежуточного соединения есть обратимый, протекающий с большой скоростью процесс;

3) разложение промежуточного соединения с регенерацией катализатора есть относительно медленный процесс, определяющий скорость всей реакции в целом;

4) промежуточное соединение может образовываться как при участии нескольких веществ, так и при одновременном участии нескольких присутствующих катализаторов, в том числе ионов водорода и гидроксидов.

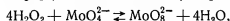
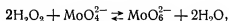
5) при одновременном параллельном действии нескольких катализаторов или при параллельном образовании нескольких промежуточных соединений за счет одного катализатора общая скорость реакции равна сумме скоростей разложения отдельных промежуточных соединений.

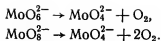
Теория Кобозева—Шпитальского была экспериментально подтверждена при изучении каталитического разложения перекиси водорода. При этом был выделен ряд быстро образующихся промежуточных соединений, скорость разложения которых и определяла скорость всей реакции, а также было установлено наличие пассивных промежуточных соединений, скорость образования которых оказалась значительно меньше и зависела от концентрации перекиси водорода. В табл. 14 приведены промежуточные активные и неактивные формы, образующиеся в процессе разложения H_2O_2 .

Таблица 14

Катализатор	Промежуточный продукт	
	Активная форма	Неактивная форма
MoO_4^{2-}	MoO_8^{2-}	MoO_5^{2-}
.	MoO_6^{2-}	
WO_4^{2-}	WO_8^{2-}	WO_5^{2-}
Fe^{3+}	Fe_2O_8	Fe_2O_3
Fe^{2+}	Fe_2O_3	FeO_2

При катализе разложения перекиси водорода коллоидным осадком гидрозоля окиси железа механизм катализа определяется растворимостью гидрата окиси железа в щелочных растворах H_2O_2 , причем промежуточным продуктом является гомогенно растворимое соединение железа. При катализе в присутствии солей молибдена были выделены промежуточные соединения Na_2MoO_6 и Na_2MoO_8 .

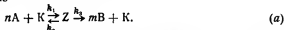




Из теории Кобозева—Шпитальского вытекают следующие количественные соотношения.

1. В реакции участвует только один катализатор и образуется одно промежуточное соединение.

Реакция идет по схеме



Здесь A — исходное (или исходные) вещества, K — катализатор, Z — промежуточное соединение, B — продукт (продукты) реакции. Скорость реакции определяется скоростью разложения промежуточного соединения, пропорциональной концентрации промежуточного соединения

$$v = k_3 c_Z.$$

Концентрацию промежуточного соединения можно выразить через концентрацию исходного вещества и катализатора, учитывая, что промежуточное соединение находится в равновесии (первая стадия реакции (a) идет быстро) с исходным веществом и катализатором

$$K = \frac{c_Z}{c_K c_A^n} = \frac{c_Z}{c_A^n (c_{K_0} - c_Z)}.$$

Здесь K — константа равновесия, c_K — действующая, c_{K_0} — начальная концентрации катализатора. Из последнего уравнения следует

$$v = k_3 c_Z = \frac{K c_A^n c_{K_0}}{1 + K c_A^n} k_3.$$

Если константа равновесия велика, то $K c_A^n \gg 1$, весь катализатор связан и реакция имеет нулевой порядок по веществу. Скорость реакции зависит только от начальной концентрации катализатора

$$v = k_3 c_{K_0}.$$

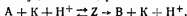
При повышении температуры скорость реакции увеличивается, так как k_3 растет с температурой.

Если константа равновесия мала, количество связанного катализатора мало и реакция протекает по n -му порядку по отношению к веществу, скорость реакции пропорциональна начальной концентрации катализатора

$$K c_A^n \ll 1, \quad v = k_3 K c_A^n c_{K_0}.$$

При повышении температуры k_3 увеличивается, но константа равновесия может как увеличиваться, так и уменьшаться. Обычно теплота образования промежуточного соединения невелика, константа равновесия мало меняется с температурой и скорость реакции с температурой возрастает. Реально с изменением условий порядок реакции (a) может меняться в пределах $0 - n$ по веществу.

2. Два катализатора образуют одно промежуточное соединение. Пусть одним из катализаторов будет ион водорода.



$$K = \frac{c_Z}{c_A c_{H^+} (c_{K_0} - c_Z)}.$$

Из последнего уравнения находим концентрацию промежуточного вещества c_Z , которой пропорциональна скорость реакции

$$v = k_3 c_Z = k_3 \frac{K c_A c_{H^+} c_{K_0}}{1 + K c_{H^+} c_A}.$$

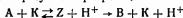
При больших pH $c_{H^+} c_A \ll 1$ и скорость реакции пропорциональна концентрации ионов водорода

$$v = k_3 K c_A c_{H^+} c_{K_0}.$$

При большой концентрации исходного вещества и ионов водорода $c_{H^+} c_A \gg 1$ и скорость реакции не зависит от концентрации вещества и ионов водорода

$$v = k_3 c_{K_0}.$$

3. Ионы водорода образуются при реакции



$$K = \frac{c_Z c_{H^+}}{c_A (c_{K_0} - c_Z)}, \quad v = k_3 c_Z = k_3 \frac{K c_A c_{K_0}}{c_{H^+} + K c_A}.$$

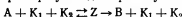
Если K велико, весь катализатор связан, то скорость реакции не зависит от концентрации ионов водорода

$$K c_A \gg c_{H^+}, \quad v = k_3 c_{K_0}.$$

Если K мало, то скорость реакции обратно пропорциональна концентрации ионов водорода

$$K c_A \ll c_{H^+}, \quad v = k_3 \frac{K c_A c_{K_0}}{c_{H^+}}.$$

4. Два катализатора образуют одно промежуточное соединение



$$K = \frac{c_Z}{c_A (c_{K_0'} - c_Z) (c_{K_0''} - c_Z)}.$$

Так как $c_Z < c_{K_0'}$, $c_{K_0''}$, то $c_Z^2 < c_Z c_{K_0'}$, $c_Z c_{K_0''}$. Пренебрегая c_Z^2 по сравнению с другими слагаемыми, в знаменателе получим

$$K = \frac{c_Z}{c_A [c_{K_0'} c_{K_0''} - c_Z (c_{K_0'} + c_{K_0''})]},$$

$$c_Z = \frac{K c_A c_{K_0'} c_{K_0''}}{1 + K (c_{K_0'} + c_{K_0''}) c_A},$$

$$v = k_3 \frac{K c_A c_{K_0'} c_{K_0''}}{1 + K (c_{K_0'} + c_{K_0''}) c_A}.$$

Если $K \ll 1$, то $K (c_{K_0'} + c_{K_0''}) c_A < 1$,

$$v = k_3 K c_A c_{K_0'} c_{K_0''}.$$

Если $K \gg 1$, то $K \left(c_{K_0'} + c_{K_0''} \right) c_A > 1$,

$$v = k_3 \frac{c_{K_0'} c_{K_0''}}{c_{K_0'} + c_{K_0''}}.$$

При любой величине константы равновесия K скорость реакции пропорциональна произведению начальных концентраций катализаторов. Таким образом, суммарное действие катализаторов больше суммы действия этих катализаторов. Так, например, ни соль меди, ни соль молибдена в слабо кислой среде не катализируют распад перекиси водорода. Совместное же их присутствие вызывает значительный каталитический эффект. Скорость реакции возрастает с увеличением концентрации каждого из катализаторов.

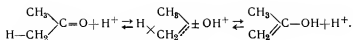
Если образуется несколько промежуточных соединений, то уравнения значительно усложняются. Если катализатор образует с реагирующим веществом два промежуточных соединения, причем одно из них лабильно, а другое относительно стабильно, то скорость реакции может иметь максимум. Положение максимума зависит от величины констант равновесия и скоростей разложения промежуточных веществ. При образовании трех промежуточных веществ скорость реакции может проходить сначала через минимум, а затем через максимум. Так, например, проходит реакция разложения перекиси водорода в кислой среде в присутствии хроматов.

§ 34. Механизм гомогенного катализа

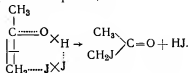
Промежуточные соединения в гомогенном катализе могут быть как молекулярными, так и ионными. Снижение энергии активации при катализе объясняется тем, что образование связи при присоединении катализатора уменьшает энергию связи соседних атомов, т. е. облегчает разрыв соседней связи. Чередование рвущихся и возникающих связей при образовании промежуточного соединения не только вызывает значительное снижение энергии активации, но и создает условия для возможности миграции связей в молекуле. Осуществляется это либо путем присоединения иона в одном месте молекулы и отщепления его в другом, либо путем образования циклических соединений.

Наиболее вероятен катализ с образованием шестичленных и пятичленных циклов. При образовании шестичленного цикла требуется меньшая энергия, чем для четырехчленного, так как в шестичленном цикле электронные оболочки удалены дальше друг от друга. Могут, однако, встречаться и трехчленные и семичленные циклы. При образовании промежуточного соединения создаются условия для внутримолекулярной перегруппировки, проходящей с меньшей затратой энергии, чем межмолекулярное взаимодействие.

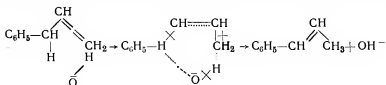
Ионные промежуточные соединения. При ионном катализе, как указывалось выше, возможны два пути: присоединение иона в одном месте, миграция связей в молекуле за счет этого, отщепление иона в другом месте молекулы. Так, например, рассмотренная в § 32 реакция йодирования ацетона может быть представлена следующей схемой:



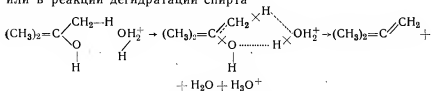
Далее быстро протекает реакция



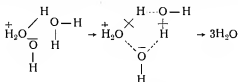
Перечеркнуты рвущиеся связи, пунктиром обозначены образующиеся. Такой путь реакции обусловлен тем, что соединения, содержащие карбонильную группу, имеют очень слабо выраженные основные свойства. Результатом присоединения протона является переход связи $\text{C}=\text{O}$ в связь $\text{C}=\text{C}$, т. е. миграция двойной связи по молекуле, после чего идет присоединение йода по двойной связи и переход связи $\text{C}=\text{C}$ в $\text{C}=\text{O}$. Ионные промежуточные соединения могут быть циклическими, как, например, в реакциях изомеризации, и миграции двойной связи под действием иона OH^-



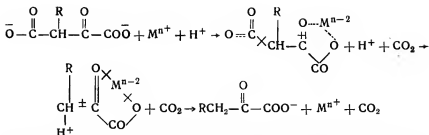
или в реакции дегидратации спирта



Есть основания полагать, что реакция нейтрализации не есть простой перенос протона, а идет через образование пятичленного комплекса



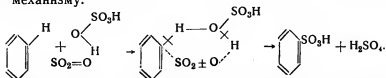
При катализе металлическими ионами нередко большое значение имеет образование внутренних комплексов с металлом (хелатов). Например, при декарбоксилировании α -кетокислот катализаторами могут быть ионы многих металлов, в том числе постоянной валентности, как, например, Zn^{2+} и Al^{3+} .



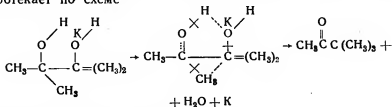
Нетрудно видеть, что в приведенных выше примерах ионного катализа реакции осуществлялись через внутримолекулярный перенос заряда.

Особую роль хелатные комплексы имеют в ферментативном катализе, где металлхелатные соединения нередко сами являются активными катализаторами, образуя молекулярные соединения с субстратом.

Молекулярные промежуточные соединения. Как указывалось выше, образование циклических соединений с катализатором ведет к облегчению разрыва связей. Так, реакция сульфирования бензола в растворе протекает по следующему механизму:

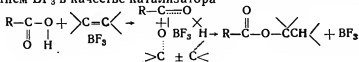


Возможно, однако, и образование молекулярного соединения с катализатором. Тогда снижение энергии активации достигается тем, что катализатор предоставляет пустую, незанятую орбиту и тем облегчает электронные перегруппировки. Такими функциональными катализаторами могут быть соединения бора, алюминия и другие. Возможно, что пинаколиновая перегруппировка протекает по схеме



Здесь К — молекула катализатора.

Вероятно, так же идет присоединение кислот к олефинам с участием BF_3 в качестве катализатора



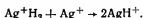
Значение образования молекулярных соединений в гомогенном катализе связано с тем, что они обладают рядом особенностей.

1. Энергия активации образования молекулярных соединений очень мала. Например, образование молекулярного соединения BF_3 с NH_3 требует энергии активации меньше 2 ккал.

2. Молекулярное соединение образуется всегда с выделением тепла — от 2—3 до нескольких десятков килокалорий. При дальнейшей реакции молекулярного соединения с образованием продукта реакции энергия активации этой стадии снижается на величину теплоты образования исходного молекулярного соединения.

3. Образование молекулярного соединения, как правило, сопровождается поляризацией связей. Реакции между полярными связями идут с пониженной энергией активации.

Образование молекулярных соединений не исключается и при ионном катализе. Установлено, что некоторые металлические ионы Cu^{2+} , Ag^+ , Hg^{2+} , Hg_2^{2+} , MnO_4^- могут активировать молекулярный водород в водных растворах. Ионы Ag^+ катализируют гомогенную гидрогенизацию растворенных веществ, например иона $\text{Cr}_2\text{O}_7^{2-}$, при температурах 30—70°С. По-видимому, в первой стадии образуется молекулярное соединение $\text{H}_2 \cdots \text{Ag}^+$, в дальнейшем же идет реакция



Ион AgH^+ восстанавливает связь $\text{Cr}=\text{O}$ в $\text{Cr}-\text{OH}$.

§ 35. Кислотный и основной катализ

Ионы водорода и гидроксила могут катализировать многие реакции и в первую очередь реакции гидролиза. Каталитическими свойствами этих ионов в значительной степени объясняется влияние pH среды на протекание различных реакций. Поэтому кислотно-основной катализ, являясь одним из наиболее распространенных видов катализа в растворах, занимает особое положение среди других каталитических процессов. Согласно протолитической теории кислот и оснований Бренстеда, к кислотам относятся вещества, способные отдавать протон, к основаниям — вещества, способные к присоединению протона. Между основанием В и кислотой НА в растворе устанавливается равновесие



Здесь BH^+ и A^- — сопряженные кислота и основание. Это равновесие характеризуется константой равновесия

$$K' = \frac{a_{\text{HA}} a_{\text{B}}}{a_{\text{A}^-} a_{\text{BH}^+}} = \frac{a_{\text{HA}} f_{\text{B}}}{a_{\text{A}^-} f_{\text{BH}^+}} \cdot \frac{c_{\text{B}}}{c_{\text{BH}^+}} = \frac{1}{K}, \quad (87)$$

где a — активность, c — концентрация, f — коэффициенты активности. Константа протолитического равновесия K равна отношению констант диссоциации сопряженных кислот K_{HA} и K_{BH^+}

$$K = \frac{K_{\text{HA}}}{K_{\text{BH}^+}},$$

где K_{HA} и K_{BH^+} — константы процессов диссоциации.



Реакции (б) и (в) изолированно идти не могут, так как протон не существует в свободном виде в растворах, протон может только передаваться от кислоты к сопряженному с ней основанию. Поэтому можно измерить величину K , характеризующую протолитическое равновесие реакции (а), но нельзя определить непосредственно K_{HA} и K_{BH^+} . Если одну из этих констант, например K_{HA} , принять условно равной единице, то из измеренных величин K можно вычислить K_{BH^+} , т. е. величины констант диссоциации остальных кислот и оснований. Положим $K_{\text{HA}} = 1$, т. е.

$$\frac{a_{\text{HA}}}{a_{\text{H}^+} a_{\text{A}^-}} = 1.$$

Тогда

$$\frac{a_{\text{HA}}}{a_{\text{A}^-}} \cdot \frac{f_{\text{B}}}{f_{\text{BH}^+}} = a_{\text{H}^+} \frac{f_{\text{B}}}{f_{\text{BH}^+}}. \quad (88)$$

Обозначим величину $a_{\text{H}^+} \frac{f_{\text{B}}}{f_{\text{BH}^+}}$ через h_0 и $-\lg h_0 = H_0$. Из уравнения (87) следует, что

$$pK' = H_0 + \lg \frac{c_{\text{BH}^+}}{c_{\text{B}}}.$$

$\frac{c_{\text{BH}^+}}{c_{\text{B}}}$ характеризует способность основания присоединять протон, h_0 принято называть кислотностью, а H_0 функцией кислотности. В качестве стандартного состояния обычно принимается чистый растворитель (вода), т. е. реакция



для которой константа равновесия K_{HA} условно положена равной единице. Поэтому для воды и разбавленных водных растворов

$$h_0 = C_{\text{H}_3\text{O}^+}, \quad H_0 = p\text{H}.$$

Из уравнений (87) и (88) следует

$$\frac{c_{\text{ВН}^+}}{c_{\text{В}}} = Kh_0, \quad (89)$$

а так как полная концентрация основания $C_{\text{В}_0}$ равна

$$\begin{aligned} c_{\text{В}_0} &= c_{\text{В}} + c_{\text{ВН}^+}, \\ \frac{c_{\text{ВН}^+}}{c_{\text{В}_0}} &= \frac{Kh_0}{1 + Kh_0}. \end{aligned} \quad (90)$$

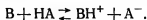
При кислотно-основном катализе между катализатором (кислота или основание) и субстратом происходит протолитическая реакция. Протон переносится от одного реагирующего вещества (катализатора) к другому (субстрату) с последующей депротонизацией субстрата. Примеры таких реакций приведены в § 34. Роль кислоты как катализатора сводится к созданию протонизированных частиц реагирующего вещества. Являясь сильным акцептором электронной пары, протон может производить перераспределение и разрыхление энергий связи, делая молекулу субстрата более реакционноспособной.

Если катализатором является кислота, то субстрат можно рассматривать как сопряженное с этой кислотой основание. Полагая, что процесс протонизации субстрата протекает быстро и реакция идет только через протонизированные формы молекул, для простейшей реакции мономолекулярного распада



имеем следующие стадии.

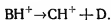
а) Быстро протекающая стадия протонизации исходного вещества катализатором



Согласно уравнению (90)

$$c_{\text{ВН}^+} = \frac{Kh_0}{1 + Kh_0} c_{\text{В}_0}.$$

б) Медленная (лимитирующая) стадия распада протонизированной молекулы



Скорость реакции определяется скоростью самой медленной стадии

$$v = kc_{\text{ВН}^+} = k \frac{Kh_0}{1 + Kh_0} c_{\text{В}_0},$$

где k — константа скорости.

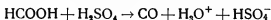
Если $Kh_0 \ll 1$, т. е. при малой протонизации реагирующего вещества, что характерно для специфического катализа ионами водорода, то экспериментальная скорость реакции v_s равна

$$v_s = kKh_0c_{\text{В}_0},$$

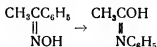
а экспериментальная константа скорости k_s ,

$$k_s = kKh_0.$$

Последнее выражение носит название соотношения Хамметта. Соотношение Хамметта подтверждено экспериментально для таких реакций, как разложение муравьиной кислоты концентрированной (85—99%) серной кислотой

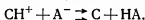


и Бекмаиновская перегруппировка оксима ацетофенона в 93—99% раствора H_2SO_4



Соотношение Хамметта подтверждается также для реакции гидролиза этилацетата в присутствии соляной кислоты, гидролиза цианамида азотной кислотой, гидролиза сахарозы в присутствии HClO_4 , H_2SO_4 , HCl , HNO_3 при концентрациях кислот от 0,1 до 7,0 моль/л и ряда других реакций.

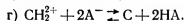
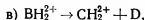
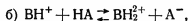
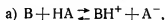
в) Быстро протекающая стадия депротонизации конечного продукта, не влияющая на скорость реакции в целом



2) Мономолекулярная реакция разложения



проходит с участием двукратно протонизированной молекулы, т. е. через стадии



Первая, вторая и четвертая стадии протекают быстро с установлением равновесия

$$K_1 = \frac{a_{\text{BH}^+} a_{\text{A}^-}}{a_{\text{B}} a_{\text{HA}}}, \quad K_2 = \frac{a_{\text{BH}_2^{2+}} a_{\text{A}^-}}{a_{\text{BH}^+} a_{\text{HA}}}.$$

Третья стадия является лимитирующей. Экспериментальная скорость реакции равна

$$v = k c_{\text{BH}_2^{2+}} = k K_1 K_2 c_{\text{B}} \left(\frac{a_{\text{HA}}}{a_{\text{A}^-}} \right)^2 \frac{f_{\text{B}}}{f_{\text{BH}_2^{2+}}} \approx k K_1 K_2 h_0^2 c_{\text{B}}.$$

Общая концентрация реагирующего вещества C_{B_0} равна

$$c_{B_0} = c_B + c_{BH^+} + c_{BH_2^+} \approx c_B (1 + K_1 h_0 + K_1 K_2 h_0^2),$$

отсюда

$$v = \frac{k K_1 K_2 h_0^2 c_{B_0}}{1 + K_1 h_0 + K_1 K_2 h_0^2}.$$

При условии $K_1 h_0 + K_1 K_2 h_0^2 \ll 1$

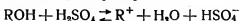
$$v = k K_1 K_2 h_0^2 c_{B_0} = A h_0^2 c_{B_0}.$$

Здесь $A = k K_1 K_2 = \text{const}$ и экспериментальная константа скорости k , равна

$$k_s = A h_0^2.$$

Такому закону подчиняется кинетика ряда реакций в концентрированных растворах сильных кислот.

3) Процесс протонизации соединения происходит одновременно с отщеплением воды, например



$$K' = \frac{a_{ROH} \cdot a_{H_2SO_4}}{a_{R^+} \cdot a_{HSO_4^-} \cdot a_{H_2O}} = \frac{1}{K}.$$

Отношение концентраций протонизированных и непротонизированных молекул, характеризующее степень перехода протона к субстрату, равно

$$\frac{c_{R^+}}{c_{ROH}} = \frac{a_{H_2SO_4}}{a_{HSO_4^-} \cdot a_{H_2O}} \frac{f_{ROH}}{f_{R^+}} = K \frac{h_0}{a_{H_2O}}.$$

Обозначим величину $\frac{h_0}{a_{H_2O}}$ через i_0 , i_0 , подобно h_0 , является мерой сродства протона к основанию

$$i_0 = \frac{h_0}{a_{H_2O}}, \quad -\lg i_0 = I_0 = H_0 + \lg a_{H_2O}.$$

Величина $-\lg i_0 = I_0$, так же как H_0 , является функцией кислотности и называется I_0 -функцией. Учитывая, что общая концентрация основания c_R^0 равна

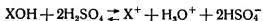
$$c_R^0 = c_{R^+} + c_{ROH},$$

получаем

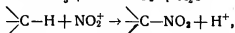
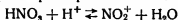
$$\frac{c_{R^+}}{c_R^0} = \frac{c_{R^+}}{c_{R^+} + c_{ROH}} = \frac{K i_0}{1 + K i_0}. \quad (91)$$

В реакциях, протекающих с дегидратацией, константы скорости меняются пропорционально величине i_0 .

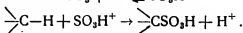
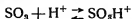
К реакциям типа



относятся реакции с образованием частиц NO_2^+ при нитровании, HSO_3^+ — при сульфировании и т. п. Нитрование в концентрированных растворах протекает по схеме



сульфирование олеумом



При катализе основаниями можно получить аналогичные зависимости. В этом случае субстрат будет играть роль кислоты и скорость реакции будет определяться скоростью отщепления протона. Следует учесть, что согласно протолитической теории к кислотам и основаниям относятся катионы и анионы, способные отщеплять или присоединять протон, как, например, NH_4^+ , HCO_3^- , CH_3COO^- , Cl^- и т. д.

Ионы, помимо каталитического действия, могут вызывать чисто кинетический или чисто термодинамический эффекты — первичный и вторичный солевой эффекты, рассмотренные в §§ 19 и 20, которые сказываются на скорости реакции, но не являются каталитическими.

ЛИТЕРАТУРА

- Г. М. Паиленков, В. П. Лебедев. Химическая кинетика и катализ. Изд-во МГУ, 1961.
Мельвин-Хьюз. Кинетика реакций в растворах. М.—Л., ГОНТИ, 1938.
В. Лангебек. Органические катализаторы. М., ИЛ, 1961.
Г. М. Шваб. Катализ. Л., Госхимиздат, 1934.
С. Беркман, Д. Морелл, Г. Эглофф. Катализ в неорганической и органической химии. М.—Л., Гостехиздат, 1949.
Вопросы химической кинетики, катализа и реакционной способности. М., Изд-во АН СССР, 1955.
Проблемы кинетики и катализа, X. Физика и физико-химия катализа. М., Изд-во АН СССР, 1960.
Катализ. Исследование гомогенных процессов. М., ИЛ, 1957.
Катализ. Труды первого международного конгресса. М., ИЛ, 1960.
А. И. Штенштейн. Теории кислот и оснований. М.—Л., Госхимиздат, 1949.
А. И. Штенштейн. Изотопный обмен и замещение водорода в органических соединениях. М., Изд-во АН СССР, 1960.
Т. И. Темникова. Курс теоретических основ органической химии. Л., Госхимиздат, 1959.
Химия координатных соединений. М., ИЛ, 1960.
Уч. зап. МГУ, вып. 174. Изд-во МГУ, 1955.

ГЛАВА VII

ГЕТЕРОГЕННЫЙ КАТАЛИЗ

§ 36. Специфика гетерогенного катализа

Специфичным для гетерогенного катализа является протекание реакции на поверхности раздела фаз. На поверхности раздела фаз могут протекать самые различные процессы:

1) взаимодействие атомов кристаллической поверхности с газообразными молекулами;

2) взаимодействие тонкого аморфного слоя (коллоидных размеров) поверхности с газообразными молекулами;

3) взаимодействие поверхностного твердого раствора на кристаллической поверхности (поверхностные окислы, поверхностные гидриды) с газообразными молекулами;

4) взаимодействие отдельных атомов, адсорбированных на поверхности, с газообразными молекулами;

5) взаимодействие двух адсорбированных молекул между собой.

Сложность и разнообразие процессов, могущих протекать на поверхности раздела, в значительной степени определяют собой многочисленность теорий катализа, на первый взгляд противоречащих друг другу. Однако эта противоречивость в значительной степени кажущаяся. Каждая из теорий объясняет ту или иную сторону различных процессов, протекающих на поверхности раздела. Для многих реакций, как, например, разложение метанола на окиси цинка, нанесенной на силикагеле, каталитически активной является кристаллическая поверхность. Для ряда других реакций каталитически активной может быть не вся поверхность, а только отдельные ее участки — активные центры.

Явление отравления катализаторов микродозами яда, недостаточными для покрытия всей поверхности, работы Кобозева по изучению каталитического действия адсорбционных катализаторов при малых степенях заполнения, опыты Варбурга по окислению аминокислот на активированном угле, обработанном микродозами солей железа, работы Рогинского и его сотрудников, по-

казавшие наличие энергетической неоднородности поверхности, и ряд других фактов свидетельствуют о том, что в катализе существенную роль могут играть активные центры, присутствующие на каталитически инертной кристаллической поверхности.

Если две несмешивающиеся фазы, например газ — твердое тело или газ — жидкость, привести в соприкосновение, то почти всегда концентрация в одной из фаз у поверхности раздела больше, чем в объеме. Это концентрирование вещества у поверхности называется адсорбцией. Адсорбция сопровождается убылью свободной энергии и энтропии, так как связывание молекулы на поверхности раздела приводит к потере некоторых степеней свободы. Поэтому адсорбция всегда является экзотермическим процессом.

Различают физическую и химическую адсорбцию. Теплота физической адсорбции как правило 1—3 ккал/моль и не превышает 6 ккал/моль, тогда как теплота химической адсорбции того же порядка, что и теплота активации, 10—100 ккал/моль. Связано это с тем, что при хемосорбции происходят переносы электронов между адсорбентом и адсорбатом. Хемосорбция происходит за счет валентных сил, которыми обладает любая поверхность в силу ее ненасыщенности. При хемосорбции образуются поверхностные химические соединения. При образовании химических соединений требуется преодоление энергетического барьера. Поэтому хемосорбция, в отличие от физической адсорбции, требует энергии активации того же порядка, что и при гомогенных химических реакциях.

Физическая адсорбция, не требующая энергии активации, протекает быстро, тогда как хемосорбция может идти медленно. При физической адсорбции адсорбирующиеся молекулы могут при достаточно больших давлениях покрывать всю поверхность адсорбента. Вследствие этого физическая адсорбция может применяться для определения величины поверхности твердого катализатора. При хемосорбции может быть покрыта только часть поверхности — участки, способные вступать в химическое взаимодействие с адсорбируемым веществом.

По механизму физическая адсорбция аналогична конденсации пара на поверхности образующейся из него жидкости. Физическая адсорбция сравнительно малочувствительна к природе адсорбента. Хемосорбция в большинстве случаев растет с температурой из-за наличия энергии активации, физическая адсорбция всегда растет с понижением температуры. Хемосорбция может быть локализованной, когда отдельные участки энергетически, а следовательно, и адсорбционно неоднородны и адсорбированные частицы не могут перемещаться по поверхности, и нелокализованной, при которой адсорбированные частицы могут диффундировать по поверхности. В нелокализованной адсорбции осуществляется катализ всей поверхностью, в локализованной — катализ активными центрами.

При взаимодействии атомов однородной кристаллической поверхности с молекулами газа возможны следующие варианты (рис. 33).

I область — область так называемой «физической», т. е. Ван-дер-Ваальсовой адсорбции. Энергия взаимодействия здесь порядка 1 ккал, при этом образуются малопрочные соединения с поверхностью без деформации молекул и ослабления связи между атомами в них.

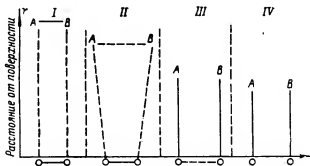


Рис. 33.

II область — область хемосорбции. Здесь молекулы газа прочнее связаны с поверхностью; для хемосорбции необходимо преодоление энергетического барьера. Причиной наличия энергии активации является отталкивание электронных облаков молекул газа и атомов поверхности. Деформация электронного облака при приближении молекул газа к поверхности влечет за собой и деформацию в положении атомов в молекуле газа — увеличивает расстояние между ними. Энергия барьера того же порядка, что и в обычных химических реакциях.

Вследствие того, что хемосорбция требует энергии активации, ее называют еще активированной адсорбцией. Активированную адсорбцию можно рассматривать как образование «замороженного» активированного комплекса газ — поверхность. Эта область наиболее важна для катализа, и происходящие здесь процессы объясняются мультиплетной теорией катализа, основы которой будут рассмотрены ниже.

III область представляет собой предельный случай хемосорбции с образованием атомов или радикалов в результате разрыва связей в адсорбированной молекуле. К этой области также применима мультиплетная теория катализа Балаидина. Однако специфика происходящих здесь процессов рассматривается в электронной (Рогинского—Волькенштейна) и радикальной (Семеиова—Воеводского) теориях катализа.

Электронная теория, являясь чисто физической теорией полу-

проводниковых катализаторов, ставит своей задачей раскрытие электронного механизма элементарного акта катализа. Электронная теория рассматривает кристалл как единое целое и устанавливает неизбежность энергетической неоднородности даже у идеально гладкой кристаллической поверхности. Вместе с тем электронная теория учитывает не только свойства поверхности катализатора, но доказывает и влияние наличия примесей в объеме на свойства поверхности. Основная область применения этой теории—окислительно-восстановительные реакции. Для реакций с присоединением протона или полярных молекул (гидролиз, конденсация, изомеризация, крекинг, гидратация и т. п.) эта теория малоприменяема.

Радикальная теория рассматривает кристалл как громадный полирадикал, содержащий на поверхности свободные валентности. Радикальный механизм непосредственно вытекает из электронной теории катализа. По существу радикальная теория является изложением электронной теории на языке химии.

Радикальная и электронная теории представляют собой переход от теории каталитического действия поверхности к теориям активных центров. Если учесть возможность миграции радикалов по поверхности, как это рассматривается в электронной теории, то взаимодействие адсорбируемого вещества с поверхностью можно рассматривать как образование поверхностного раствора. В этом случае каталитическая активность не сосредоточена на определенных участках поверхности, т. е. активна вся поверхность. Если же в силу каких-либо причин свободные валентности локализованы на определенных участках поверхности, то по механизму действия такой вид катализа является катализом с помощью активных центров.

Активными центрами могут являться:

1) Отдельные участки кристаллической поверхности. К этому случаю катализа также применима теория Бalandина с учетом энергетических поправок на влияние энергетической неоднородности поверхности катализатора, а также (частично) теория пересыщения Рогинского.

2) Адсорбированные атомы или молекулы при степени заполнения поверхности Θ порядка 0,1—1. Рогинский указывает, что на металле пленка атомов кислорода в 2—3 слоя дает тот же эффект в отношении полупроводниковых свойств, что и объемный оксид, и что металлы всегда покрыты пленкой оксидов или гидридов. Физическая сторона поведения таких катализаторов рассматривается в электронной теории, однако химия образования поверхностных растворов, а также специфика протекания реакций в таких растворах изучены еще недостаточно, причем только для реакций на поверхности жидкой фазы.

3) Адсорбированные атомы или молекулы при $\Theta < 0,1$. Этот случай катализа рассматривается в теории Кобозева. Теория Кобозева дает возможность экспериментально определить и рас-

считать число атомов в активном центре, площадь миграции, число миграционных ячеек и каталитическую активность одного центра. Недостатком теории ансамблей Кобозева является отсутствие химического подхода к явлению катализа. Хотя Кобозев и исходит из положения о том, что носителем каталитической активности является ансамбль, т. е. группа небольшого числа атомов (в среднем 2—4), специфика химизма взаимодействия отдельных изолированных атомов с молекулами газа в его работах не рассматривается.

IV область (рис. 33) является областью образования объемной фазы соединения газообразных молекул с катализатором. Как показано Боресковым, эта область не может иметь никакого значения для катализа.

Единая теория гетерогенного катализа, которая позволяла бы разрабатывать метод подбора, способа приготовления катализаторов, предсказывала бы их свойства для любых реакций и т. п., имеет особое значение для практики катализа, так как каталитические процессы приобретают все большее значение в промышленности.

Вместе с тем наблюдается тенденция перехода от гомогенного к гетерогенному катализу, как, например, переход от камерного к контактному способу получения серной кислоты. Это объясняется производительностью и технологичностью гетерогенного катализа, его высокой селективностью и, как следствие этого, большей чистотой продуктов гетерогенного катализа по сравнению с гомогенными. Наконец, в последние годы обнаружилась тенденция к замене ферментативного катализа гетерогенным. Это связано с большей доступностью сырья для гетерогенных каталитических процессов по сравнению с ферментативными.

Все вышесказанное определяет ведущее значение гетерогенного катализа для промышленных каталитических процессов. Однако, как указывалось выше, единой теории гетерогенного катализа не существует, хотя имеющиеся теории, объясняющие те или иные стороны гетерогенного катализа, уже позволяют делать предсказания, имеющие значение для промышленности, как, например, теория пересыщения Рогинского. Мультиплетная теория Балаидина уже в настоящее время позволяет для ряда практически важных реакций определить, возможно или нет улучшить катализатор при данных условиях проведения реакции, а также предсказать последовательность сложных каталитических реакций и т. д.

В связи с этим необходимо рассмотреть по крайней мере шесть теорий гетерогенного катализа, объясняющих те или иные специфические особенности гетерогенно-каталитических процессов. Такими теориями являются:

- 1) мультиплетная теория А. А. Балаидина, признаваемая большинством химиков за ядро будущей единой теории катализа;
- 2) теория катализа кристаллической поверхностью;

- 3) теория пересыщения С. З. Рогинского — теория приготовления катализаторов;
 - 4) электронная теория С. З. Рогинского и Ф. Ф. Волькенштейна;
 - 5) радикальная теория Н. Н. Семенова и В. В. Воеводского;
 - 6) теория ансамблей Н. И. Кобозева.
- Все эти теории будут рассмотрены ниже.

§ 37. Хемосорбция

Как указывалось выше, хемосорбция является существенным условием возможности осуществления гетерогенного катализа. Хемосорбция — процесс обратимый, связанный с установлением динамического равновесия адсорбция — десорбция. Для энергетически однородной поверхности количественным выражением адсорбции является уравнение Ленгмюра. Согласно И. Ленгмюру, число адсорбирующихся в секунду молекул пропорционально числу ударов молекул о поверхность, в свою очередь пропорциональному давлению. Если поверхность адсорбента равна единице, θ — часть ее, покрытая адсорбированными молекулами, а $1-\theta$ — свободная часть поверхности, то скорость адсорбции (заполнения поверхности) равна

$$\frac{d\theta}{dt} = k_1 p (1 - \theta).$$

Скорость десорбции пропорциональна занятой поверхности

$$-\frac{d\theta}{dt} = k_2 \theta.$$

В равновесии эти скорости равны

$$k_1 p (1 - \theta) = k_2 \theta,$$

откуда

$$\theta = \frac{k_1 p}{k_2 + k_1 p}.$$

$\frac{k_1}{k_2}$ характеризует равновесие адсорбции и называется коэффициентом адсорбции

$$\frac{k_1}{k_2} = b, \quad \theta = \frac{bp}{1 + bp}. \quad (\text{VII}, 18)$$

Графически уравнение Ленгмюра представлено на рис. 34.

В гетерогенной реакции скорость процесса определяется или скоростью подвода реагирующих веществ или скоростью химической реакции. Если определяющей (наиболее медленной) стадией является химическая реакция, то скорость ее будет, как указывалось в главе IV, пропорциональна поверхностной концентрации вещества. Последняя характеризуется величиной θ

в уравнении (VII, 18). Поэтому скорость каталитической реакции будет равна

$$\frac{dx}{dt} = k'\theta.$$

Изотерму адсорбции Ленгмюра (рис. 34) можно разбить на три участка.

1) Адсорбция слабая, мало p или b , т. е. $k_1 \ll k_2$. Тогда адсорбция прямо пропорциональна давлению (или концентрации).

$$\theta = bp$$

и реакция протекает по первому порядку

$$-\frac{dx}{dt} = k\theta = kbp.$$

2) Адсорбция сильная, молекулами покрыта почти вся поверхность, велико p или b , $\theta \approx 1$.

$$-\frac{dx}{dt} = k\theta = k.$$

Уравнение скорости реакции имеет нулевой порядок.

3) Адсорбция средней силы. Порядок уравнения скорости лежит между первым и нулевым, т. е. порядок дробный

$$-\frac{dx}{dt} = k\theta = k'p^{\frac{1}{n}},$$

где $0 < n < 1$.

При выводе изотермы Ленгмюра предполагалось, что:

1) адсорбция локализована и происходит только при столкновении газа со свободными центрами поверхности;

2) каждый центр может адсорбировать только одну частицу, т. е. пределом адсорбции является наличие мономолекулярного слоя на поверхности;

3) энергия адсорбированной молекулы по всей поверхности одинакова и не зависит от наличия поблизости адсорбированных молекул; все центры равноценны и обладают одной и той же теплотой адсорбции.

Первые два условия выполняются часто, последнее же редко. Неоднородность поверхности может носить двойной характер.

а) Поверхность твердого тела энергетически неоднородна, не все адсорбционные центры одинаковы. Теплоты адсорбции на различных центрах различны. Для совокупности однородных центров можно записать уравнение изотермы Ленгмюра

$$\frac{\theta_i}{1 - \theta_i} = b_i p.$$

b_i меняется с температурой по закону

$$b_i = A_i \frac{q_i}{RT}.$$

Вся занятая поверхность θ складывается из суммы занятых однородных частей поверхности. Доля всей поверхности, занятая адсорбируемым веществом, равна

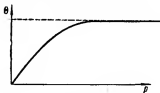


Рис. 34.

$$\theta = \frac{\sum_i \theta_i n_i}{\sum_i n_i} = \sum_i \frac{n_i}{\sum_i n_i} \frac{b_i p}{1 + b_i p}. \quad (92)$$

Здесь n_i — доля центров данного сорта. Если центры распределены по экспоненциальному закону

$$n_i = n_0 e^{-\frac{q_i}{q_m}},$$

где q_i — теплоты адсорбции на адсорбционных центрах, q_m — теплота при максимальной адсорбции, то в случае небольших заполнений θ сумму в уравнении (92) можно вычислить и

$$\ln \theta = (a_0 p) \frac{RT}{q_m}$$

или

$$\theta = c p^{\frac{1}{n}}, \quad (VII,19)$$

где a_0 , c и n постоянные.

В (VII,19) показатель степени является функцией температуры, причем n обычно уменьшается с температурой. Уравнение (VII,19) является изотермой адсорбции Фрейндлиха. Уравнение (VII,19), как эмпирическая зависимость, было подробно исследовано и применено к адсорбции Фрейндлихом (1907 г.). Теоретически изотерма адсорбции Фрейндлиха была выведена в 1934 г. Я. Б. Зельдовичем.

б) Поверхность твердого тела энергетически однородна, но благодаря взаимодействию между адсорбированными частицами теплота адсорбции меняется с изменением θ . В простейшем случае теплота адсорбции меняется линейно с заполнением

$$q = q_0 (1 - \alpha \theta),$$

где α — константа, q_0 — теплота адсорбции при $\theta = 0$. Тогда для отдельного центра

$$\frac{\theta}{1 - \theta} = a_0 p e^{\frac{q_0 (1 - \alpha \theta)}{RT}},$$

откуда

$$\ln p = -\ln A_0 + \frac{q_0 \alpha \theta}{RT} + \ln \frac{\theta}{1 - \theta},$$

где

$$A_0 = a_0 e^{\frac{q_0}{RT}}.$$

В области средних заполнений $\ln \frac{\theta}{1 - \theta}$ меняется медленно, для хемосорбции же вообще

$$q_0 \alpha \gg RT.$$

Поэтому, положив

$$\ln \frac{\theta}{1 - \theta} \approx \ln 1 = 0,$$

$$\theta = \frac{RT}{q_0 \alpha} \ln A_0 p. \quad (VII,20)$$

Уравнение (VII,20) выведено в 1940 г. М. И. Темкиным.

Если участки с различными теплотами адсорбции распределены равномерно по всей поверхности, то, как было показано М. И. Темкиным,

$$\theta = \frac{1}{\xi} \ln \frac{1 + a_0 p}{1 + a_1 p}, \quad (93)$$

где ξ — постоянная, характеризующая неоднородность поверхности; a_0 — значение постоянной в уравнении Ленгмюра для участков с максимальной теплотой адсорбции q_0 ; a_1 — значение этой постоянной для участков с минимальной теплотой адсорбции q_1 ; p — равновесное давление адсорбируемого газа.

$$\xi = \frac{q_0 - q_1}{RT}.$$

При средних степенях заполнения, когда

$$0 \ll \theta \ll 1, \quad a_0 p \gg 1, \quad a_1 p \ll 1$$

уравнение (93) дает уравнение, аналогичное (VII.20),

$$\theta = \frac{1}{\xi} \ln a_0 p.$$

При малых степенях заполнения

$$\ln a_0 p \approx a_0 p, \quad \theta = \frac{a_0}{\xi} p,$$

т. е. адсорбция подчиняется закону Генри.

в) Наконец, если функция распределения теплот адсорбции постоянна в каких-то пределах от q_1 до q_2 , а вне этих пределов равна нулю, то можно показать*, что количество адсорбированного вещества m меняется линейно с логарифмом концентрации адсорбирующегося вещества

$$m = m_0 \frac{RT}{\Delta q} \ln \frac{p}{\beta_2}. \quad (94)$$

Здесь m — количество адсорбирующегося вещества; m_0 — максимальное количество адсорбирующегося вещества,

$$\Delta q = q_1 - q_2,$$

$$\beta_2 = \frac{1}{b_2},$$

где b_2 — максимальное значение коэффициента адсорбции. Степень покрытия поверхности θ связана с количеством адсорбирующегося вещества соотношением $\theta = \frac{m}{m_0}$. При полном покрытии $\theta = 1$. Уравнение (94) было получено экспериментально А. Н. Фрумкин и Шлыгин в 1935 г.

При нелокализованной адсорбции среднее время жизни частицы на поверхности, т. е. средний промежуток времени между адсорбцией частицы и ее десорбцией τ , связан с теплотой адсорбции соотношением

$$\tau = \tau_0 e^{-\frac{q}{RT}}.$$

τ_0 зависит от числа степеней свободы, теряемых частицей при адсорбции и растет с увеличением числа степеней свободы, сохраняемых частицей при адсорбции. При локализованной адсорбции теряются три степени свободы поступательного движения и $\tau_0 \approx 10^{-16}$ сек. Если адсорбция нелокализованная, т. е. если частица может диффундировать по поверхности, то теряется только одна степень свободы поступательного движения и $\tau_0 \approx 10^{-13}$.

Таким образом, среднее время жизни частицы на поверхности при локализованной адсорбции меньше, чем при нелокализованной. Уменьшение числа степеней свободы приводит к уменьшению энтропии при адсорбции. В табл. 15 приведены величины изменения энтропии при хемосорбции, а в табл. 16 — меры локализованной и нелокализованной адсорбции.

* Д. А. Франк-Каменецкий. Усп. химии, 10, 544, 1941.

Таблица 15

Система	Температура, °K	ΔS , э. е.
CO на Cu	195—210	—14,9
CO на Au	195—210	—11,9
CO на W	273—293	—25,8
C ₂ H ₄ на Cu	273—288	—33,4
C ₂ H ₄ на Au	273—288	—42,5
N ₂ на Fe	660—720	—46,2
H ₂ на W	273—293	—24,1
H ₂ O на ZnO	600—660	—37,8

Таблица 16

Неподвижные слои			Подвижные слои		
Система	Температура, °C	Теплота адсорбции, ккал/моль	Система	Температура, °C	Начальная теплота адсорбции, ккал/моль
O ₂ на Ni	23	120	H ₂ на Ni, Fe, Ta, W, Pd	23	45—27
O ₂ на Fe	23	75	H ₂ на Ni	—195	30
N ₂ на W	23	95	C ₂ H ₄ на Ni		
H ₂ на Fe	—183	27	Fe, Ta, W, Rh, Cr	23	137—50
CO на Ni	23	35	N ₂ на Fe	—195	10
CO на Fe (малая степень заполнения)	23	32	CO на Fe (большая степень заполнения)	23	32

§ 38. Поверхностные соединения

Свойства и строение поверхностных соединений еще мало изучены. Тем не менее уже имеющиеся данные позволяют считать, что свойства поверхностных соединений отличны от свойств объемных соединений. Так, например, теплота хемосорбции кислорода на поверхности вольфрама равна 160 ккал и значительно отличается от теплоты образования окиси вольфрама. CO, H₂, (CN)₂, H₂S, PH₃, AsH₃ образуют устойчивые пленки на поверхности платины, чем объясняются явления отравления платиновых катализаторов.

Как правило, энергия связи в каталитически активных поверхностных соединениях меньше, чем в обычных молекулах, что обуславливает относительную непрочность таких соединений. При образовании поверхностных соединений могут возникать или молекулярные соединения за счет слабых связей типа водородной, или молекулярные соединения с образованием гомео-

полярной π -связи, либо происходит разрушение адсорбированной молекулы на атомы, радикалы или ионы, т. е. связь с катализатором осуществляется либо σ -электронами молекулы, или, наконец, образуется ионная связь. Таким образом, в принципе возможны молекулярные, атомные, радикальные и ионные поверхностные соединения. Так, методом инфракрасной спектроскопии было показано, что при адсорбции углекислого газа на никеле при 25° С и давлении 1,2 мм образуется соединение



При адсорбции окиси углерода — соединение



Такое же соединение образуется и при адсорбции на никеле углекислого газа при 100° С, вероятно, за счет восстановления CO_2 с диффузией кислорода в массу металла. При адсорбции паров дифениламина на природном алюмосиликате-бентоните в инфракрасных спектрах поглощения появляются полосы поглощения с максимумами при 500 и 680 мкм, тогда как сами пары имеют максимум поглощения при длине волны меньше 300 мкм. Максимум при 680 мкм совпадает с максимумом поглощения радикал-иона или так называемого семихинонного амина, образующегося на первичной стадии химического или фотохимического окисления дифениламина, когда молекула теряет один электрон из свободной пары электронов атома азота.

Нередко поверхностные соединения сами являются катализаторами. Так, реакции окисления водорода, окиси углерода, метанола, изопропилового спирта на серебре с энергией активации 16—19 ккал протекают при соударении окисляемых молекул с поверхностными кислородными соединениями серебра. Было экспериментально установлено, что прогрев серебра при 700—800° в атмосфере кислорода прекращает на этом катализаторе реакции окисления изопропилового спирта в ацетон молекулярным кислородом. Вместо окисления начинает идти реакция дегидрирования спирта с выделением водорода, которая не идет на металлическом серебре.

Как показали электрохимические измерения, при такой обработке катализатора образуется прочное поверхностное кислородное соединение. Это поверхностное соединение может быть дегидрирующим катализатором, отрывая водород от молекул спирта, но оно неактивно в каталитической реакции окисления спирта.

При адсорбции метанола на силикагеле и алюмогеле образуются поверхностные соединения типа алкоголята



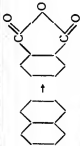
Как установлено К. В. Топчиевой, различная прочность связи этих соединений приводит к тому, что на силикагеле при 400° метанол превращается в эфир и воду, тогда как на алюмогеле процесс распада идет дальше до этилена. Измерение потенциала поверхности при хемосорбции O₂ и H₂ показало, что на металлах образуются отрицательно заряженные слои NiH, PtH, WH, TeH, PtO, WO, т. е. возникает связь вида Ni⁺—H⁻. Этилен и ацетилен на никеле образуют положительно заряженные слои. Из данных по инфракрасной спектроскопии следует, что при хемосорбции насыщенных молекул O₂, N₂, H₂, CH₄ и его гомологов нередко наблюдается распад молекул на атомы и радикалы.

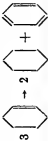
Адсорбционные слои можно изучать непосредственно методом электронного проектора. Электронный проектор основан на явлении вырывания электронов из микрокристалла сильным электрическим полем. Электроны падают на флуоресцирующий экран и создают на нем изображение поверхности острия, на котором светлым пятнам отвечают участки с наибольшей эмиссией. Увеличение доходит до 10⁶. По виду изображения можно отличить отдельные хемосорбированные молекулы и ионы. При адсорбции на вольфраме H₂ дает ионы H⁺ и H₂⁺, O₂—O₂⁺, N₂—N₂⁺, C₂H₆—C₂H₆⁺ и CH₃⁺ и т. д.

Свойства поверхностных соединений зависят от строения и свойств адсорбирующихся молекул, от строения и свойств катализатора и от особенностей структуры поверхности катализатора. Катализаторы можно разделить на два класса активных твердых тел.

1) Катализаторы — активные относительно окислительно-восстановительных реакций: окисления, дегидрирования и гидрирования, ароматизации, синтеза и распада аммиака и других. Такие реакции сопровождаются электронными переходами и поэтому активными являются проводники электрического тока: металлы Pt, Ni, Fe, W, Co и другие, а также полупроводники — окислы, сульфиды, селениды, сульфаты, шпинели и т. д. Такие катализаторы обладают электропроводностью, заметной термоэлектронной эмиссией, внешним фотоэффектом и окраской. Эти свойства связаны с наличием во всем их объеме подвижных электрических зарядов.

2) Катализаторы — изоляторы. Чаще всего это илионные кристаллы или ионные аморфные гели. Не имея свободных носителей тока в объеме, они, как правило, бесцветны. Эти катализаторы активны в кислотно-основном катализе. Они катализируют реакции, связанные с переходом протона: реакции дегид-

Тип реакции	Примеры реакции	Примеры катализаторов
Контактные окислительно-восстановительные реакции		
Окисление ионов в растворах	$\text{Sn}^{4+} + 2\text{Fe}^{2+} \rightarrow \text{Sn}^{2+} + 2\text{Fe}^{3+}$	Pt, MnO_2 , Co_3O_4
Разложение нестойких неорганических кислородных соединений	$\text{N}_2\text{O} \rightarrow \text{N}_2 + \frac{1}{2} \text{O}_2$	Pt, Pd, CuO, NiO
	$\text{H}_2\text{O}_2 \rightarrow \text{H}_2\text{O} + \frac{1}{2} \text{O}_2$ $\text{KClO}_4 \rightleftharpoons \text{KCl} + 2\text{O}_2$	Pt, Co_3O_4 , MnO_2 , Fe_2O_3 , NiO, MnO_2
Мягкое окисление органических соединений	$\text{C}_2\text{H}_4 + \frac{1}{2} \text{O}_2 \rightarrow \text{C}_2\text{H}_4\text{O}$	Ag, Cu, Cu_2O
	$\text{C}_4\text{H}_5\text{OH} \begin{matrix} \nearrow \text{CH}_3\text{CHO} \\ \searrow \text{CH}_3\text{COOH} \end{matrix}$	Pt, CuO, V_2O_5 , Ag
Окисление органических соединений с разрушением углеродного скелета		Оксиды V, Fe, U, W и Mo
Полное окисление органических соединений	$\text{C}_n\text{H}_{2n+2} \rightarrow \text{CO}_2 + \text{H}_2\text{O}$ C_nH_{2n}	Pt, Pd, CuAl_2O_4 , MgCr_2O_4 , MnO_2 , Fe_2O_3 , Fe_3O_4 , Co_3O_4

Тип реакции	Примеры реакции	Примеры катализаторов
Дегидрирование и дециклизация	Циклогексан \rightarrow Бензол \rightarrow Спирт \rightarrow Альдегид	Cr_2O_3 , MoO_2 , MnO , MnO_2 .
Окисление спиртов в альдегиды и кетоны	$\text{C}_2\text{H}_5\text{OH} \rightarrow \text{C}_2\text{H}_5\text{O}$	ZnO
Окисление окиси углерода	$\text{CO} + \frac{1}{2}\text{O}_2 \rightarrow \text{CO}_2$ $\text{CO} + \text{H}_2\text{O} \rightarrow \text{CO}_2 + \text{H}_2$	MnO_2 Fe_2O_3
Гидрирование ненасыщенных соединений	$\text{C}_6\text{H}_4 \rightarrow \text{C}_6\text{H}_6$ $\text{C}_{10}\text{H}_8 \rightarrow \text{C}_{10}\text{H}_{18}$	Ni , Pt , Pd , RuO , $\text{CuO} \cdot \text{Cr}_2\text{O}_3$, NiO , Cr_2O_3 , $\text{ZnO} \cdot \text{Cr}_2\text{O}_3$, MoO_3 , WS_2 , ZnS , NiS
Деструктивное гидрирование	$\text{C}_8\text{H}_{18} \xrightarrow{\text{H}_2} 2\text{C}_4\text{H}_{10}$	MoO_3 , WS_2
Дегидрирование алканов и цикланов	$\text{CH}_3\text{C}_6\text{H}_{11} \rightarrow \text{CH}_3\text{C}_6\text{H}_5$ $\text{C}_4\text{H}_{10} \rightarrow \text{C}_4\text{H}_8 \rightarrow \text{C}_4\text{H}_6$	Pt , Ni , Pd , CuO , Cr_2O_3 , WS_2
Диспропорционирование водорода		Pt , Ni , Pd
Ароматизация (дегидроциклизация)	$\text{C}_6\text{H}_{14} \rightarrow \text{C}_6\text{H}_6 + 4\text{H}_2$	Pt , Co , Ni , Fe , ZnO , Al_2O_3 , окислы Cr , Mn , U
Синтез и распад аммиака	$\text{N}_2 + 3\text{H}_2 \rightleftharpoons 2\text{NH}_3$	Fe , W , OS , Re , Cu , Pt

Тип реакции	Примеры реакции	Примеры катализаторов
Разложение металлоорганических соединений	$\text{Pb}(\text{C}_6\text{H}_5)_4 \rightarrow \text{Pb} + 2(\text{C}_6\text{H}_5)_2$	Ni, Pt
Кислотно-основные контактные реакции		
Дегидратация без изменения размера молекулы	$\text{C}_2\text{H}_5\text{OH} \rightarrow \text{C}_2\text{H}_4 + \text{H}_2\text{O}$ $\text{CH}_3\text{CONH}_2 \rightarrow \text{CH}_3\text{CN} + \text{H}_2\text{O}$	Al_2O_3 , La_2O_3 , TiO_2 , WO_3 , ZnO , K_2SO_4 , KOH
Дегидратация с конденсацией	$2\text{C}_2\text{H}_5\text{OH} \rightarrow \text{C}_2\text{H}_5\text{OC}_2\text{H}_5 + \text{H}_2\text{O}$	Al_2O_3 , ThO_2 , H_3PO_4 (на носителе), алюмосиликаты, каолин
Гидролиз	$\text{C}_6\text{H}_5\text{Cl} + \text{H}_2\text{O} \rightarrow \text{C}_6\text{H}_5\text{OH} + \text{HCl}$	H_3PO_4 (на носителе), Al_2O_3 , MgCl_2 , CaCl_2
Изомеризация углеводородов	$\text{H-C}_4\text{H}_{10} \rightarrow \text{изо-C}_4\text{H}_{10}$ Бутлен-1 \rightarrow Бутлен-2	AlBr_3 , AlCl_3 , MoO_3 алюмосиликаты, SiO_2 , CaO , Al_2O_3 , $\text{Al}_2(\text{SO}_4)_3$
Каталитический крекинг углеводородов		SiO_2 , Al_2O_3 , AlCl_3 , H_3PO_4 , CaO , алюмосиликаты, магниевые силикаты, магний-титанаты
Отщепление HCl от RCl	$\text{C}_2\text{H}_5\text{Cl} \rightarrow \text{C}_2\text{H}_4 + \text{HCl}$	BaF_2 , MgF_2 , CaCl_2

ратации, гидролиза, изомеризации, алкилирования, крекинга и т. п. К таким катализаторам относятся алюмосиликаты, кислоты, в том числе апротонного типа AlCl_3 , BF_3 и т. д., а также многие окислы.

Примеры окислительно-восстановительных и кислотнo-основных катализаторов приведены в табл. 17.

Классифицировать реакции в гетерогенном катализе по их электрической природе можно следующим образом:

1. Неионные (атомные) реакции.
2. Ионные реакции: а) окислительно-восстановительные, б) протонные.

К 1-му классу относятся реакции гидрогенизации и дегидрогенизации углеводородов, дегидрогенизации спиртов и аминов, гидрогенизации альдегидов, кетонов, нитрилов, реакции гидрогенолиза, синтеза аммиака и многие другие. Для каждой группы катализаторов и катализируемых ими реакций специфичны свои поверхностные соединения. Общие принципы изучения термодинамических свойств этих соединений и влияния этих свойств на кинетику каталитической реакции даны в мультиплетной теории А. А. Балаидина.

§ 39. Мультиплетная теория катализа

Мультиплетная теория была предложена А. А. Балаидиным в 1929 г. Согласно этой теории, катализ — явление химическое. Химические силы действуют на малых расстояниях. Из малого радиуса валентно-химических сил мультиплетная теория выводит, что в молекуле реагируют те атомы, которые непосредственно связаны с катализатором. Реагирующие атомы молекулы должны находиться непосредственно на поверхности катализатора.

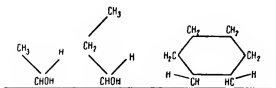
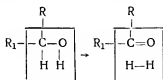


Рис. 35.

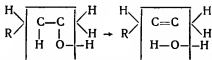
Например, при дегидрогенизации различных спиртов происходит разрыв двух связей и на поверхности находится одна и та же группа четырех атомов CHON (рис. 35). Так же может идти и дегидрогенизация циклогексана, где на поверхности катализатора будет находиться группа $\text{HC}-\text{CH}$.

Группу атомов, находящихся на поверхности катализатора, принято обводить рамкой. Радикалы и атомы, находящиеся над

поверхностью катализатора, относятся к зарамочным заместителям. Процесс дегидрогенизации спирта может быть представлен следующей схемой:

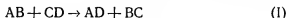


В процессе реакции дегидрогенизации спирта рвутся связи C—H и O—H и образуются связи C=O и H—H. Аналогично при гидратации спирта рвутся связи C—O и C—H и образуются C=C и H—O:

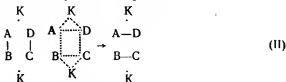


Из приведенных схем нетрудно видеть, что в реакциях одного класса реагирует одна и та же группа атомов. Это дает возможность свести все многообразие реакций к сравнительно немногим группам реакций. Для каждой группы реакций реагирующей оказывается одна и та же группа атомов. В табл. 18 приведены примеры групп реакций и соответствующих этим реакциям катализаторов.

Соприкасающиеся атомы катализатора и реагирующего вещества образуют промежуточный комплекс, в котором первоначальные связи деформированы, ослаблены, а реагирующие атомы связаны химическими силами с несколькими атомами катализатора. Такое промежуточное соединение «катализатор — реагирующие атомы» названо А. А. Балаждиным мультиплетом. Схематически реакция



может быть изображена следующим образом:



Здесь K — атомы катализатора. В мультиплете все входящие в него атомы связаны друг с другом. Для того чтобы мультиплет мог образоваться, связь между атомами катализатора должна быть не слишком слабой, не слишком прочной. Величина связи между атомами зависит от химических свойств атомов и от расстояния между ними. Из последнего вытекает необходимость

Группа реакций	Индекс	Группа катализаторов
Дегидрогенизация углеводородов	$\text{H}_2 = \begin{array}{ c c } \hline \text{C} - \text{C} \\ \hline \text{H} \quad \text{H} \\ \hline \end{array} = \text{H}_2$	Cr_2O_3 , MoO_3 , V_2O_5
Дегидрогенизация спиртов	$\text{H}_2 = \begin{array}{ c c } \hline \text{C} - \text{O} \\ \hline \text{H} \quad \text{H} \\ \hline \end{array}$	Cu , MnO_3 , ZnO , CdO
Дегидратация спиртов	$\text{H}_2 = \begin{array}{ c c } \hline \text{C} - \text{C} \\ \hline \text{H} \quad \text{O} \\ \hline \end{array} = \text{H}_2$	Al_2O_3 , ThO_2 , V_2O_5
Гидрогенизация олефинов	$\begin{array}{l} \text{H}_2 = \\ \text{H}_2 = \end{array} \begin{array}{ c c } \hline \text{C} \quad \text{H} \\ \hline \parallel \quad \\ \text{C} \quad \text{H} \\ \hline \end{array}$	Pt , Pd , Ni , Fe , Cu , Cr_2O_3 , WS_2
Каталитический крекинг (один из типов реакции)	$\begin{array}{l} \text{H}_2 = \\ \text{H}_2 = \end{array} \begin{array}{ c c } \hline \text{C} \quad \text{H} \\ \hline \quad \\ \text{C} - \text{C} \\ \hline \end{array} = \text{H}_2$	$\text{Al}_2\text{O}_3 + \text{SiO}_2$
Миграция двойной связи	$\begin{array}{l} \text{CH}_3 \\ \text{H} \end{array} \begin{array}{ c c } \hline \text{C} \quad \text{H} \\ \hline \parallel \quad \\ \text{C} - \text{C} \\ \hline \end{array} = \text{H}_2$	Cr_2O_3 , Pd
Гидролиз сложных эфиров	$\begin{array}{l} \text{H} \\ \text{O} \end{array} \begin{array}{ c c } \hline \text{C} \quad \text{O} \\ \hline \quad \\ \text{O} \quad \text{H} \\ \hline \end{array} = \text{H}$	$\text{SiO}_2 \cdot n\text{H}_2\text{O}$
Декарбоксилирование	$\begin{array}{l} \text{O} = \\ \text{H} \\ \text{CH}_3 \end{array} \begin{array}{ c c } \hline \text{C} - \text{O} \\ \hline \quad \\ \text{C} \quad \text{H} \\ \hline \end{array}$	Ni , Cu
Кетонизация кислот	$\begin{array}{l} \text{H}_3 \equiv \\ \text{HO} \end{array} \begin{array}{ c c } \hline \text{C} \quad \text{C} \\ \hline \quad \\ \text{C} \quad \text{O} \\ \hline \end{array} \begin{array}{l} \text{CH}_3 \\ \text{O} \\ \text{H} \end{array}$	CaCO_3 , BaCO_3 , MnO , ThO_2

Группа реакций	Индекс	Группа катализаторов
Хлорирование	$\begin{array}{c} \text{H}_3 - \begin{array}{ c c } \hline \text{C} & \text{Cl} \\ \hline \text{H} & \text{Cl} \\ \hline \end{array} \end{array}$	$\text{BiCl}_3, \text{SbCl}_5, \text{C}$
Присоединение HCl к олефинам	$\begin{array}{c} \text{H}_2 - \begin{array}{ c c } \hline \text{C} & \text{Cl} \\ \hline \text{C} & \text{H} \\ \hline \end{array} \\ \text{H}_2 = \end{array}$	$\text{AlCl}_3, \text{BaCl}_2$
Окисление олефинов	$\begin{array}{c} \text{H}_2 - \begin{array}{ c c } \hline \text{C} & \text{O} \\ \hline \text{C} & \text{O} \\ \hline \end{array} \\ \text{H}_2 = \end{array} \rightarrow \begin{array}{c} \text{H}_2 - \begin{array}{ c c } \hline \text{C}-\text{O} \\ \hline \text{C}-\text{O} \\ \hline \end{array} \\ \text{H}_2 = \end{array}$	Os, Cu

соответствия как в энергии, так и в расстояниях. Принципы геометрического и энергетического соответствия являются основными принципами мультиплетной теории катализа.

Принцип геометрического соответствия. Этот принцип заключается в соответствии между расстояниями атомов и элементами симметрии реагирующей молекулы и катализатора. Реакция облегчается, когда атомы входят в ложбины поверхностной части кристаллической решетки. Эти ложбины представляют собой энергетические ямки потенциальной энергии на поверхности твердого тела и играют роль свободных валентностей. Именно здесь поместились бы атомы катализатора при дальнейшей кристаллизации его.

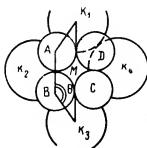


Рис. 36.

Направление валентностей на поверхности твердого тела зависит от характера его кристаллической решетки. На рис. 36 представлена геометрическая модель силового поля потенциальной энергии атомов, изображаемых в виде шаров. На рисунке показано расположение атомов катализатора K_1, K_2, K_3 и K_4 и реагирующих веществ A, B, C и D в реакции (I), протекающей по дублетному механизму.

В зависимости от числа связей, разрываемых в процессе реакции, в промежуточный комплекс могут входить два, три, четыре и шесть активных центров — атомов катализатора. При двух разрываемых связях переходный комплекс называется дублетом, при трех — триплетом, шести — секстетом. Реагирующие атомы образуют с атомами катализатора «замороженное» переходное состояние. При дублетном механизме в мультиплете — четыре атома (рис. 36). Но при протекании реакции вправо деформации подвергаются связи под воздействием двух атомов — катализатора K_1 и K_3 , влево — атомов K_2 и K_4 . Направление реакции зависит не от катализатора, а от термодинамических условий; процесс микрообратим. Все четыре атома А, В, С и D не обязательно должны соприкасаться с поверхностью одновременно.

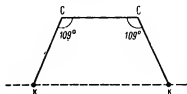


Рис. 37.

Попадание атома реагирующего вещества в слишком глубокую яму (точка М, рис. 36) соответствует образованию слишком прочной связи, тормозящей катализ. В мультиплетном комплексе валентные углы стремятся сохранить свое нормальное значение. Поэтому для данной каталитической реакции должно существовать свое оптимальное значение расстояний между атомами катализатора. Так, например, для дублетного механизма угол θ (рис. 36) должен иметь 109° , что вызывает определенные требования к расстоянию К—К в решетке катализатора (рис. 37). При адсорбции этилена на никеле в результате разрыва двойной связи расстоянию между атомами углерода С—С (1,54 Å) соответствует расстояние Ni—Ni (2,27 Å). В решетке никеля наибольшее число атомов имеет расстояние 2,48 Å, т. е. близкое к 2,27 Å.

Согласно А. А. Баландину, по дублетному механизму, т. е. при двухточечной адсорбции, протекают многие реакции, в том числе реакции дегидрогенизации спиртов, углеводородов (см. рис. 35) и т. д. На рис. 38 показано расположение атомов при дегидрогенизации циклогексана на окислах хрома, молибдена, ванадия и др. (см. табл. 18), на рис. 39 — дегидрогенизация бутана по А. А. Баландину.

Помимо дублетного, нередко встречается триплетный механизм — трехточечной адсорбции



Некоторые реакции, как, например, дегидрирование циклогексана (гидрирование бензола), могут протекать и по секстетному механизму (рис. 40 и 41). На рис. 40 показано плоскостное расположение атомов молекулы циклогексана на поверхности

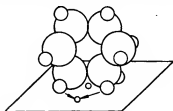


Рис. 38.



Рис. 39.

катализатора — внешний вид и план. На плане стрелками отмечено направление перехода атомов водорода к атомам катализатора. На рис. 41 изображен план плоскостного расположения молекул циклогексана (а) и декалина (б) на грани (111) никеля.



Рис. 40.



Рис. 41.

На рис. 42 и 45 приведена (вид и в плане) секстетная модель гидрогенизации бензола. Как при дегидрогенизации циклогексана, так и при гидрогенизации бензола на платине по теории А. А. Баладинна каталитически активной является октаэдрическая грань. Угловые атомы октаэдрической треугольной площадки притягивают атомы водорода, а атомы платины, находящиеся между ними, — атомы углерода.

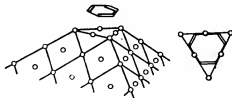


Рис. 42.

При одиоточечной адсорбции (один атом на поверхности) мультиплет неполный и процесс аналогичен гомогенному катализу. При одиоточечной адсорбции силы, деформирующие молекулы, малы и геометрический фактор роли не играет. Согласно

мультиплетной теории, независимо от того, активна ли вся поверхность катализатора или только часть ее, активные центры на поверхности катализатора расположены геометрически упорядоченно, отображая его кристаллическую решетку.

Как указывалось выше, принцип геометрического соответствия требует соответствия как расстояний, так и элементов симметрии реагирующей молекулы и катализатора. При секстетном механизме катализа в реакциях дегидрогенизации циклогексана или гидрирования бензола соответствие элементов симметрии по форме и расстоянию между атомами требует, чтобы катализатор—металл имел гранецентрированную кубическую или гексагональную решетку. Расстояния между атомами катализатора (удвоенный атомный радиус) должны лежать в пределах 2, 858 Å (Al)—2,448 Å (Ni). При других расстояниях атомы водорода в циклогексане или будут слишком удалены от притягивающих их атомов катализатора или кольцо не наложится на решетку. При несовпадении либо расстояния, либо типа решетки металл не будет каталитически активным. Активными являются:

	Атомный радиус, Å
Платина (гранецентрированная кубическая решетка)	1,385
Никель (гранецентрированная кубическая решетка)	1,224
Никель (гексагональная решетка)	1,245

Неактивны:

Серебро (гранецентрированная кубическая решетка)	1,442
Золото (гранецентрированная кубическая решетка)	1,439
Железо (объемноцентрированная кубическая решетка)	1,239
Вольфрам (объемноцентрированная кубическая решетка)	1,367

В табл. 19 приведены активные по отношению к реакции дегидрогенизации циклогексана (жирным шрифтом) и неактивные металлические катализаторы.

Те же геометрические соображения справедливы и для реакции гидрирования бензола на смешанных катализаторах. Так, сплав 74,9% Co + 21,7% Fe с решеткой типа симметрии Al еще активен, а сплав 50% Co + 50% Fe с решеткой типа симметрии A2 (табл. 19) уже не активен.

Следует указать, что при секстетной модели гидрирования бензола водород последовательно присоединяется к бензольному кольцу без того, чтобы последнее покидало свое плоскостное расположение на поверхности. Для каталитической изомеризации бутена-1 в бутен-2 необходимо расстояние между атомами катализатора в 3,5 Å. Такие катализаторы, как окись никеля, серная кислота, кремнезем с межатомными расстояниями 3,45—3,52 Å, в этой реакции каталитически активны. При каталитическом крекинге над природными алюмосиликатными катализаторами, в частности монтмориллонитовыми глинами, содержащими монтмориллонит, — $\text{Al}_2\text{O}_3 \cdot 4\text{SiO}_2 \cdot n\text{H}_2\text{O}$, расстояние

Катализаторы	$R, \text{\AA}$	Катализаторы	$R, \text{\AA}$	Катализаторы	$R, \text{\AA}$
Гранецентрированная кубическая решетка A1					
Sr	2,248	Tl	1,711	Ir	1,355
Ca	1,966	Ag	1,442	Rh	1,342
La	1,877	Au	1,439	Cu	1,275
Ce	1,811	Al	1,429	Co	1,254
Th	1,795	Pt	1,385	Ni	1,224
Pb	1,746	Pd	1,372		
Объемноцентрированная кубическая решетка A2					
Cs	2,62	Zn	1,56	W	1,367
Rb	2,44	Li	1,552	Mo	1,360
K	2,31	U	1,49	V	1,314
Ba	2,17	Ta	1,427	Cr	1,246
Na	1,86	Nb	1,426	γ Fe	1,239
Гексагональная решетка A3					
Er	1,865; 1,870	Hg	1,569; 1,600	Ru	1,322; 1,350
Pr	1,819; 1,828	Cd	1,486; 1,543	Co	1,247; 1,254
Nb	1,810; 1,828	Re	1,368; 1,377	Ni	1,245; 1,255
W	1,797; 1,832	Zn	1,330; 1,457	Be	1,112; 1,134
Mg	1,595; 1,643	Os	1,335; 1,365		
Решетка алмаза A4					
Sn	1,40	Si	1,17		
Ge	1,22	C	0,765		
Другие решетки					
In	1,62	Sb	1,45	As	1,25
Bi	1,55	Te	1,43	Ga	1,22
Se	1,51	Mn	1,28	Se	1,16
Hg	1,50				

между атомами кислорода в решетке этого минерала (2,55 Å) почти равно расстоянию между четными и нечетными атомами углерода в углеводородных цепях (2,54 Å).

Мультиплетная теория предсказывает, что для реакций дегидрирования спиртов пригодны катализаторы с меньшими межатомными расстояниями, чем для дегидратации. Это объясняется тем, что при дегидрировании адсорбируются атомы C—O (расстояние C—O равно 1,43 Å), а при дегидратации — атомы C—C (расстояние C—C равно 1,54 Å). Эксперимент полностью это подтверждает.

Мультиплетная теория объясняет, почему при гидрировании соединений с тройной связью на платине и других металлах в подавляющем большинстве образуются цис-, а не транс-оле-

фины, хотя транс-олефины термодинамически более устойчивы. Это связано с тем, что при двухточечной адсорбции тройной связи молекула укладывается на поверхности при удаленных заместителях.

Помимо принципа геометрического соответствия, при катализе должен соблюдаться принцип энергетического соответствия. Это означает, что связь между атомами катализатора и реагирующего вещества должна быть не слишком прочной и не слишком слабой, а оптимальной. Мультиплетная теория позволяет вычислить величину энергии этой оптимальной связи и тем самым предсказывать условия для подбора катализаторов, последовательного протекания реакций на данном катализаторе и рассчитывать энергию активации для однотипных реакций на определенном катализаторе.

Принцип энергетического соответствия. Согласно А. А. Баландину, наиболее медленным процессом в каталитической реакции может быть или адсорбция исходных веществ, или десорбция продуктов реакции. Иначе говоря, энергия активации зависит или от величины энергии адсорбции, или от величины энергии десорбции. Тем самым, мультиплетная теория рассматривает каталитические реакции, протекание которых не связано со значительным преодолением энергетического барьера при поверхностной диффузии адсорбированных молекул, в которых медленной стадией не является сам процесс химического взаимодействия, связанный со сближением адсорбированных молекул. Предполагают, что собственно химический этап протекает быстро и не может служить определяющей стадией реакции.

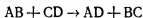
Если бы для осуществления реакции был необходим полный разрыв связей в реагирующей молекуле при ее адсорбции, то энергия активации равнялась бы или энергии адсорбции E' , в случае, если энергия адсорбции больше чем энергия десорбции, или — энергии десорбции E'' при обратном соотношении их величин. Если обозначить через ϵ энергию активации, то при полиом разрыве связей

$$\epsilon = -E' \text{ или } \epsilon = -E''.$$

Однако до полного разрыва связей дело обычно не доходит. Для катализа достаточно деформации связей. Поэтому обычно энергия активации меньше и равна примерно трем четвертям энергии адсорбции или десорбции

$$\epsilon \approx -\frac{3}{4} E' (E'').$$

Энергия адсорбции E' или десорбции E'' может быть в принципе найдена из энергий связей. Реакция (I)



протекает с разрывом связей А—В и С—D и образованием связей А—К, В—К, С—К и D—К (К—атом катализатора). В соответствии с этим на катализаторе для разрыва связей А—В требуется меньшая энергия, чем в газе

$$E_{AB, K} < Q_{AB}.$$

Теплота адсорбции E' , т. е. теплота образования поверхностного соединения АВ—К и CD—К, равна

$$E' = Q_{AB, K} + Q_{CD, K} = -Q_{AB} + Q_{AK} + Q_{BK} - Q_{CD} + Q_{CK} + Q_{DK}. \quad (95)$$

При разрыве связей энергия затрачивается (знак минус), при образовании — выделяется (знак плюс). При десорбции разрываются связи А—К, В—К, С—К и D—К, но образуются связи А—D и В—С. В соответствии с этим теплота десорбции равна

$$E'' = Q_{AD} - Q_{AK} - Q_{DK} + Q_{BC} - Q_{BK} - Q_{CK}. \quad (96)$$

Здесь Q_i — теплота разрыва (или образования) соответствующей связи. Обозначим теплоту реакции (I) через u

$$u = -Q_{AB} - Q_{CD} + Q_{AD} + Q_{BC}, \quad (97)$$

сумму энергий разрываемых и образующихся связей через S

$$S = Q_{AB} + Q_{CD} + Q_{AD} + Q_{BC}, \quad (98)$$

сумму энергий связей всех атомов с катализатором через q

$$q = Q_{AK} + Q_{BK} + Q_{CK} + Q_{DK}. \quad (99)$$

Величина q называется адсорбционным потенциалом. Знание этой величины позволяет вычислять E' или E'' , а тем самым энергию активации.

Из формул (95—99) следует, что

$$E' = q - \frac{S}{2} + \frac{u}{2}, \quad (100)$$

$$E'' = -q + \frac{S}{2} + \frac{u}{2}. \quad (101)$$

Рассмотрим, как влияет адсорбционный потенциал на величину энергии активации реакции. Реакцию задерживает тот энергетический барьер (E' или E''), который больше, так как процессы адсорбции и десорбции идут последовательно. Энергия активации, как уже указывалось, связана с E (E' или E'') соотношением

$$\epsilon \approx -\frac{3}{4} E. \quad (102)$$

Представим E как функцию q (рис. 43). Величины S и u в данной реакции постоянны и уравнения (100) и (101) являются уравнениями вида

$$y = x - a \text{ и } y = -x + b,$$

т. е. зависимость E от q выразится прямыми, идущими под углом 45° к осям координат (E и q выражены в одних и тех же единицах). На рис. 43 случай a относится к эндотермической реакции, случай b — к экзотермической. Нетрудно видеть, что

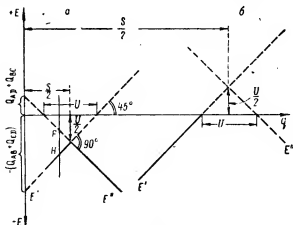


Рис. 43.

в зависимости от величины q , за исключением точки пересечения прямых, медленным процессом будет или адсорбция (слева от этой точки) или десорбция (справа). Так на линии FH энергия десорбции F меньше, чем адсорбции H , и поэтому процесс будет лимитироваться адсорбцией. Жирными линиями показано возможное в действительности изменение энергетического барьера с адсорбционным потенциалом, пунктирные линии не могут быть реализованы, так как при этом реакция должна идти с отрицательной энергией активации.

В точке пересечения прямых для эндотермической реакции выполняются оптимальные условия — наименьшая энергия активации. Подбирая катализатор с адсорбционным потенциалом, близким к половине теплоты реакции, можно получить наибольшую скорость процесса. Для оптимальных условий катализа в эндотермической реакции

$$E = \frac{u}{2}, \quad q = \frac{S}{2}.$$

Таким образом, определив энергию активации ϵ и найдя из нее E , можно решить вопрос, является ли взятый катализатор наиболее активным и следует ли его улучшать. Улучшение

катализатора может идти по линии изменения его химической природы или изменения избыточной свободной энергии катализатора, которая зависит от способа его приготовления. Чем больше абсолютное значение разности $(q - \frac{S}{2})$, тем, очевидно,

больше возможности для улучшения катализатора. При $q = \frac{S}{2}$ наступает предел активности и уменьшить энергию активации можно только меняя механизм реакции.

Из рис. 43 видно, что не всегда увеличение q способствует катализу. Как слишком слабая связь (малое q), так и слишком прочная связь (большое q) вредят катализу. Для экзотермической реакции оптimum размазан и в пределе q может меняться от $\frac{S-U}{2}$ до $\frac{S+U}{2}$. Предельный случай соответствует

нулевой энергии активации. Но тогда процесс будет лимитироваться не скоростью адсорбции или десорбции, а скоростью процесса химического взаимодействия, энергией активации поверхностной диффузии. Но если процесс протекает в области, лимитируемой адсорбцией или десорбцией, то можно предсказать последовательность прохождения различных реакций. Примеры будут приведены ниже.

Величину адсорбционного потенциала можно определить различными методами. Если считать, что энергия связи атомов адсорбированной молекулы с атомами катализатора не зависит от окружения (соседние атомы катализатора, зарамочные заместители) и не меняется заметно при переходе из поверхностного слоя в объем фазы, то ее значение можно получить из термохимических данных. Так, при помощи термохимических и спектральных методов, по теплотам образования и энергии диссоциации гидрида, окисла, галондопроизводных и других соединений никеля можно рассчитать энергию связи никелевого катализатора с соответствующими атомами. Так, например,

Ni-C	6	ккал/моль	Ni-F	98	ккал/моль
Ni-N	18	" "	Ni-Cl	67	" "
Ni-O	48,5	" "	Ni-Br	54	" "
Ni-S	42	" "	Ni-C	19	" "
Ni-H	55	" "			

Приведенные величины энергии связи атомов с катализатором, полученные из термохимических данных, зависят только от химической природы адсорбированного атома и катализатора. Эту термодинамически найденную величину, относящуюся к массе вещества, обозначим $Q_{A,K}^0$. Зная величины $Q_{A,K}^0$, можно вычислить энергию адсорбции или десорбции на никелевом катализаторе. Теплоту образования мультиплетного комплекса E' и его распада E'' можно вычислить по уравнениям (95)

и (96). Можно также рассчитать энергию связи двух атомов на поверхности никеля по формуле

$$-E_{AB, Ni} = Q_{AB} - Q_{ANi}^0 - Q_{BNi}^0 \quad (103)$$

В табл. 20 приведены значения энергии связи в газовых молекулах, в табл. 21 энергия связей на никеле. Последние рассчитаны по формуле (103) и по значениям $Q_{A,K}$ приведенным выше.

Таблица 20

	C	N	O	S	H	Cl	Br	F	C=
C	66,2								46,7
N	55,5	60							55,5
O	77,1	44	47						83,4
S	59	115	(64)	70					62
H	90,6	84,3	110,6	87,7	104,2				—
Cl	73	37	52	65	103,1	57,9			—
Br	60	58	48	56	87,4	52,1	46,1		—
F	94	55	45,3	73	135	60,5	50,6	37	—

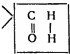

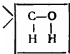

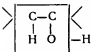
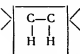

Таблица 21

	C	C=	N	O	S	H	Cl	Br	F
C	-54,2								
C=	41,2	-28,2							
N	-31,5	-18,5	-24						
O	-22,6	-9,6	+22,5	+50					
S	-11	+2	-55	(+26,5)	+14				
H	-29,5	-16,5	-11,3	-7,1	+10,7	+5,8			
Cl	0	—	+48	+63,5	+44	+18,9	+76,1		
Br	0	—	+14	+54,5	+40	+21,6	+68,9	+62,9	
F	+10	—	+60	-101,2	+67	+18	+104,5	+101,6	+159

Как видно из табл. 20 и 21, между величинами энергии связи в газовой фазе и на катализаторе нет никакой зависимости. Энергия связи C—H в газовой фазе и на никеле равны соответственно +90,6 и -29,5, связи H—H 104,2 и 5,8 и т. д. Зная $Q_{A,K}^0$ можно также вычислить по уравнениям (95) и (96) энергию адсорбции E' или десорбции E'' . Подсчеты показывают, что на никеле наиболее медленной стадией является образование мультиметного комплекса, тогда как на угле — его разложение. Вычислив по уравнению (95) энергию адсорбции для различных реакций, можно предсказать последовательность, в которой рас-

полагаются по скорости реакции различных типов. Примеры величин E' для некоторых реакций на никелевом катализаторе приведены в табл. 22.

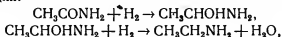
Таблица 22

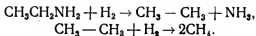
Разрываемые связи	Пример реакции	E , ккал/моль
	Гидрогенизация ацетальдегида	-10
	Гидрогенолиз спирта	-17
	Дегидрогенизация спирта	-23,5
	Гидрогенолиз этиламина	-25,5
	Дегидратация спирта	-26
	Дегидрогенизация углеводородов	-33
	Гидрогенолиз углеводородов	-48,5

Чем отрицательнее E' (или E''), тем больше энергия активации, и, следовательно, тем меньше скорость реакций.

В последовательных реакциях раньше идет та, которая стоит выше в табл. 22.

Так, например, при разложении (гидрогенолизе) ацетамида на никеле по мере повышения температуры последовательно идут реакции:





Последовательность реакций можно рассчитать для различных реакций, как эндотермических, так и экзотермических. Можно рассчитать, что при гидрировании фурановых соединений на никелевом катализаторе процесс идет в следующем порядке:

Гидрогенизация олефиновой связи \rightarrow Гидрогенизация карбонильной связи \rightarrow Гидрогенизация первой двойной связи в фурановом цикле \rightarrow Гидрогенолиз эфирной связи в фурановом цикле.

Было исследовано большое количество различных реакций на никеле и для всех подтвердились выводы мультиплетной теории. Однако термохимический метод определения адсорбционного потенциала неточен, так как в нем пренебрегается влиянием заместителей и структуры катализатора на величину энергии связи атомов с катализатором. Кроме того, этот метод применим для ограниченного числа металлических катализаторов и угля. Для благородных металлов, окислов, сульфидов и других соединений термодинамически определить энергию образования поверхностных соединений вообще невозможно.

Для того чтобы учесть влияние структуры катализатора на величину адсорбционного потенциала, а также заместителей, необходимо определить величину энергии связи атомов реагирующего вещества с поверхностными атомами катализатора. Необходимо учесть, что строение промежуточного состояния при катализе сложное и включает, согласно мультиплетной теории катализа, шесть слоев

- VI Диффузионный слой
- V Адсорбционный слой
- IV Слой заместителей
- III Слой реагирующих атомов
- II Слой активных центров
- I Внутренний слой катализатора

Между II и III слоем проходит (по А. А. Баладину) фазовая граница и именно здесь образуется поверхностное соединение. Однако на энергию связей в этом соединении оказывают влияние как вышележащие (радикалы и атомы, находящиеся над поверхностью), так и нижележащие частицы—I слой. Определенная термохимически энергия связи зависит только от химической природы атомов реагирующего вещества и катализатора. Если определить энергию связи поверхностного соединения на катализаторе $Q_{\text{A, K}}$, то эта величина будет зависеть не только от химической природы реагирующих веществ, но и от способа приготовления катализатора, отразит влияние I слоя и окружающих активный центр атомов II слоя, т. е. будет зависеть от избыточной свободной энергии твердого тела.

Наконец, определив $Q_{A,K}$ реакций с одной реагирующей группой, но разными заместителями, можно вычислить влияние заместителей. Обозначим адсорбционный потенциал поверхностного соединения атомов катализатора и реагирующей молекулы через q

$$q = \sum_i Q_{A,K}.$$

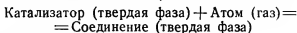
Через q^0 обозначим адсорбционный потенциал тех же атомов, определенный по термодинамическим (термохимическим) данным

$$q^0 = \sum Q_{A,K}^0.$$

Так как $q \neq q^0$, то разницу между ними обозначим λ

$$q = q^0 + \lambda. \quad (\text{VII}, 21)$$

В уравнении (VII, 21) величина q^0 характеризует свойства поверхностного соединения, λ — способа приготовления катализатора. Чтобы определить чему равно λ , найдем разницу $q^0 - q$. При образовании соединения по реакции



выделяется тепло Q_{A-K}^0 , или схематически

$$K_{\text{реш}} + A_{\text{газ}} = A - K_{\text{реш}} + Q_{A-K}^0. \quad (a)$$

При образовании поверхностного соединения в реакции участвует атом поверхности катализатора, находящийся на активном центре



Здесь $A - K, K_{\text{пов. соедин}}$ — поверхностное соединение с атомом катализатора, находящееся в окружении других атомов катализатора. Вычитая из (a) (б), получим,

$$K_{\text{реш}} - K_{\text{ак. центр}} = A - K_{\text{реш}} - A - K, K_{\text{пов. соедин}} + Q_{AK}^0 - Q_{AK},$$

откуда

$$Q_{AK} = Q_{AK}^0 + A - K_{\text{реш}} - A - K, K_{\text{пов. соедин}} - K_{\text{реш}} + K_{\text{ак. центр}}. \quad (104)$$

Обозначим четыре последних слагаемых через λ_i , тогда

$$\begin{aligned} Q_{AK} &= Q_{AK}^0 + \lambda_i, \\ q &= \sum Q_{AK} = \sum Q_{AK}^0 + \sum \lambda_i = q^0 + \lambda. \end{aligned}$$

Чтобы найти λ_i , необходимо вычислить энергию, связанную с переходом вещества из объема фазы на поверхность. Такой

процесс составляет часть процесса возгонки. Поэтому λ_l и λ называют сублимационным членом. Для того чтобы перевести атом из внутренней области фазы в газ, нужно затратить энергию сублимации (возгонки) λ . Для перевода атома с гладкой поверхности в газ, согласно теореме Лапласа, требуется энергия $1/2\lambda$, с выступа — меньше $1/2\lambda$. Чем острее выступ, тем меньше атомов окружают вершину выступа и тем слабее притяжение атома, находящегося на вершине выступа, тем легче этому атому перейти в газ.

Таким образом, энергия возгонки атома с поверхности в газ составляет $\beta\lambda$, где β меняется в пределах $0 < \beta < 1/2$. При переводе атома катализатора из кристаллической решетки на поверхность катализатора необходимо затратить энергию $\alpha\lambda_K$, где

$$\alpha\lambda_K = \lambda_K - \beta\lambda_K,$$

и α , равное $(1-\beta)$, может меняться в пределах $1/2 < \alpha < 1$. Энергия возгонки λ_K складывается из энергии перевода атома из решетки на поверхность $\alpha\lambda_K$ и из энергии возгонки с поверхности $\beta\lambda_K$.

Согласно А. А. Баландину, катализаторы обычно обладают микрошероховатой структурой поверхности. Например, при дегидрогенизации несимметричного дифенилэтилена активные центры находятся на выступах, так как иначе при дублетной модели вторая фенильная группа стерически препятствовала бы гидрогенизации. Там же должны находиться и активные центры при дегидрогенизации других алкилбензолов. В соответствии со сказанным выше перевод атома катализатора из объема фазы на поверхность требует затраты энергии $\alpha\lambda_K$, т. е.

$$K_{\text{реш}} = K_{\text{ак. центр}} - \alpha\lambda_K. \quad (105)$$

При переходе молекулы поверхностного соединения атома катализатора с атомом реагирующего вещества из газа внутрь кристаллической решетки, т. е. при кристаллизации этого соединения, выделяется тепло λ_{A-K}

$$A - K_{\text{газ}} = A - K_{\text{реш}} + \lambda_{A-K}. \quad (8)$$

Обозначим энергию, выделяющуюся при конденсации молекулы $A-K$ на поверхности катализатора, т. е. энергию адсорбции соединения $A-K$, через $\lambda_{A-K, K}$. Тогда

$$A - K_{\text{газ}} = A - K, K_{\text{пов. соед}} + \lambda_{A-K, K}. \quad (2)$$

Вычитая из (2) уравнение (8), получим

$$A - K_{\text{реш}} - A - K, K_{\text{пов. соед}} = -\lambda_{A-K} + \lambda_{A-K, K}. \quad (106)$$

После подстановки уравнений (105) и (106) в (104) получим

$$Q_{AK} = Q_{AK}^0 + \alpha\lambda_K - \lambda_{A-K} + \lambda_{A-K, K}.$$

Сопоставление полученного выражения с (VII, 21) дает

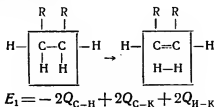
$$\lambda = \alpha \lambda_K - \lambda_{A-K} + \lambda_{A-K,K}$$

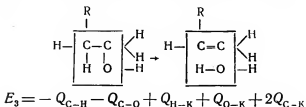
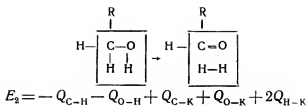
Величины λ_K и λ_{A-K} в некоторых случаях могут быть определены экспериментально; иногда можно так же судить и о порядке величины $\lambda_{A-K,K}$. Например, для никеля $\lambda_K = 101$, $\lambda_{Ni-O} = 117$, откуда $\lambda_{Ni-O} = 58$. Величину λ можно рассчитать по разности $q - q_0$ (см. уравнение VII, 21). Обе эти величины поддаются измерению для некоторых катализаторов.

Для всех катализаторов непосредственно можно измерить q , адсорбционный потенциал, характеризующий связи в поверхностном соединении. Величина λ зависит от генезиса катализатора, способа его приготовления и для окислов может меняться в значительных пределах. Для металлов влияние λ на q меньше. Это связано с тем, что в металлах труднее изменить кристаллическую структуру, тогда как в оксидах катализатор может находиться в разных состояниях — от аморфного до устойчиво-кристаллического (см. § 25).

Если $\lambda \gg q^0$, то $q \approx \lambda$ и каталитическая активность будет зависеть не столько от химической природы катализатора, сколько от способа его приготовления. Это будет наблюдаться в тех случаях катализа, когда особое значение играют активные центры. Если $q^0 \gg \lambda$, то $q \approx q^0$ и каталитическая активность всецело будет определяться химической природой катализатора и зависеть исключительно от величины его поверхности. Этот случай катализа рассматривается в следующем параграфе. Измерение адсорбционного потенциала q может быть произведено двумя методами: кинетическим и методом адсорбционных химических равновесий.

Кинетический метод определения адсорбционного потенциала основан на измерении энергии активации нескольких реакций с участием одних и тех же атомов и на одном и том же катализаторе. Так, для определения энергии связей катализатора с атомами C, H и O необходимо измерить энергию активации трех реакций, в которых участвуют эти атомы, например энергию активации реакций дегидрогенизации углеводорода, дегидрогенизации спирта и дегидратации спирта. Зная энергию активации, можно вычислить энергию адсорбции (или десорбции) по уравнению (102). Схематически реакции протекают следующим образом:





Энергии связей в газовой фазе равны: $Q_{\text{C-H}} = 90,5$, $Q_{\text{O-H}} = 110,6$ и $Q_{\text{C-O}} = 77,1$ ккал/моль.

Из последних трех уравнений для E_1 , E_2 , и E_3 следует, что адсорбционный потенциал для связей H-K , C-K и O-K равен

$$\begin{aligned}
 Q_{\text{H-K}} &= \frac{1}{2} \left(\frac{1}{2} E_1 + E_2 - E_3 \right) + \frac{1}{2} (Q_{\text{C-H}} + Q_{\text{O-H}} - Q_{\text{C-O}}) = \\
 &= \frac{1}{2} \left(\frac{1}{2} E_1 + E_2 - E_3 \right) + 62 \text{ ккал.}
 \end{aligned}$$

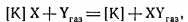
$$\begin{aligned}
 Q_{\text{C-K}} &= \frac{1}{2} \left(\frac{1}{2} E_1 - E_2 + E_3 \right) + \frac{1}{2} (Q_{\text{C-O}} + Q_{\text{C-H}} - Q_{\text{O-H}}) = \\
 &= \frac{1}{2} \left(\frac{1}{2} E_1 - E_2 + E_3 \right) + 28,5 \text{ ккал.}
 \end{aligned}$$

$$\begin{aligned}
 Q_{\text{O-K}} &= \frac{1}{2} \left(E_2 + E_3 - \frac{3}{2} E_1 \right) + \frac{1}{2} (Q_{\text{O-H}} + Q_{\text{C-O}} - Q_{\text{C-H}}) = \\
 &= \frac{1}{2} \left(E_2 + E_3 - \frac{3}{2} E_1 \right) + 48,6 \text{ ккал.}
 \end{aligned}$$

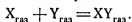
Аналогичным путем можно определить и адсорбционные потенциалы других связей. Если брать различные радикалы-заместители, то можно так же измерить влияние заместителей. Необходимо только, чтобы механизм реакции был атомный, а не ионный. Атомный механизм реакций дегидрогенизации спиртов и углеводов и дегидратации спиртов над определенными окислами был установлен непосредственно — методом меченых атомов. Было установлено так же, что заместители предельного ряда, входящие в молекулы, оказывают слабое влияние на энергии связи с катализатором. Заместители, обуславливающие появление энергии стабилизации (карбоксильная, фенильная группы и т. п.), сильно влияют на Q_{AK} .

Метод адсорбционно-химических равновесий заключается в исследовании равновесия реакции между

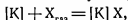
веществами, находящимися на поверхности катализатора, и в газовой фазе



где $[K]$ — поверхность катализатора



Из этих двух уравнений можно получить данные для равновесия



которые можно сопоставить с равновесием для объемной фазы катализатора



Таким путем можно измерить изменения свободной энергии ΔF° и энтальпии ΔH° поверхностного слоя и величину энергии связи $Q_{X-[K]}$

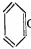
$$Q_{X-[K]} = - \frac{\Delta H^\circ - \frac{1}{2} Q_{X-X}}{n}.$$

Здесь Q_{X-X} — энергия диссоциации молекулы X_2 , а n — валентность X .

Если диссоциации нет, то $Q_{X-X} = 0$. $Q_{X-[K]}$ рассчитывается на одну связь $X-[K]$, независимо от валентности. Беря в качестве X различные атомы (O, C, N, S и т. д.), а в качестве соединений XY молекулы H_2O , CH_4 , NH_3 и т. п., можно получить величины энергии связи катализатора с различными атомами. Кинетический метод и метод адсорбционно-химических равновесий, как правило, дают совпадающие величины адсорбционных потенциалов.

В табл. 23 приведены энергии связи металлических катализаторов в ккал.

Таблица 23

Катализатор	H	—C	=C	≡C	ΔC	 C	O	N
Ni	50,1	7,7	19,9	34,5	23,5	32,8	57,5	20,2
Fe	49,4	50,2	19,3	—	21,8	—	58,9	23,0
Pt	54,2	55,2	14,1	28,4	20,5	28,7	34,1	18,3
Pd	53,3	54,3	15,0	29,8	22,0	—	43,9	16,0

В табл. 24 приведены значения энергии связи атомов (в ккал) H, C, и O на различных окисных катализаторах.

Таблица 24

Катализатор	Способ его приготовления	Q_{H-K}	Q_{C-K}	Q_{O-K}
Cr_2O_3	Из нитрата хрома, осаждение аммиаком	56,1	19,8	51,5
"	Из нитрата хрома, осаждение содой	53,7	11,1	74,1
"	Прокаливание бихромата аммония на асбесте	57,7	14,8	35,1
"	Из нитрата хрома, осаждение аммиаком на асбесте	60,7	11,9	44,9
BeO	Из нитрата бериллия, осаждение аммиаком	49,8	11,3	66,8
Al_2O_3	Из нитрата алюминия, осаждение аммиаком	38,6	33,4	44,0
GeO_2	Из нитрата германия, осаждение аммиаком	57,6	11,5	49,0
TiO_2	Из $TiCl_3$, осаждение аммиаком	54,3	19,2	46,9
"	Из $TiCl_4$, осаждение аммиаком	66,0	10,1	46,5
ZrO_2	Из нитрата циркония, осаждение аммиаком	59,8	7,8	31,9
MoO_3	Разложение молибдата аммония	40,2	23,2	65,6
WO_3	Разложение вольфрамовой кислоты	50,0	22,3	40,5
MnO	Из нитрата марганца, осаждение аммиаком	43,6	25,6	54,2
ThO_2	Из нитрата тория, осаждение аммиаком	65,2	10,8	52,5

Из табл. 24 видно, что изменение природы катализатора и способа его приготовления сильно влияет на величину энергии связи. Для окиси хрома способ приготовления катализатора сравнительно мало сказывается на прочности связи $H-K$ и сильно на энергиях связи $C-K$ и $O-K$. В реакциях, где реагирующими атомами будут кислород и углерод, способ приготовления катализатора сильно скажется на величине энергии активации реакции на окиси хрома. Там же, где скорость реакции зависит от связи $H-K$, решающую роль будет играть химическая природа катализатора. Химический состав катализатора играет решающую роль в таких каталитических процессах, когда активна вся поверхность катализатора.

§ 40. Теория активной кристаллической поверхности

Теория активной кристаллической поверхности предполагает, что носителем каталитических свойств является сама кристаллическая поверхность, а не отдельные ее участки — активные центры. Каталитическая активность определяется не способом приготовления катализатора, а его химической природой и величиной поверхности. Поэтому величина удельной поверхности должна служить одной из основных характеристик катализато-

ра. Наиболее полно и последовательно эти положения развиты в работах Г. К. Борескова.

Обоснованием подобных представлений является прежде всего факт изменения свойств катализатора в процессе его работы — «доприготовление» катализатора. Для многих каталитических реакций изменение состояния поверхности за счет воздействия реагирующих веществ сказывается сильнее, чем исходная неоднородность. Так, пары метанола действуют в процессе катализа на окись цинка во много раз сильнее, чем первоначальные различия в электронной структуре образца.

В ряде случаев удельная каталитическая активность катализатора почти не меняется при значительном изменении величины поверхности катализатора и условий его приготовления. Так, например, платина на силикагеле и платиновая проволока в реакции окисления двуокиси серы при величине поверхности соответственно $3 \cdot 10^5$ и 20,6 на 1 г платины дают практически совпадающие значения удельной активности. Константы скорости этой реакции равны $k = 0,37 \cdot 10^{-2}$ и $0,49 \cdot 10^{-2}$ на 1 см^2 поверхности. В реакции окисления водорода различие в удельной активности более значительно и составляет 14 и 5,5 соответственно. При гидролизе хлорбензола на силикагеле изменение температуры прокаливания катализатора с 525 до 900°C почти не меняет удельную каталитическую активность. Можно привести и ряд других примеров независимости удельной каталитической активности от способа приготовления катализатора. Очевидно, что такое утверждение справедливо лишь для реакций, для которых термохимический адсорбционный потенциал q_0 много больше сублимационного члена λ (§ 39). Таким образом, в этом отношении теория активной кристаллической поверхности является развитием частного положения мультиплетной теории. Вместе с тем теория активной кристаллической поверхности шире мультиплетной теории, так как включает в рассмотрение механизма реакции не только процессы адсорбции и десорбции, как в мультиплетной теории, но и процесс химического взаимодействия (или поверхностной диффузии).

Теория катализа всей кристаллической поверхностью твердого тела наиболее полно и последовательно изложена в работах Г. К. Борескова. Согласно Г. К. Борескову, каталитическая реакция идет через три элементарных этапа: 1) адсорбция исходных веществ; 2) химическое взаимодействие их на катализаторе; 3) десорбция продуктов реакции.

Механизм каталитической реакции и лимитирующая стадия могут быть определены исходя из экспериментально установленной формы кинетического уравнения и характера адсорбции (слабая, сильная, средняя — см. § 37). Форма кинетического уравнения зависит как от характера адсорбции, так и, главным образом, от природы лимитирующей стадии.

В отличие от гомогенных реакций в кинетическое уравнение

гетерогенной каталитической реакции могут входить как исходные вещества, так и продукты реакции. Порядок реакции по отдельным веществам может быть не только положительным, но и отрицательным. Это наблюдается, если продукты реакции адсорбируются сильнее, чем исходные вещества. Например, разложение N_2O на Pt , Ag , CuO , CdO тормозится кислородом. Скорость реакции равна

$$-\frac{dp_{N_2O}}{dt} = \frac{kb_{N_2O} p_{N_2O}}{1 + b_{O_2} [O_2]},$$

где b — коэффициент адсорбции (см. § 37).

Скорость окисления сернистого газа на некоторых образцах катализатора, содержащего пятиокись ванадия, подчиняется уравнению

$$\frac{dc_{SO_2}}{dt} = k \frac{c_{SO_2} c_{O_2}}{c_{SO_3}}.$$

Скорость разложения аммиака на платине обратно пропорциональна концентрации образовавшегося водорода и т. д. Кинетическое изучение механизма гетерогенной каталитической реакции может быть одним из методов изучения свойств поверхностных соединений. Специфика этих соединений состоит в том, что катализатор — твердое тело со сложной электронной структурой — может образовывать соединения с различной энергией связи. Энергия связи молекулы с катализатором зависит от числа уже прореагировавших молекул. Поверхностные соединения богаче по набору возможных энергий связей и менее дискретны по своим свойствам, чем обычные химические соединения.

По теории активной кристаллической поверхности основной критерий свойств катализатора — удельная каталитическая активность, должна быть связана с химической природой катализатора, его положением в периодической системе элементов. Пока, однако, имеется слишком мало экспериментального материала для создания каких-либо обобщений в этом направлении. Теория активной кристаллической поверхности применима к таким реакциям на различных катализаторах, в которых лимитирующей является одна и та же элементарная стадия, например адсорбция кислорода, водорода, перегруппировка атомов в реакции $2SO_2 + O_2 \rightarrow 2SO_3$ и т. п.

§ 41. Теория пересыщения

Теория пересыщения была предложена С. З. Рогинским в 1934 г. Теория пересыщения рассматривает влияние способа приготовления катализатора на его каталитическую активность и приписывает решающую роль активным центрам, появление которых связано с генезисом катализатора. Иначе говоря, теория

пересыщения — это теория приготовления активных катализаторов, теория таких каталитических процессов, в которых влияние сублимационного члена λ во много раз превосходит влияние химической природы катализатора. Теория пересыщения не конкретизирует природу и структуру активной поверхности, а, исходя из термодинамических понятий, устанавливает общие принципы изменения каталитической активности в зависимости от термодинамического состояния катализатора.

Теория пересыщения исходит из принципа необходимости наличия у поверхности катализатора избыточной свободной энергии. Чем выше ее величина, тем активнее должен быть катализатор. Мерой этой избыточной энергии является избыток свободной энергии на $1 \text{ г} \cdot \text{моль}$ катализатора. Ее источником является свободная энергия химической реакции образования катализатора. Все активные катализаторы по этой теории являются энергетически пересыщенными — отклонены от термодинамически устойчивого состояния минимума свободной энергии. Сама избыточная свободная энергия твердого тела в катализе непосредственно не используется и не проявляется, но является необходимой предпосылкой каталитической активности поверхности.

Теория пересыщения — это не теория активной поверхности, а теория получения активной поверхности. Тела, активные каталитически, активны термодинамически. У них завышены тепловые эффекты растворения, наблюдаются ложные равновесия, аномальны значения физических констант и состава и т. д. Теория пересыщения не утверждает, что катализ может осуществляться только неравновесными структурами, но исходит из того факта, что энергетически пересыщенные катализаторы — это наиболее распространенный и наиболее важный вариант катализа.

Виды пересыщений могут быть разнообразными, но основными являются 4 типа пересыщений.

1) Фазовые пересыщения. Термодинамически метастабильные фазы, более активные, чем стабильные. Поверхностная энергия метастабильной кристаллической фазы больше, чем у стабильной, что равноценно повышению сродства к реагирующему веществу, связанному с уменьшением энергии активации. Однако слишком сильное пересыщение может привести к образованию относительно прочих соединений, что ухудшает каталитическую активность. Наибольшим пересыщением обладают аморфные фазы.

2) Структурные пересыщения — неправильный рост кристаллов, дефекты в кристаллической решетке, изменения расстояний между узлами решетки — деформация решетки, недостаток или избыток атомов в решетке и т. п.

3) Примесные пересыщения, связанные с включением в решетку посторонних молекул или атомов.

4) Дисперсионные пересыщения — степень развития поверхности твердого вещества. С повышенным степенем измельчения свободная энергия вещества растет (см. § 25).

Избыточная свободная энергия равна

$$\Delta\Phi = \Phi_{\text{акт}} - \Phi_{\text{ин.}}$$

где $\Phi_{\text{акт}}$ и $\Phi_{\text{ин.}}$ — свободная энергия активной (метастабильной) и инертной (стабильной) формы катализатора. Избыточная свободная энергия катализатора может быть тем больше, чем дальше от равновесия проводится процесс получения катализатора.

При приготовлении активных катализаторов с примесным пересыщением первостепенное значение имеет состав среды, из которой готовится катализатор. Обычно существует оптимум по содержанию примеси, и избыток примеси снижает активность. Слишком сильное пересыщение также вредно. Поэтому требуется оптимум и по содержанию примеси и по пересыщению. Чем выше пересыщение, тем меньше оптимальная концентрация примеси.

С увеличением пересыщения одновременно увеличиваются как скорость химической реакции, так и скорость активированной адсорбции. При различных формах захвата примесей их действие может быть различным (объяснение этому явлению будет дано в § 43). Одни и те же вещества в микродозах могут или усиливать действие катализатора — активировать его, или уменьшать каталитическую активность. Вещества, не являющиеся катализаторами, но усиливающие каталитическую активность, называются активаторами или промоторами. Вещества, снижающие каталитическую активность — отравляющие катализатор, называются ядами.

§ 42. Яды и активаторы в катализе

Известен целый ряд веществ, которые, не являясь катализаторами, активируют катализатор. Такие вещества — активаторы или промоторы — широко применяются в промышленности. Они повышают либо активность, либо селективность, либо время жизни катализатора. Так, например, добавление окиси калия или окиси натрия к пятиокиси ванадия увеличивает его каталитическую активность в реакции окисления двуокиси серы.

Промоторы можно разделить на две основные группы: структурообразующие и модифицирующие. Структурообразующие промоторы действуют в относительно больших концентрациях. Так, гидрирование фенола в циклогексанол над никелем идет лучше в присутствии 20% раствора соды; разложение перекиси водорода над окисью железа идет с максимальной скоростью при добавке 2% окиси алюминия, добавление нескольких процентов Al_2O_3 к Fe_3O_4 увеличивает после восстановления железа активность этого катализатора в реакции синтеза аммиака почти

вдвое и т. д. Все промоторы, как структурообразующие, так и модифицирующие, имеют критическую концентрацию. До этой концентрации добавление промоторов увеличивает каталитическую активность, после — снижает.

Механизм действия структурообразующих промоторов состоит в закреплении неравновесной структуры катализатора — сохранении пересыщения (избыточной свободной энергии). Промотор препятствует рекристаллизации, стабилизирует неоднородную поверхность, увеличивает удельную поверхность. Например, при синтезе аммиака, после восстановления магнетита Fe_3O_4 , катализатор (железо) имеет вид губки, состоящей из зерен железа, покрытых тонкой пленкой Al_2O_3 , препятствующей срастанию кристалликов. Трудновосстанавливаемые окислы, вводимые в восстанавливаемую окись, стабилизируют структуру образующегося металла.

Сохранение неравновесности структуры наблюдается и для окислов. Так, окись цинка — активный катализатор синтеза метанола — быстро теряет активность в результате рекристаллизации. Промотором может быть окись хрома ($\text{ZnO} : \text{Cr}_2\text{O}_3 = 2 : 1$). При совместном осаждении гидратов окисей или карбонатов цинка и хрома и последующем прогреве при 400° полученный катализатор является аморфным. В результате нагревания до 600° на рентгенограммах катализатора появляются дифракционные линии окиси цинка и каталитическая активность исчезает. Даже небольшое добавление окиси хрома ($\text{ZnO} : \text{Cr}_2\text{O}_3 = 20 : 1$) препятствует росту кристаллов окиси цинка при 400° . Нагревание окиси цинка при этой температуре в течение 15 часов дает увеличение среднего размера кристаллов от 250 до 350 Å, тогда как в присутствии окиси хрома размер кристаллов окиси цинка увеличивается со 130 до 170 Å.

Модифицирующие промоторы могут действовать в очень малых концентрациях. С. З. Рогинским и его учениками было открыто явление промотирования тонких слоев металла микроколичествами газов — азота, водорода, кислорода. Так, каталитическая активность платины достигает максимума в реакции окисления водорода при введении кислорода в количество $3 \cdot 10^{-6}$ от необходимого для покрытия поверхности монослоем.

В реакции окисления водорода активными являются не атомы металла, а участки поверхностного окисла Me_xO_y . Платина, осажденная на силикагеле, активируется по отношению к реакции окисления водорода сульфатом натрия. Максимум активности соответствует добавке 0,0025% сульфата натрия. В особенности велика роль модифицирующих промоторов в окислительно-восстановительных реакциях, где каталитический эффект связан с переходом электронов от твердого тела или к нему.

Модифицирующие промоторы окислительно-восстановительных реакций — это добавки, обладающие электроно-донорными или акцепторными свойствами, или же вызывающие появле-

ние таких веществ в результате химической реакции с катализатором. Это могут быть атомы металла, кислорода, серы, мышьяка, посторонние ионы переменной валентности, отличные от атомов, образующих кристаллическую решетку, по своему заряду и сродству к электронам. Например, ионы Fe^{2+} или Mn^{2+} в решетках MgO и CdO , ионы Li^+ в решетке NiO и т. п.

При кислотно-щелочном катализе активация катализатора может быть вызвана добавкой или обладающей повышенными кислотно-основными свойствами, или повышающей кислотно-основные свойства катализатора, как например, соединения с подвижным водородом, в частности вода. Апротонные кислотоподобные вещества, например алюмосиликатные катализаторы крекинга, образуют с водой соединения с поверхностными протонными кислотными группами. Нередко промотирование микроколичествами добавок связано с появлением полупроводниковых свойств.

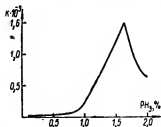


Рис. 44.

Как установлено С. З. Рогинским и его учениками, модифицирующий промотор до определенной концентрации может повышать активность катализатора, а свыше определенной — снижать ее. В связи с этим чрезвычайно характерно влияние на каталитическую активность ядов — веществ, вызывающих падение активности катализатора. Так, распад перекиси водорода на хромите меди сначала усиливается при добавлении фосфина, а затем начинается резкое уменьшение активности катализатора (рис. 44). Аналогично влияет на катализаторы глубокого окисления бензина добавка тетраэтилсвинца. Разложение перекиси водорода при добавке тетраэтилсвинца достигает максимума при содержании его $\sim 0,23\%$, с резким спадом активности с увеличением или уменьшением количества яда.

Изменение активности катализатора может быть связано с изменениями энергии активации, энтропии активации и с ростом числа активных центров. Константа скорости каталитической реакции может быть выражена уравнением

$$k = k_0 e^{-\frac{E}{RT}} \quad (107)$$

В формуле (107) множитель k_0 включает энтропийный член (см. § 9) и число активных центров. Уменьшение или увеличение энергии активации вызывается большими или меньшими отклонениями от оптимальной связи катализатора с реагирующим веществом (§ 39), образованием поверхностного соединения с энергией связи, близкой к оптимальной (уменьшение E) или, наоборот, слишком слабой или слишком прочной связи.

Изменение k_0 может быть связано с изменением энтропии активации — уменьшением или увеличением числа степеней свободы в поверхностном соединении по сравнению с исходным состоянием. Диссоциация молекулы при адсорбции на атомы или радикалы приводит к увеличению энтропии активации, но слишком прочная связь радикалов с катализатором, переход от не локализованной к локализованной адсорбции радикалов, вызывает уменьшение энтропии активации. Увеличение числа активных центров так же увеличивает k_0 , не меняя при этом E .

В зависимости от соотношения изменений k_0 и E промотирующая добавка может по-разному влиять при разных температурах на активность катализатора. Если добавка промотора сначала увеличивает E и k_0 , а затем уменьшает, то при низких температурах должен быть минимум активности, переходящий с ростом температуры в максимум, так как с повыше-

нием температуры множитель $e^{-\frac{E}{RT}}$

увеличивается. С ростом процента яда растет K_0 и E , но k_0 растет сильнее и константа скорости увеличивается, несмотря на рост энергии активации.

На рис. 45 показано симбатное изменение E и $\lg k_0$ для закиси никеля, обработанной азотной кислотой (яд). После достижения максимума k_0 и E уменьшаются. С ростом температуры при одинаковом составе катализатора энергия активации не меняется.

При низких температурах множитель $e^{-\frac{E}{RT}}$ перекрывает любые различия в k_0 . При высоких температурах влияние множителя, содержащего энергию активации, мало по сравнению с k_0 , меняющейся с содержанием добавки до 10 порядков.

На рис. 46 показано изменение константы скорости магний-хромового катализатора с добавкой кремневой кислоты, процент которой отложен по оси ординат. Кривая 1 относится к температуре 300°, кривая 2 к температуре 400°. Если при добавлении промотора E и k_0 сначала снижаются, а затем растут, то при низких температурах должен быть максимум, при высоких — минимум. На рис. 47 показано изменение активности закиси никеля при введении интрата бария, подтверждающее сказанное выше. Относительно большое количество промотирующей добавки может привести к отравлению катализатора — потере им каталитической активности.

Яды в катализе. Существует целый ряд веществ, вызывающих потерю активности катализатора — обратное или необратимое отравление катализатора. При обратном отравлении катализатора молекулы яда обратно адсорбируются на

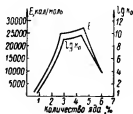


Рис. 45.

поверхности катализатора, блокируют ее, прекращая доступ к активным центрам молекулам реагирующего вещества. Примером обратимого отравления может быть дезактивация платины в реакции каталитического окисления водорода окисью углерода или этиленом. При удалении из реакционной смеси этих веществ каталитическая активность восстанавливается. К обратимым ядам относятся многие вещества, легко и обратимо адсорбирующиеся на поверхности твердого тела. Катализаторы синтеза аммиака обратимо отравляются кислородсодержащими соединениями H_2O , CO , CO_2 пары спиртов и т. д. Летучие соединения кремния отравляют эти катализаторы необратимо.

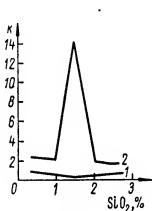


Рис. 46

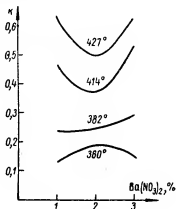
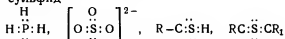


Рис. 47.

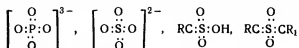
При необратимой адсорбции — образовании прочных поверхностных соединений — каталитическая активность не может быть восстановлена без разрушения этих соединений. Так, в приведенной выше реакции синтеза аммиака H_2S и PH_3 вызывают необратимое отравление платины. Ядами по отношению к платине являются ионы Cu^{2+} , Sn^{2+} , Hg^+ , Hg^{2+} , Fe^{2+} , Co^{2+} , Ni^{2+} . Ядами металлических катализаторов гидрирования (Fe , Co , Ni , Ru , Rh , Pd , Pt) могут быть соединения неметаллов O , S , Se , Te , C , N , P , As , Sb , как, например, CS_2 , H_2S , PH_3 , CN^- , Cl^- , NH_3 и др., являющиеся донорами неподеленных электронных пар или кратной связи, а так же ионы металлов, последняя d -оболочка которых содержит по крайней мере 5 электронов.

Если потенциально ядовитый элемент находится в состоянии, при котором невозможно образование им связей с катализатором (экранирован от катализатора), то такие соединения не ядовиты. Это может быть в случаях, когда токсичный элемент обладает полностью поделенным электронным октетом, его валентные связи полностью насыщены.

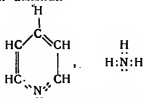
Если же элемент содержит неподеленные внешние электронные пары или неиспользованные валентные орбиты, то он может образовать поверхностное соединение с катализатором. Так, при каталитическом гидрировании на никеле, платине или палладии токсичны фосфин, сульфит-ион, органический тиол, органический сульфид



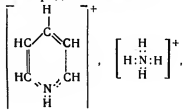
и не токсичны фосфат-ион, сульфат-ион, сульфоновая кислота, сульфон



Токсичны пиридин и аммиак



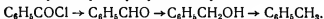
и не токсичны ионы пиридина и аммония



ионы Ca^{2+} , Sr^{2+} и т. д.

Подобно катализаторам, яды обладают избирательностью. Мышьяковистый ангидрид является сильным ядом для платины при гидрировании, но влияет слабее на ее каталитические свойства в реакции разложения перекиси водорода. Висмут в очень малых концентрациях является ядом для железных гидрирующих катализаторов, но активизирует железо при каталитическом окислении аммиака в азотную кислоту.

Выключая те или иные центры, действием яда можно затормозить реакцию на желаемой промежуточной стадии, не доводя ее до конца. Например, при гидрировании хлористого бензоила в бензольном растворе образуется толуол



Добавление к бензолу обработанного серой хинолина или бромтиофена позволяет остановить реакцию на стадии альдегида.

Селективность никеля и платины в реакции неполного гидрирования тройных связей усиливается в результате дезактивации катализаторов небольшими добавками ряда веществ или их ионов (солей): Ag, Cu, Cd, Hg, Al, Sn, Pb, Th, As, Sb, Bi, S, Se, Te.

Количество яда, необходимое для отравления катализатора, обычно чрезвычайно мало. Так, для никеля в реакциях гидрирования чистый водород ядовит в концентрациях 1 : 20 000 000, сероводород 1 : 300 000, сулема 1 : 2 000 000 и т. д. Эффект отравления количественно можно охарактеризовать коэффициентом отравления α (коэффициентом токсичности яда). Опыт показывает, что активность катализатора в области отравления меняется линейно с ростом концентрации яда и только в области относительно больших концентраций яда, когда катализатор близок к насыщению ядом и практически полностью отравлен, наблюдается отклонение от линейной зависимости.

Если обозначить через A остаточную активность отравленного катализатора, A_0 — активность этого же катализатора в отсутствие яда, Γ — количество яда и через α — коэффициент отравления, то зависимость активности от количества яда может быть выражена формулой

$$A = A_0(1 - \alpha\Gamma). \quad (108)$$

Коэффициент отравления α показывает долю занятой частицами яда активной поверхности катализатора, отнесенную к единице веса яда,

$$\alpha = \frac{A_0 - A}{A_0\Gamma}.$$

Коэффициент отравления зависит от свойств катализатора, реакции и яда. Имеет значение величина неядовитой части молекулы яда. Чем больше размеры молекулы, тем больше токсическое действие. В табл. 25 приведены величины α для различных ядов на никелевом и платиновом катализаторах.

Таблица 25

Яд	Молекулярный вес яда	Платиновый катализатор		Никелевый катализатор	
		$\alpha \cdot 10^{-5}$	Относительная токсичность на 1 г-атом серы	$\alpha \cdot 10^{-5}$	Относительная токсичность на 1 г-атом серы
H ₂ S	34	3,4	1	7,5	1
CO ₂	76	6,4	1,9	18,2	2,4
Тиофен	84	14,8	4,4	33,3	4,5
Цистеин	121	16,7	5,0	40,0	5,4
(C ₈ H ₁₇) ₂ S	258	—	25,8	—	—
(C ₁₆ H ₃₃) ₂ S	482	—	34,1	—	—

Увеличение токсичности по мере сложности молекулы названо Е. Мекстедом якорным эффектом. Якорный эффект может быть объяснен стерическими препятствиями. Молекула яда, присоединяясь к активному центру токсическим атомом, блокирует соседние активные центры, число которых растет с увеличением размеров молекулы.

Механизм активирования малыми дозами яда может быть объяснен образованием примеси в решетке катализатора, увеличением примесного пересыщения, рассмотренного ранее в § 41. Количественное объяснение влияния примесей на каталитическую активность дается электронной теорией, излагаемой в следующем параграфе.

§ 43. Электронная теория катализа

Электронная теория катализа была развита в работах С. З. Рогинского и Ф. Ф. Волькенштейна (1948 г.). Задачей электронной теории является количественное раскрытие электронного механизма элементарного акта катализа и установление связи между электронными и каталитическими свойствами полупроводника.

Электронная теория катализа — это, в первую очередь, теория полупроводникового катализа. Область ее применения — окислительно-восстановительные реакции. Результаты электронной теории могут быть перенесены и на диэлектрики. К металлам электронная теория не применима. Следует учесть, однако, что в условиях окислительного катализа все металлы покрыты оксидной пленкой. Кислород, водород, азот очень быстро и прочно поглощаются металлами уже при низких температурах, покрывая поверхность пленкой бинарного соединения. Таким образом, в большинстве случаев металлы покрыты полупроводниковой пленкой, и реакция, катализируемая металлом, в действительности протекает на поверхности полупроводника.

Полупроводники отличаются от изоляторов наличием электронов (или вакансий) проводимости, от металлов же — наличием запрещенной зоны, что требует преодоления энергетического барьера при движении электронов или вакансий (дырок).

Концентрация электронов проводимости (постоянный ток) в металле составляет в 1 см^3 10^{22} — 10^{23} , в полупроводнике — 10^{10} — 10^{21} и в диэлектрике — меньше 10^8 . Значительно меньшая концентрация электронов в полупроводниках по сравнению с металлами позволяет рассматривать поведение каждого электрона независимо от других, не учитывая их взаимодействия. Это значит, что если в электронной теории катализа металлов необходимо решать многоэлектронную задачу, то в полупроводниковом катализе хемосорбцию и катализ можно рассматривать как одноэлектронную задачу.

Электронные уровни в металлах, заполненные электронами и свободные, расположены непосредственно друг за другом (рис. 48, а). Заштрихованная косой штриховкой полоса — энергетические уровни, занятые электронами (валентная зона), выше идет зона проводимости — свободные уровни (прямая штриховка). $\Delta\phi$ — работа выхода электрона из металла в окружающее пространство. Для перехода электронов в зону проводимости не требуется преодоления энергии. В полупроводниках (рис. 48, б) для перехода из заполненной в свободную зону, т. е. для начала проводимости, требуется преодоление энергетического барьера U — «энергии активации электропроводности». Связано это с тем, что в металлах электроны обобществлены, могут переходить от одного атома к другому, в полупроводниках же переход электрона связан с изменением валентного состояния иона или атома.

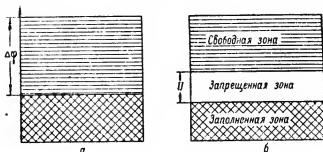
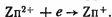


Рис. 48.

Обычно запрещенная зона невелика (0,2—3,0 эв) и свободные электроны появляются в результате теплового движения, облучения и т. д. Полупроводниковые свойства появляются или при наличии нарушения стехиометрического состава или при наличии определенных примесей в небольших количествах. Например, в окиси цинка небольшой избыток атомов цинка приводит за счет теплового движения к появлению свободных электронов. Избыточные атомы цинка, расположенные между валентными узлами, могут ионизироваться

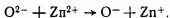


Валентный электрон в цинке, находящемся в поле решетки, связан слабо (0,2—0,4 эв), и электрон, ушедший с атома, может переходить от одного иона Zn^{2+} к другому



Появляется ион Zn^+ , местоположение которого перемещается по узлам решетки. Окись цинка с избыточными атомами цинка является электронным или *n*-полупроводником. Атомы цинка ведут себя подобно донорной примеси. При высоких температу-

рах в окиси цинка может идти процесс перехода электронов от кислородных ионов к ионам цинка



Местоположение иона O^- также может перемещаться по анионным узлам, что эквивалентно перемещению положительного заряда в противоположном направлении — может появиться *p*-полупроводимость (дырочная). Примером *p*-полупроводника может служить закись никеля. В решетке NiO обычно есть избыточный кислород, захватывающий электроны у Ni^{2+} . Это приводит к появлению в узлах решетки ионов Ni^{3+} . Электропроводность NiO объясняется переходом электронов от Ni^{2+} к Ni^{3+} , что эквивалентно перемещению в противоположном направлении положительного заряда (дырки). Окись цинка — типичный электронный проводник, закись никеля, закись меди — дырочные.

Могут быть смешанные *n*- и *p*-полупроводники. Например, PbS при избытке Pb является *n*-полупроводником, при избытке S — *p*-полупроводником.

К полупроводникам относятся вещества самых различных классов: B , C , Si , серое олово, P , As , Sb , Se , Te , дальтони́ды: CSi , B_4C , CaO , ZnO , V_2O_5 , бертоллиды: Zn/Sb , Cd/Sb , ряд органических соединений: фталоцианин, каронен, изо-добензатрон, полипептиды и др.

Полупроводниковый катализ является весьма распространенным в промышленности. Достаточно указать на такие каталитические реакции, как окисление двуокиси серы на пятиокиси ванадия, окисление аммиака (катализатор — окислы переходных металлов железа и хрома), окисление нафталина до фталевого ангидрида (пятиокись ванадия), гидрирование продуктов крекинга нефти (ZnS , NiS), получение метанола из CO и H_2 (ZnO , ZnO с Cr_2O_3), гидрирование крезолов (сульфиды молибдена, никеля, железа) и т. д.

Введение донорной или акцепторной примеси приводит к появлению примесной полупроводимости. Изменение концентрации примеси эквивалентно изменению концентрации электронов (или вакансий) на поверхности полупроводника. В зависимости от вероятности появления электронов возможны различные виды связи при хемосорбции.

Рассмотрим адсорбцию на поверхности ионного кристалла. Для простоты в качестве адсорбата примем одновалентный положительный ион (рис. 49). На рис. 49 схематически представлена поверхность ионного кристалла. Положение a отвечает адсорбируемому атому A , находящемуся далеко от кристалла. При приближении атома A к поверхности кристалла электрон атома A втягивается в решетку, связь осуществляется одним электроном атома A (рис. 49, б). Одноэлектронная связь, не очень прочная и не очень слабая, играет основную роль в катализе. Эта связь того же типа, что в ионе H_2^+ . Если эта связь

очень слаба, то адсорбции не будет. Но если на поверхности имеется свободный (полупроводниковый) электрон, то он может привести к превращению иона решетки в атом (рис. 49, в). Если атом А будет адсорбирован на этом ионе, то может образоваться прочная двухэлектронная связь (рис. 49, г). Наконец, если пара электронов окажется притянутой к одному из ядер, образуется электровалентная связь.

Таким образом, в катализе возможны три вида связи: 1) одиозлектронная связь («слабая» гомеополарная связь); 2) ковалентная связь («прочная» гомеополарная связь); 3) ионная связь. Ковалентная и ионная связи слишком прочны для катализа.

Найдем, от чего зависит вероятность образования того или иного вида связи. Обозначим через N общее число адсорбированных атомов (или молекул), N_0 — число атомов, в состоянии одиозлектронной связи, N_1 —

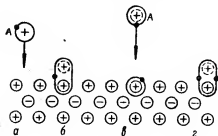


Рис. 49.

число ковалентносвязанных атомов, N_2 — число ионнонесвязанных атомов, через η_0 , η_1 и η_2 вероятность (долю) атома находиться в состоянии одиозлектронной, ковалентной и ионной связи. Очевидно, что

$$N = N_0 + N_1 + N_2,$$

$$\eta_0 = \frac{N_0}{N}, \quad \eta_1 = \frac{N_1}{N}, \quad \eta_2 = \frac{N_2}{N}.$$

Величины η_0 , η_1 и η_2 характеризуют среднее время жизни адсорбированного атома в данном состоянии по отношению ко всему времени его пребывания в адсорбированном состоянии. Эти величины зависят от концентрации электронного или дырочного газа на поверхности:

$$\eta_0 = \frac{1}{1 + \frac{n_1}{A} + \frac{B}{n_1}}, \quad (109)$$

$$\eta_1 = \frac{1}{1 + \frac{A}{n_1} \left(1 + \frac{B}{n_1}\right)}, \quad (110)$$

$$\eta_2 = \frac{1}{1 + \frac{n_1}{B} \left(1 + \frac{n_1}{A}\right)}, \quad (111)$$

где n_1 — число свободных электронов на поверхности, A и B — постоянные, равные:

$$A = ae^{-\frac{v}{kT}}, \quad B = ae^{-\frac{w}{kT}}, \quad a = \frac{g_1}{h^2} 2\pi m_1 kT.$$

Здесь g_1 — статистический вес зоны проводимости; m_1 — эффективная масса свободного электрона; v — энергия перехода хемосорбированной частицы из состояния слабой (одноэлектронной) связи в состояние прочной (ковалентной) связи за счет перехода электрона из зоны проводимости; w — энергия перехода хемосорбированной частицы из состояния слабой (одноэлектронной) связи в состояние прочной (ионной) связи за счет перехода электрона из зоны проводимости.

Из приведенных выше соотношений следует, что концентрация электронного газа определяется общим числом адсорбированных частиц N . Продолжительность жизни каждого атома в одном из возможных состояний адсорбции зависит от того, сколько атомов адсорбировано на поверхности. Атомы взаимно влияют друг на друга через электронный газ. Кроме того, концентрация свободных электронов на поверхности кристалла зависит от концентрации электронов в объеме кристалла. В полупроводнике идет обмен

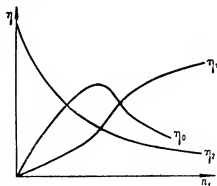


Рис. 50.

электронами (или дырками) по всей массе кристалла.

Концентрация электронов в объеме, а следовательно, и на поверхности зависит от температуры, концентрации посторонней примеси и структурных дефектов (нарушений стехиометрического соотношения). Объем кристалла играет роль резервуара, поставляющего на поверхность свободные электроны и уводящего их в объем.

Из формулы (109) следует, что с увеличением концентрации электронов на поверхности n_s вероятность адсорбированной частицы находиться в реакционноспособном состоянии, характеризуемая величиной η_0 , проходит через максимум. Вероятность образования ковалентной связи мала при малой концентрации электронов и монотонно возрастает с ростом концентрации электронов. Вероятность образования ионной связи монотонно падает с увеличением концентрации электронного газа. Графически эти зависимости представлены на рис. 50.

На рис. 51 показана адсорбция электроположительного атома типа Na на решетке типа NaCl. Если атом натрия адсорбирован на катионном узле Na^+ , то образуется слабая одноэлектронная

гомеополярная связь (рис. 51, а). При наличии на поверхности полупроводникового электрона может образоваться ковалентная связь типа связи в молекуле Na_2 (рис. 51, б). Если рядом с атомом, адсорбированным в состоянии слабой связи, появляется вакансия (дырка), т. е. нейтральный анионный узел Cl (рис. 51, в), то может образоваться ионная связь, как в решетке

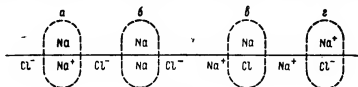


Рис. 51.

NaCl (рис. 51, г). Случай а соответствует образованию одноэлектронной, случай б — прочной двухэлектронной и г — ионной связи. С повышением концентрации электронного газа вероятность образования ковалентной связи растет за счет подхода свободных электронов. Чем больше концентрация электронного газа, тем менее вероятны процессы образования ионной связи, тем меньше величина η_2 .

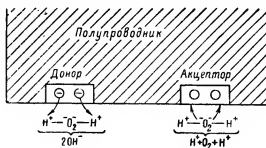


Рис. 52.

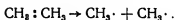
Особенно сильно каталитические свойства проявляются у полупроводников, обладающих донорно-акцепторным характером. Здесь электронные переходы могут осуществляться через катализатор, на микроскопических расстояниях, тем больших, чем лучше полупроводник. Участие полупроводника в переносе электрона не требует непосредственного контакта реагирующих веществ при адсорбции, что может значительно увеличить скорость реакции.

На рис. 52 приведена схема перемещения электронов при каталитическом разложении перекиси водорода в растворах. Как указывалось выше, оптимальная вероятность образования

одноэлектронной связи наблюдается при определенной концентрации электронов, т. е. при определенной концентрации примесей.

Промотирующее действие ядов и оптимум концентрации промотора могут быть объяснены, исходя из предпосылки о полупроводниковом характере добавки. Образование в катализаторе прочных соединений, способных усиливать или создавать полупроводниковые свойства, равно как и введение таких соединений извне, до определенного предела их концентраций, должны усиливать каталитический эффект.

Таким образом, примесное и структурное пересыщение и модифицирующее промотирование могут быть объяснены с позиций электронной теории катализа. Вместе с тем свободный (неспаренный) электрон образуется при разрыве ковалентной связи, например:



Неспаренными электронами обладают атомы и радикалы. Поэтому свободный электрон можно рассматривать как свободную валентность, а связанные с ним атомы — как свободный радикал. Тем самым в катализ можно ввести представления теории цепных реакций. Эти взгляды развиваются в радикальной теории катализа Семенова—Воеводского.

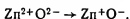
§ 44. Радикальная теория катализа

Радикальная теория катализа Н. Н. Семенова и В. В. Воеводского исходит из положения о возможности инициирования катализатором цепных реакций. По этой теории на поверхностях металлов и полупроводников могут легко образовываться свободные валентности, так как твердое тело представляет собой громадный полирадикал.

Свободные валентности могут существовать на поверхности твердого тела в результате ненасыщенности связей, но могут и появиться на поверхности кристалла. Всякий ионный кристалл содержит на поверхности и в объеме некоторое количество свободных электронов и свободных дырок. Эти электроны или дырки могут странствовать по кристаллу. Свободный электрон может рассматриваться как положительная валентность, дырка — как свободная отрицательная валентность.

Каждая валентность имеет среднюю продолжительность жизни, может появляться и исчезать. Эти валентности не локализованы, а могут блуждать по кристаллу. Свободную валентность равновероятно встретить в любом месте кристалла. Равновесная концентрация свободных валентностей зависит не только от природы кристалла, но и от условий, в особенности от наличия донорных или акцепторных примесей.

Нетрудно видеть, что радикальная теория в известной степени представляет собой изложение электронной теории на языке химии. Однако основы теории радикального катализа были заложены еще до создания электронной теории и связаны с изучением механизма цепных реакций. Так, еще в 1946 г. А. А. Ковальский методом раздельного калориметрирования показал, что реакция каталитического восстановления двуокиси серы оксидом углерода идет гомогенно и 96% тепла выделяется не на поверхности катализатора, а в объеме. Катализатор (боксит) действует не как обычный гетерогенный катализатор. Его роль — инициирование цепной реакции поверхностью. В кристалле (например, ZnO) возможен процесс возбуждения, приводящий к появлению свободных валентностей,



Обозначив символически невозбужденные элементы решетки через V_2 , процесс возбуждения решетки можно записать следующим образом:



Здесь символом V обозначены две свободные валентности. У типичных полупроводников величина энергии возбуждения U сравнительно невелика (20—50 ккал). Концентрация свободных радикалов, т. е. число их на 1 см^2 поверхности, равна

$$n = [V] = Ce^{-\frac{U}{2kT}},$$

где $C \approx 10^{13}$. При $T = 600^\circ$ и $U \approx 23 \text{ ккал}$, $n = 10^9$. На 1 см^2 поверхности помещается около 10^{15} молекул. Отсюда доля поверхности, занятая радикалами, составляет около 10^{-6} . На опыте было установлено, что вероятность захвата стенками сосуда свободных атомов и радикалов, приводящая к обрыву цепи, варьирует от 10^{-6} до 1. Энергия активации этого процесса обычно лежит в пределах 4—12 ккал/моль.

Процесс катализа стенкой может быть схематически представлен так:

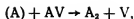


где AV — связанный, A — свободный атом или радикал. Если в системе присутствует другой газ, способный взаимодействовать с первым, то возможны процессы

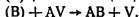
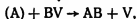


Процессы (а) и (б) могут послужить началом объемных цепей. Но реакция может протекать и на поверхности кристалла.

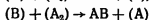
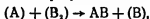
Обозначим через (А) атом, связанный с поверхностью слабой (одноэлектронной) связью. Такой атом может или регенерировать исходную молекулу по реакции



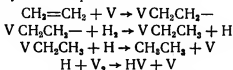
или прореагировать с В с образованием продуктов реакции



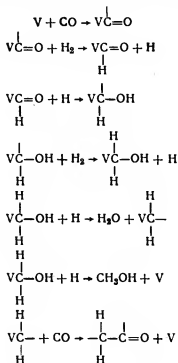
Если на поверхности присутствуют физически адсорбированные молекулы, то цепи могут развиваться вдоль поверхности



и т. п. Например, гидрирование C_2H_4 в C_2H_6 протекает по цепной схеме следующим образом:



и т. д. В реакции взаимодействия окиси углерода с водородом с образованием сложных продуктов процесс идет по схеме



и т. д.

Свободно-радикальные реакции могут идти не только на полупроводниках, но и на металлах, как, например, миграция двойной связи при гидрировании диенов и другие. Радикально-каталитические реакции можно разделить на три группы.

Если длина цепи очень мала, то цепь не может войти в объем, а будет обрываться у поверхности. Реакция пойдет как радикальная гетерогенная — только на поверхности. Катализатор будет участвовать в реакции как активный радикал — промежуточный продукт, непрерывно регенерирующийся.

Если возможно развитие цепи по поверхности, то реакция будет гетерогенной поверхностно-цепной. И, наконец, если возможен вывод радикалов в объем, то реакция пойдет как гомогенно-гетерогенная цепная реакция. В этом случае роль катализатора — инициирование радикалов цепной реакции, протекающей в объеме.

По радикальной теории катализа кристалл оказывает влияние на ход реакции по той же причине, по какой свободный радикал оказывает влияние на ход гомогенной реакции. При этом действуют те же два закона, что и в цепных гомогенных реакциях: закон сохранения общего числа валентностей и закон стремления валентностей к насыщению. Радикальный механизм катализа непосредственно вытекает из электронной теории и является химическим аспектом электронного механизма катализа.

§ 45. Теория ансамблей

Теория ансамблей была предложена Н. И. Кобозевым в 1939 г. По этой теории носителем каталитических свойств является только аморфная фаза — небольшая группа атомов, вошедшая в кристаллическую решетку. Такая группа атомов — ансамбль атомов — только и может быть активным центром катализа. Кристаллическая фаза каталитически неактивна и выполняет только роль носителя каталитических центров (докристаллических образований из нескольких атомов) n -атомных ансамблей, закрепленных на поверхности адсорбционными силами.

Нетрудно видеть, что теория ансамблей представляет собой предельный случай теории активных центров. По этой теории активный центр, будет ли он состоять из тех же атомов, что и кристаллическая фаза, или нет, всегда является внешним по отношению к кристаллу, не связан со структурой и свойствами кристалла. Вместе с тем теория ансамблей исходит из крайнего случая пересыщения, постулируя существование в качестве активного центра аморфной небольшой группы атомов, обычно 2—4.

Теория ансамблей исходит из экспериментально установленного факта высокой активности адсорбционных катализаторов

при малых степенях заполнения. Степенью заполнения α называется отношение нанесенного на адсорбент количества катализатора к тому его количеству, которое образовало бы мономатерный слой на данном носителе.

Н. И. Кобозевым и его ученикам были изучены многие каталитические реакции различных классов, а именно:

1) реакции гидрирования этиленовой, ацетиленовой, ароматической и сопряженной связей различных соединений, а также дегидрирование циклогексана при катализе платиной или палладием на разных носителях (уголь, алюмогель, силкагель, окись магния);

2) окислительно-восстановительные реакции: распад H_2O_2 в присутствии Fe^{3+} , Co^{2+} , Ni^{2+} , Ag^+ , каталазы, гемма, Pt, адсорбированной на разных носителях; окисление SO_3^{2-} иона в присутствии Fe^{3+} и Cu^{2+} ; катализ реакции гремучего газа (платина на угле); окисление SO_3 в SO_2 (Pt и Pd на SiO_2 и Al_2O_3); окисление NH_3 (Pt на тех же носителях);

3) синтез аммиака в присутствии железа на угле и окиси алюминия на асбесте;

4) гидратация ацетилена по Кучерову (катализатор Hg^{2+} на WO_3 и казенне), полимеризация ацетилена в виниловые производные в присутствии Cu^{2+} на угле;

5) изомеризация и крекинг углеводородов на алюмосиликатах и окиси хрома на носителях;

6) декарбоксилирование виноградной кислоты — катализаторы этиламин, пропиламин, амламин, этилендиамин, аминокислота, цистин на угле, волокне и алюмогеле.

Для всех этих реакций оказалось, что максимум активности лежит в области больших разведений, при α около 0,001—0,01. Изученные реакции по характеру зависимости от степени заполнения могут быть разделены на две группы.

К первой группе принадлежат реакции, в которых общая активность A проходит через максимум, удельная же активность $a = \frac{A}{\alpha}$ падает с увеличением степени заполнения (рис. 53, I).

К этому типу реакций относятся реакции окисления аммиака на платине, двуокиси серы на платине и палладии, распад перекиси водорода на платине, декарбоксилирование виноградной кислоты на различных аммиах и другие.

Ко второй группе (рис. 53, II) относятся реакции, в которых и общая A и удельная a активности проходят через максимум, причем максимум удельной активности лежит в области больших разведений (меньших α). К таким реакциям принадлежат реакции: дегидрогенизации циклогексана на палладии, гидрирования толуола и этиленовых углеводородов на платине, синтез аммиака на железе и т. д.

По современным представлениям о строении реальных кристаллов последние представляют собой мозаику из блоков с

линейными размерами 10^{-4} — 10^{-6} см, отдаленных друг от друга микротрещинами, энергетической неоднородностью, дефектами в решетке и т. п. Следствием ячеистой структуры кристалла является мозаичная структура его поверхности, состоящей из ячеек, отделенных друг от друга геометрическими и энергетически-

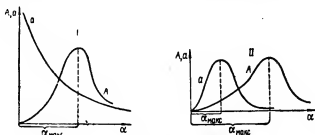


Рис. 53.

ми барьерами. Попадая на такую ячейку при адсорбции из раствора или газа, атом может передвигаться по поверхности ячейки — «мигрировать», но не может выйти за область миграции — за пределы ячейки (рис. 54).

Средняя величина площади ячейки может меняться с температурой и условиями проведения опыта. При повышении температуры увеличивается способность молекул преодолевать энергетический барьер, отделяющий одну ячейку от другой. Это равносильно увеличению площади ячейки — области миграции.



Рис. 54.

При попадании в одну область миграции нескольких атомов они при своем движении могут образовывать группу — ансамбль. В первую очередь ансамбли будут образовываться на дне энергетических ям в области миграции. На рис. 54 показано распределение атомов в областях миграции и образование ансамблей (обведено пунктиром).

Площадь миграции p , выраженная в атомных площадях катализатора, равна

$$p = \frac{\Delta}{\sigma},$$

где σ — площадь, занимаемая одним атомом катализатора, а Δ — площадь области миграции, в см^2 .

Общее число миграционных ячеек на поверхности z^0 равно

$$z^0 = \frac{s}{\Delta},$$

где s — поверхность катализатора (на 1 г или 1 см³ носителя). Обозначим: w_n — вероятность попадания n атомов катализатора в данную область миграции; v — среднее число атомов, проходящее на область миграции; A — общая каталитическая активность; r_n — каталитическая активность в одном активном центре; n — число атомов в нем.

При малых степенях заполнения вероятность попадания атома катализатора в область миграции не зависит от наличия в ней атомов и подчиняется закону распределения Пуассона — Смолуховского.

Вероятность попадания n -атомов в одну ячейку равна

$$w_n = \frac{v^n}{n!} e^{-v}. \quad (112)$$

При средней поверхностной концентрации катализатора c атомов/см² среднее число их в одной области миграции равно

$$v = c \cdot \Delta. \quad (113)$$

С другой стороны, очевидно, что

$$\alpha = c\sigma. \quad (114)$$

Из (113) и (114) получаем

$$v = \frac{\Delta}{\sigma} \alpha = p\alpha. \quad (115)$$

Подставляя (115) в (112), приходим к выражению

$$w_n = \frac{p^n \alpha^n e^{-p\alpha}}{n!}.$$

Общее число ансамблей z_n равно

$$z_n = z^0 w_n = z^0 \frac{(p\alpha)^n e^{-p\alpha}}{n!}.$$

Общая же каталитическая активность равна

$$A = z_n r_n = z^0 r_n \frac{(p\alpha)^n e^{-p\alpha}}{n!}, \quad (116)$$

удельная каталитическая активность равна

$$a = \frac{A}{\alpha} = r_n z^0 p^n \frac{\alpha^{n-1}}{n!} e^{-p\alpha}. \quad (117)$$

Из двух последних уравнений следует, что общая активность имеет максимум при

$$\alpha_{\text{макс}}^A = \frac{n}{p}. \quad (118)$$

Удельная активность достигает максимума, если

$$\alpha_{\text{макс}}^a = \frac{n-1}{p}. \quad (119)$$

Из уравнений (118) и (119), определив экспериментально значения степеней заполнения при максимуме активности, можно вычислить площадь миграции и число атомов в ансамбле. При одноатомном ансамбле ($n=1$) уравнение удельной активности (117) принимает вид

$$a = r \frac{s}{\sigma} e^{-p\alpha}.$$

Это уравнение кривой, асимптотически приближающейся к оси ординат (рис. 53, кривая a).

Из приведенных выше уравнений по изменениям зависимости активности от степеней заполнения можно определить число атомов в активном центре n , среднюю область миграции p , каталитическую активность одного центра r_n и общее число миграционных ячеек z^0 . В табл. 26 приведены величины p и n для некоторых реакций.

Таблица 26

Реакция	Катализатор	n	p
Гидрирование малеиновой кислоты	Pt/уголь	2	42
Гидрирование фенола	То же	2	44
Гидрирование этилена	Pt/Al ₂ O ₃	2	639
Гидрирование <i>n</i> -бутилена	Pt/SiO ₂	2	644
Синтез аммиака	Fe/Al ₂ O ₃	3	1024
Окисление SO ₂	Pt/алюмогель	1	94
То же	Pt/силикагель	1	47
Катализ гремучего газа	Pt/уголь	1	55
То же	Pt/алюмогель	1	202

Как видно из табл. 26, чаще всего встречаются ансамбли из двух атомов, хотя могут быть ансамбли и до 7 атомов. Чем выше дробление носителя на большее число ячеек за счет микротрещин, микропор и т. п., тем активнее катализатор. У кристаллических металлов платины, палладия, железа, никеля размер миграционных ячеек очень мал: 4—12 атомных площадей, число же их очень велико: у платины оно составляет $15,6 \cdot 10^{21}$ на 1 г/атом носителя, у железа — $1,7 \cdot 10^{21}$, никеля — $1,4 \cdot 10^{21}$. Окисные соли и уголь имеют размер миграционных ячеек больше, в среднем 100—800. Число миграционных ячеек у них примерно такое же за счет высокоразвитой пористости.

Уравнения (116) и (117) можно привести к обобщенным уравнениям активности

$$\frac{A}{A_{\text{макс}}} = \left(\frac{e}{n}\right)^n (p\alpha)^n e^{-p\alpha}, \quad (120)$$

$$\frac{a}{a_{\text{макс}}} = \left(\frac{e}{n-1}\right)^{n-1} (p\alpha)^{n-1} e^{-p\alpha}. \quad (121)$$

Из уравнений (120, 121) следует, что относительная активность, как функция pa , зависит только от n и не зависит от катализатора и прочих условий. Иными словами, различные каталитические реакции с одним и тем же числом атомов в ансамбле укладываются на одну и ту же кривую.

Сторонники теории ансамблей считают, что такая универсальность является достоинством этой теории. Эта точка зрения вызывает серьезные возражения. Указывается, что подобные универсальные уравнения могли бы быть возможны только при условии, если бы химические процессы не играли никакой роли в катализе. Последнее трудно себе представить. Вероятно, универсальный характер уравнений теории ансамблей объясняется слишком грубым приближением, не учитывающим влияния химического состава катализатора и реагирующих веществ.

Еще более наглядно выявляется крайне приближенный характер уравнений теории ансамблей при рассмотрении явлений отравления катализатора. Оказывается, что и отравление самых различных катализаторов подчиняется одним и тем же уравнениям, не зависит ни от природы яда, ни от природы каталитического процесса, а определяется однозначно числом миграционных ячеек. Чем больше z^0 , тем труднее отравляется катализатор.

По теории ансамблей и распределение атомов катализатора по ячейкам, и распределение яда — это один и тот же флуктуационный процесс, подчиняющийся одному и тому же закону распределения. Для процесса отравления теория ансамблей приводит к уравнению

$$A = A_0 e^{-\frac{g}{z^0}} = A_0 e^{-pa_{\text{яда}}}, \quad (122)$$

где A — остаточная активность отравленного катализатора, A_0 — активность неотравленного катализатора, g — число молей яда.

Возможно, что высокая активность адсорбционных катализаторов при малых степенях заполнения объясняется тем, что атомы при адсорбции собираются не в ансамбли из нескольких атомов, а образуют частицы коллоидных размеров. Коллоидные же катализаторы, как будет показано в следующем параграфе, обладают наиболее высокой активностью.

§ 46. Микрогетерогенный катализ

Коллоидные частицы отличаются максимально развитой поверхностью и вместе с тем максимальным энергетическим насыщением. Их состояние наиболее удалено от устойчивого кристаллического состояния. Это приводит к тому, что коллоиды являются наиболее энергичными катализаторами. Так, коллоидная платина в отличие от металлической разлагает концентри-

рованные растворы перекиси водорода со взрывом. Твердая палладиевая чернь поглощает самое большее 873 объема водорода на 1 г палладия, гидрозоль палладия до 2952 объема на 1 г. Под влиянием платиновой черни окись углерода и кислород не реагируют. Золи платины, палладия, иридия и осмия окисляют окись углерода до углекислого газа.

При гидрировании коллоидными металлами ароматических соединений, а также гидроароматических кетонов и оксимов, могут получаться стереоизомеры. При гидрировании коллоидной платиной в зависимости от условий опыта можно получать определенные стереоизомеры. В обычном гетерогенном катализе это сделать не удается. При гидрировании ароматических соединений в кислом растворе лучше идет образование производных циклогексана, в которых заместители занимают *цис*-положение; в нейтральном растворе в первую очередь идет образование *транс*-производных. Это правило может быть использовано при каталитическом определении строения органических соединений в тех случаях, когда чисто химическим путем трудно определить положение заместителей, как, например, у стереоизомеров производных циклогексана.

Скорость гидрирования различных веществ в присутствии дисперсной фазы золя платины нередко превосходит скорость гидрирования платиновой чернью в 30—40 раз. Сверхтопкие порошки — органозоли никеля в органических жидкостях, например маслах, успешно применяются при гидрировании в жидкой фазе жиров, масел и других ненасыщенных соединений. Перспективно применение органозолов молибдена в бензоле для каталитического обессеривания жидких моторных топлив.

В последнее время стали применять сверхтопкие металлические порошки железа и ряда других металлов для каталитических окислительных процессов — горения топлив в ракетных двигателях.

Микрогетерогенный катализ относится к наименее изученной области катализа, хотя коллоидные катализаторы по активности во много раз превышают гетерогенные катализаторы и активны уже при комнатной температуре. Связано это как с трудностью получения устойчивых коллоидных растворов, так и с лабильностью коллоидных частиц, меняющих свои размеры со временем и чувствительных к следам примесей.

Один и тот же катализатор в зависимости от способа приготовления может быть или активным, или неактивным, как это наблюдалось в реакциях гидрирования. Приготовление гидрозолей металлов путем восстановления гидрозолей их оксидов в присутствии защитного коллоида протальбиново- или лизальбиново-кислого натрия дает устойчивые, обратиморастворимые, но не гидрирующие кетонную группу катализаторы. Приготовленные в присутствии гуммиарабика коллоидные металлы хорошо гидрируют кетонную группу в оксигруппу.

Гидрозоли неблагородных металлов очень чувствительны к реактивам — кислотам и окислителям. Кроме того, их трудно изготовлять. В связи с этим в коллоидальном катализе применяются, как правило, золи благородных металлов палладия и платины, реже — золота, серебра и меди. Золи палладия и платины являются хорошими катализаторами реакций гидрирования. Лучшим катализатором окисления кислородом служит коллоидный осмий. Специфика механизма микрогетерогенного катализа неясна и требует дальнейшего изучения.

ЛИТЕРАТУРА

- Г. М. Паиченков, В. П. Лебедев. Химическая кинетика и катализ. Изд-во МГУ, 1961.
- Г. К. Боресков. Катализ в производстве серной кислоты. М.—Л., Госхимиздат, 1954.
- Ф. Ф. Волькенштейн. Электронная теория катализа на полупроводниках. М., Физматгиз, 1960.
- Гетерогенный катализ в химической промышленности. М., Госхимиздат, 1955.
- Вопросы химической кинетики, катализа и реакционной способности. М., Изд-во АН СССР, 1955.
- Катализ. Исследование поверхности катализаторов. М., ИЛ, 1960.
- Проблемы кинетики и катализа, X. Физика и физико-химия катализа. М., Изд-во АН СССР, 1960.
- Ж. Жермен. Гетерогенный катализ. М., ИЛ, 1961.
- В. Лангебек. Органические катализаторы. М., ИЛ, 1961.
- Б. Треппел. Хемосорбция. М., ИЛ, 1958.
- С. З. Рогинский. Адсорбция и катализ на неоднородных поверхностях. М.—Л., Изд-во АН СССР, 1948.
- С. Ю. Елович и Г. М. Жаброва. Теоретические основы гидрирования жиров. М.—Л., Изд-во АН СССР, 1948.
- Б. Н. Долгов. Катализ в органической химии. Л., Госхимиздат, 1959.
- С. Беркман, Д. Морелл и Г. Эглофф. Катализ в неорганической и органической химии. М.—Л., Гостоптехиздат, 1949.
- М. Г. Гоинкберг. Химическое равновесие и скорость реакций при высоких давлениях. М., Изд-во АН СССР, 1960.
- Г. М. Шваб. Катализ. Л., Госхимиздат, 1934.
- Поверхностные соединения и их роль в явлениях адсорбции. Изд-во МГУ, 1957.
- Уч. зап. МГУ, вып. 174. Изд. МГУ, 1955.
- Уч. зап. МГУ, вып. 175. Изд. МГУ, 1956.
- Кинетика и катализ. Сб. под ред. Л. А. Николаева. М., Изд-во АН СССР, 1960.
- Проблемы кинетики и катализа, VIII. Электронные явления в катализе и адсорбции. М., Изд-во АН СССР, 1955.
- Проблемы кинетики и катализа, VI. Гетерогенный катализ. М.—Л., Изд-во АН СССР, 1949.
- Проблемы кинетики и катализа, V. Методы изучения катализаторов. М.—Л., Изд-во АН СССР, 1948.
- Катализ. Труды Всесоюзного совещания по катализу. Киев, Изд-во АН УССР, 1950.
- Катализ. Труды первого международного конгресса. М., ИЛ, 1960.
- Катализ. Электронные явления. М., ИЛ, 1958.
- Катализ. Вопросы теории и методы исследования. М., ИЛ, 1955.
- Катализ. Исследование гетерогенных процессов. М., ИЛ, 1956.
- Э. М. Натансон. Коллоидные металлы. Киев, Изд-во АН УССР, 1959.
- В. Гюккель. Катализ при помощи коллоидных металлов. Харьков — Киев, ОНТУ, 1933.

ГЛАВА VIII

ФОТОКАТАЛИЗ

§ 47. Природа фотокаталитических процессов

К фотокатализу относятся гетерогенные и гомогенные фотохимические реакции, в которых свет поглощается не компонентами реакции, а катализатором. В результате поглощения энергии катализатор сенсibilизирует реакцию к падающему излучению или ускоряет медленно идущую термическую реакцию, сама оставаясь неизменным или изменяясь обратимо. В § 26 приведены примеры гомогенных фотохимических реакций, проходящих чаще всего в газовой фазе. Здесь мы рассмотрим гетерогенные фотокаталитические реакции.

Фотокатализ можно определить как фотосенсибилизацию специфических реакций фотохимического образования и разложения поверхностных соединений, осуществляемую гетерогенными катализаторами. Обычно при фотокатализе фотохимические реакции протекают в области поглощения света фотокатализатором. Нередко исследуемая реакция не идет в темноте в присутствии катализатора и при освещении светом такой же длины волны без катализатора. Суммарное влияние катализатора и освещения позволяет проводить такие реакции, которые не могут идти только как каталитические или только как фотохимические. Природа адсорбента влияет на длину волны, при которой идет реакция.

Фотокаталитические реакции могут осуществляться как в системе газ — твердое тело, так и в системах раствор — твердое тело. Изучение фотокатализа связано, в первую очередь, с работами А. Н. Теренина и его сотрудников, проводимых с начала 30-х годов. При освещении адсорбированного на катализаторе слоя газа возможны четыре вида элементарных процессов.

1. Фотодесорбция адсорбированной молекулы под действием кванта света. Так, СО, адсорбированная на дисперсном никеле при комнатной температуре, фотодесорбируется при облучении светом с длиной волны 2400 Å. Кислород фотодесорбируется в окиси цинка и т. д.

2. Фотосорбция газа под действием света, поглощаемого твердым телом, как, например, фотосорбция паров ртути при 20° твердыми микрокристаллическими пленками красителей, содержащих амногруппы (фуксин и др.). Связывание атомов ртути в темноте не наблюдается. Фотосорбируется кислород на окиси цинка и окиси кремния.

3. Фотораспад адсорбированных газовых и поверхностных соединений. Экспериментально установлен фотораспад молекул воды, адсорбированных на распыленных слоях цинка и кадмия (но не сурьмы и висмута); фотораспад молекул аммиака, адсорбированных на активной окиси алюминия, при величине квантов освещающего света значительно меньшей, чем при фотораспаде газообразного аммиака; образование метильных радикалов при фотораспаде молекул ацетона и днацетна, адсорбированных на распыленном слое висмута и др. Фотораспад с образованием устойчивых продуктов может быть установлен манометрическим методом. Одним из чувствительных методов обнаружения фотораспада молекул, адсорбированных на полупроводнике, является изменение поверхностной люминесценции или поверхностного фотоэффекта, возникающее в результате появления на поверхности активных продуктов распада.

4. Фоторазложение адсорбента. Фотохимический распад адсорбента полупроводникового типа (окиси, галогениды тяжелых металлов) усиливается при адсорбции молекул, обладающих электроннодонорными свойствами, как, например, молекулы аммиака или антрацена.

Фотокатализаторы используют энергию излучения для преодоления энергетического барьера реакции. Последнее характерно для фотокатализа. Таким образом, к фотокатализаторам относятся гетерогенные катализаторы, ускоряющие фотохимические реакции.

Известные в настоящее время фотокаталитические реакции представляют собой окислительно-восстановительные реакции: окисление воды, разложение перекиси водорода, образование лейкоформ и выцветание красителей, образование перекисных соединений в связующих пленках красок (льняное масло и т. п.), окисление органических соединений и т. д.

Фотокатализаторами являются полупроводники, обладающие электронной проводимостью. Однако не все полупроводники могут быть фотокатализаторами, а только те, которые способны к фотообразованию продуктов реакции и не изменяются сами в процессе реакции. Фотокатализаторами могут быть окислы цинка, кадмия, титана, олова, вольфрама, но не сернистые и селенистые кадмий и цинк, хотя эти соединения также фотохимически активны.

Сенсибилизация фотохимических реакций преимущественно полупроводниковыми катализаторами связана с тем, что в полупроводниках выполняются более выгодные энергетические усло-

ния для передачи энергии кванта света поверхностному соединению. В металлах электронная энергия, сообщенная квантом света адсорбированной молекуле, передается твердому телу за время порядка 10^{-15} сек, время же перехода электронной энергии в кинетическую (разрыв связи, десорбция) — порядка 10^{-12} сек. Поэтому значительная часть сообщенной энергии рассеивается. В полупроводниках адсорбционный центр может быть энергетически изолирован от объема кристалла, и условия для сохранения энергии на определенном участке поверхности более благоприятны.

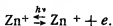
§ 48. Механизм фотокатализа

Механизм sensibilization фотокатализаторами заключается в переходе энергии фотона, поглощенного полупроводником, в энергию возбуждения электронов полупроводника, т. е. в освобождении части электронов под действием освещения. Увеличение до некоторого предела концентрации электронов у поверхности способствует образованию одноэлектронной связи, которой, как указывалось ранее, электронная теория катализа приписывает решающую роль при образовании поверхностных соединений. Электронное состояние поверхности полупроводника зависит от возможности перехода электронов из объема на поверхность по зоне проводимости.

Механизм фотопроводимости электронного полупроводника, например, окиси цинка, схематически можно представить как увеличение проводимости при освещении за счет оптической ионизации ионов (внутренний фотоэффект). Темновая проводимость окиси цинка определяется термической диссоциацией избыточных атомов цинка



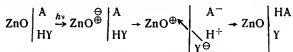
При освещении проводимость увеличивается за счет оптической ионизации ионов цинка



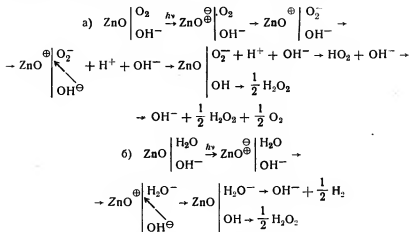
Электрон, попавший в зону проводимости, не принадлежит какому-либо отдельному иону, а может передвигаться по кристаллической решетке, удаляясь от места отрыва. Миграция энергии в кристалле может, однако, осуществляться и другим путем.

В 1936 г. Я. И. Френкелем было введено понятие экситона как формы передачи оптического возбуждения внутри кристалла. Под экситоном понимается пара: электрон + вакансия (дырка), странствующая по кристаллу как целое. Длительное сохранение электронной энергии кванта при его переносе по кристаллу без деградации в тепло осуществляется легче всего в молекулярных кристаллах (нафталин, антрацен и т. п.). Для неорга-

нических полупроводников более вероятен механизм миграции электрона или его дефекта (дырки), хотя возможна и миграция экситона. Наличие экситона для типично дырочного полупроводника — окиси меди и электрононого — окиси цинка доказано экспериментально. Мигрирующий электрон или экситон может дойти до поверхности кристалла, где может быть отдан веществу, способному восстанавливаться, например, адсорбированному красителю метиленовой голубой. Посторонний восстановитель (глицерин, вода и т. д.) возмещает утраченный электрон кристаллу, сам при этом фотоокисляясь. Весь процесс может быть представлен следующей схемой:



Здесь А — молекула красителя, адсорбированная на ZnO, Y — окисленная молекула восстановителя, \oplus — экситон, т. е. раздельно существующие электрон и дырка; \ominus — лабильный электрон, HY — восстановитель, HA — восстановленная форма красителя. При фотоокислении воды на полупроводниках, например на окиси цинка, образуется перекись водорода, являющаяся в отсутствие восстановителей единственным стабильным продуктом. Схематически фотоокисление воды на окиси цинка в присутствии (а) и отсутствии (б) кислорода можно представить следующими схемами:



Знаком \ominus обозначен электрон, появляющийся под действием кванта излучения, знаком \oplus — место, занимавшееся этим электроном, на которое может перейти электрон адсорбируемого вещества, знаком \oplus — экситон.

Рассматриваемый процесс образования перекиси водорода протекает с участием радикалов OH и HO_2 , образовавшимися в темноте и адсорбированными на полупроводнике.

Активность фотокатализатора в высокой степени зависит от наличия в катализаторе различных примесей. Так, например, ионы Bi^{3+} , Pb^{2+} , Tl^{3+} , Ag^+ , Cu^+ , Mn^{2+} , введенные в решетку окиси цинка, превращают ее в мощный фотокатализатор окислительно-восстановительной реакции, например между донором протонов — формальдегидом и красителем — метиленовой синью. При этом наибольшей активностью обладают активные центры, содержащие один ион постороннего металла.

Вероятно, активный центр при фотокатализе имеет биполярную структуру и состоит из иона активатора, нарушающего структуру решетки, и зоны этого дефекта, содержащей избыток зарядов ионов противоположного знака. Однако, введение ионов, активирующих окись цинка, в другие полупроводники: окись кадмия, окись свинца, окись меди — не приводило к появлению фотокаталитической активности.

Как указывалось ранее, измерение поверхностной люминесценции может служить одним из чувствительных методов обнаружения фотораспада молекул, адсорбированных на полупроводнике. Вещества, тушащие люминесценцию, являются каталитическими ядами, но вещества, подавляющие катализ, могут и не тушить люминесценцию. Это свидетельствует о том, что природа активных центров в фотокатализе сложна и в химический процесс могут вовлекаться электроны различных уровней возбуждения, находящиеся в различных зонах полупроводника.

ЛИТЕРАТУРА

А. Н. Теренин. Фотохимия красителей. М.—Л., Изд. АН СССР, 1947.

Ф. Ф. Волькенштейн. Электронная теория катализа на полупроводниках. М., Физматгиз, 1960.

Проблемы кинетики и катализа, X. Физика и физико-химия катализа. М., Изд-во АН СССР, 1960.

Проблемы кинетики и катализа, VIII. Электронные явления в катализе и адсорбции. М., Изд-во АН СССР, 1955.

Катализ. Труды Всесоюзного совещания по катализу. Киев, Изд-во АН УССР, 1950.

Катализ. Труды первого международного конгресса. М., ИЛ, 1960.

Катализ. Исследование гетерогенных процессов. М., ИЛ, 1956.

ГЛАВА IX

ФЕРМЕНТАТИВНЫЙ КАТАЛИЗ

§ 49. Ферменты

Ферментами или энзимами называются биологические катализаторы, образуемые клетками животных и растений. Общими свойствами ферментов являются их высокая каталитическая активность, специфичность действия, термолабильность и коллоидальный белковый характер. По-видимому, все ферменты — белки с высоким молекулярным весом. Свыше 70 ферментов получены в кристаллическом состоянии. Молекулярный вес кристаллического пепсина 35000, кристаллической лактодегидразы из сердца 135000, дегидразы глутаминовой кислоты из печени 1000000, алкогольдегидразы из печени лошади 73000 и т. д.

Диаметр частиц ферментов находится в пределах 1—100 микрон, т. е. лежит в коллоидной области. Следует учесть, что форма белковой молекулы фермента может быть различной. Так, например, коэффициент диффузии лактодегидразы при 20°C ($D = 5,3 \cdot 10^{-7}$ см²/сек) больше, чем у дегидразы ($D = 2,54 \cdot 10^{-7}$ см²/сек), хотя молекулярный вес последней, как указывалось выше, в 7 раз больше, чем у первой.

Термолабильность ферментов т. е. инактивация их, связанная с разрывом полипептидных связей при повышении температуры — денатурация белков, приводит к появлению оптимума температурного действия. С ростом температуры увеличивается скорость ферментативной реакции, но увеличивается и инактивация фермента. Поскольку белки являются амфотерными электролитами, для ферментов характерен также оптимум pH. Так, например, оптимум действия пепсина лежит в зоне pH = 1,5—2,5, трипсина — 8—11, сахаразы, выделенной из дрожжей, — 4,6—5,0, сахаразы из кишечника — 6,2, амилазы из слюны или поджелудочной железы — 6,7—6,8 и т. д. Некоторые ферменты могут иметь различную величину оптимума pH для разных субстратов. Так, оптимум pH пепсина несколько меняется для разных белковых субстратов, тогда как карбогидразы

имеют один и тот же оптимум вне зависимости от вещества, подвергающегося каталитическому превращению. При увеличении или уменьшении рН активность фермента резко падает, при высокой щелочности или кислотности происходит необратимая денатурация ферментов. В отличие от оптимума рН, температурный оптимум действия ферментов не является характеристической константой, так как зависит от чистоты фермента, характера субстрата, подвергающегося действию фермента, наличия активаторов или ингибиторов, а также метода исследования реакции.

Изменение скоростей реакции и инактивации с повышением температуры различно. Поэтому если опыт проводится за малый промежуток времени, то оптимум может лежать при более высоких температурах, чем при длительном опыте. Уже при 60° большинство ферментов инактивируется. При денатурации (инактивации) ферментов теплота активации этого процесса велика — порядка 40—100 ккал/моль, но так как энтропия активации тоже велика, то такие реакции идут быстро.

Как правило, ферментативный катализ осуществляется путем снижения энергии активации реакции, причем энергия активации ферментативных реакций значительно меньше, чем у тех же реакций, катализируемых неорганическими катализаторами. В табл. 27 приведены примеры некоторых реакций, катализируемых ферментами и неорганическими катализаторами.

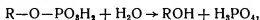
Таблица 27

Реакция	Катализатор	Теплота активации, ккал/моль
Разложение перекиси водорода	Без катализатора	18000
То же	Ионы йода	13500
" "	Коллоидальная платина	11700
" "	Каталаза печени	5500
Гидролиз сахара в водных растворах	Ионы водорода	25560
То же	Сахараза	8700
Гидролиз казеина в водном растворе	Соляная кислота	20600
То же	Трипсин-киназа	14400
Гидролиз ацетилхолина в водном растворе	Без катализатора	21000
То же	Ионы водорода	16000
" "	Ионы гидроксила	12000
" "	Холинэстераза сыворотки лошади	5600—6500
" "	Ацетилхолинэстераза красных кровяных шариков	4800

Обычно ферменты обладают абсолютной групповой специфичностью, т. е. фермент специфичен для реакций определенного класса соединений: спиртов, альдегидов, эфиров, полипептидов и т. д. При групповой специфичности ферменты катализируют реакцию по определенной связи: пептидной, эфириной и др. В соответствии с этим ферменты можно классифицировать по характеру их действия, разделив на следующие группы.

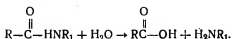
1. Гидролазы — ферменты гидролиза. Последние в свою очередь могут быть подразделены на:

а) фосфатазы — ферменты, расщепляющие связь эфиров фосфорной кислоты,



например рибонуклеазы;

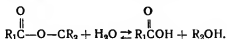
б) протеолитические ферменты, расщепляющие пептидную связь,



К этой группе относятся пепсин, трипсин и ряд других ферментов;

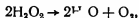
в) глюкозидазы — ферменты, гидролизующие сахара и полисахариды, как мальтаза, амилаза, целлюлаза и т. д.;

г) липазы и эстеразы, расщепляющие эфириую связь,

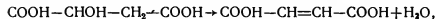


К этим ферментам относятся ферменты, расщепляющие жиры и липонды: эстераза печени, панкреатическая липаза и др.

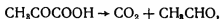
2. Эизимы присоединения (разложения), как, например, каталаза, разлагающая перекись водорода,



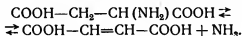
фумараза, превращающая яблочную кислоту в фумаровую,



карбоксилаза, отщепляющая углекислый газ от пировиноградной кислоты,

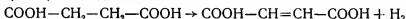


аспартаза, превращающая аспарагиновую кислоту в фумаровую,



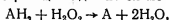
3. Энзимы переноса.

а) Ферменты окисления-восстановления, переносящие водород или электрон. В отличие от гидролитических энзимов, осуществляющих процесс распада до конца, окислительные ферменты катализируют только одну ступень окисления субстрата. Например, сукциндегидраза окисляет янтарную кислоту до fumarовой, но не дальше

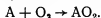


Выделяющийся водород может, соединяясь с кислородом, образовывать либо воду, либо перекись водорода. Обе эти группы ферментов относят к оксидазам. Перекись водорода, являющаяся энзиматическим ядом, может разложиться на кислород и воду ферментами каталазой или пероксидазой.

В последнем случае реакция идет по схеме

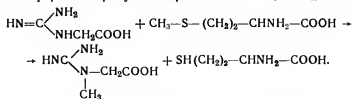


т. е. разрушение перекиси водорода протекает как окислительно-восстановительный процесс. А обозначает фенол, аскорбиновую кислоту и т. д. Процесс окисления в клетках может протекать и путем присоединения кислорода к легкоокисляющимся веществам, с образованием перекисных соединений



Образовавшаяся перекись служит окислителем восстанавливающихся веществ. Реакция катализируется пероксидазами.

б) Трансферазы—ферменты, переносящие различные группы, а именно: H_2PO_3 —фосфоферазы, NH_2 —аминоферазы, CH_3 —метилферазы, SH —тиоферазы и другие. Так, при взаимодействии гликоциаминина с метионином в присутствии соответствующей метилферазы образуются креатин и гомоцистеин



4. Изомеразы—ферменты, катализирующие реакции изомеризации. К ним, в частности, относятся такие ферменты, как мутаротаза, катализирующая реакцию мутаротации—превращения α -глюкозы в β -глюкозу; аконитаза, катализирующая изомеризацию лимонной кислоты в изолимонную кислоту, и ряд других. Однако наряду с групповой специфичностью есть ферменты, обладающие абсолютной специфичностью. Уреаза способна разрушать только мочевины и больше ничего; мальтаза из проростков ячменя действует только на мальтозу и неактивна к другим α -глюкозидам; аргиназа действует на

субстраты, содержащие неизмененный L-аргинин; сукцингидраза действует только на янтарную кислоту и неактивна к малоновой кислоте, которая ее подавляет. Специфичность энзима в отношении одних реакций может быть абсолютной, в отношении других групповой. Так, ксаантиноксидаза проявляет групповую специфичность при окислении альдегидов в кислоты и абсолютную — при окислении ксаантина и гипоксаантина в мочевую кислоту.

Каталитическую активность ферментов можно характеризовать как отношение скорости реакции при концентрации катализатора, равной единице, к скорости той же реакции без катализатора, или по снижению энергии активации при концентрации катализатора, равной единице, и, наконец, «числом оборотов» фермента. «Числом оборотов» называется количество молей субстрата, превращаемое в единицу времени одним молекул фермента. В табл. 28 приведены величины «чисел оборотов» некоторых ферментов.

Таблица 28

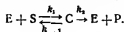
Фермент	Температура, °C	Число оборотов ферментов в минуту
Каталаза	0	$2,5 \cdot 10^6$
Полифенолоксидаза	20	$7 \cdot 10^4$
Карбоксилаза	30	$1 \cdot 10^3$
Цитохром C	38	$1,4 \cdot 10^3$

Следует учесть, что ферменты, как и любые катализаторы, в равной степени ускоряют как прямую, так и обратную реакции. Поэтому ферменты расщепления — гидролазы в то же время являются ферментами синтеза, ферменты окисления — ферментами восстановления и т. д. Некоторые ферменты, как, например, пепсин, трипсин, обладают автокаталитическими свойствами. Попадая на соответствующий белковый субстрат, они превращают его в фермент. Этот процесс, ведущий к «размножению» фермента, весьма напоминает процесс размножения вирусов — мельчайших возбудителей заболеваний растений и животных. Многие вирусы, подобно ферментам, получены в кристаллическом состоянии, как, например, вирус табачной мозаики с молекулярным весом $4 \cdot 10^7$, вирус столбура томата с молекулярным весом 10^7 , вирус некроза табака ($6 \cdot 10^6$), вирус желтой мозаики репы ($5 \cdot 10^6$) и т. д. Диаметр наиболее мелких вирусов равен приблизительно 20 мкм, т. е. близок к величине наиболее крупных ферментов. Мелкие вирусы отличаются под электронным микроскопом гомогенностью внутреннего содержимого и полным единообразием размеров и формы.

Все это позволяет с известной долей вероятности считать ферменты простейшим «живым веществом». Поэтому теория ферментативного катализа в известной степени должна быть и теорией элементарных процессов жизни.

§ 50. Формальная кинетика ферментативных реакций

Задачей формальной кинетики ферментативных реакций является расчет скорости ферментативных реакций для различного момента времени и различных концентраций субстрата. Формальная кинетика ферментативных реакций основывается на теории Михаэлиса — Ментена (1913 г.), согласно которой ферментативная реакция протекает через образование промежуточного соединения. При наличии одного субстрата (реагирующего вещества) реакция схематически может быть изображена следующим образом:



Здесь E — фермент, S — субстрат, C — промежуточное соединение фермента с субстратом, P — продукт реакции. Скорость образования промежуточного соединения равна

$$\frac{dc}{dt} = k_1 s (e - c) - (k_{-1} + k_2) c,$$

где e — исходная концентрация фермента, c — концентрация промежуточного соединения, а следовательно, и связанного фермента, $e - c$ — концентрация свободного фермента. Скорость превращения исходного вещества равна

$$-\frac{ds}{dt} = k_1 s (e - c) - k_{-1} c,$$

где s — концентрация субстрата.

Скорость образования продукта реакции равна

$$\frac{dp}{dt} = k_2 c.$$

Здесь p — концентрация продукта реакции.

Константа диссоциации комплекса k_s , характеризующая меру сродства фермента к субстрату, равна

$$k_s = \frac{k_{-1}}{k_1}. \quad (123)$$

Экспериментально измеряемая константа диссоциации равна $\frac{k_{-1} + k_2}{k_1}$.

Поэтому для определения константы диссоциации комплекса необходимо знать величины k_{-1} и k_1 . Определить их можно учитывая, что концентрация субстрата во много раз больше, чем концентрация фермента. Концентрации фермента составляют обычно 10^{-6} — 10^{-10} моля. При этих условиях в процессе течения реакции концентрация промежуточного комплекса фермент — субстрат будет практически постоянной, т. е. будет соблюдаться условие стационарности:

$$\frac{dc}{dt} = 0, \quad k_1 s (e - c) - (k_{-1} + k_2) c = 0. \quad (124)$$

Отсюда

$$\frac{(e - c) s}{c} = \frac{k_{-1} + k_2}{k_1} = K_M. \quad (125)$$

Величина K_M , называемая константой Михаэлиса, представляет собой константу стационарного состояния, величину, характеризующую сродство комплекса к субстрату в процессе течения реакции. Эта характерная для данного фермента величина (постоянная при определенных условиях), может быть определена экспериментально и является наиболее важной константой в химии ферментов.

Из уравнения (125) следует, что

$$c = \frac{es}{K_M + s}.$$

Экспериментально измеряемая скорость реакции v , равная

$$v = k_2 c = \frac{dp}{dt} = \frac{k_2 es}{K_M + s}, \quad (126)$$

зависит от концентрации субстрата, фермента и константы Михаэлиса. Могут быть два предельных случая:

1) Концентрация субстрата мала, так что $s \ll K_M$. Тогда уравнение (126) превращается в

$$v = \frac{k_2 es}{K_M},$$

и реакция идет по первому порядку в отношении субстрата и фермента.

2) Концентрация субстрата велика $s \gg K_M$, тогда

$$v = k_2 e = v_{\text{макс}}.$$

В этом случае реакция идет по первому порядку для фермента и по нулевому в отношении вещества, скорость же достигает максимального значения. Последнее следует из того, что

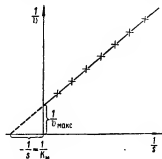


Рис. 55.

$$v = k_2 e \frac{s}{K_M + s} \quad \frac{s}{K_M + s} < 1.$$

Таким образом,

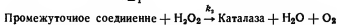
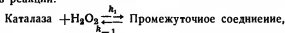
$$v = v_{\text{макс}} \frac{s}{K_M + s}. \quad (127)$$

Порядок ферментативной реакции дробный и лежит в пределах 0—1.

Уравнение (127) можно переписать в следующей форме:

$$\frac{1}{v} = \frac{1}{v_{\text{макс}}} \left(1 + \frac{K_M}{s} \right). \quad (128)$$

Из уравнения (128) следует, что величина обратной скорости является линейной функцией обратной концентрации субстрата, так как $v_{\text{макс}}$ и K_M постоянны для данной реакции. Это позволяет экспериментально определять константу Михаэлиса, измеряя скорость при разных концентрациях субстрата. На рис. 55 показано нахождение константы Михаэлиса по экспериментальным данным. Константа Михаэлиса имеет размерность концентрации (моль/л). Зная концентрацию фермента, можно вычислить k_1 , k_2 , k_{-1} и k_3 . Например, в реакции:



$$k_1 = 6 \cdot 10^6 \text{ сек}^{-1} \cdot \text{моль}^{-1}, \quad K_{-1} \ll 0,02 \text{ сек}^{-1} \text{ и}$$

$$k_2 = 1,8 \cdot 10^7 \text{ сек}^{-1} \cdot \text{моль}^{-1}.$$

Такой метод нахождения величины K_M и $v_{\text{макс}}$ применим только при соблюдении условия практической необратимости реакций. Последнее справедливо или при очень большом избытке одного из реагирующих веществ,

или для начального периода реакции, когда концентрация продукта невелика. Так, например, можно определить K_M и v_{\max} для реакции гидролиза сахарозы в присутствии сахаразы (избыток воды). Для этой реакции $K_M = 0,028$ моль/л, вообще же K_M обычно больше, чем 10^{-4} . Связь между k_s и K_M можно найти из уравнений (123) и (125).

$$K_M = k_s + \frac{k_2}{k_1}. \quad (129)$$

Второе слагаемое в уравнении всегда больше нуля. Поэтому $K_M > k_s$.

Если концентрацию второго реагирующего вещества нельзя считать бесконечно большой, то схема реакции несколько усложнится.



Для стационарного состояния

$$\frac{dc}{dt} = k_1(e - c)(s - c) - k_{-1}c - k_2cz = 0. \quad (130)$$

Здесь обозначения те же, что и выше (см. стр. 254), z — концентрация второго реагирующего вещества.

Экспериментальная скорость реакции v_s равна

$$v_s = \frac{dp}{dt} = k_2cz.$$

При постоянстве концентрации второго реагирующего вещества, например при ферментативном гидролизе,

$$k_2z = \text{const} = k'_2.$$

Учитывая, что концентрация фермента мала, т. е.

$$s - c \approx s,$$

получаем уравнение, вполне аналогичное (127), в котором

$$K_M = \frac{k_{-1} + k'_2}{k_1} = k_s + \frac{k'_2}{k_1}, \quad (131)$$

$$v_{\max} = k'_2e = k_2ez. \quad (132)$$

Из (131) и (132) следует, что

$$K_M = k_s + \frac{k_2z}{k_1} = k_s + \frac{v_{\max}}{k_1e}.$$

При $z \rightarrow 0$ $v_{\max} \rightarrow 0$ и $K_M \rightarrow k_s$

$$\frac{v_{\max}}{v} = 1 + \frac{k_s}{s} + \frac{v_{\max}}{k_1es}. \quad (133)$$

Учитывая, что в реакции v_{\max} , e , k_s и k_1 постоянны, обратная скорость является линейной функцией обратной концентрации субстрата. С другой стороны, при постоянном s

$$\frac{v_{\max}}{v} - 1 = \frac{k_s}{s} + \frac{v_{\max}}{k_1es} = \frac{k_M}{s},$$

т. е. относительное изменение максимальной скорости линейно меняется с v_{\max} , которая в свою очередь пропорциональна z . При постоянстве z можно, как это описано выше (см. рис. 55), определить v_{\max} . Измеряя $\frac{v_{\max}}{v} - 1$

в функции от максимальной скорости (меняя x при постоянстве s) и зная концентрацию фермента, можно определить k_1 , k_{-1} , k_2 а также величины K_M и K_s (рис. 56). Тангенс угла наклона (рис. 56) равен

$$\operatorname{tg} \alpha = \frac{1}{k_1 e s}.$$

Значение константы Михаэлиса может быть использовано для определения концентраций субстрата, необходимой для получения максимальной скорости реакции, а так же при решении вопроса об идентичности ферментов, полученных из различных источников. Для различных классов ферментов значения константы Михаэлиса обычно сильно отличаются. В табл. 29 приведены значения константы Михаэлиса для некоторых ферментов.

Таблица 29

Фермент	Субстрат	K_M моль/л
Мальтаза	Мальтоза	$2,1 \cdot 10^{-1}$
Сахараза	Сахароза	$2,8 \cdot 10^{-2}$
Фосфатаза	Глицерофосфат	$3 \cdot 10^{-3}$
Лактодегидраза	Пировиноградная кислота	$3,5 \cdot 10^{-5}$

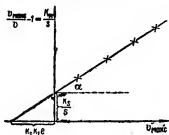


Рис. 56.

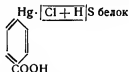
§ 51. Механизм действия ферментов

Как и многие катализаторы, ферменты образуют промежуточное соединение с реагирующим веществом. Для ряда ферментов существование промежуточных соединений можно установить непосредственно с помощью оптических методов. В особенности для этого подходят ферменты, содержащие железопорфириновые комплексы: каталаза, пероксидаза, цитохром С. Всем этим веществам свойственны интенсивные спектры поглощения, обусловленные присутствием железопорфириновой группы. Одна из полос спектра, так называемая полоса Соре в области 400 мкм имеет для гематина в щелочной среде молярный коэффициент экстинкции порядка 140 000. Спектр цитохромов настолько характерен, что изучение комплексов с субстратом можно проводить на живых клетках.

В спектре поглощения свободного восстановленного дифосфопиридининуклеотида в присутствии эквимолекулярных количеств кристаллической алкогольдегидразы печени максимум поглощения смещается с 340 до 328 мкм. Концентрация алкогольдегидразы, дающая максимальный эффект, равна половине моля, что соответствует комплексу 1 : 1. Этот комплекс является истинным промежуточным продуктом с константой диссоциации примерно 10^{-7} моль/л. Пероксидаза имеет отчетливый абсорбционный спектр в виде четырех полос поглощения при 645, 583, 548 и 498 мкм. При добавлении перекиси водорода к концентри-

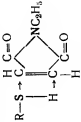

рованному раствору энзима вместо четырех прежних полос появляются две новых при 561 и 530,5 м.к. Количество перекиси водорода, необходимое для превращения данного количества энзима в новое соединение, в точности эквивалентно одной молекуле перекиси на каждый атом железа пероксидазы. Если количество перекиси водорода возрастает до 100 молекул на каждый атом железа, то образуется другое соединение с полосами поглощения при 583 и 545,5 м.к. Каталаза, инактивированная азидом натрия, имеет абсорбционный спектр с полосами поглощения при 624, 544 и 506,5 м.к. При добавлении перекиси водорода эти полосы исчезают, в спектре появляются полосы при 588 и 547 м.к, и одновременно начинается медленное разложение перекиси водорода. После полного разложения перекиси водорода появляется первоначальный спектр с тремя полосами. Промежуточные соединения энзимов с субстратом обладают специфическими свойствами.

Молекулярный вес энзима в тысячи раз превышает молекулярный вес субстрата. Размеры частиц ферментов лежат в коллоидной области, во много раз превышая размеры молекул субстрата. Поэтому при образовании промежуточного соединения на молекуле фермента должна быть область, к которой присоединяются как продукт, так и субстрат. Промежуточное соединение представляет собой своеобразное переходное состояние субстрат-фермент и фермент-продукт. Имеется ряд доказательств того, что в молекуле фермента каталитически активными являются определенные группы. Активная часть ферментов составляет малую долю от всей его молекулы. Для выявления этой активной части применяют специфические реагенты, не вызывающие денатурации фермента, но реагирующие с активной группой. Такой реагент должен тормозить действие фермента и связывать определенную группу в низкомолекулярных соединениях. Торможение активности под действием ингибитора обычно обратимо и по удалении ингибитора активность восстанавливается. Так, например, *n*-хлормеркурибензоат реагирует с SH-группой низкомолекулярных веществ, образуя меркаптиды. SH-группа часто является активной функциональной группой ферментов, в частности дегидраз. При добавлении *n*-хлормеркурибензоата происходит торможение дегидраз за счет реакции



В табл. 30 приведены некоторые характерные ингибиторы ферментов, позволяющие определить активную группу.

На наличие активных мест на поверхности энзима указывает также явление конкурентного торможения. Активность многих

Ингибитор	Активная группа	Реакция с ингибитором	Ферменты, подверженные действию ингибитора
n-Хлормеркурибензоат	Сульфгидрильная группа	$RS \begin{bmatrix} H & + & Cl \end{bmatrix} HgC_6H_4COOH$	Уреаза
Амид йодуксусной кислоты	Сульфгидрильные и аминогруппы	$RS \begin{bmatrix} H & + & J \end{bmatrix} CX_2CONH_2$	Папаин
N-этилмалеинимид	Сульфгидрильные группы		Миозин
Йодбензоат	То же	$R-S \begin{bmatrix} H & & & & \\ & J & O & & \\ & & & & \end{bmatrix} C_6H_4COOH$	Дегидраза триозофосфата
AsCl ₂ R	..		Сукциноксидаза
J ₂	..	$2RSH + J_2 \rightarrow R-S-S-R + 2HJ$	Лактодегидраза

Ингибитор	Активная группа	Реакция с ингибитором	Ферменты, подверженные действию ингибитора
Hg ⁺ , Ag ⁺ и т. п.	Сульфгидрильные группы и анiony	$RCOO^- + Me^+ \rightarrow RCOOMe$	Дегидраза глутаминовой кислоты
Цианид, азид	Металлпорфирины, металлы	Присоединение к металлам	Тирозиназа, каталаза
CO	Металлпорфирины	• • •	Цитохромоксидаза
Соединения, образующие хелатные комплексы с металлами (цитрат, оксалат, пирогликолат, этилендиаминтетрауксусная кислота и т. д.)	Металлы	Удаление металлов	Аспартаза
Фторид	Металлы, магний, белковый комплекс	Mg-фторид, Mg-фторфосфат	Энолаза
Алкилксигалогенфосфаты (диизопропилфторфосфат)	Серни или нмидазол	$ \begin{array}{c} O \\ \uparrow \\ R \boxed{H + P} - OR \\ \\ OR \end{array} $	Холинэстераза
Феррицианид	Сульфгидрильные группы	$2RSH \rightarrow R-S-S-R$	Амилаза
Арсенат	Связь органического фосфата	Конкурирует за акцептор с фосфатом	Фосфотрансфераза

ферментов часто угнетается веществами, в структурном отношении близкими к их субстратам. Сукциндегидраза окисляет янтарную кислоту, но скорость окисления обратно падает при добавлении малоновой кислоты. Малоновая кислота соединяется с энзимом так же как и янтарная, но сукциндегидраза на малоновую кислоту не действует. Таким образом, часть энзима обратимо связывается в форме неактивного комплекса фермент — малоновая кислота. Существование конкурентного торможения свидетельствует о том, что оба вещества реагируют с одной и той же частью молекулы энзима.

Известно много фактов конкурентного торможения. Так, активность дрожжевой сахаразы угнетается фруктозой, активность ксантиноксидазы — аденином и т. д. Эти факты свидетельствуют не только об образовании соединения энзим-субстрат, но и доказывают, что субстрат присоединяется лишь к некоторым определенным группам энзима. Вместе с тем конкурентное торможение указывает на крайнюю специфичность природы соединения энзим-субстрат.

С другой стороны, некоторые наблюдения позволяют считать, что субстрат соединяется с ферментом в нескольких точках. Так, все протеолитические ферменты расщепляют пептидные связи, но эти связи должны быть ориентированы строго специфично в отношении к окружающим белковым цепям и полярным группам молекулы субстрата. Действию протеолитических ферментов подвергаются только I-формы амнокислотных остатков, D-формы синтетических пептидов полностью инертны. Для объяснения стереохимической специфичности предполагается, что субстрат должен быть присоединен к ферменту по крайней мере в трех точках.

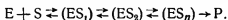
Специфичность фермента зависит от особенности атомной структуры и конфигурации субстрата и фермента. Если при гетерогенном катализе решающую роль играет принцип геометрического и энергетического соответствия, то в ферментативном катализе важно не только совпадение расстояний и энергий, но и совпадение формы.

В основе ферментативного катализа, вероятно, лежат принцип пространственного и энергетического соответствия, причем большая по сравнению с гетерогенным катализом специфичность ферментов предполагает и более узкие пределы энергетического соответствия. Старое образное выражение «фермент подходит к субстрату, как ключ к замку» неожиданно приобретает новый, буквальный смысл. Этому условно не противоречат наличие у некоторых ферментов только одного активного центра.

У гидролитических ферментов активные центры находятся на поверхности самого белка. Рентгеноструктурным анализом установлено, что полипептидная цепь — $\text{CHR}-\text{CONH}$ — свернута в спираль, которая удерживается водородными связями между каждой CO -группой и NH -группой в той же цепи через че-

тыре группы. Спираль располагаются рядом и таким образом образуют глобулярную молекулу, причем их относительное расположение фиксируется силами взаимодействия между боковыми цепями аминокислот. Такое расположение, обусловленное взаимодействием между спиралью, называется третичной структурой белка.

Высокая специфичность ферментов наряду с их сложной структурой дает основания полагать, что тесный контакт между ферментом и субстратом осуществляется не в отдельных точках, а на участках диаметром 15—20 Å. Активный участок может быть построен из различных активных групп (CO, NH₂, COOH, SH и т. д.), которые принадлежат смежным спиралью. Активные группы, благодаря характерному свертыванию спиралей, ориентированы в пространстве и образуют особую конфигурацию. Нагревание, разрушая третичную структуру вокруг активного центра, дезактивирует фермент. Фермент может образовывать с субстратом не один, а несколько промежуточных соединений по реакции



Спектральным анализом установлено, например, что пероксидаза хрена образует два комплекса с перекисью водорода, из которых второй получается из первого и может быть активным или неактивным. При изучении кинетики реакции гидролиза *n*-нитрофенолацетата и 2,4-динитрофенолацетата, катализируемой химотрипсином, были обнаружены три стадии. Первая — быстрая адсорбция субстрата, вторая — освобождение одного моля нитрофенола на моль химотрипсина с параллельным ацилированием группы у фермента и третья — гидролиз соединения фермент-ацил. Константы скоростей второго и третьего процесса соответственно равны $k_2=3 \text{ сек}^{-1}$ и $k_3=0,025 \text{ сек}^{-1}$. Эти величины характеризуют скорости реакций каждой из активных групп катализатора при взаимодействии с ферментом. В первой стадии освобождается только нитрофенол, ацетат же реагирует с гидроксильной группой фермента.

Есть основания считать, что по такому же механизму протекают реакции с пептидами, содержащими SH-группу. Сначала идет быстрая адсорбция, затем ацилирование SH-группы с образованием тиолового эфира SH-группой фермента и кислотной частью субстрата и, наконец, гидролиз тиолового эфира.

Ферментативный катализ имеет много общих черт с гомогенным и микрогетерогенным катализом. С гетерогенным ферментативным катализом сближает необходимость адсорбции субстрата на определенных местах катализатора. Но, в отличие от гетерогенного катализа, субстрат образует химические связи не с атомами поверхности катализатора, а с определенными группами: NH₂, COOH, SH и т. п., входящими в молекулу катализатора. Это сближает ферментативный катализ с гомогенным катали-

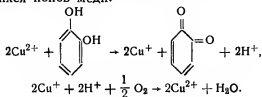
зом. От гетерогенного катализа ферментативный отличает также отсутствие поверхностной подвижности адсорбированного субстрата. Наконец, коллоидальный характер ферментов приводит к появлению сходных черт между микрогетерогенным и ферментативным катализом. Так одни и те же яды действуют как на окислительно-восстановительные ферменты, так и на соли благородных металлов. Однако от гомогенного, гетерогенного и микрогетерогенного ферментативный катализ отличает высокая активность и специфичность действия. Поэтому теория ферментативного катализа должна учитывать как общие черты ферментативного катализа с другими видами каталитических процессов, так и его специфику.

Теория ферментативного катализа еще не существует. Выяснение природы специфического действия ферментов требует прежде всего установления влияния сложности строения молекулы катализатора на его активность и роли отдельных групп и атомов, входящих в состав катализатора. Этот вопрос решается как непосредственным изучением природы ферментов, так и моделированием ферментативных процессов.

§ 52. Моделирование ферментативных реакций

Многие ферменты в качестве активных центров содержат металлы или комплексы с металлами. Так, ксантиноксидаза представляет собой молибденфлавопротеид, дегидраза — бутрил — медьфлавопротеид, железо входит в состав цитохрома, гидропероксидазы и т. п., пептидазы содержат цинк, фосфатазы и пептидазы — магний, последние так же марганец и кобальт и т. д. Все микроэлементы, необходимые для живых клеток, связаны с каталитическими процессами.

В особенности велика роль железа как компонента, необходимого для нормальной жизни клеток. Каталитическая активность некоторых тканей пропорциональна количеству содержащегося в них железа. Железо служит каталитическим центром в двух больших классах ферментов — у гидропероксидаз и цитохромов. У некоторых ферментов каталитическим центром является медь. Металлы переменной валентности могут быть катализаторами реакций окисления и в гомогенном катализе. Например, окисление таких полифенолов в растворе, как катехин, проходит с участием попеременно окисляющихся и восстанавливающихся ионов меди:



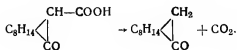
Вследствие большого молекулярного веса ферментов количество металла, содержащегося в них, обычно очень мало. Например, на 1 *моль* ксантиноксидазы с молекулярным весом 230 000 приходится 1 атом молибдена. Металлы не присоединены непосредственно к белку, а включены в состав комплексов. Так, в железосодержащих ферментах железо входит в порфириновую или тетрапирроловую структуру в форме клешневидного комплекса. Связи, участвующие в образовании клешневидных комплексов, в основном ионные. Возможно, что очень высокая активность каталазы связана с наличием в ней четырех атомов железа на одну молекулу фермента.

Комплекс фермент-металл обратим. Его диссоциацию можно вызвать диализом и подавить повышением концентрации иона металла. Для лейцинамминопептидазы, у которой к каждому активному центру присоединен один ион марганца, при 40°C и pH=8,0 константа диссоциации комплекса фермент-металл равна $4 \cdot 10^{-5}$ *моля*. Связь в комплексе координационного типа. Соединение иона марганца и фермента идет медленно — в продолжение нескольких часов.

Ионы, входящие в состав комплексов, в тысячи раз активнее, чем гидратированный ион в растворе. Если в реакции разложения перекиси водорода каталитическую активность иона железа в растворе принять за единицу, то железо в гемме — сложном нооорганическом комплексе — имеет активность 100, а железо в ферменте каталаза $5 \cdot 10^8$.

Каталазное разложение перекиси водорода можно моделировать с помощью более простых соединений — комплексов меди с аммиаком. При изучении каталазной активности этих соединений было установлено, что наибольшей активностью обладают комплексы, содержащие клешнеобразные структуры типа хелатов. При размыкании «клешни» активность падает.

Хелатные комплексы не только активны, но и обладают большой активностью, т. е. способны сильно менять активность под влиянием небольших изменений в составе молекулы адденда. Причина повышения каталитической активности иона при вхождении его в комплекс неясна. Ферменты, разлагающие только один из оптических изомеров, имеют аналоги в более простых системах. Например *d*- и *l*-камфокарбоновые кислоты при нагревании в растворителях образуют камфору и углекислый газ.



Скорость этого процесса в оптически недеятельных растворителях, например в анилине, одинакова. Но в никотине *d*-кислота распадается быстрее, чем *l*-кислота.

Одним из возможных объяснений высокой активности ферментов может быть принцип аггравации (утяжеления), предложенный Н. И. Кобозевым в 1945 г. Известно, что в некоторых случаях увеличение молекулярного веса катализатора приводит к росту каталитической активности. Так, например, гидролиз белков в присутствии жирных кислот с длинными цепями протекает в 100 раз быстрее, чем в присутствии HCl . Согласно Н. И. Кобозеву, высокомолекулярный катализатор может быть энергетической ловушкой.

Часть энергии реакции может быть поглощена молекулой катализатора, аналогично активации частиц в мономолекулярных реакциях, и может перейти в энергию внутренних колебаний атомов по связям. В следующем акте катализа избыточная энергия может быть отдана молекуле субстрата, снижая тем самым энергию активации. Для ряда аналогичных катализаторов с различным молекулярным весом M константа скорости равна

$$k_M = k_0 e^{\beta \sqrt{M}}, \quad (134)$$

где k_M — константа скорости катализатора с молекулярным весом M , k_0 — константа скорости катализатора с наименьшим весом, β — коэффициент пропорциональности.

Обозначим снижение энергии активации за счет части энергии реакции, поглощенной катализатором, через ξ . Эта величина названа Н. И. Кобозевым аггравационным потенциалом. Величина аггравационного потенциала определяется вероятностью удержания молекулой избыточной энергии. При усложнении молекулы эта вероятность, а следовательно, и Ψ будет расти. За меру вероятности можно взять среднюю квадратичную флуктуацию энергии и считать, что уменьшение энергии активации Ψ пропорционально $\delta\epsilon$

$$\Psi = \alpha \delta\epsilon,$$

где α — коэффициент пропорциональности. По формуле Гиббса средняя квадратичная флуктуация энергии $\delta\epsilon$ равна

$$\delta\epsilon = \sqrt{(\epsilon - \bar{\epsilon})^2} = k' T \sqrt{C_p}, \quad (135)$$

где k' — постоянная, C_p — теплоемкость. Для органических веществ теплоемкость с известной степенью приближения можно считать линейной функцией молекулярного веса

$$C_p \approx \gamma M, \quad (136)$$

где γ — коэффициент, зависящий от того, в каком состоянии — жидком, газообразном или твердом — находится вещество.

Из уравнений (135) и (136) следует

$$\psi = \alpha \delta \varepsilon = \text{const} \sqrt{M}$$

Энергия активации, определяемая экспериментально, равна

$$E = E_0 - \psi.$$

Тогда

$$k_M = A e^{-\frac{E_0 - \psi}{RT}} = A e^{-\frac{E_0}{RT}} e^{\text{const} \sqrt{M}} = k_0 e^{\beta \sqrt{M}}$$

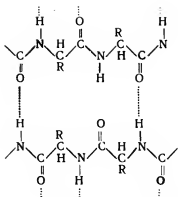
и потенциал аггравации ξ равен

$$\psi = \beta RT \sqrt{M}.$$

Для некоторых реакций в растворах (распад перекиси водорода в присутствии железосодержащих катализаторов и распад пировиноградной кислоты в присутствии аминов) уравнение (134) было подтверждено экспериментально. Следует учесть, однако, что в ферментах передача энергии может осуществляться более сложным путем, чем в модельных системах, для которых выведено уравнение (134).

В белках возможно существование проводящего электронного пути между донорными и акцепторными группами. Для сложноструктурных катализаторов характерно внутреннее взаимодействие всех атомов. Спектр поглощения пиридин-нуклеотидов резко меняется при сравнительно ничтожных изменениях в одной части молекулы; молекулы фталоцианина диамагнитны, т. е. атомы углерода в них, по-видимому, связаны общими электронами; в комплексных ионах фотовозбуждение аддеидов вызывает появление флуоресцентного спектра центрального иона и т. д. Вместе с этим в белках, в том числе и ферментах, существуют цепи атомов, способные особенно легко передавать энергию возбуждения. Так, экспериментально было показано, что фотохимический акт, происшедший на одном участке длинной цепеобразной молекулы, может привести к химической реакции на противоположном ее конце.

Возможно, что в белках передача энергии осуществляется полипептидными цепями. В 1954 г. методом парамагнитного резонанса было установлено, что в лиофилизированных (высушенных при замораживании) тканях растений и животных содержатся относительно большие (10^{-6} — 10^{-8} моль/г) концентрации неспаренных электронов. В дальнейшем было показано, что эти неспаренные электроны принадлежат ферментам, но появляются только во время протекания ферментативных процессов. Возможно, что зоны проводимости проходят по цепям водородных связей, связывающих полипептидные цепи



Ряд фактов говорит за то, что неспаренные электроны делокализованы по белковой структуре. Комплекс субстрат-фермент можно рассматривать как примесный полупроводник с электронной или дырочной полупроводимостью. Электрон, попавший в зону проводимости, будет мигрировать по цепочке водородно-пептидных связей до тех пор, пока не попадает в потенциальную яму акцептора, образовавшего с ферментом комплекс. Таким путем окислительно-восстановительная реакция может осуществляться на расстоянии, без непосредственного контакта реагирующих молекул (см. § 43). Наконец, известна также способность сложных молекул сохранять длительное время полученную или избыточную энергию. Так, хлорофилл может длительное время сохранять энергию фотовозбуждения. Тем не менее моделирование ферментативного катализа более простыми катализаторами — это один из перспективных путей выяснения механизма ферментативного катализа.

ЛИТЕРАТУРА

- М. Диксон и Э. Уэбб. Ферменты. М., ИЛ, 1961.
 Дж. Нейландс, П. Штумпф. Очерки по химии ферментов. М., ИЛ, 1958.
 Э. Болдуин. Основы динамической биохимии. М., ИЛ, 1949.
 Дж. Брей и К. Уайт. Кинетика и термодинамика биохимических процессов. М., ИЛ, 1959.
 Д. Нортроп, М. Купитц, Р. Херриотт. Кристаллические ферменты. М., ИЛ, 1950.
 Катализ. Труды первого международного конгресса. М., ИЛ, 1960.
 Кинетика и катализ. Сб. под ред. Л. А. Николасова. М., Изд-во АН СССР, 1960.
 Катализ. Исследование гомогенных процессов. М., ИЛ, 1957.
 Катализ. Исследование поверхности катализаторов. М., ИЛ, 1960.
 С. Глестон, К. Лейдлер, Г. Эйрниг. Теория абсолютных скоростей реакций. М., ИЛ, 1948.
 Уч. зап. МГУ, вып. 174. Изд-во МГУ, 1955.
 Химия координационных соединений. М., ИЛ, 1960.
 К. С. Сухов. Вирусы. М., Изд-во АН СССР, 1956.

ГЛАВА X

ТОРМОЖЕНИЕ ХИМИЧЕСКИХ РЕАКЦИЙ

§ 53. Ингибиторы

Вещества, уменьшающие скорость реакции, называются отрицательными катализаторами или ингибиторами. От ингибиторов следует отличать вещества, уменьшающие активность катализатора, — каталитические яды, о которых говорилось в § 42. К ингибиторам относятся вещества разного химического строения, обладающие свойством уменьшать скорость некаталитической реакции.

По применению ингибиторы можно разделить на две группы: 1) ингибиторы окисления, полимеризации и ряда других процессов и 2) ингибиторы коррозии металлов. Так, свечение фосфора прекращается в присутствии (в определенных концентрациях) йодбензола, йодистого этила, йодистого метила, сероуглерода, этилена, окиси азота и ряда других веществ. Добавление одной части гидрохинона на 10 000 частей акролеина полностью подавляет окисление акролеина. Бензойный альдегид, содержащий 1 часть гидрохинона на 135 частей альдегида, за год поглощает кислорода столько же, сколько в отсутствии гидрохинона за 1 минуту.

Замедляющее действие малых примесей на скорость реакции в жидкой фазе особенно сильно проявляется в реакциях окисления, полимеризации, а также в реакции распада перекиси водорода и т. д. Наиболее сильными замедлителями для многих окислительных реакций и реакций полимеризации являются пирогаллол, гидрохинон, пирокатехин и резорцин. При окислении масел и крекингбензинов наиболее сильно снижают скорость окисления дифенилгидразин, дифенил, пара-аминофенол, нафталин и т. п. Для предотвращения окисления крекингбензина эффективной оказывается древесная смола, содержащая естественные ингибиторы фенольного и смолистого характера.

В процессах полимеризации особенно эффективными ингибиторами могут быть хиноидные производные, образующиеся из полифенолов и ароматических аминов. Общеизвестно действие антидетонаторов (например, тетраэтилсвинец), предотвращающих детонацию в двигателях внутреннего сгорания. Разложение органических соединений может тормозиться в присутствии паров йода.

Замедлители коррозии металлов нередко применяются для удаления окислов травлением в кислоте. Так, например, для предохранения стали на 90% от растворения в 4,9% растворе серной кислоты при 25° в течение 48 ч достаточно добавить к раствору 0,003% бутилсульфида или 0,011% тиомочевныи, или 0,19% бензальдегида.

«Процент защиты» определяется как отношение разности скоростей (убыли веса стальной пластины) без замедлителя и с замедлителем к скорости без замедлителя. Те же замедлители применимы для защиты стали в соляной и фосфорной кислотах, а также для защиты алюминия в соляной кислоте. В разбавленной фосфорной кислоте коррозию алюминия можно замедлить добавкой 1% раствора хромовой кислоты или ее солей. Добавка $\text{Na}_2\text{Cr}_2\text{O}_4$ в виде 12% водного раствора в бензине в количестве 0,79 частей на миллион от веса бензина препятствует коррозии бензопроводов. Несмотря на широкое применение ингибиторов коррозии, механизм их действия недостаточно ясен.

§ 54. Механизм действия ингибиторов

Механизм действия ингибиторов реакций окисления, полимеризации, гомогенного разложения перекиси водорода и других, протекающих по цепному механизму, заключается в обрыве цепей. Действие данного ингибитора зависит не только от природы реагирующих веществ, но и от условий опыта. Сильное тормозящее действие ингибитора наблюдается при следующих условиях.

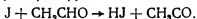
1) Реакции радикалов цепи с молекулами ингибитора протекают быстрее, чем реакции рекомбинации радикалов цепи. Скорость рекомбинации радикалов тем больше, чем больше скорость инициирования цепи. В связи с этим ингибитор сильно тормозит реакцию при слабом инициировании, при низких температурах, малой интенсивности света при фотохимическом инициировании и т. п.). При сильном инициировании (высокие температуры, большая интенсивность света) ингибитор оказывает слабое влияние на реакцию.

2) Образующиеся при взаимодействии радикалов с молекулами замедлителя радикалы должны быть достаточно инертными, чтобы успеть рекомбинировать раньше, чем они войдут в реакцию развития цепи. Легкость реакции радикала с исходным веществом зависит как от природы ингибитора, так

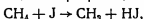
и от свойств реагирующих молекул. Поэтому один и тот же ингибитор может тормозить одни реакции и почти не влиять на другие. Если энергия разрываемой в исходном веществе связи достаточно низка, то с такой молекулой может реагировать и малоактивный радикал, регенерируя радикал цепи.

3) Если ингибитор диссоциирует на радикалы легче чем исходное вещество, то он может быть инициатором цепей и вместо торможения реакции будет наблюдаться ее ускорение.

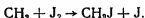
Будет ли проявляться ингибирующее или ускоряющее действие, зависит от условий реакции. Так, например, разложение органических соединений эфиров, альдегидов и т. п. ускоряется примесью паров йода. Энергия диссоциации молекулы йода на атомы мала (35 ккал) и поэтому йод может инициировать цепные реакции, как, например,



Радикал CH_3CO дает начало цепи. Но если реакция атомарного йода с исходной молекулой сильно эндотермична (теплота реакции не меньше 10 ккал), то будет наблюдаться замедляющее действие, вследствие замены активного радикала цепи малоактивным атомом йода. Так, например, если начало цепи дает радикал CH_3 , образующийся при реакции

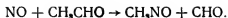


то этот активный радикал прореагирует с молекулой йода и образуется малоактивный атом йода.



Двойственное действие йода наблюдается при окислении метана. Так, при окислении метана при 340°C добавление 0,3% йода увеличивает период индукции с 14 до 135 мин., при увеличении температуры до 447°C добавление 2% йода сокращает период индукции. Аналогичное действие оказывает NO, являющаяся скрытым радикалом, активность которого при низких температурах очень мала. При встрече со свободными радикалами цепи NO легко присоединяется к ним. Так, радикал трифенилметил мгновенно образует Ph_3C-NO . Поэтому при низких температурах NO является ингибитором большого числа цепных реакций, образуя нитрозосоединения.

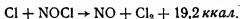
Примесь NO, ведущая себя как замедлитель в некоторых реакциях (например, при крекинге углеводородов), в других реакциях (разложение альдегидов) является только ускорителем и, наконец, при разложении диэтилового эфира, диметилового эфира, бензойного альдегида, диоксиана, окислении диизопропилового эфира и т. п. проявляет двойственное действие, замедляя реакцию в малых количествах и ускоряя в больших. Ускоряющее действие NO проявляется и при повышении температуры, например, в реакции



Двойственное действие обнаруживает также нитрозилхлорид. Он может легко распадаться с образованием атомов хлора, способных начать цепную реакцию



В то же время хлористый нитрозил может быть ингибитором вследствие легко идущей экзотермической реакции



Добавление NOCl в количестве 0,1 мм рт. ст. снижает скорость фотохимического образования фосгена из CO и Cl₂ в 30 раз.

Бромокись фосфора в концентрации 1% является активным ингибитором при автоокислении бензойного альдегида и энергичным катализатором при окислении стирола, увеличивая скорость окисления последнего в сотни раз. Абигат кобальта в концентрациях до 0,001% тормозит окисление абиеиновой кислоты, а в концентрациях выше 0,01% ускоряет эту реакцию.

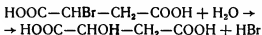
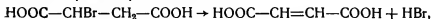
При окислении акролеина в начальной стадии йод задерживает процесс автоокисления, а в конечной — ускоряет. Тиофенол ускоряет автоокисление льняного масла в начальной стадии и приостанавливает его, когда скорость достигает определенной величины. В щелочной среде этилксантогенамид тормозит окисление сульфита, в кислой — ускоряет процесс. Даже такие катализаторы автоокисления, как ионы переменной валентности, могущие инициировать цепные реакции, — медь и железо, могут при некоторых условиях тормозить окисление.

Ингибирующее действие замедлителей коррозии связано со способностью некоторых веществ избирательно адсорбироваться на поверхности металла. Скорость коррозии металла в кислоте определяется катодной поляризацией, сопровождающейся выделением водорода. По-видимому, в этом случае роль замедлителя сводится к адсорбции его на поверхности металла. На поверхности металла, но не окалины, образуется ориентационная пленка, которая повышает перенапряжение водорода, увеличивает концентрационную поляризацию и создает высокое переходное сопротивление между раствором и поверхностью металла.

Механизм ингибирования кислородсодержащими анионами, хроматами, фосфатами, силикатами, арсенатами несколько иной. Известно, что поверхность пленки, образующейся на неблагоприятных металлах при контакте их с водной средой, неоднородна. На поверхности имеются анодные и катодные участки. Действие «солевых» ингибиторов приписывается адсорбции анионов на анодных участках. Возможно, однако, что ингибирующее действие связано с устойчивостью образующейся с ингибитором кристаллической пленки, являющейся более стабильной, чем гидратированные окислы и гидроокиси.

§ 55. Автоторможение

Для некоторых реакций характерно падение константы скорости реакции по мере образования продуктов реакции. Так, константа скорости мономолекулярного гидролитического разложения бромиятарной кислоты



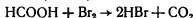
убывает с течением времени. Скорость этих реакций может быть выражена уравнением

$$\frac{dx}{dt} = k \frac{a-x}{x},$$

где a — начальная концентрация бромиятарной кислоты, x — концентрация бромистоводородной кислоты, выделяющейся в процессе реакции. Предварительное добавление бромистоводородной кислоты замедляет реакцию, в дальнейшем же константа скорости продолжает падать по мере течения реакции. При гидролитическом разложении α -бромпропионовой кислоты скорость реакции равна

$$\frac{dx}{dt} = k \frac{a-x}{(b+x)^2},$$

где b — начальная концентрация бромистоводородной кислоты. Автоторможение характерно для многих реакций, идущих в присутствии галондов. Например, при окислении муравьиной кислоты бромом в водном растворе



скорость реакции убывает за счет торможения ионами водорода и брома.

$$\frac{dx}{dt} = k \frac{[\text{HCOO}^-] [\text{Br}_2 + \text{Br}_3^-]}{1 + \frac{[\text{Br}^-]}{k_1}}.$$

Здесь k_1 константа равновесия реакции.



$$k_1 = \frac{[\text{Br}_2] [\text{Br}^-]}{[\text{Br}_3^-]}.$$

Объяснить торможение реакции можно тем, что реакция образования Br_3^- уводит Br_2 из раствора, сами же ионы Br_3^- не

принимают участия в реакции. Процессы автоторможения можно рассматривать как ингибирующее действие продуктов реакции на цепную реакцию. Однако количественная теория этих процессов недостаточно разработана.

ЛИТЕРАТУРА

К. Бейли. Торможение химических реакций. М.—Л., Госхимиздат, 1940.

Н. Н. Семенов. О некоторых проблемах химической кинетики и реакционной способности. М., Изд-во АН СССР, 1958.

С. Беркман, Д. Морелл и Г. Эглофф. Катализ в неорганической и органической химии. М.—Л., Гостоптехиздат, 1949.

Г. М. Шваб. Катализ. Л., ОНТИ-Госхимиздат, 1934

С. Э. Крейн. Стабилизация турбинных и трансформаторных масел. М.—Л., Госэнергоиздат, 1948.

Катализ. Труды первого международного конгресса. М., ИЛ, 1960.

Коррозия металлов, кн. 2. М.—Л., Госхимиздат, 1952.

ПРИЛОЖЕНИЯ

I. ПОСЛЕДОВАТЕЛЬНЫЕ РЕАКЦИИ

Решим уравнение

$$\frac{dy}{dt} + k_2 y = k_2 a (1 - e^{-k_1 t}). \quad (1,1)$$

Для этого временно приравняем правую часть нулю, т. е. найдем частное решение

$$\frac{dy}{dt} + k_2 y = 0, \quad \ln y = -k_2 t + \text{const.}$$

Постоянную интегрирования представим в виде $\ln E$, где E — некоторая функция времени. Тогда

$$y = E e^{-k_2 t}. \quad (1,2)$$

При $t = 0$, и только при этом условии, E — величина постоянная.

Чтобы найти зависимость E от t , дифференцируем (1,2) по t

$$\frac{dy}{dt} = -k_2 E e^{-k_2 t} + \frac{dE}{dt} e^{-k_2 t}. \quad (1,3)$$

Если в уравнении (1,1) подставить y из (1,2) и $\frac{dy}{dt}$ из (1,3) и привести подобные члены, то получим

$$\frac{dE}{dt} e^{-k_2 t} = k_2 a (1 - e^{-k_1 t})$$

и после интегрирования

$$E = a e^{+k_1 t} - \frac{k_2}{k_2 - k_1} a e^{(k_1 - k_1)t} + B,$$

где B — постоянная интегрирования.

Подставим полученное значение E в уравнение (1,2)

$$y = a - \frac{k_2}{k_2 - k_1} a e^{-k_1 t} + B e^{-k_2 t}.$$

При $t = 0$, $y = 0$ и, следовательно,

$$B = \frac{a k_1}{k_2 - k_1}.$$

Окончательно

$$y = a \left(1 - \frac{k_2}{k_2 - k_1} e^{-k_1 t} + \frac{k_1}{k_2 - k_1} e^{-k_2 t} \right).$$

$$x - y = \frac{k_1 a}{k_2 - k_1} (e^{-k_1 t} - e^{-k_2 t}).$$

Константы скорости первой и второй реакций могут находиться между собой в любом соотношении, в том числе могут быть и равны друг другу. Тогда выведения выше уравнения не дают возможности найти зависимость концентрации промежуточного вещества и продукта реакции от времени. Выведем уравнения последовательных реакций при равенстве констант скоростей первой и второй реакции,

$$k_1 = k_2 = k$$

$$\frac{dx}{dt} = k(a - x), \quad x = a(1 - e^{-kt}), \quad (1,4)$$

$$\frac{dy}{dt} = k(x - y), \quad (1,5)$$

$$\frac{dy}{dt} + ky = ka(1 - e^{-kt}). \quad (1,6)$$

При $t = 0$ правая часть уравнения (1,6) равна нулю. Поэтому

$$\ln y = -kt + \ln E. \quad (1,7)$$

Дифференцируем уравнение (1,7) по t и подставляем $\frac{dy}{dt}$ и y в уравнение (1,6)

$$\frac{dy}{dt} = -ke^{-kt}E + \frac{dE}{dt}e^{-kt}, \quad \frac{dE}{dt}e^{-kt} = ka(1 - e^{-kt}).$$

Разделяя переменные и интегрируя, получим

$$E = ae^{kt} - kat + B, \quad (1,8)$$

где B — постоянная интегрирования. Подставляем E из уравнения (1,8) в (1,7)

$$y = a - kate^{-kt} + Be^{-kt},$$

$$\text{при } t = 0 \quad y = 0 \quad \text{и } B = 0,$$

$$y = a(1 - kte^{-kt} - e^{-kt}),$$

$$x - y = akte^{-kt}.$$

Находим время максимального накопления промежуточного продукта и его максимальную концентрацию:

$$\frac{d(x - y)}{dt} = ak(e^{-kt \max} - t_{\max} ke^{-kt \max}) = 0$$

$$t_{\max} = \frac{1}{k}, \quad (x - y)_{\max} = \frac{a}{e} = 0,368 a.$$

При равенстве констант скорости образования и распада промежуточного продукта его максимальная концентрация зависит только от начальной концентрации исходного вещества.

II. ЧИСЛО СТОЛКНОВЕНИЙ МОЛЕКУЛ В ГАЗОВОЙ ФАЗЕ

Общее число столкновений молекул в газовой фазе

Найдем, от чего зависит общее число столкновений молекул в газовой фазе. При этом будем учитывать только поступательное движение частиц, пренебрегая внутренними степенями свободы — колебательным и вращательным движениями. Иначе говоря, будем рассматривать молекулы как твердые сферы (шары), находящиеся в поступательном движении и подчиняющиеся

закону упругих соударений. Число столкновений зависит от условий столкновения одной пары молекул (от „геометрии столкновения“) и от числа пар молекул, для которых вообще возможны столкновения. Определим сначала, какими параметрами определяется вероятность столкновения одной пары молекул.

Рассмотрим столкновение двух молекул с массами m_1 и m_2 и диаметрами D_1 и D_2 . Молекулы заключены в сосуде единичного объема. В момент столкновения центр первой молекулы должен лежать на поверхности шара с радиусом

$$r_{12} = \frac{1}{2}(D_1 + D_2),$$

центр которого находится в центре второй молекулы (рис. 57). Совместное движение частиц определяется величиной их относительной скорости движения V и углом θ между направлением относительной скорости и линией, соединяющей центры сталкивающихся молекул.

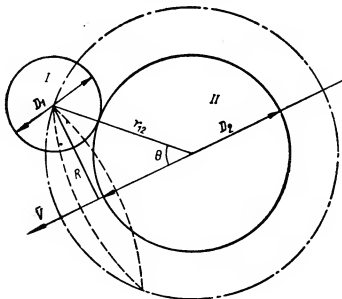


Рис. 57.

Рассмотрим столкновения, при которых величина относительной скорости движения равна V , а угол между нею и линией центров равен θ . В данном случае условием столкновения является нахождение центра первой молекулы на окружности, радиуса $R = r_{12} \sin \theta$ при данном направлении относительной скорости движения. Строго говоря, это условие справедливо только для частиц, остановившихся в своем движении в момент столкновения.

При упругом соударении сам акт соударения протекает, хотя и в течение бесконечно малого, но отличного от нуля промежутка времени dt . В течение этого времени обе частицы продолжают двигаться, но уже не свободно, а каждая в сфере силового поля другой частицы, деформируя это поле аналогично ничтожно малой деформации поверхности упругих шаров при их столкновении (рис. 58). При этом возникают силы отталкивания, отбрасывающие частицы друг от друга.

Если бы поверхность сфер при ударе не деформировалась, то за время dt центр первой частицы переместился бы относительно центра второй на величину дуги, измеряемую углом $d\theta$. Расстояние же между центрами частиц осталось бы прежним (рис. 58). Вероятность столкновения здесь определялась бы величиной угла, заключенного в пределах θ и $\theta + d\theta$. Для определения условий столкновения при величине относительной скорости движения V и величине угла между направлением скорости и линией центров, заключенного в пределах θ и $\theta + d\theta$, необходимо найти центр первой частицы на бесконечно тонком кольце сферы (заштрихованные участки на рис. 59).

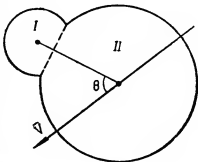


Рис. 58.

При изменении угла на величину $d\theta$ дуга $r_{12}d\theta$ также будет величиной бесконечно малой, поэтому различие в радиусах оснований кольца R и R' можно пренебречь (рис. 60). Площадь этого кольца можно считать равной площади цилиндра с высотой $r_{12}d\theta$ и с радиусом основания $r_{12} \sin \theta$.

Таким образом, математически вероятность столкновения при движении второй частицы относительно первой в случае, если величина относительной

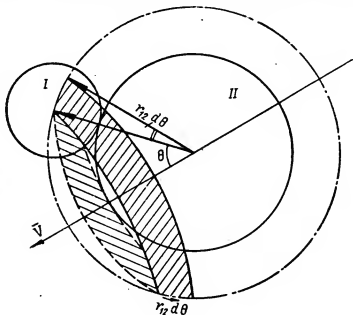


Рис. 59.

скорости равна V и величина угла между нею и линией центров заключена в интервале θ и $\theta + d\theta$, будет выражаться площадью заштрихованного коль-

ца, т. е. будет равна $2\pi r_{12}^2 \sin \theta d\theta$. Здесь, однако, не учтено сближение центров частиц в процессе соударения.

За время dt центр первой частицы пройдет относительно центра второй путь, равный $V \cos \theta dt$ (рис. 61), так как составляющая скорости по линии центров V' равна $V \cos \theta$. При взаимном движении частиц за время dt не только изменится их взаимное расположение (рис. 59), но они, кроме этого,

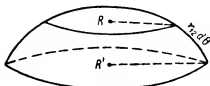


Рис. 60.

сблизятся по линии центров на величину $V \cos \theta dt$. Поэтому, чтобы найти условие столкновения двух частиц, надо определить центр первой частицы в любой точке, лежащей на отрезке $V \cos \theta dt$ и на площади $2\pi r_{12}^2 \sin \theta d\theta$, т. е. на любой точке, заключенной в объеме $2\pi r_{12}^2 \sin \theta d\theta V \cos \theta dt$ (рис. 62).

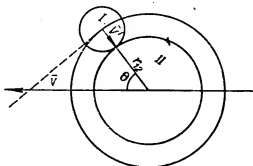


Рис. 61.

Толщина цилиндрического слоя $V \cos \theta dt$ бесконечно мала. Поэтому объем слоя можно принять равным произведению поверхности цилиндра на толщину слоя.

Таким образом, вероятность столкновения двух частиц, обладающих относительной скоростью движения V и величиной угла между направлением скорости и линией центров, заключенной в интервале θ и $\theta + d\theta$, математически будет выражаться величиной некоторого объема, равного $2\pi r_{12}^2 V \sin \theta \times \cos \theta d\theta dt$.

Вероятность столкновения в единице объема за единицу времени равна отношению этого объема ко всему объему, в котором заключены частицы, и должна быть отнесена к единице времени

$$dW = \frac{2\pi r_{12}^2 \sin \theta \cos \theta V d\theta dt}{1 \cdot dt} = 2\pi r_{12}^2 \sin \theta \cos \theta V d\theta. \quad (II,1)$$

Формула (II,1) выражает вероятность столкновения двух частиц в газовой фазе только в зависимости от их взаимного движения, определяемого величиной относительной скорости V и углом между направлением скорости и линией центров θ . Вероятность столкновения двух частиц, выражаемая формулой (II,1), не зависит от направления относительной скорости движения в пространстве и зависит только от ее величины.

Скорость относительного движения связана со скоростями движения отдельных частиц и является их векторной разностью. Поэтому задать величину относительной скорости значит требовать наличия определенных величин скоростей движения отдельных молекул. Образовать пару с величиной относительной скорости \bar{V} могут не любые две молекулы, а только такие, скорости которых имеют определенное значение. Найдем, чему равно число возможных пар молекул, удовлетворяющих условиям столкновения, если в единице объема заключена не пара, а любое количество молекул.

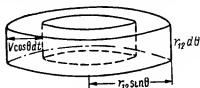


Рис. 62.

Если в единице объема заключено v_1 молекул первого сорта и v_2 молекул второго сорта, то каждая молекула первого сорта может образовать с молекулами второго сорта v_2 пар и каждая молекула второго сорта с молекулами первого сорта v_1 пар. Всего возможно наличие $v_1 v_2$ пар молекул. Если молекулы только одного сорта, то число пар равно числу сочетаний из v по 2, т. е.

$$\frac{v(v-1)}{1 \cdot 2} \approx \frac{v^2}{2}, \text{ так как } v \gg 1.$$

В общем виде число возможных пар равно $\frac{v_1 v_2}{\sigma_{12}}$, где σ_{12} — коэффициент симметрии; $\sigma_{12} = 1$, если молекулы различные, и $\sigma_{12} = 2$, если молекулы тождественны.

Число пар молекул, обладающих определенными скоростями движения, будет меньше. Число молекул первого сорта в единице объема, компоненты скорости которых лежат в пределах $u_1, u_1 + du_1$; $v_1, v_1 + dv_1$; $w_1, w_1 + dw_1$ согласно распределению Максвелла, равно

$$dv_1 = v_1 \left(\frac{m_1}{2\pi kT} \right)^{3/2} e^{-\frac{m_1 c_1^2}{2kT}} du_1 dv_1 dw_1,$$

где m_1 — масса молекул первого сорта и c_1 их результирующая скорость, т. е.

$$c_1^2 = u_1^2 + v_1^2 + w_1^2.$$

Выражение $\left(\frac{m_1}{2\pi kT} \right)^{3/2} e^{-\frac{m_1 c_1^2}{2kT}} du_1 dv_1 dw_1$ представляет собой вероятность молекулы иметь составляющие скоростей, лежащие в пределах $u_1, u_1 + du_1$; $v_1, v_1 + dv_1$; $w_1, w_1 + dw_1$ или, что то же самое, долю молекул, у которых компоненты скоростей заключены в указанном интервале.

Аналогично для молекул второго сорта доля молекул, которые обладают компонентами скоростей, лежащими в интервале $u_2, u_2 + du_2; v_2, v_2 + dv_2; w_2, w_2 + dw_2$ равна

$$dv_2 = v_2 \left(\frac{m_2}{2\pi kT} \right)^{3/2} e^{-\frac{m_2 v_2^2}{2kT}} du_2 dv_2 dw_2,$$

где

$$c_2^2 = u_2^2 + v_2^2 + w_2^2.$$

Число пар молекул, составляющие скоростей которых заключены в интервале $u_1, u_1 + du_1; v_1, v_1 + dv_1; w_1, w_1 + dw_1; u_2, u_2 + du_2; v_2, v_2 + dv_2; w_2, w_2 + dw_2$, равно произведению числа молекул обоих сортов, т. е.

$$dv_{12} = \frac{v_1 v_2}{\sigma_{12}} \left(\frac{m_1 m_2}{2\pi kT} \right)^{3/2} e^{-\frac{m_1 c_1^2 + m_2 c_2^2}{2kT}} du_1 du_2 dv_1 dv_2 dw_1 dw_2. \quad (II,2)$$

В формуле (II,2) величина $\frac{v_1 v_2}{\sigma_{12}}$ показывает общее число пар молекул,

а множитель $\left(\frac{m_1 m_2}{2\pi kT} \right)^{3/2} e^{-\frac{m_1 c_1^2 + m_2 c_2^2}{2kT}} du_1 du_2 dv_1 dv_2 dw_1 dw_2$ вероятность того, что составляющие скоростей сталкивающихся частиц заключены в указанном интервале, или долю пар частиц, у которых компоненты скоростей лежат в определенных пределах, обеспечивающих соударение.

Если бы сталкивающиеся частицы являлись геометрическими точками, то вероятность столкновения зависела бы только от скоростей движения частиц и характеризовалась бы уравнением (II,2). На самом деле сталкивающиеся частицы обладают, хотя и весьма малыми, но конечными размерами. Поэтому акт соударения происходит не мгновенно, а во времени, хотя и очень малом. Силы отталкивания при соударении появляются в результате деформации силовых полей молекул при их сближении (подобно деформации резиновых шаров при ударе их о поверхность).

Вследствие того, что молекулы не точки и не абсолютно упругие шары, вероятность соударения зависит не от „геометрии соударения“ (совместного движения молекул в момент соударения), т. е. является вероятностью сложного события. Поэтому общее число столкновений частиц, составляющие скоростей которых заключены в интервале $u_1, u_1 + du; v_1, v_1 + dv_1; w_1, w_1 + dw_1; u_2, u_2 + du_2; v_2, v_2 + dv_2; w_2, w_2 + dw_2$, относительная скорость равна V , а угол между нею и линией центров заключен в пределах θ и $\theta + d\theta$, найдем, перемножив (согласно теореме произведения вероятностей) уравнения (II, 1) и (II,2).

Число столкновений при этих условиях равно

$$dz = \frac{v_1 v_2}{\sigma_{12}} \left(\frac{m_1 m_2}{2\pi kT} \right)^{3/2} e^{-\frac{m_1 c_1^2 + m_2 c_2^2}{2kT}} 2\pi r_{12}^2 \sin \theta \cos \theta V d\theta du_1 du_2 dv_1 dv_2 dw_1 dw_2. \quad (II,3)$$

В формуле (II,3) произведение

$$\left(\frac{m_1 m_2}{2\pi kT} \right)^{3/2} e^{-\frac{m_1 c_1^2 + m_2 c_2^2}{2kT}} 2\pi r_{12}^2 \sin \theta \cos \theta V d\theta du_1 du_2 dv_1 dv_2 dw_1 dw_2$$

дает вероятность того, что составляющие скоростей сталкивающихся частиц заключены в указанном выше интервале, относительная скорость равна V , а угол между направлением скорости и линией центров лежит в пределах $\theta, \theta + d\theta$.

Величина V равна векторной разности скоростей отдельных частиц c_1 и c_2 . Докажем это.

Пусть XYZ — подвижная система координат, в центре которой находится вторая молекула, $X'Y'Z'$ — неподвижная система координат (рис. 63). \vec{r}_1 и \vec{r}_2 — радиус-векторы молекул в неподвижной системе координат, \vec{r} — радиус-вектор первой молекулы в подвижной системе координат (\vec{r} характеризует положение первой молекулы относительно второй).

$$\vec{r}_2 + \vec{r} = \vec{r}_1, \quad \vec{r} = \vec{r}_1 - \vec{r}_2.$$

Дифференцируем это уравнение по времени

$$\dot{\vec{r}} = \dot{\vec{r}}_1 - \dot{\vec{r}}_2,$$

где $\dot{\vec{r}}_1$ и $\dot{\vec{r}}_2$ — скорости движения молекул относительно неподвижной системы координат, а $\dot{\vec{r}}$ — скорость движения первой молекулы относительно второй, т. е. относительная скорость движения в подвижной системе координат. Следовательно,

$$\dot{\vec{V}} \equiv \dot{\vec{r}} = \dot{\vec{r}}_1 - \dot{\vec{r}}_2.$$

Составляющие скорости $\dot{\vec{r}}_1$ по осям координат равны u_1, v_1, w_1 , составляющие $\dot{\vec{r}}_2$ равны u_2, v_2, w_2 , следовательно,

$$V^2 = (u_1 - u_2)^2 + (v_1 - v_2)^2 + (w_1 - w_2)^2.$$

Формула (II.3) дает общее число столкновений молекул в дифференциальной форме. Чтобы проинтегрировать это выражение, необходимо упростить его, уменьшив число переменных. Для этого перейдем сначала к новым переменным — составляющим скорости центра тяжести сталкивающихся молекул и составляющим относительной скорости.

Найдем составляющие центры тяжести. Координату центра тяжести по оси X найдем по правилу рычага (рис. 64).

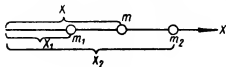


Рис. 64.

$$(X - X_1)m_1 = (X_2 - X)m_2, \quad X = \frac{m_1 X_1 + m_2 X_2}{m_1 + m_2}.$$

Обозначим составляющие скорости центра тяжести через u, v, w и определим их, дифференцируя координаты центра тяжести по времени:

$$\left. \begin{aligned} u &= \frac{m_1 \frac{dX_1}{dt} + m_2 \frac{dX_2}{dt}}{m_1 + m_2} = \frac{m_1 u_1 + m_2 u_2}{m_1 + m_2} \\ v &= \frac{m_1 \frac{dY_1}{dt} + m_2 \frac{dY_2}{dt}}{m_1 + m_2} = \frac{m_1 v_1 + m_2 v_2}{m_1 + m_2} \\ w &= \frac{m_1 \frac{dZ_1}{dt} + m_2 \frac{dZ_2}{dt}}{m_1 + m_2} = \frac{m_1 w_1 + m_2 w_2}{m_1 + m_2} \end{aligned} \right\} \quad (II.4)$$

Составляющие относительной скорости обозначим через α , β и γ , причем

$$\alpha = u_1 - u_2, \quad \beta = v_1 - v_2, \quad \gamma = w_1 - w_2.$$

Если c — величина результирующей скорости центра тяжести (не частицы), то

$$c^2 = u^2 + v^2 + w^2, \quad V^2 = \alpha^2 + \beta^2 + \gamma^2.$$

Чтобы в показателе экспоненциального множителя формулы (II,3) избавиться от скоростей движения отдельных частиц, заменим их скоростью движения центра тяжести и скоростью относительного движения. Для этого докажем, что суммарная кинетическая энергия двух частиц равна сумме кинетических энергий центра тяжести и кинетической энергии относительного движения, т. е. что

$$\frac{1}{2} (m_1 c_1^2 + m_2 c_2^2) = \frac{1}{2} \left[(m_1 + m_2) c^2 + \frac{m_1 m_2}{m_1 + m_2} V^2 \right], \quad (\text{II},5)$$

где $\frac{m_1 m_2}{m_1 + m_2} \equiv \mu$ называется приведенной массой.

Докажем справедливость уравнения (II,5) для оси X , используя уравнения (II,4),

$$\begin{aligned} \frac{1}{2} (m_1 u_1^2 + m_2 u_2^2) &= \frac{1}{2} \left[\frac{m_1 u_1^2 (m_1 + m_2) + m_2 u_2^2 (m_1 + m_2)}{m_1 + m_2} \right] = \\ &= \frac{1}{2} \left[\frac{m_1 u_1^2 + 2m_1 m_2 u_1 u_2 + m_2^2 u_2^2 + m_1 m_2 u_1^2 - 2m_1 m_2 u_1 u_2 + m_1 m_2 u_2^2}{m_1 + m_2} \right] = \\ &= \frac{1}{2} \left[(m_1 + m_2) \left(\frac{m_1 u_1 + m_2 u_2}{m_1 + m_2} \right)^2 + \frac{m_1 m_2}{m_1 + m_2} (u_1 - u_2)^2 \right] = \\ &= \frac{1}{2} \left[(m_1 + m_2) u^2 + \frac{m_1 m_2}{m_1 + m_2} \alpha^2 \right]. \end{aligned}$$

Аналогично справедливость уравнения (II,5) можно доказать и для других координатных осей.

Перейдем теперь от координат $u_1, v_1, w_1, u_2, v_2, w_2$ к координатам $u, v, w, \alpha, \beta, \gamma$. В формуле (II,3) выражения $du_1 du_2, dv_1 dv_2, dw_1 dw_2$ представляют собой элементы площадей. Из математики известно, что элемент площади $dYdX$ в одной системе координат, вообще говоря, не равен элементу площади в другой системе координат. Если от координат X, Y переходят к координатам S и t , причем $X = f(S, t)$, то элемент площади в старой системе координат равен элементу площади в новой системе координат, помноженному на функциональный определитель (якобиан), составленный из частных производных старых координат по новым

$$dXdY = \left| \frac{\partial X}{\partial S} \frac{\partial Y}{\partial t} - \frac{\partial X}{\partial t} \frac{\partial Y}{\partial S} \right| dSdt.$$

Таким образом,

$$du_1 du_2 = \left| \frac{\partial u_1}{\partial \alpha} \frac{\partial u_2}{\partial u} - \frac{\partial u_1}{\partial u} \frac{\partial u_2}{\partial \alpha} \right| du d\alpha.$$

Выразим u_1 и u_2 в функции от u и α

$$u_1 = u + u_2, \quad u_2 = u_1 - \alpha.$$

Кроме того, как было показано ранее (см. уравнение (II,4)),

$$m_1 u_1 + m_2 u_2 = (m_1 + m_2) u.$$

Следовательно,

$$u_1 = \frac{u(m_1 + m_2) - m_2(u_1 - \alpha)}{m_1},$$

откуда

$$u_1 = \frac{u(m_1 + m_2) + m_2 \alpha}{m_1 + m_2}$$

и

$$u_2 = u_1 - \alpha = \frac{u(m_1 + m_2) - m_1 \alpha}{m_1 + m_2}.$$

Отсюда

$$\frac{\partial u_1}{\partial \alpha} = \frac{m_2}{m_1 + m_2}, \quad \frac{\partial u_1}{\partial u} = 1, \quad \frac{\partial u_2}{\partial \alpha} = -\frac{m_1}{m_1 + m_2}, \quad \frac{\partial u_2}{\partial u} = 1.$$

Подставляя производные в якобиан, находим значение определителя

$$|D| = \left| \frac{m_2}{m_1 + m_2} - \left(-\frac{m_1}{m_1 + m_2} \right) \right| = 1.$$

Следовательно,

$$du_1 du_2 = du d\alpha, \quad dv_1 dv_2 = dv d\beta, \quad dw_1 dw_2 = dw d\gamma.$$

Заменяя в формуле (II,3) произведения $du d\alpha$, $dv d\beta$, $dw d\gamma$ и используя уравнение (II,5), получим число столкновений в единицу времени в единице объема, когда составляющие скорости центра тяжести сталкивающихся частиц лежат в интервале $u, u + du$; $v, v + dv$; $w, w + dw$, компоненты относительной скорости заключены в пределах $\alpha, \alpha + d\alpha$; $\beta, \beta + d\beta$; $\gamma, \gamma + d\gamma$, а угол между линией центров сталкивающихся частиц и относительной скоростью заключен в интервале $\theta, \theta + d\theta$. В этом случае число столкновений равно

$$dz = \frac{v_1 v_2}{c_{12}} \frac{(m_1 m_2)^{3/2}}{(2\pi k T)^3} e^{-\frac{(m_1 + m_2)c^2 + \mu V_1^2}{2kT}} 2\pi r_{12}^2 V \sin \theta \cos \theta d\theta du dv dw d\alpha d\beta d\gamma. \quad (II,6)$$

В формуле (II,6) частота столкновений зависит от направления скорости движения центра тяжести и направления скорости относительного движения. Иными словами, величины s и V являются векторными величинами, так как заданы составляющие этих скоростей ($\alpha, \beta, \gamma, u, v, w$). Чтобы проинтегрировать выражение (II,6) по всем возможным направлениям скорости центра тяжести (т. е. по $du dv dw$) и по всем возможным направлениям относительной скорости (по $d\alpha d\beta d\gamma$), нужно снять ограничение, налагаемое наличием в формуле (II,6) векторных величин. Чтобы избавиться от этого ограничения (интегрировать только по величине, но не по направлению), перейдем к сферическим полярным координатам, введя телесные углы Ω для s и ω для V .

Телесным углом, как известно, называется часть пространства, заключенная внутри конуса. Мерой угла на плоскости является отношение дуги окружности, ограниченной сторонами угла, к радиусу. Единицей измерения угла является радиан, т. е. центральный угол окружности, опирающийся на дугу, по длине равную радиусу.

Аналогично мерой телесного угла служит отношение части поверхности сферы, заключенной внутри конуса, к квадрату радиуса

$$\omega = \frac{s}{r^2}.$$

Единицей измерения телесного угла является соответственно стерadian: телесный угол, вырезающий из сферы с радиусом, равным единице, поверхность, равную единице. Для всей сферы величина телесного угла равна

$$\frac{4\pi r^2}{r^2} = 4\pi.$$

Из определения телесного угла следует, что элемент поверхности, выраженный при помощи телесного угла,

$$ds = r^2 d\omega,$$

элемента объема

$$dsdr = r^2 dr d\omega.$$

В формуле (II,6) произведения $dudvdw$ и $dad\beta d\gamma$ представляют собой элементы объема. Введя телесные углы Ω и ω , получим для этих элементов объема выражения

$$dudvdw = c^2 dcd\Omega, \quad dad\beta d\gamma = V^2 dVd\omega.$$

Угол θ между направлением скорости относительного движения \bar{V} и линией центров при столкновении не зависит от направлений \bar{c} и \bar{V} . Тем самым, введение телесных углов Ω и ω снимает ограничения относительно направлений \bar{c} и \bar{V} . Введя телесные углы в формулу (II,6), получим

$$dz = \frac{v_1 v_2}{\sigma_{12}} \frac{(m_1 m_2)^{3/2}}{(2\pi kT)^3} e^{-\frac{(m_1 + m_2)c^2 + \mu V^2}{2kT}} 2\pi r_{12}^2 V^3 \sin \theta \cos \theta c^2 dV dcd\Omega d\omega.$$

Интегрирование этого выражения по всем возможным значениям телесных углов дает число столкновений вне зависимости от направлений скорости относительного движения и скорости движения центра тяжести

$$\int_0^{4\pi} \int_0^{4\pi} d\Omega d\omega = 4\pi 4\pi = 16\pi^2.$$

Таким образом, число столкновений в единице объема за единицу времени, для которых величина скорости движения центра тяжести сталкивающихся частиц заключена в пределах $c, c + dc$, величина относительной скорости в пределах $V, V + dV$, а угол между направлением относительной скорости и линией центров в интервале $\theta, \theta + d\theta$, равна

$$dz = \frac{v_1 v_2}{\sigma_{12}} \frac{(m_1 m_2)^{3/2}}{(2\pi kT)^3} e^{-\frac{(m_1 + m_2)c^2 + \mu V^2}{2kT}} 32\pi^3 r_{12}^2 V^3 c^2 \sin \theta \cos \theta dcdVd\theta. \quad (II,7)$$

Пронтегрировав выражение (II,7) по всем возможным значениям скоростей c, V и величин угла θ , получим общее число столкновений в единице объема за единицу времени. Сначала проведем интегрирование по всем возможным значениям скорости движения центра тяжести. Найдем интеграл

$$I = \int_0^{\infty} e^{-\frac{(m_1 + m_2)c^2}{2kT}} c^2 dc.$$

(Остальные величины в формуле (II,7) не зависят от c .) Заменим

$$\frac{(m_1 + m_2)c^2}{2kT} = x = ac^2, \quad dx = 2acdc,$$

тогда

$$dc = \frac{1}{2} a^{-\frac{1}{2}} x^{-\frac{1}{2}} dx,$$

$$I = \int_0^{\infty} e^{-x} \frac{x}{a} \frac{1}{2} a^{-\frac{1}{2}} x^{-\frac{1}{2}} dx = \frac{1}{2} a^{-\frac{3}{2}} \int_0^{\infty} e^{-x} x^{\frac{1}{2}} dx.$$

Интеграл типа

$$\int_0^{\infty} x^{z-1} e^{-x} dx = \Gamma(z)$$

(для $z > 0$) называется интегралом Эйлера второго рода, или гамма-функцией.

Основное свойство гамма-функции состоит в том, что

$$\Gamma(z+n) = (z+n-1)(z+n-2)\dots(z+1)z\Gamma(z),$$

где n — целое положительное число. Поэтому достаточно знать величину гамма-функции в промежутке от 0 до 1. Сами значения гамма-функций находятся по таблицам, в частности

$$\Gamma(2) = \Gamma(1) = 1, \\ \Gamma\left(\frac{3}{2}\right) = \frac{1}{2}\Gamma\left(\frac{1}{2}\right) = \frac{1}{2}\sqrt{\pi}.$$

Следовательно,

$$I = \frac{1}{2} \alpha^{-\frac{3}{2}} \Gamma\left(\frac{3}{2}\right) = \frac{1}{4} \alpha^{-\frac{3}{2}} \sqrt{\pi} = \frac{\sqrt{\pi}}{4} \left(\frac{2kT}{m_1+m_2}\right)^{3/2}.$$

Подставив результат интегрирования в формулу (II,7), найдем число столкновений в единице объема за единицу времени, для которых относительная скорость движения частиц лежит в пределах $V, V+dV$, а угол между нею и линией центров заключен в интервале $\theta, \theta+d\theta$

$$dz = \frac{v_1 v_2}{\sigma_{12}} \left(\frac{\mu}{2\pi kT}\right)^{3/2} e^{-\frac{\mu V^2}{2kT}} 8\pi^2 r_{12}^2 V^3 \sin \theta \cos \theta dV d\theta. \quad (\text{II,8})$$

Найдем теперь число столкновений при любых значениях угла θ . Угол θ может меняться при столкновениях в пределах от 0 до $\frac{\pi}{2}$ (рис. 65), так как столкновения в положениях 1 и 2 равноценны

$$\int_0^{\pi/2} \sin \theta \cos \theta d\theta = \left| \frac{\sin^2 \theta}{2} \right|_0^{\pi/2} = \frac{1}{2}.$$

Следовательно, число столкновений в единице объема за единицу времени, для которых относительная скорость заключена в интервале $V, V+dV$, равно

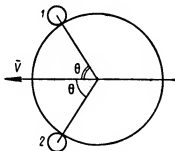


Рис. 65.

$$dz = \frac{v_1 v_2}{\sigma_{12}} \left(\frac{\mu}{2\pi kT}\right)^{3/2} e^{-\frac{\mu V^2}{2kT}} 4\pi^2 r_{12}^2 V^3 dV. \quad (\text{II,9})$$

Чтобы учесть столкновения при всех возможных значениях скорости относительного движения, произведем замену переменных в выражении (II,9), введя кинетическую энергию относительного движения

$$\epsilon = \frac{\mu V^2}{2}, \quad \epsilon d\epsilon = \frac{\mu^2 V^3}{2} dV.$$

После подстановки в формулу (II,9) получим

$$dz = 2 \frac{v_1 v_2}{\sigma_{12}} \left(\frac{2\pi kT}{\mu}\right)^{3/2} e^{-\frac{\epsilon}{kT}} r_{12}^2 \frac{\epsilon}{kT} \frac{d\epsilon}{kT}. \quad (\text{II,10})$$

Формула (II,10) дает число столкновений в единицу времени в единице объема, у которых кинетическая энергия относительного движения заключена в интервале $\epsilon, \epsilon+d\epsilon$. Проинтегрировав это выражение по всем возмож-

ным значениям энергии, т. е. от 0 до ∞ , найдем общее число столкновений частиц газа в единице объема в единицу времени

$$\int_0^{\infty} e^{-\frac{\epsilon}{kT}} \frac{\epsilon}{kT} \frac{d\epsilon}{kT} = \Gamma(2) = 1.$$

Общее число столкновений частиц газа с учетом только поступательного движения в единице объема в единицу времени равно

$$z = 2 \frac{v_1 v_2}{\sigma_{12}} r_{12}^2 \left(\frac{2\pi kT}{\mu} \right)^{1/2}. \quad (\text{II}, 11)$$

Число столкновений частиц газа, для которых кинетическая энергия сталкивающихся частиц превышает заданную величину

Расчет числа активных столкновений представляет собой вычисление числа таких столкновений частиц газа, для которых кинетическая энергия сталкивающихся частиц равна или превышает заданное значение. При этом следует рассмотреть два типа столкновений:

а) столкновения, при которых вся кинетическая энергия сталкивающихся частиц больше энергии активации,

б) столкновения, при которых составляющая кинетической энергии вдоль линии центров превышает заданное значение.

Какие именно из этих двух типов столкновений следует считать „активными“, можно решить путем сопоставления расчетов с экспериментальными данными.

Число столкновений, у которых вся кинетическая энергия сталкивающихся частиц превышает заданное значение. Чтобы найти число столкновений, у которых вся кинетическая энергия сталкивающихся частиц превышает некоторое значение ϵ_* , необходимо проинтегрировать выражение (II, 10) от ϵ_* до ∞ . Так как переменной интегрирования является не ϵ , а $\frac{\epsilon}{kT}$, то пределы интегрирования будут $\frac{\epsilon_*}{kT}$ и ∞

$$I = z \int_{\frac{\epsilon_*}{kT}}^{\infty} e^{-\frac{\epsilon}{kT}} \frac{\epsilon}{kT} \frac{d\epsilon}{kT} = z \left(\int_0^{\infty} e^{-\frac{\epsilon}{kT}} \frac{\epsilon}{kT} \frac{d\epsilon}{kT} - \int_0^{\frac{\epsilon_*}{kT}} e^{-\frac{\epsilon}{kT}} \frac{\epsilon}{kT} \frac{d\epsilon}{kT} \right) =$$

$$= z \left(1 - \int_0^{\frac{\epsilon_*}{kT}} e^{-\frac{\epsilon}{kT}} \frac{\epsilon}{kT} \frac{d\epsilon}{kT} \right).$$

Последний интеграл находим, интегрируя по частям. Положив $x = \frac{\epsilon}{kT}$, находим

$$\int e^{-x} x dx = - \int x de^{-x} = - (xe^{-x} + e^{-x}) = -e^{-x}(x+1),$$

следовательно,

$$\int_0^{\frac{\epsilon_*}{kT}} e^{-\frac{\epsilon}{kT}} \frac{\epsilon}{kT} \frac{d\epsilon}{kT} = - \left[e^{-\frac{\epsilon}{kT}} \left(\frac{\epsilon}{kT} + 1 \right) \right]_0^{\frac{\epsilon_*}{kT}} = - \left[e^{-\frac{\epsilon_*}{kT}} \left(\frac{\epsilon_*}{kT} + 1 \right) \right].$$

Подставив значение интеграла в исходное выражение, найдем число столкновений в единице объема за единицу времени, для которых полная кинетическая энергия сталкивающихся частиц превышает или равна энергии активации ϵ_* .

$$I = ze^{-\frac{\epsilon_*}{kT}} \left(\frac{\epsilon_*}{kT} + 1 \right). \quad (11,12)$$

Число столкновений, для которых составляющая кинетической энергии сталкивающихся частиц вдоль линии центров превышает заданное значение. Обозначим компоненту относительной скорости вдоль линии центров через R . Для того чтобы R превышало заданное значение R_* , необходимо выполнение следующих условий (рис. 66):

$$V > R_*, \quad 1 > \cos \theta > \frac{R_*}{V}.$$

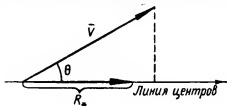


Рис. 66.

Число столкновений в единице объема за единицу времени, для которых составляющая кинетической энергии вдоль линии центров равна или превышает некоторое минимально-необходимое значение ϵ_* , т. е. составляющая относительной скорости вдоль линии центров равна или превышает заданное значение R_* , можно найти, проинтегрировав выражение (11,8). Пределы интегрирования определяются из условий

$$R_* < V < \infty, \quad \frac{R_*}{V} < \cos \theta < 1.$$

Сначала найдем число столкновений для всех значений углов

$$\int_0^{\arccos \frac{R_*}{V}} \sin \theta \cos \theta d\theta = \int_{\frac{R_*}{V}}^1 \cos \theta d \cos \theta = \left| \frac{\cos^2 \theta}{2} \right|_{\frac{R_*}{V}}^1 = \frac{1}{2} \left(1 - \frac{R_*^2}{V^2} \right).$$

Подставив результат интегрирования в (11,8) и интегрируя по V , получим

$$\begin{aligned} & \int_{R_*}^{\infty} \frac{v_1 v_2}{\sigma_{12}} \left(\frac{\mu}{2\pi kT} \right)^{3/2} e^{-\frac{\mu V^2}{2kT}} 4\pi^2 r_{12}^2 v^3 \left(1 - \frac{R_*^2}{V^2} \right) dV = \\ & = \frac{v_1 v_2}{\sigma_{12}} \left(\frac{\mu}{2\pi kT} \right)^{3/2} 4\pi^2 r_{12}^2 \left(\int_{R_*}^{\infty} e^{-\frac{\mu V^2}{2kT}} v^3 dV - \int_{R_*}^{\infty} e^{-\frac{\mu V^2}{2kT}} V dV \right). \end{aligned}$$

Обозначим последние интегралы через I_1 и I_2 . Введем вспомогательную переменную

$$x = \alpha V^2,$$

где

$$\alpha = \frac{\mu}{2kT}, \quad dx = 2\alpha V dV, \quad V^2 = \frac{x}{\alpha}, \quad V dV = \frac{dx}{2\alpha}, \quad v^3 dV = \frac{x dx}{2\alpha^2}.$$

Определим пределы интегрирования.

При изменении V от R_* до ∞ x меняется от aR_*^2 до ∞ , следовательно,

$$I_1 = \frac{1}{2a^2} \int_{aR_*^2}^{\infty} e^{-x} x dx = \frac{R_*^2}{2a} e^{-aR_*^2} + \frac{1}{2a^2} e^{-aR_*^2},$$

$$I_2 = \frac{R_*^2}{2a} \int_{aR_*^2}^{\infty} e^{-x} dx = \frac{R_*^2}{2a} e^{-aR_*^2},$$

$$I_1 - I_2 = \frac{1}{2a^2} e^{-aR_*^2} = \frac{1}{2} \left(\frac{2kT}{\mu} \right)^{1/2} e^{-\frac{\mu R_*^2}{2kT}}.$$

Подставив значения интегралов в исходное выражение, получим число столкновений в единице объема за единицу времени, для которых составляющая кинетической энергии вдоль линии центров сталкивающихся частиц равна или больше заданного значения ϵ_* . Число таких столкновений равно:

$$\frac{v_1 v_2}{\sigma_{12}} \left(\frac{\mu}{2\pi kT} \right)^{3/2} 4\pi^2 r_{12}^2 \frac{1}{2} \left(\frac{2kT}{\mu} \right)^{1/2} e^{-\frac{\mu R_*^2}{2kT}} =$$

$$= 2 \frac{v_1 v_2}{\sigma_{12}} \left(\frac{2\pi kT}{\mu} \right)^{1/2} r_{12}^2 e^{-\frac{\epsilon_*}{kT}} = z e^{-\frac{\epsilon_*}{kT}}. \quad (\text{II}, 13)$$

Здесь z — общее число столкновений частиц газа.

III. ЭНЕРГИЯ ВНУТРЕННИХ КОЛЕБАНИЙ МОЛЕКУЛЫ

Найдем, чему равна вероятность для одной молекулы иметь внутреннюю энергию свыше некоторого значения ϵ_v^* . Чтобы найти выражение для энергии внутренних колебаний, будем считать, что каждому внутреннему колебанию отвечает линейный гармонический осциллятор с характеристической частотой ν . Колебательная энергия линейного гармонического осциллятора, согласно квантовой механике, равна

$$\epsilon_v = \left(n + \frac{1}{2} \right) h\nu,$$

где n — квантовое число, принимающее значение 0, 1, 2 и т. д.

Согласно закону распределения Максвелла—Больцмана, доля частиц (вероятность для частицы), находящихся на данном энергетическом уровне,

равна $e^{-\frac{\epsilon_v}{kT}}$. Функция состояния, характеризующая распределение по энергетическим уровням для осциллятора, будет равна

$$\sum_{n=0}^{\infty} e^{-\frac{\epsilon_v}{kT}} = e^{-\frac{\left(0 + \frac{1}{2}\right) h\nu}{kT}} + e^{-\frac{\left(1 + \frac{1}{2}\right) h\nu}{kT}} + \dots =$$

$$= e^{-\frac{h\nu}{2kT}} \left(1 + e^{-\frac{h\nu}{kT}} + e^{-\frac{2h\nu}{kT}} + \dots \right) = e^{-\frac{h\nu}{2kT}} \left(1 - e^{-\frac{h\nu}{kT}} \right)^{-1},$$

так как сумма, стоящая в скобках, представляет собой бесконечную геометрическую прогрессию вида $1 + x + x^2 + \dots$. При $x < 1$ сумма членов прогрессии равна $\frac{1}{1-x}$.

Примем условно за нуль энергии энергию низшего квантового состояния ($n = 0$)

$$\epsilon_0 = \frac{1}{2} h\nu = 0,$$

тогда

$$\sum_e e^{-\frac{\epsilon_v}{kT}} = \left(1 - e^{-\frac{h\nu}{kT}}\right)^{-1}. \quad (\text{III}, 1)$$

Плотность вероятности вибратора, т. е. доля времени, в течение которого осциллятор имеет энергию ϵ_v по отношению к энергии самого низшего состояния, будет равна

$$\rho_v = \frac{e^{-\frac{\epsilon_v}{kT}}}{\sum_e e^{-\frac{\epsilon_v}{kT}}} = \frac{e^{-\frac{n h \nu}{kT}}}{\left(1 - e^{-\frac{h \nu}{kT}}\right)^{-1}} = e^{-\frac{n h \nu}{kT}} \left(1 - e^{-\frac{h \nu}{kT}}\right).$$

Рассмотрим три случая колебаний:

1) если температуры низкие ($h\nu \gg kT$), то

$$\rho_v \approx 0 \cdot 1 = 0.$$

При низких температурах величина ρ_v очень мала, т. е. можно считать, что в молекуле отсутствуют внутренние колебания;

2) если температуры высокие ($h\nu \ll kT$), то $e^{-\frac{h\nu}{kT}}$ разлагается в ряд

$$e^{-\frac{h\nu}{kT}} \approx 1 - \frac{h\nu}{kT} \quad \text{и} \quad \rho_v = \frac{h\nu}{kT} e^{-\frac{n h \nu}{kT}},$$

полученное выражение справедливо для колебаний, подчиняющихся законам классической статистической физики;

3) если $\frac{h\nu}{kT} \approx 1$, т. е. $h\nu$ и kT одного порядка, то следует применять квантовую статистику. Однако затруднения, связанные с применением квантовой статистики, можно обойти, если предположить, что молекула представляет совокупность невозбужденных и классических осцилляторов. Приближенно можно считать, что в реальной молекуле имеется часть осцилляторов, ведущих себя так, как если бы температура была очень мала, и часть осцилляторов, колеблющихся по законам, справедливым для очень высоких температур. К первой группе осцилляторов можно отнести все вибраторы с $h\nu < kT$, ко второй — с $h\nu > kT$.

Если число атомов в молекуле равно m , то у нелинейных молекул на колебательное движение приходится $3m - 6$ степеней свободы (6 на поступательное и вращательное движение молекулы), у линейных $3m - 5$ (3 поступательных и 2 вращательных степени свободы молекулы). Следовательно, в молекуле будет $3m - 6$ (5) независимых перемещений атомов друг относительно друга. Будем считать, что часть вибраторов находится в возбужденном состоянии, обладая классическими степенями свободы, часть совсем не колеблется.

Пусть число классических вибраторов в молекуле равно S . Тогда число невозбужденных осцилляторов равно $3m - 6$ (5) — S . Часть времени, в течение которого осциллятор обладает энергией в интервале $n h \nu$ и $(n + dn) h \nu$, т. е. вероятность классического осциллятора иметь энергию в этом интервале, равна

$$\rho_v = \frac{h\nu}{kT} e^{-\frac{n h \nu}{kT}} dn.$$

Обозначим энергию вибратора через $\varepsilon = nh\nu$, $d\varepsilon = h\nu dn$. Вероятность вибратора иметь энергию, заключенную в интервале $\varepsilon, \varepsilon + d\varepsilon$, равна

$$p_\nu dn = e^{-\frac{\varepsilon}{kT}} \frac{d\varepsilon}{kT}.$$

Если осцилляторов S , то вероятность того, что они одновременно имеют энергию в интервалах $\varepsilon_1, \varepsilon_1 + d\varepsilon_1; \varepsilon_2, \varepsilon_2 + d\varepsilon_2 \dots \varepsilon_S, \varepsilon_S + d\varepsilon_S$, будет выражаться произведением вероятностей для отдельных осцилляторов и окажется равной

$$dW = (kT)^{-S} e^{-\frac{\varepsilon_1 + \varepsilon_2 + \dots + \varepsilon_S}{kT}} d\varepsilon_1 d\varepsilon_2 \dots d\varepsilon_S. \quad (III,2)$$

Обозначим суммарную вибрационную энергию молекулы через ε_v , причем

$$\varepsilon_v = \sum_{i=1}^S \varepsilon_i, \quad d\varepsilon_v = \sum_{i=1}^S d\varepsilon_i.$$

Что определить вероятность (долю времени) того, что молекула имеет суммарную вибрационную энергию в интервале $\varepsilon_v, \varepsilon_v + d\varepsilon_v$, нужно проинтегрировать выражение (III,2) по всем возможным в этом интервале значениям энергии отдельных осцилляторов, т. е. в пределах от ε_v до $\varepsilon_v + d\varepsilon_v$. Из этого условия следует, что

$$\varepsilon_v \leq \varepsilon_1 + \varepsilon_2 + \dots + \varepsilon_S \leq \varepsilon_v + d\varepsilon_v \quad (III,3)$$

могут принимать любые значения, но только такие, чтобы выполнялось неравенство (III,3), определяющее пределы интегрирования.

Ограничение пределами интегрирования — наличие неравенства (III,3) — уменьшает на единицу число независимых переменных. Если ε_{i-1} меняются независимо, то ε_i может принимать не любые значения, а только такие, которые удовлетворяют неравенству (III,3). Поэтому кратность интеграла должна быть не S , а $S-1$. Чтобы найти время, в течение которого молекула, состоящая из S осцилляторов, имеет суммарную энергию внутренних колебаний в пределах ε_v и $\varepsilon_v + d\varepsilon_v$, требуется взять интеграл $S-1$ кратности от выражения (III,2), т. е. найти, чему равно

$$(kT)^{-S} \int_{\varepsilon_v < \varepsilon_1 + \varepsilon_2 + \dots + \varepsilon_S < \varepsilon_v + d\varepsilon_v} d\varepsilon_1 d\varepsilon_2 \dots d\varepsilon_S. \quad (III,4)$$

Результат интегрирования должен дать вероятность того, что молекула будет иметь суммарную вибрационную энергию, заключенную в пределах ε_v и $\varepsilon_v + d\varepsilon_v$. Следовательно, после интегрирования должно получиться дифференциальное выражение.

Чтобы проинтегрировать выражение (III,4), рассмотрим, что собою математически представляет выражение (III,4). Предположим, что $S = 2$, тогда

$$\varepsilon_v = \varepsilon_1 + \varepsilon_2, \quad d\varepsilon_v = d\varepsilon_1 + d\varepsilon_2,$$

причем

$$\varepsilon_v \leq \varepsilon_1 + \varepsilon_2 \leq \varepsilon_v + d\varepsilon_v.$$

Значения энергий отдельных осцилляторов ε_1 и ε_2 — величины существенно положительные. В этом случае область интегрирования можно представить как площадь, заключенную между двумя окружностями с радиусами $\sqrt{\varepsilon_v}$ и $\sqrt{\varepsilon_v + d\varepsilon_v}$ (рис. 67) Уравнение этих окружностей

$$(\sqrt{\varepsilon_1})^2 + (\sqrt{\varepsilon_2})^2 = (\sqrt{\varepsilon_v})^2, \quad (\sqrt{\varepsilon_1 + d\varepsilon_1})^2 + (\sqrt{\varepsilon_2 + d\varepsilon_2})^2 = (\sqrt{\varepsilon_v + d\varepsilon_v})^2.$$

Область интегрирования заключена только в положительном квадрате.

Для $S = 2$ формула (III,4) принимает вид

$$dw_2 = (kT)^{-S} \int_{\varepsilon_v < \varepsilon_1 + \varepsilon_2 < \varepsilon_v + d\varepsilon_v} e^{-\frac{\varepsilon_1 + \varepsilon_2}{kT}} d\varepsilon_1 d\varepsilon_2. \quad (III,5)$$

Чтобы найти значение интеграла, преобразуем координаты

$$\epsilon_v = [\cos^2 \alpha + \cos^2 (90 - \alpha)] \epsilon_v = (l_1^2 + l_2^2) \epsilon_v = \epsilon_1 + \epsilon_2.$$

Здесь l_1 и l_2 — направляющие косинусы, т. е. косинусы углов с координатными осями. Отсюда $\epsilon_1 = l_1^2 \epsilon_v$, $\epsilon_2 = l_2^2 \epsilon_v$.

Физический смысл введения направляющих косинусов состоит в том, что они показывают соотношения между энергиями отдельных осцилляторов и энергией молекулы

$$l_1^2 = \frac{\epsilon_1}{\epsilon_v}, \quad l_2^2 = \frac{\epsilon_2}{\epsilon_v}, \quad \frac{l_1^2}{l_2^2} = \frac{\epsilon_1}{\epsilon_2}.$$

Величина l_1^2 дает долю энергии данного осциллятора от энергии всей молекулы.

Величина направляющих косинусов не зависит непосредственно от суммарной энергии молекулы. При одном и том же значении ϵ_v (см. рис. 67), l_1 и l_2 могут принимать различные значения, удовлетворяющие условию $\frac{\epsilon_1}{\epsilon_2} = \frac{l_1^2}{l_2^2}$, т. е.

$$l_1^2 + l_2^2 = 1.$$

Значения величины направляющих косинусов зависят от соотношения между энергиями отдельных осцилляторов, но не от величины ϵ_v . Направляющие косинусы связаны с энергией молекулы только равенством ϵ_v суммы их квадратов, поэтому при наличии двух осцилляторов величина l_2 уже не зависит от ϵ_v . Выберем в качестве новых координат (новых независимых переменных) l_1 и ϵ_v .

В интеграле (III.5) произведения $d\epsilon_1 d\epsilon_2$ выразим через новые переменные dl_1 и $d\epsilon_v$

$$d\epsilon_1 d\epsilon_2 = \Delta_2 dl_1 d\epsilon_v.$$

Здесь Δ_2 — функциональный определитель (якобиан) второго порядка, составленный из частных производных старых переменных по новым,

$$\Delta_2 = \begin{vmatrix} \frac{\partial \epsilon_1}{\partial l_1} \frac{\partial \epsilon_1}{\partial \epsilon_v} \\ \frac{\partial \epsilon_2}{\partial l_1} \frac{\partial \epsilon_2}{\partial \epsilon_v} \end{vmatrix} = \begin{vmatrix} \epsilon_v 2l_1, & l_1^2 \\ -\epsilon_v 2l_1, & 1 - l_1^2 \end{vmatrix} = 2\epsilon_v D_2,$$

так как

$$\frac{\partial \epsilon_1}{\partial l_1} = \epsilon_v 2l_1, \quad \frac{\partial \epsilon_1}{\partial \epsilon_v} = l_1^2, \quad \frac{\partial \epsilon_2}{\partial l_1} = -2l_1 \epsilon_v, \quad \frac{\partial \epsilon_2}{\partial \epsilon_v} = 1 - l_1^2.$$

D_2 — определитель, не включающий ϵ_v , а зависящий только от l_1 . Поэтому

$$(kT)^{-2} \int e^{-\frac{\epsilon_1 + \epsilon_2}{kT}} d\epsilon_1 d\epsilon_2 = (kT)^{-2} \int e^{-\frac{\epsilon_v}{kT}} 2\epsilon_v D_2 dl_1 d\epsilon_v. \quad (\text{III.6})$$

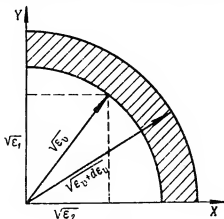


Рис. 67.

При $S = 3$ область интегрирования представляет собой сферический слой между двумя сферами с радиусами $\sqrt{\epsilon_v}$ и $\sqrt{\epsilon_v + d\epsilon_v}$, причем

$$(\sqrt{\epsilon_v})^2 = (\sqrt{\epsilon_1})^2 + (\sqrt{\epsilon_2})^2 + (\sqrt{\epsilon_3})^2, \\ (\sqrt{\epsilon_v + d\epsilon_v})^2 = (\sqrt{\epsilon_1 + d\epsilon_1})^2 + (\sqrt{\epsilon_2 + d\epsilon_2})^2 + (\sqrt{\epsilon_3 + d\epsilon_3})^2.$$

Введем направляющие косинусы l_1, l_2 и l_3 :

$$l_1^2 + l_2^2 + l_3^2 = 1.$$

Примем за переменные вместо $\epsilon_1, \epsilon_2, \epsilon_3$ величины l_1, l_2 и ϵ_v . Величины l_1 и l_2 не зависят от ϵ_v и могут быть различными при одном и том же значении ϵ_v . При переходе к новым переменным нужно найти значение объема $d\epsilon_1 d\epsilon_2 d\epsilon_3$ в новых координатах

$$d\epsilon_1 d\epsilon_2 d\epsilon_3 = \Delta_3 dl_1 dl_2 d\epsilon_v.$$

Здесь Δ_3 — функциональный определитель третьего порядка

$$\Delta_3 = \begin{vmatrix} \frac{\partial \epsilon_1}{\partial l_1} & \frac{\partial \epsilon_1}{\partial l_2} & \frac{\partial \epsilon_1}{\partial \epsilon_v} \\ \frac{\partial \epsilon_2}{\partial l_1} & \frac{\partial \epsilon_2}{\partial l_2} & \frac{\partial \epsilon_2}{\partial \epsilon_v} \\ \frac{\partial \epsilon_3}{\partial l_1} & \frac{\partial \epsilon_3}{\partial l_2} & \frac{\partial \epsilon_3}{\partial \epsilon_v} \end{vmatrix} = \begin{vmatrix} 2l_1\epsilon_v & -2l_2\epsilon_v & l_1^2 \\ -2l_1\epsilon_v & 2l_2\epsilon_v & l_2^2 \\ -2l_1\epsilon_v & -2l_2\epsilon_v & 1 - l_1^2 - l_2^2 \end{vmatrix} = (2\epsilon_v)^2 D_3,$$

где D_3 — определитель третьего порядка, не зависящий от ϵ_v .

Значения частных производных находятся из соотношений

$$l_1^2 + l_2^2 + l_3^2 = 1, \quad \epsilon_1 = \epsilon_v l_1^2, \quad \epsilon_2 = \epsilon_v l_2^2, \\ \epsilon_3 = \epsilon_v l_3^2 = \epsilon_v (1 - l_1^2 - l_2^2).$$

С учетом изложенного

$$d\epsilon_1 d\epsilon_2 d\epsilon_3 = (2\epsilon_v)^2 D_3 dl_1 dl_2 d\epsilon_v,$$

отсюда

$$(kT)^{-3} \iint e^{-\frac{\epsilon_1 + \epsilon_2 + \epsilon_3}{kT}} d\epsilon_1 d\epsilon_2 d\epsilon_3 = \\ = (kT)^{-3} \iint e^{-\frac{\epsilon_v}{kT}} (2\epsilon_v)^2 D_3 dl_1 dl_2 d\epsilon_v. \quad (III,7)$$

При S переменных область интегрирования можно рассматривать как аналитическое выражение гиперсферического слоя в S -мерном пространстве, заключенного между гиперсферами с радиусами $\sqrt{\epsilon_v}$ и $\sqrt{\epsilon_v + d\epsilon_v}$. Толщина этого слоя равна

$$d(\sqrt{\epsilon_v}) = \frac{d\epsilon_v}{2\sqrt{\epsilon_v}},$$

и расположен он только в положительном квадрате.

В выражении (III,4) перейдем от переменных $\epsilon_1, \epsilon_2, \dots, \epsilon_S$ к переменным $\epsilon_v, l_1, l_2, \dots, l_{S-1}$

$$d\epsilon_1 d\epsilon_2 \dots d\epsilon_S = (2\epsilon_v)^{S-1} D_S dl_1 dl_2 \dots dl_{S-1} d\epsilon_v,$$

где D_S — определитель порядка S , составленный из величин l_i направляющих косинусов. Величина i принимает значения от 1 до $S-1$, и D_S не за-

висит от ϵ_v . Подставим полученное выражение в формулу (III,4). Вероятность того, что молекула, состоящая из S осцилляторов, будет иметь энергию в интервале ϵ_v и $\epsilon_v + d\epsilon_v$, выразится тогда интегралом

$$I = (kT)^{-S} \int \dots \int_{\epsilon_v < \epsilon_1 + \epsilon_2 + \dots + \epsilon_S < \epsilon_v + d\epsilon_v} (S-1) \dots \int (2\epsilon_v)^{S-1} d\epsilon_v D_S \prod_{i=1}^{S-1} d\epsilon_i, \quad (\text{III},8)$$

где $i = 1, 2 \dots S-1$.

При интегрировании этого выражения S раз по всем возможным значениям энергии ϵ_v от 0 до ∞ получим единицу. Интегрирование по всем возможным значениям энергии осцилляторов есть условие нормировки — вероятность того, что молекула обладает какой-либо величиной энергии от 0 до ∞ . Следовательно,

$$(kT)^{-S} \int \dots \int_0^{\infty} \dots \int_0^{\infty} e^{-\frac{\epsilon_v}{kT}} (2\epsilon_v)^{S-1} d\epsilon_v D_S \prod_{i=1}^{S-1} d\epsilon_i = 1. \quad (\text{III},9)$$

Каждый из двух интегралов (III,8) и (III,9) состоит из множителей, зависящих или только от суммарной величины вибрационной энергии молекулы ϵ_v или же от направляющих косинусов, независящих от ϵ_v . Поэтому значение интеграла I можно записать следующим образом:

$$I = \frac{1}{1} \frac{(kT)^{-S} (2\epsilon_v)^{S-1} e^{-\frac{\epsilon_v}{kT}} d\epsilon_v \int \dots \int_{S-1} D_S \prod_{i=1}^{S-1} d\epsilon_i}{(kT)^{-S} \int_0^{\infty} \dots \int_0^{\infty} e^{-\frac{\epsilon_v}{kT}} (2\epsilon_v)^{S-1} d\epsilon_v \int \dots \int_{S-1} D_S \prod_{i=1}^{S-1} d\epsilon_i}.$$

Интеграл в числителе распространяется на $S-1$ -мерный гиперсферический слой, в знаменателе — на S -мерное пространство.

Сократив в числителе и знаменателе величины, независящие от ϵ_v , для вероятности молекулы получим возможность иметь энергию внутренних колебаний, заключенную в интервале ϵ_v , $\epsilon_v + d\epsilon_v$,

$$I = \frac{e^{-\frac{\epsilon_v}{kT}} (\epsilon_v^{S-1}) d\epsilon_v}{\int_0^{\infty} e^{-\frac{\epsilon_v}{kT}} \epsilon_v^{S-1} d\epsilon_v}.$$

Введем вспомогательную переменную интегрирования $x = \frac{\epsilon_v}{kT}$

$$\int_0^{\infty} e^{-\frac{\epsilon_v}{kT}} \epsilon_v^{S-1} d\epsilon_v = (kT)^S \int_0^{\infty} e^{-x} x^{S-1} dx = (kT)^S \Gamma(S) = (kT)^S (S-1)!$$

Следовательно, значение интеграла I равно

$$I = \frac{1}{(S-1)!} \left(\frac{\epsilon_v}{kT} \right)^{S-1} e^{-\frac{\epsilon_v}{kT}} \frac{d\epsilon_v}{kT}. \quad (\text{III},10)$$

Это выражение дает вероятность (долю времени), в течение которого суммарная колебательная энергия молекулы, содержащей S осцилляторов, заключена в интервале ϵ_v и $\epsilon_v + d\epsilon_v$.

Найдем теперь вероятность того, что суммарная вибрационная энергия молекулы превышает заданное значение ϵ_v^* . Для этого проинтегрируем по всем возможным значениям энергии от ϵ_v^* до ∞ правую часть уравнения (III,10). Значение интеграла находится многократным интегрированием по частям. При этом каждый раз под знак дифференциала вводится экспоненциальный член

$$\begin{aligned} I &= \int_{\frac{\epsilon_v^*}{kT}}^{\infty} e^{-x} x^{S-1} dx = - \int_{\frac{\epsilon_v^*}{kT}}^{\infty} x^{S-1} d e^{-x} = - \left| e^{-x} x^{S-1} \right|_{\frac{\epsilon_v^*}{kT}}^{\infty} + \\ &+ (S-1) \int_{\frac{\epsilon_v^*}{kT}}^{\infty} e^{-x} x^{S-2} dx = - \left| e^{-x} x^{S-1} \right|_{\frac{\epsilon_v^*}{kT}}^{\infty} - (S-1) I_1, \\ I_1 &= - \left| x^{S-2} e^{-x} \right|_{\frac{\epsilon_v^*}{kT}}^{\infty} + (S-2) \int_{\frac{\epsilon_v^*}{kT}}^{\infty} e^{-x} x^{S-3} dx = - \left| x^{S-2} e^{-x} \right|_{\frac{\epsilon_v^*}{kT}}^{\infty} + (S-2) I_2, \\ I_{S-1} &= \int_{\frac{\epsilon_v^*}{kT}}^{\infty} e^{-x} dx = - \left| e^{-x} \right|_{\frac{\epsilon_v^*}{kT}}^{\infty}. \end{aligned}$$

Результат интегрирования после подстановки пределов выразится суммой

$$\begin{aligned} I &= x^{S-1} e^{-x} + (S-1) e^{-x} x^{S-2} + \dots + (S-1)! e^{-x} = \\ &= e^{-x} [x^{S-1} + (S-1) x^{S-2} + \dots + (S-1)!]. \end{aligned}$$

Отсюда

$$\frac{I}{(S-1)!} = e^{-x} \left[\frac{x^{S-1}}{(S-1)!} + \frac{x^{S-2}}{(S-2)!} + \dots + 1 \right].$$

Таким образом, вероятность того, что суммарная колебательная энергия молекулы превышает заданное значение ϵ_v^* , дается выражением

$$e^{-\frac{\epsilon_v^*}{kT}} \sum_{r=0}^{S-1} \frac{1}{r!} \left(\frac{\epsilon_v^*}{kT} \right)^r, \quad (\text{III},11)$$

r принимает значения 0, 1, 2, ... $S-1$.

Формулу (III,11) можно упростить для тех случаев, когда

$$\epsilon_v^* \gg r kT, \quad \text{т. е.} \quad \frac{\epsilon_v^*}{r kT} \gg 1.$$

В выражении (III,11) отношение каждого последующего члена к предыдущему равно

$$\frac{\frac{1}{r!} \left(\frac{\epsilon_v^*}{kT} \right)^r}{\frac{1}{(r-1)!} \left(\frac{\epsilon_v^*}{kT} \right)^{r-1}} = \frac{\epsilon_v^*}{r kT} \gg 1.$$

Следовательно, в сумме каждый последующий член во много раз больше предыдущего, и всеми слагаемыми, кроме последнего, можно пренебречь. Тогда вместо формулы (III,11) получим вероятность для молекулы иметь вибрационную энергию выше некоторого минимума

$$\frac{1}{(S-1)!} \left(\frac{\varepsilon_v^*}{kT} \right)^{S-1} e^{-\frac{\varepsilon_v^*}{kT}}.$$

IV. ЧИСЛО СТОЛКНОВЕНИЙ ЧАСТИЦ В РАСТВОРЕ

В жидкостях частицы не находятся в свободном поступательном движении, так как силы взаимодействия достаточно велики. Поэтому нужно или доказать применимость следствий теории столкновений к реакциям в жидкой фазе, или заменить теорию столкновений такой теорией, которая бы учитывала специфику жидкого состояния. Жидкости занимают промежуточное положение между газами и твердыми телами. Частицы в них совершают сложное колебательно-поступательное движение.

Рассмотрим самый невыгодный случай, когда жидкость наиболее удаляется по своим свойствам от состояния газа, приближаясь к состоянию твердого тела, т. е. когда частицы жидкости совершают почти только колебательное движение. Если выводы теории бинарных соударений окажутся применимыми к таким растворам, то тем более это должно быть справедливо и при учете поступательного движения частиц в жидкости. Поэтому примем, что частицы растворенного вещества в жидкости, равно как и частицы растворителя, совершают колебания около положения равновесия в ячейках, «стенки» которых образованы соседними частицами. Найдем число столкновений этих частиц, исходя из их колебательного движения.

Предположим, что ячейка, в которой заключена молекула жидкости или растворенного вещества, является областью постоянной потенциальной энергии. В этой ячейке совершает колебания частица с диаметром D_0 , причем D_0 приблизительно равно диаметру молекулы в газообразном состоянии.

Обозначим среднее расстояние между частицами через D . Найдем, чему равно D , считая ячейки шарообразными, при наиболее плотном заполнении пространства.* В таком случае каждый шар непосредственно соприкасается с 12 соседями. Это соответствует кристаллической структуре куба с центрированными гранями, дающей 74% заполнения всего объема. Из кристаллохимии известно, что расстояние между соседними атомами в этом случае равно

$$D = \sqrt{2} \sqrt[3]{\frac{V}{2N}},$$

где V — макроскопический объем, N — число частиц в нем. Если $V = 1 \text{ см}^3$ и в этом объеме заключено ν частиц, то

$$D = \sqrt[3]{\frac{1}{2\nu}} \text{ и } \nu D^3 = \sqrt{2}.$$

Расстояние между частицами D больше, чем диаметр молекулы, и является функцией температуры.

Положим $D = D_0 + a$, где a — радиус ячейки, в которой колеблется неизменяющая размера молекула (рис. 68 и 69). Будем считать, что молекулы, совершающие колебания в ячейках, подчиняются закону распределения Максвелла — Больцмана. Согласно этому закону, вероятность i -й частицы иметь импульсы в интервале $p_x, p_x + dp_x; p_y, p_y + dp_y; p_z, p_z + dp_z$ дается выражением

* Если теория бинарных соударений окажется применимой к жидким растворам при наиболее плотной упаковке пространства молекулами, то эта теория окажется применимой и во всех остальных случаях.

$$dW_{(p)} = (2\pi mkT)^{-\frac{3}{2}} e^{-\frac{p_x^2 + p_y^2 + p_z^2}{2mkT}} dp_x dp_y dp_z.$$

Из статистической физики известно, что при достаточно большом числе частиц N среднее значение величины есть в то же время и наиболее вероят-

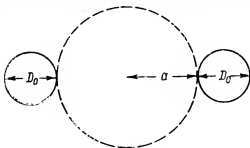


Рис. 68.

ное ее значение. Поэтому вероятность частицы иметь импульсы, заключенные в интервале $p_x, p_x + dp_x; p_y, p_y + dp_y; p_z, p_z + dp_z$, равна

$$dW_{(p)} = \frac{\bar{n}}{N},$$

где \bar{n} — среднее число молекул, импульсы которых заключены в указанном выше интервале.

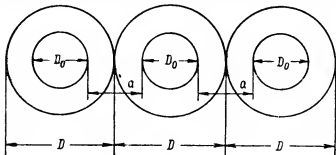


Рис. 69.

Перейдем от распределения по импульсам к распределению по скоростям. Среднее число молекул (мгновенно-среднее), совершающих колебания в ячейках, составляющие скоростей которых заключены в интервале $u, u + du; v, v + dv; w, w + dw$,

$$\frac{\bar{n}}{N} = (2\pi mkT)^{-\frac{3}{2}} e^{-\frac{m^2(u^2 + v^2 + w^2)}{2mkT}} m^3 du dv dw = \left(\frac{m}{2\pi kT}\right)^{3/2} e^{-\frac{mV^2}{2kT}} du dv dw,$$

так как $p_x = mu, p_y = mv, p_z = mw$ и результирующая скорость V связана с составляющими уравнением

$$V^2 = u^2 + v^2 + w^2.$$

Найдем среднее число молекул, величина результирующей скорости которых заключена в пределах $V, V + dV$ и которые движутся в направлении, лежащем внутри телесного угла $d\omega$, т. е. перейдем к сферической системе координат. Элемент объема $dudvdw$, выраженный через телесный угол $d\omega$, равен $V^2 dV d\omega$ (см. стр. 284). Среднее число молекул, движущихся в данный момент в каждой ячейке радиуса a со скоростью в пределах $V, V + dV$ и в направлении, лежащем внутри телесного угла $d\omega$, равно

$$\bar{dn}_a = \left(\frac{m}{2\pi kT} \right)^{3/2} e^{-\frac{mV^2}{2kT}} V^2 dV d\omega.$$

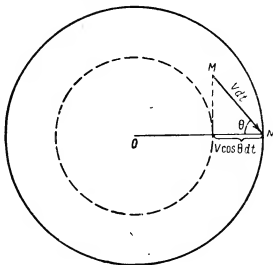


Рис. 70.

Если мы поделим это выражение на величину объема одной ячейки $\frac{4}{3} \pi a^3$, то найдем среднее число молекул в единице объема, движущихся в ячейках радиуса a со скоростью, заключенной в пределах $V, V + dV$, и в направлении, лежащем внутри телесного угла $d\omega$

$$\bar{dn} = \frac{\left(\frac{m}{2\pi kT} \right)^{3/2} e^{-\frac{mV^2}{2kT}} V^2 dV d\omega}{\frac{4}{3} \pi a^3}.$$

Определим теперь среднее число столкновений частицы со стенкой ячейки, т. е. с другими частицами. Выразим математически условия столкновения молекулы со стенкой ячейки. Вероятность столкновения частицы со стенкой ячейки зависит как от скорости движения частицы, так и от направления ее движения („к стенке“ или „от стенки“), т. е. определяется величиной скорости V и углом между направлением скорости и нормалью к стенке ячейки (рис. 70), где ON — нормаль, M — местоположение частицы в момент времени t , Vdt — путь частицы за время dt , $V \cos \theta dt$ — расстояние по нормали (от стенки ячейки).

Следовательно, математическим условием столкновения частицы со стенкой ячейки за время dt будет нахождение частицы в какой-либо точке объема бесконечно тонкого шарового слоя толщиной $V \cos \theta dt$. Величина этого объема, равная величине поверхности сферы, умноженной на толщину слоя, т. е. $4\pi a^2 V \cos \theta dt$, и будет количественно характеризовать вероятность столкновения частицы со стенкой ячейки в зависимости от местонахождения частицы в ячейке.

Найдем среднее число столкновений со стенкой ячейки в единицу времени в единице объема молекулы, которая движется со скоростью, заключенной в интервале $V, V + dV$ в направлении телесного угла $d\omega$, причем угол между направлением скорости движения и нормалью к стенке равен θ . Это число столкновений, как вероятность сложного события, равно

$$\begin{aligned} & \frac{\left(\frac{m}{2\pi kT}\right)^{3/2} e^{-\frac{mV^2}{2kT}} V^2 dV d\omega 4\pi a^2 V \cos \theta dt}{\frac{4}{3} \pi a^3 dt} = \\ & = \frac{3}{a} \left(\frac{m}{2\pi kT}\right)^{3/2} e^{-\frac{mV^2}{2kT}} V^3 dV \cos \theta d\omega. \end{aligned} \quad (IV,1)$$

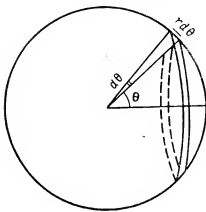


Рис. 71.

В последнем выражении число столкновений зависит от трех переменных V, θ и ω . Уменьшим на единицу число переменных. Для этого выразим телесный угол ω через угол на плоскости θ . При изменении угла на плоскости на величину $d\theta$ телесный угол изменится на величину $d\omega$. Мерой телесного угла является часть поверхности сферы, вырезаемая этим углом, с радиусом, равным единице. При изменении угла на плоскости на величину $d\theta$ на поверхности шара вырезается бесконечно тонкое кольцо $d\omega$, поверхность которого и равна углу $d\omega$. Поверхность кольца можно считать равной поверхности цилиндра высотой $rd\theta$ с радиусом основания $r \sin \theta = \sin \theta$ (рис. 71). Тогда

$$d\omega = 2\pi \sin \theta d\theta. \quad (IV,2)$$

Телесный угол $d\omega$ в выражении (IV,1) заменим его значением из уравнения (IV,2) и вместо скорости введем кинетическую энергию ϵ , положив

$$\epsilon = \frac{mV^2}{2}, \quad d\epsilon = mV dV.$$

Число столкновений данной молекулы со стенкой ячейки в единицу объема за единицу времени при условии, что полная кинетическая энергия молекулы заключена в пределах $\epsilon, \epsilon + d\epsilon$, а угол между направлением скорости движения и нормалью к стенке в интервале $\theta, \theta + d\theta$, составит

$$dz = \frac{3}{a} \left(\frac{2kT}{\pi m}\right)^{1/2} e^{-\frac{\epsilon}{kT}} \frac{\epsilon}{kT} \frac{d\epsilon}{kT} \sin \theta \cos \theta d\theta. \quad (IV,3)$$

Общее число столкновений молекулы со стенкой ячейки в единицу времени в единице объема можно найти, учитывая столкновения со всеми возмож-

ными значениями энергии ϵ (от 0 до ∞) и под всеми возможными углами (от 0 до $\frac{\pi}{2}$).

Таким образом, число столкновений молекулы со стенками ячейки в единице объема за единицу времени равно

$$\begin{aligned} \frac{3}{a} \left(\frac{2kT}{\pi m} \right)^{1/2} \int_0^{\infty} e^{-\frac{\epsilon}{kT}} \frac{\epsilon}{kT} \frac{d\epsilon}{kT} \int_0^{\frac{\pi}{2}} \sin \theta \cos \theta d\theta = \\ = \frac{3}{a} \left(\frac{2kT}{\pi m} \right)^{1/2} \cdot 1 \cdot \frac{1}{2} = \frac{3}{2a} \left(\frac{2kT}{\pi m} \right)^{1/2} = z'. \end{aligned} \quad (IV,4)$$

Формула (IV,4) дает число столкновений одной движущейся молекулы с неподвижной ячейкой. На самом деле стенки ячейки, состоящие из соседних молекул, также находятся в движении, и каждая молекула, образующая стенку ячейки, также испытывает столкновения с соседними молекулами.

Найдем число столкновений молекул друг с другом в идеальном растворе, содержащем в единице объема ν молекул, из которых ν_1 молекул первого сорта и ν_2 — второго. Доля тех столкновений (от общего числа), которые испытывают молекулы второго сорта, сталкиваясь с частицами

первого сорта, равна $\frac{\nu_1}{\nu}$. Аналогично доля столкновений молекул первого

сорта с молекулами второго сорта равна $\frac{\nu_2}{\nu}$. Каждая молекула первого сорта столкнется в единицу времени со стенкой ячейки z' раз. Из этих столкновений $\frac{\nu_2}{\nu}$ придется на долю столкновений с молекулами второго сорта. Молекулы первого сорта столкнутся с молекулами второго сорта $\nu_1 \frac{\nu_2}{\nu} z'$ раз.

Следовательно, в единице объема за единицу времени молекулы первого сорта, движущиеся в своих ячейках, столкнутся с неподвижными молекулами второго сорта z_{1-2} раз, причем

$$z_{1-2} = \frac{\nu_1 \nu_2}{\nu} \frac{3}{2a} \left(\frac{2kT}{\pi m_1} \right)^{1/2}.$$

Молекулы второго сорта, двигаясь в своих ячейках, стенки которых составляют неподвижные молекулы первого сорта, столкнутся с ними z_{2-1} раз, причем

$$z_{2-1} = \frac{\nu_1 \nu_2}{\nu} \left(\frac{2kT}{\pi m_2} \right)^{1/2}.$$

На самом деле движутся одновременно все молекулы и первого и второго сортов.

Формула, описывающая столкновения всех молекул, должна быть симметричной по отношению к молекулам первого и второго сортов и должна учитывать все столкновения. Если бы сначала двигались только молекулы первого сорта, а в следующий момент времени только молекулы второго сорта, то общее число столкновений равнялось бы сумме столкновений частиц обоих сортов

$$z = z_{2-1} + z_{1-2}. \quad (IV,5)$$

Так как в любой момент времени движутся одновременно и те и другие, то более правильным будет считать среднее число столкновений равным

$$z = \sqrt{z_{1-2}^2 + z_{2-1}^2}. \quad (IV,6)$$

Тогда введя коэффициент симметрии σ_{12} , чтобы дважды не учитывать столкновения одного и того же типа, для общего числа столкновений в жидкости получим

$$z = \frac{v_1 v_2}{v \sigma_{12}} \frac{3}{2a} \left(\frac{2kT}{\pi} \right)^{1/2} \left(\frac{1}{m_1} + \frac{1}{m_2} \right)^{1/2} = \frac{v_1 v_2}{v \sigma_{12}} \frac{3}{2a} \left(\frac{2kT}{\pi \mu} \right)^{1/2}. \quad (IV,7)$$

Если учесть, что $\frac{1}{v} = \frac{D^3}{\sqrt{2}}$, уравнение (IV,7) можно представить в следующем виде:

$$z = \frac{v_1 v_2}{\sigma_{12}} \frac{3D^3}{2^{3/2}a} \left(\frac{2kT}{\pi \mu} \right)^{1/2} = 2 \frac{v_1 v_2}{\sigma_{12} \pi} \frac{3D^3}{2^{5/2}a} \left(\frac{2\pi kT}{\mu} \right)^{1/2}. \quad (IV,8)$$

Сопоставим выражение для общего числа столкновений в жидкости (IV,8) с формулой общего числа столкновений в газах (II,11). Сопоставление показывает, что вид зависимости общего числа столкновений в обоих случаях одинаков, за исключением того, что роль радиуса наибольшего сближения в жидкостях выполняет более сложная величина, равная $\sqrt{\frac{3D^3}{2^{5/2}\pi a}}$. Можно рассматривать эту величину как эффективный диаметр столкновения $D_{эф}$, положив

$$D_{эф}^2 = \frac{3D^3}{2^{5/2}\pi a}. \quad (IV,9)$$

Покажем, что совпадение уравнений (IV,8) и (II,11) не является чисто формальным. Если эффективный диаметр столкновения в жидкой фазе равен диаметру частицы в газообразной фазе, то при переходе от жидкостей к газам уравнение (IV,8) должно превратиться в (II,11). В том случае, если $D_{эф} = D$, из уравнения (IV,9) следует, что в жидкой фазе $\frac{a}{D} = \frac{1}{6}$. Отношение величин $\frac{a}{D}$ можно найти из величины молекулярного и молярного объема жидкости для грамм-молекулы. Так, например, для воды собственный объем грамм-молекулы, определенный по константе в уравнении Ван-дер-Ваальса, равен $\frac{4}{3} \pi N \left(\frac{D_0}{2} \right)^3 = 7,63 \text{ см}^3$. Расстояние между молекулами D можно определить из величины молярного объема, считая этот объем заполненным шарами с наиболее плотной упаковкой (74% заполнения объема).

Для воды молярный объем равен

$$\frac{\frac{4}{3} \pi N \left(\frac{D}{2} \right)^3}{74} = 18 \text{ см}^3.$$

Отсюда

$$\frac{a}{D} = \frac{D - D_0}{D} = \frac{\sqrt[3]{13,3} - \sqrt[3]{7,6}}{\sqrt[3]{13,3}} = \frac{1}{6}.$$

Для *n*-гексана и метилового спирта аналогичный расчет дает

$$\frac{a}{D} = \frac{1}{4}.$$

Учитывая приблизительный характер расчета (например, утверждение о наиболее плотной упаковке частиц в жидкой фазе), можно считать, что эффективный диаметр столкновения действительно соответствует газокинетическому диаметру r_{12} . В газах „геометрия столкновения“ зависит только от

размеров самих частиц, в жидкостях—также и от расстояния между частицами, связанного с наличием силовых полей—сил Ван-дер-Ваальса. Поэтому эффективный диаметр столкновения в жидкостях является сложной функцией как самих размеров молекул, так и расстояний между ними и приближенно равен расстоянию между центрами частиц при наиболее плотной их упаковке. В газах наименьшее расстояние между центрами частиц равно $r_{12} = D_0$. В жидкостях расстояние наибольшего сближения между центрами частиц равно D . Поэтому в жидкостях $D_{эф} = D$, в газах $D_{эф} = r_{12}$.

Формулы (IV,8) и (II,11) отражают одни и те же количественные зависимости теории бинарных столкновений, примененные к реакциям в различных фазах. Величина D в жидкостях близка к D_0 . Поэтому можно считать, что отношение числа столкновений в жидкости, вычисленного на основании теории бинарных соударений, к числу столкновений в газе незначительно отличается от единицы. Иначе говоря, для расчета общего числа столкновений в растворах можно применять формулу (II,11). Таким образом, поскольку число столкновений как в жидкости, так и в газе, пропорционально концентрации, то общее число столкновений любых частиц в жидкости (включая молекулы растворителя) примерно в 1000 раз больше, чем в газе.

Найдем теперь число активных столкновений в растворах. В газах под активными столкновениями понимались такие, у которых составляющая кинетической энергии относительного движения по линии центров превышала некоторое минимальное значение ϵ_* . Аналогично в жидкости активными столкновениями будем считать такие, для которых составляющая кинетической энергии в направлении движения по нормали к стенке превышает заданное значение ϵ_* . Тогда число активных столкновений будет равно числу столкновений со стенками ячейки в единицу времени в единице объема при условии, что составляющая кинетической энергии по нормали к стенке больше или равна ϵ_* .

Пусть R —составляющая скорости по нормали к стенке. Число активных столкновений зависит как от величины скорости, так и от угла между направлением скорости движения молекулы и нормалью к стенке (рис. 72). Столкновение будет активным в том случае, когда

$$\epsilon \geq \epsilon_* \quad \text{или} \quad R \geq R_*$$

и угол θ такой, что

$$1 \geq \cos \theta \geq \frac{R_*}{V} = \sqrt{\frac{\epsilon_*}{\epsilon}}$$

так как

$$\epsilon_* = \frac{mR_*^2}{2}, \quad \epsilon = \frac{mV^2}{2}, \quad R_* = \sqrt{\frac{2\epsilon_*}{m}}, \quad V = \sqrt{\frac{2\epsilon}{m}}.$$

Число столкновений в единице объема за единицу времени, у которых кинетическая энергия заключена в интервале $\epsilon, \epsilon + d\epsilon$, а угол между направлением движения и нормалью к стенке—в пределах $\theta, \theta + d\theta$, дается выражением (IV,3). Проинтегрировав это выражение по всем возможным значениям угла и энергии, получим число активных столкновений молекулы

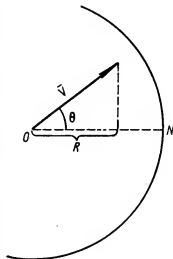


Рис. 72.

со стенкой ячейки. Следовательно, число активных столкновений молекулы равно

$$dz^* = \frac{3}{a} \left(\frac{kT}{\pi m} \right)^{1/2} \int_{\frac{v_*}{c}}^{\infty} e^{-\frac{v}{kT}} \frac{v}{kT} \frac{dv}{kT} \int_{\cos \theta = 1}^{\cos \theta = \sqrt{\frac{v_*}{v}}} \sin \theta \cos \theta d\theta - \\ - \int_1^{\sqrt{\frac{v_*}{v}}} \cos \theta d \cos \theta = \frac{1}{2} \left(1 - \frac{v_*}{v} \right),$$

откуда число активных столкновений будет

$$z^* = \frac{3}{2a} \left(\frac{2kT}{\pi m} \right)^{1/2} \int_{\frac{v_*}{c}}^{\infty} e^{-\frac{v}{kT}} \frac{v}{kT} \frac{dv}{kT} \left(1 - \frac{v_*}{v} \right) = \frac{3}{2a} \left(\frac{2kT}{\pi m} \right)^{1/2} e^{-\frac{v_*}{kT}}.$$

Общее число столкновений в единицу времени в единице объема одной молекулы со стенкой ячейки, согласно (IV,4), равно $\frac{3}{2a} \left(\frac{2kT}{\pi m} \right)^{1/2}$. Следовательно, доля активных столкновений составляет $e^{-\frac{v_*}{kT}}$ от общего числа столкновений, а число активных столкновений равно

$$z^* = z e^{-\frac{v_*}{kT}}. \quad (\text{IV},10)$$

V. ЧИСЛО СТОЛКНОВЕНИЙ ЧАСТИЦ С ПОВЕРХНОСТЬЮ

Число частиц с нормальной к поверхности составляющей по закону распределения Максвелла — Больцмана равно

$$dn = \left(\frac{m}{2\pi kT} \right)^{\frac{1}{2}} e^{-\frac{mu^2}{2kT}} ndu.$$

Число ударов, приходящихся на единицу поверхности за время dt , равно

$$dz = \left(\frac{m}{2\pi kT} \right)^{\frac{1}{2}} e^{-\frac{mu^2}{2kT}} ndu dt. \quad (\text{V},1)$$

Общее число ударов найдем, отнеся уравнение (V,1) к единице времени и интегрируя в пределах скорости от 0 до ∞

$$z = \left(\frac{kT}{2\pi m} \right)^{\frac{1}{2}} n.$$

Средняя скорость движения молекул \bar{u} равна

$$\bar{u} = \left(\frac{8kT}{\pi m} \right)^{\frac{1}{2}}.$$

Следовательно,

$$z = \frac{\bar{u}n}{4}.$$

ПРЕДМЕТНЫЙ УКАЗАТЕЛЬ *

- Абсорбционная спектроскопия 140,
 257, 258, 262
 — чувствительность метода 140
 Автокаталитические реакции 124,
 167—168, 253
 — второго порядка 167
 — первого порядка 167, 168
 — скорость 168
 Автоторможение 272—273
 Аггравационный потенциал 265 сл.
 Адсорбционный потенциал 205—208,
 211
 — методы определения 207 сл., 213 сл.
 — адсорбционно-химических равнове-
 сией 214, 215
 — кинетический 213—214
 — — термохимический 207 сл., 211
 — связь с энергией сублимации 211 сл.
 Адсорбционный слой 210
 Адсорбция 182 сл., 204 сл., 229—232
 — активированная 183
 — Ван-дер-Ваальсовая см. Адсорб-
 ция физическая
 — изотерма
 — — Ленгмюра 186, 187
 — — Фрейндлиха 188
 — кинетическое уравнение 187, 217
 — локализованная 182, 189, 190
 — нелокализованная 182, 189, 190
 — поверхностная 229 сл.
 — — ионной связью 230 сл.
 — — ковалентной связью 230 сл.
 — — одиозлектронной связью 229 сл.
 — поверхностные соединения 190—
 192, 210, 218, 224
 — порядок реакции 217, 218
 — сильная 187, 217
 — скорость см. Скорость адсорбции
 — слабая 187, 217
 — средней силы 187, 217
 — физическая 182, 183
 — химическая см. Хемосорбция
 — энергия см. Энергия адсорбции
 Аконитаза 252
 Активаторы см. Промоторы
 Активация 34 сл., 37, 72—75, 78, 79
 — в растворах 90
 — константа скорости 72
 Активные молекулы 33 сл., 37, 38,
 72—75, 80, 132, 133
 Активные столкновения 33—36, 39—
 46, 74—75, 286—288, 301—302
 — в газах 286—288
 — в растворах 90, 301—302
 Активные центры (катализаторов)
 181, 182, 184, 222, 223, 236, сл., 248
 — теория 184
 — ферментов 258, 261
 Активные частицы см. Активные мо-
 лекулы
 Актор 14, 29, 30
 Акцептор 14, 29, 30, 129, 177
 Акцепторная примесь 229
 Алкогольдегидраза 257
 Амниоферазы см. Трансферазы
 Амилаза 249
 Ансамбль 238
 Аргиназа 162, 252
 Аспартаза 251
 Атомный водород 137
 — время существования 137
 — определение концентрации 141, 142
 — получение 137, 138
 Атомный кислород 137
 — получение 137
 Атомы 136—142
 — получение 137

* Составил В. Д. Пиастро.

Бекмановская перегруппировка 178
Бимолекулярные реакции 13, 40, 44,
74, 75, 85, 86—89, 142
— в растворах 86—89
— примеры 89
— газовые 74, 75
— примеры 77, 85
— энергия активации 89
Быстрые реакции 86, 99, 100
— зависимость от стерического коэф-
фициента 99, 100
— растворители 96

Вероятность обрыва цепи 153, 154
— разветвления 153, 154
Вирусы 253
— молекулярный вес 253
Время полупревращения см. Период
полураспада
Вырожденные разветвления 152

Гамма-функция 284 сл.
Гетерогенные реакции 5, 76, 105—125,
196, 236
— атомные 196
— ионные 196
— кинетика 105—125
— отличие от гомогенных 105
— процессы 105
Гетерогенный катализ 161, 164, 181—
243
— значение 185 сл.
— коллоидный см. Микрогетероген-
ный катализ
— отличие от
— гомогенного 218
— ферментативного 263
— теории 183, 184, 196—241
— ансамблей Кобозева 184, 186,
236—241
— катализа кристаллической по-
верхностью 185, 216—218
— мультиплетная Баландина см.
Мультиплетная теория катализа
А. А. Баландина
— пересыщения Рогинского 184,
186, 218—220
— полупроводникового катализа
183, 186, 227—233
— радикальная Семенова—Воевод-
ского 183, 186, 233—236
— электронная Рогинского—Воль-
кенштейна 183, 186, 227—233
Гидролазы 251
Глюкозидазы 251
Гомогенные реакции 5, 72—104, 166—
180
— кинетика 72—104
— отличие от гетерогенных 106
Гомогенный катализ 161, 166—180

— кислотно-основной 175—180
— механизм 172—175
— отличие от
— гетерогенного 218
— ферментативного 253
— скорость 170—172, 177, 178
— теория 168—172
— формальная кинетика 166—168
Градиент концентрации 108

Дезактивация 37, 72—75, 80, 82, 90
— константа скорости 73, 74
— скорость 73
Дезактивирование см. Дезактивация
Десорбция 186, 204 сл.
— энергия см. Энергия десорбции
Диффузионная область реакции 6,
106, 113
— отличие от кинетической области
106
Диффузионный слой 108, 113, 210
Диффузия 105 сл., 107—110, 112, 113
— диффузионный поток см. Скорость
диффузии
— законы 109, 110
— кинетика диффузионного потока
— нестационарного 115—119
— стационарного 111—115
— коэффициент диффузии 108 сл.
— определяющая стадия реакции
113, 114
— поверхностная 182, 217
— скорость диффузии 108, 109, 112,
113, 116
Длина цепи 143, 144, 149
Донор электрона 129, 228
Донорная примесь 229
Дырочная проводимость 229 сл., 247

«Закалка» реакции 17, 140
Закон
— Вант-Гоффа 130, 131
— Дебая—Гюккеля 99, 101, 102
— Ламберта—Бера 130, 131
— параболический закон диффузии
117, 124
— Пуассона—Смолуховского 239
— распределения Максвелла—Больц-
мана 288 сл., 295 сл.
— Фика
— второй 110
— первый 109
— Эйнштейна 130, 131
Зона проводимости 228

Изоляторы 227
— отличие от
— металлов 227, 228
— полупроводников 227, 229
Изомеразы 252

Изотерма

— Ленгмюра 187

— Фрейндлиха 188

Инактивация ферментов 249

Ингибиторы 161, 258—260, 268—273

— коррозии металлов 268, 269, 271

— механизм действия 269—271

— окисления 268—270

— полимеризации 268—270

Индуктор 14, 29, 30

Индукция 30

— коэффициент 30

— период 28

Интеграл Эйлера 284 сл.

Ионная связь 230, 232

Ионная сила раствора 100

— влияние на константу скорости
раствора 101, 102

— связь с фактором кинетической
активности 101 сл.

Карбоксилаза 251

Каталаза 162, 252, 253, 258, 264

— полосы поглощения 258

Катализ 161—165

— активаторы в катализе см. Про-
моторы

— активными центрами 181, 182, 184,
222, 223, 249

— гетерогенный см. Гетерогенный
катализ

— гомогенный см. Гомогенный ка-
тализ

— коллоидальный см. Микрогетеро-
генный катализ

— кристаллической поверхностью 181,
микрогетерогенный 161, 241—243

— отличие гетерогенного и гомоген-
ного от ферментативного 263

— полупроводниковый 227—233, 244
сл.

— теории

— активной кристаллической по-
верхности 216—218

— ансамблей 236—241

— мультиплетная см. Мультиплет-
ная теория А. А. Баландина

— — пересыщения 218—220

— — радикальная 233—236

— — электронная 227—233

— ферментативный см. Фермента-
тивный катализ

— фотокатализ см. Фотокатализ

— — яды в катализе см. Яды

Катализаторы 161 сл., 166, 167, 172—
175, 193—195, 198, 203, 215, 216,
229, 237, 242, 270—271

— активность 111 сл., 203, 207—209,
215, 216, 218—227, 237, 239, 242,
248, 249, 253

— — удельная 237, 239

— активные центры 181, 182, 184,
222, 223, 249

— избирательность 162

— избыточная свободная энергия
220 сл.

— кислотно-основные 175—180, 192,
195

— классификация 196

— металлические

— — активные 198, 199, 203, 215, 242,
243

— — неактивные 203, 242

— окислительно-восстановительные
192—195

— отравление ядами 181, 223—227,
241

— — коэффициент отравления 226

— — необратимое 223 сл.

— — обратимое 223 сл.

— отрицательные см. Ингибиторы

— специфичность групповая 162, 251

— — индивидуальная 162, 252

— структура поверхности 210, 213

— универсальные 162

— ферментативные 162, 249 сл.

— фотокатализа см. Фотокатализа-
торы

Каталитическая активность метал-
лов 203, 215, 242, 263

Квантовый выход 132

Кинетика химических реакций 5—
158

— гетерогенных 105—125 см. также
Гетерогенные реакции

— гомогенных 72—104 см. также
Гомогенные реакции

— — в растворах 5, 86—104

— — газовых 5, 72—86

— — теории см. Теория кинетики

— формальная см. Формальная ки-
нетика

— цепных 6, 126—157 см. также
Цепные реакции

Кинетическая область реакции 5, 106

— отличие от диффузионной области
106

Кинетическое уравнение реакции 11,
106, 146, 148

Кислотность 176

Ковалентная связь 230—232

Колебательное движение молекул 78,
81, 84, 91, 288—295

Константа

— Михаэлиса 254, 257

— — ферментов 257

— — экспериментальное определение
254 сл.

— протолитического равновесия 176
сл.

- равновесия 23, 24, 50, 85, 100, 170—172
- выраженная через статистическую сумму состояний 55, 57, 84
- переходного состояния 53, 57, 63, 84
- термодинамическая 100, 104
- скорости диффузии 106 сл., 114, 115
- скорости рекомбинации см. Рекомбинация, константа скорости
- скорости химических реакций 10, 51, 53, 54, 57, 59, 62, 63, 73, 81, 84, 92, 164
- бимолекулярных 45 сл., 50, 57, 62, 63, 73
- в жидкой фазе 86—89
- вычисленная по уравнению 45, 84, 86—89, 92, 95
- газовых 71, 83, 84
- зависимость от
 - — — ионной силы раствора 101, 102
 - — — растворителя 94, 95
 - — — температуры 33—35, 42—45
- мономолекулярных 57, 74, 81, 90—92
- обратных 23, 50
- простых 21
- прямых 23, 50
- связь с (о)
 - — — диэлектрической постоянной 95, 101
 - — — свободной энергией активации 51, 60
 - — — числом столкновений 39
 - — — энтальпией активации 51, 60
 - — — энтропией активации 51, 60
 - — — сложных 23—31
 - — — тримолекулярных 57, 84
 - — — цепных 146 сл.
- экспериментальная 13, 46, 74, 79, 82, 85, 86—89, 92, 95, 101, 113, 115, 178, 179
- Концентрация реагирующих веществ
 - методы определения 17, 18
 - — — аналитические 17
 - — — оптические 18
- Координата реакции 68
- Коррозия 268, 269, 271
- механизм действия ингибиторов 271
- Коэффициент
 - адсорбции 186
- активности реагирующих веществ 100—105
- индукции 30
- отравления 226
- Критическая температура взрыва 157

Ксантинооксидаза 253, 264

Лактодегидраза 162, 249, 257

— константа Михаэлиса 257

Липазы 251

Люминисценция 245, 249

Максвелл-Больцмановское распределение 37, 288 сл., 295 сл.

Мальтаза 251

— константа Михаэлиса 257

Медленные растворители 96

Медленные реакции 86, 93—99

— зависимость от стерического коэффициента 98, 99

— константа скорости 98

— отличие от нормальных реакций 96

— примеры 94, 97

Металлы 228

— зона проводимости 228

— отличие от

— — — изоляторов 227

— — — полупроводников 227

— работа выхода электрона 228

— свободные электроны 228

Метастабильные модификации 121, 219

Метилферазы см. Трансферазы

Метод

— Вант-Гоффа 14

— диффузионных пламен 138

— измерения концентрации свободных радикалов 140—142

— — — зеркал Панета 141

— — — нодный 141

— — — каталитической рекомбинации 141

— масс-спектрографический 140

— — — раздельного колориметрирования 234

— — — толуольный Шварца 141

— — — электронного парамагнитного резонанса 140

Миграционные ячейки 238, 240

Молекулярность реакций 10, 13

— бимолекулярных 13, 40, 44, 73, 75, 77, 86—89

— — — в растворах 86—89

— — — газовых 75, 77

— мономолекулярных 13, 74, 77—83

— — — в растворах 89—93

— — — газовых 77—83

— тримолекулярных 13, 83, 85

Молекулярный коэффициент поглощения 131

Молярный коэффициент экстинкции 131, 257

Мономолекулярные реакции 13, 74, 77—83, 89—93, 178

- в растворах 89—93
- константа скорости 92
- примеры 92
- газозые 77—83
- Мультиплет 197 см. также Мультиплетная теория катализа А. А. Балаидина
- Мультиплетная теория катализ А. А. Балаидина 183—185, 196—216
- группы реакций 198, 199
- принцип геометрического соответствия 199—204
- — дублетный механизм катализа 200 сл.
- — секстетный механизм катализа 201 сл.
- — триплетный механизм катализа 201 сл.
- принцип энергетического соответствия 204—213
- Мультиплетный комплекс 197 сл.
- теплота
- — образования 205, 208
- — распада 205, 208
- Мутаротата 252
- Неактивные молекулы 38, 72
- Нечелные реакции 6, 135
- отличие от целных 132, 133
- Нормальные растворители 96
- Нормальные реакции 86, 89, 94, 96, 98
- константа скорости 89
- отличие от медленных 96
- Одноэлектронная связь 229—232, 246
- Окаинообразование 118
- Оксидазы 252
- Определяющая стадия реакции 5, 11, 12, 100
- диффузии 106, 113, 114
- Органополи 242
- Осцилляторы 77, 288
- Пепсин 249
- Перекисная теория окисления А. И. Баха 134
- Переходная область реакции 6, 106
- Переходное состояние 47—50, 67—71, 197 сл.
- конфигурация 67, 68
- медленных реакций 97
- отличие от промежуточного комплекса теории бинарных соударений 48
- термодинамика 50—61
- энергия 67, 68, 70
- Период
- индукции 28, 152, 153
- полураспада 15, 168
- — для реакций первого порядка 15
- — для реакций n -го порядка 15
- Пероксидаза 252
- Площадь миграции 238, 240
- Поверхностная диффузия см. Диффузия поверхностная
- Поверхностные соединения 161, 164, 181, 190—192, 210
- атомные 191
- ионные 191
- радикальные 192
- Полоса Сорэ 257
- Полупроводники 227 сл., 245 сл., 267
- зона
- — запрещенная 228
- — проводимости 228
- отличие от
- — изоляторов 227
- — металлов 227
- p -полупроводники 229
- n -полупроводники 228
- работа выхода электрона 228
- фотокатализаторы 245 сл.
- Полупроводниковый катализ см. Катализ полупроводниковый
- Порядок реакции 10, 11, 14, 72—75, 79, 81, 187, 218
- второй 19, 73, 75, 79, 167, 187
- дробный 11, 80, 124, 148, 187, 255
- зависимость от давления 72—75, 81, 82
- изменение порядка реакции 73, 75, 80, 82, 170
- нулевой 11, 107, 170, 187
- первый 18, 75, 79, 168, 187, 255
- третий 20, 85
- n -ый 21
- экспериментальное определение 14—17
- — методом Вант-Гоффа 14, 17
- — методом Оствальда—Нойес 17
- Потенциал аггравации см. Аггравационный потенциал
- Правила
- Вант-Гоффа 31, 36
- Стокса 126
- Предел воспламенения 154 сл.
- Пределы по давлению 154—157
- Предэкспоненциальный множитель см. Стерический коэффициент
- Приведенная масса 39, 63
- Принцип
- аггравации Н. И. Кобозева 256, 266
- геометрического соответствия см. Мультиплетная теория А. А. Балаидина
- энергетического соответствия см. Мультиплетная теория А. А. Балаидина

— Франка—Кондона 126

Промежуточное вещество реакций
см. Промежуточные продукты реакций

Промежуточные продукты реакций
11, 12, 27—29, 33 сл., 49, 85, 95, 100,
120, 153, 209 сл., 254 сл., 258—261

— каталитических 161, 164, 165,
168—175, 209 сл., 254 сл., 258—261

— активные 169

— нонные 172—174

— молекулярные 174—175

— пассивные 169

— скорость образования 254 сл.

— строение 209 сл., 258—261

— константа диссоциации комплекса
254

— ферментативных 254 сл., 258—261

Промежуточный комплекс см. Про-
межуточные продукты реакций

Промоторы 220—223, 233

— критическая концентрация 222,
233

— модифицирующие 220—222, 233

— структурообразующие 220, 221, 233

Простые реакции 13, 18—22

— второго порядка 19

— первого порядка 18

— третьего порядка 20

— *n*-го порядка 21

Псевдомомолекулярные реакции
19, 75

Распределение энергии по степеням
свободы движения молекул см.
Энергия, распределение по степе-
ням свободы движения молекул

Расчет абсолютных скоростей реак-
ций см. Скорость химических ре-
акций, расчет

Реакции

— автокаталитические см. Автока-
талитические реакции

— быстрые см. Быстрые реакции

— в электрическом разряде 138

— гетерогенные см. Гетерогенные
реакции

— гомогенные см. Гомогенные реак-
ции

— инактивации ферментов см. Инак-
тивация ферментов

— каталитические 6, 193—196, 198

— мгновенные 86

— медленные см. Медленные реакции

— Меншуткина 94 сл.

— молекулярность 13

— бимолекулярные см. Бимолеку-
лярные реакции

— мономолекулярные см. Мономо-
лекулярные реакции

— — — тримолекулярные см. Тримоле-
кулярные реакции

— неадиабатические 54

— некаталитические 6

— нецепные см. Нецепные реакции

— нормальные см. Нормальные ре-
акции

— параллельно-последовательные 29,
133

— порядок

— — — второй 19, 73, 75, 79, 167

— — — дробный 11, 16, 80, 124, 148

— — — нулевой 11, 107, 170

— — — первый 18, 75, 79, 168

— — — третий 20, 85

— — — четвертый 12

— — — *n*-ый 15, 21

— простые см. Простые реакции

— протолитические 176

— радикально-каталитические 233 сл.

— сложные см. Сложные реакции

— стабильность 5, 10, 74, 85, 100

— твердофазные см. Твердофазные
реакции

— темновые 128

— ферментативные см. Фермента-
тивные реакции

— фотодиссоциации см. Фотодиссо-
циация

— фотоперегруппировки см. Фотопе-
регруппировка

— фотопереноса электронов см. Фо-
топеренос электронов

— фотоприсоединение см. Фотоприс-
оединение

— фотораспада см. Фотодиссоциа-
ция

— фотосенсибилизации см. Фотосен-
сибилизация

— цепные см. Цепные реакции

Рекомбинация 12, 76, 144, 147, 150,

— константа скорости 150, 151

— скорость 144, 147, 150

Рибонуклеазы 251

Сахараза 249

— константа Михаэлиса 257

Свободная валентность 233 сл.

Свободная энергия 50

— адсорбции 182

— активации 50, 59

— — — экспериментальное определение
60, 61

Свободные радикалы 127, 132, 134,
136—142, 233, 248, 270, 271

— время существования 136, 140

— лабильные 140

— методы обнаружения 140—142

— — — косвенные 141

— — — прямые 140, 141

- методы получения 137—139
- определение концентрации 140—142, 146
- скорость зарождения 147
- стабильные 140
- Свободные электроны 231
- Скорость
 - адсорбции 186
 - десорбции 186
 - диффузии 108, 109, 112, 113, 116
 - изменения концентрации в слое 110, 116
 - иницирования 145, 147
 - — — — — максимальная 255
 - перемещения слоя заданной концентрации 116
 - рекомбинации см. Рекомбинация, скорость
 - химических реакций 5—6, 9—11, 41, 43, 53, 79, 90, 94, 120 сл., 143, 217, 254 сл., 272
 - — — — — автоторможение 272, 273
 - — — — — влияние температуры 31—32, 34, 41—43, 45, 114, 155 сл.
 - — — — — зависимость от
 - — — — — давления 155, 156
 - — — — — концентрации веществ 106, 218
 - — — — — примесей 155
 - — — — — растворителя 93, 94
 - — — — — состава смеси 157
 - — — — — каталитических 170 сл.
 - — — — — зависимость от энергии
 - — — — — адсорбции 187
 - — — — — активации 233
 - — — — — простых 21
 - — — — — расчет 41—43
 - — — — — связь с (о)
 - — — — — свободной энергией активации 50, 59, 69
 - — — — — энтальпией активации 50, 59
 - энтропией активации 50, 59
 - — — — — температурный коэффициент скорости 31, 33—36
 - — — — — твердофазных 120 сл.
 - — — — — цепных 143 сл., 154 сл.
 - — — — — экспериментальная 113, 115, 118, 149, 177, 178, 256
- Сложные реакции 13, 22—31
 - обратимые 13, 22—24
 - — — — — второго порядка 24
 - — — — — первого порядка 22—23
 - параллельные 13, 24—26
 - — — — — второго порядка 26
 - — — — — первого порядка 25
 - последовательные 14, 26—28, 274—275
 - сопряженные 13, 29—31
- Слой
 - активных центров 210
 - заместителей 210
 - реагирующих атомов 210
- Сольватация 97, 98
- связь с диэлектрической постоянной 98
- Соотношение Хаммета 178
- Среднее число столкновений
 - молекул 275—286, 295—300
 - радикалов 149
- Статистическая сумма состояний 54, 55, 57, 61 сл.
- вращательного движения 59, 62, 63
- колебательного движения 58, 64, 65
- переходного комплекса 55, 57, 61—65
- поступательного движения 56, 62, 63
- Стационарное состояние 254, 256
- Стационарные процессы
 - примеры 112, 114
 - скорость диффузии 111 сл.
- Степени свободы движения молекулы 44, 51, 57, 62—67, 78, 80, 83
- переходного состояния 51, 56, 57, 62—67, 84
- распределение энергии 55
- Степень заполнения 237
- Стерический коэффициент 46, 51, 65, 66, 94, 99, 143, 147
 - в процессах рекомбинации радикалов 143
 - ионных реакций 99
 - примеры 95, 99
 - расчет 61—67
- Стерический фактор см. Стерический коэффициент
- Стехиометрическое уравнение реакции 9, 13
- Сублимационный член 211 сл.
- Субстрат 254 сл., 258 сл.
- Сукцингидраза 252
- Сукциндегидраза 252, 261
- Твердофазные реакции 106, 119—124
- Температурный коэффициент константы скорости реакции 61, 81, 85
- Теория (и)
 - бинарных соударений 36—39, 47—48, 64, 86 сл.
 - применимость к растворам 86—89
 - — — — — цепных реакций 132 сл.
 - Бренстеда 175, 176
 - гетерогенного катализа 183—186, 196—243
 - гомогенного катализа 168—172
 - кинетики 33—71

- абсолютных скоростей реакций 47—50, 63, 67—71
- активированного комплекса см. Теория абсолютных скоростей реакций
- активных столкновений см. Теория Аррениуса
- Аррениуса 33—36, 47
- бинарных столкновений 36—39, 47—48, 64, 86
- Кобозева—Шпитальского см. Теория гомогенного катализа
- Михаэлиса—Ментена 254
- окисления А. Н. Баха 184
- переходного состояния см. Теория абсолютных скоростей реакций
- сопряженных реакций Н. А. Шилова 13, 135
- полупроводникового катализа 227—233
- Теплоемкость органических веществ 265
- Теплота
 - адсорбции 182, 204, 205
 - активации 34—35, 37, 45, 69, 99, 250
 - зависимость от температуры 182
 - методы определения 35, 36
 - связь с энергией активации 43—45
 - ферментативных реакций 250
 - инактивации ферментов 58, 250
 - сольватации 97, 98
- Тиюферазы см. Трансферазы
- Трансмиссионный коэффициент 54, 60—61, 62
- Трансферазы
 - аминотрансферазы 252
 - метилтрансферазы 252
 - тиюферазы 252
 - фосфотрансферазы 252
- Третичная структура белка 262
- Тримолекулярные реакции 83—86
- газовые 83—86
- Трипсины 249
- Удельная каталитическая активность 217, 237, 239
- Уравнение
 - Аррениуса 35
 - Бренстеда 101, 103
 - Дебая—Гюккеля 99, 101
 - Зельдовича 188
 - изохоры реакции 34
 - Ленгмюра 186
 - Темкина М. И. 188
 - Фрейндлиха 188
 - Фрумкина—Шлыгина 189
 - Эйриштейна 90
- Уреаза 252

- Фактор кинетической активности 101
- Ферментативные реакции см. Ферментативный катализ
- Ферментативный катализ 161, 164, 249—267
 - механизм действия ферментов 257—263
 - моделирование 263—267
 - оптимум рН 249 сл.
 - отличие от
 - гетерогенного катализа 263
 - гомогенного катализа 263
 - микрогетерогенного катализа 263
 - специфичность 251—253, 261
 - формальная кинетика 254—257
- Ферменты 162, 249—253, 257—263
 - инактивация 249
 - — теплота 250
 - каталитическая активность 253 сл.
 - механизм действия 257—263
 - молекулярный вес 249
 - протеолитические 251
 - специфичность
 - абсолютная 252, 253
 - групповая 251—253
 - торможение активности 258 сл.
 - конкурентное 258, 261
 - число оборотов 253
 - флуоресценция 126
- Флуоресценция 126
- Формальная кинетика 5, 9—32, 47, 146, 166—168, 254—257
 - основные положения 9—18
 - простых реакций 18—22
 - сложных реакций 22—31
 - ферментативных реакций 254—257
- Формула
 - Гиббса 265
 - Морзе 67, 71
 - Смолуховского 148
- Фосфатазы 251
 - константа Михаэлиса 257
- Фосфотрансферазы см. Трансферазы
- Фотовосстановление см. Фотоперенос электронов
- Фотогидролиз см. Фотоприсоединение
- Фотодиссоциация 127, 245
 - ионная 127
 - радикальная 127, 137
- Фотоизомеризация см. Фотоперегруппировка
- Фотоионизация см. Фотодиссоциация ионная
- Фотокатализ 164, 244—248
 - механизм 246—248
 - фотодесорбция 244
 - фоторазложение адсорбента 245
 - фотораспад 245

- фотосорбция 245
- Фотокатализаторы 245, 246
- активность 248
- Фотолиз 127
- Фотолюминисценция см. Флуоресценция
- Фотоокисление см. Фотоперенос электронов
- Фотоокисдирование см. Фотопри-
соединение
- Фотоперегруппировка 128
- фотонизомеризация 128
- фототаутомеризация 128
- Фотоперенос электронов 128 сл., 139
- фотовосстановление 129
- фотоокисление 128
- Фотоприсоединение 128
- фотогидролиз 128
- фотодимеризация 128
- фотоокисдирование 128
- Фоторазложение адсорбента 245
- Фотораспад см. Фотодиссоциация
- Фотосенсибилизация 129
- Фотосорбция 245
- Фототаутомеризация см. Фотопере-
группировка
- Фотохимические реакции 126—132,
244—248
- законы 130—131
- катализаторы 244—248
- классификация 127—130
- скорость 131
- температурный коэффициент 130
- Фотоэффект
- внутренний 246
- поверхностный 245
- Фумараза 251
- Функция кислотности 176, 179

Хелатные комплексы 173, 174, 264

Хемосорбция 182, 183, 186—190,
204 сл., 227—236

- изотерма
- — Леигмюра 187
- — Фрейндлиха 188
- уравнение
- — Леигмюра 186
- — Темкина 188
- — Фрейндлиха 188
- зитропия 182, 190

Химическое уравнение реакции 11

Холодные пламена 134

Цепные реакции 126, 157, 236

- в жидкостях 144
- зарождение цепи 133
- неразветвленные 134, 142—148
- обрыв цепи 134
- особенности 132
- отличие от нецепных 132, 133

- разветвленные 134, 151—157
- развитие цепи 133
- скорость 146, 151—157
- — зависимость от давления 155

Число оборотов ферментов см. Фер-
менты, число оборотов

Число столкновений молекул

- в газах 275—286
- в растворах 295—300
- с поверхностью 302

Экситон 246

Электролитический эффект 100

- вторичный 103, 104
- первичный 100—103
- — квадратичный 103
- — линейный 103
- — отрицательный 103
- — положительный 103

Электронная проводимость 228 сл.

Энергия

- адсорбции 204 сл., 208, 209, 214
—216
- — методы вычисления 205, 214, 215
- активации 37, 42—45, 62, 67—71,
81, 89, 144, 146, 148, 204 сл., 234,
287 сл.
- — бимолекулярных реакций 89
- — в растворах 89, 91, 92, 99
- — гетерогенно-каталитических ре-
акций 163
- — зависимость от адсорбционного
потенциала 205 сл.
- — каталитических реакций 163
- — некаталитических реакций 163
- — расчет 67—71, 88
- — связь с теплотой активации 45
- — ферментативных реакций 60, 163
- — цепных реакций 145, 146, 148
- — электрона 228
- — внутренних колебаний молекулы
77, 288—295
- возгонки см. Энергия сублимаций
- возмущения 69
- возбуждения полупроводников 234
- десорбции 204 сл., 209
- — методы вычислений 205, 214,
215
- переходного состояния 67, 68, 71
- — зависимость от
- — конфигурации переходного
комплекса 68
- — — расстояний между атомами
68, 71
- распределение по степеням свобо-
ды движения молекул 55
- связи газовых молекул 208, 214
- сублимации 211 сл.
- — связь с адсорбционным потен-
циалом 211 сл.

- электростатического взаимодействия 99
- Энзимы см. Ферменты
- Энтальпия 50
 - активации 60
 - — экспериментальное определение 60, 61
- Энтропия 50, 51, 67
 - активации 50, 60, 164, 233
 - — экспериментальное определение 60, 61, 66
- Яды 181, 223—227, 241
 - избирательность 225
 - коэффициент токсичности 226
 - необратимые 223 сл.
 - обратимые 223 сл.
 - якорный эффект 227
- Якорный эффект см. Яды
- Якобнан 280, 291

ОГЛАВЛЕНИЕ

	Стр
Предисловие	3
Введение	5
<i>Часть I. Кинетика</i>	
Глава I. Формальная кинетика	9
§ 1. Основные положения и понятия кинетики	—
§ 2. Простые реакции	18
§ 3. Сложные реакции	22
§ 4. Влияние температуры на скорость реакции	31
Глава II. Теории кинетики	33
§ 5. Теория активных столкновений Аррениуса	—
§ 6. Теория бинарных столкновений	36
§ 7. Активные столкновения	39
§ 8. Теория абсолютных скоростей реакций	47
§ 9. Термодинамика переходного состояния	50
§ 10. Расчет стерического коэффициента	61
§ 11. Расчет энергии активации	67
Глава III. Кинетика гомогенных реакций	72
§ 12. Изменение порядка газовых реакций в зависимости от давления	—
§ 13. Бимолекулярные газовые реакции	75
§ 14. Мономолекулярные газовые реакции	77
§ 15. Тримолекулярные газовые реакции	83
§ 16. Бимолекулярные реакции в растворах	86
§ 17. Мономолекулярные реакции в растворах	89
§ 18. Медленные и быстрые реакции	93
§ 19. Первичный электролитический эффект	100
§ 20. Вторичный электролитический эффект	103
Глава IV. Гетерогенные реакции	105
§ 21. Кинетика гетерогенных процессов	—
§ 22. Диффузия	107
§ 23. Диффузионная кинетика при стационарном состоянии диффузионного потока	111
§ 24. Диффузионная кинетика при нестационарном состоянии диффузионного потока	115
§ 25. Кинетика реакций в твердой фазе	119
Глава V. Цепные реакции	126
§ 26. Фотохимические реакции	—
§ 27. Особенности цепных реакций	132
§ 28. Атомы и радикалы	136
§ 29. Неразветвленные цепные реакции	142

§ 30. Влияние материала и размеров сосуда на скорость цепной реакции	148
§ 31. Разветвленные цепные реакции	151

Часть II. Катализ

Введение	161
Глава VI. Гомогенный катализ	166
§ 32. Формальная кинетика гомогенного катализа	—
§ 33. Теория гомогенного катализа	168
§ 34. Механизм гомогенного катализа	172
§ 35. Кислотный и основной катализ	175
Глава VII. Гетерогенный катализ	181
§ 36. Специфика гетерогенного катализа	—
§ 37. Хемосорбция	186
§ 38. Поверхностные соединения	190
§ 39. Мультиплетная теория катализа	196
§ 40. Теория активной кристаллической поверхности	216
§ 41. Теория пересыщения	218
§ 42. Яды и активаторы в катализе	221
§ 43. Электронная теория катализа	227
§ 44. Радикальная теория катализа	23
§ 45. Теория ансамблей	23
§ 46. Микрогетерогенный катализ	241
Глава VIII. Фотокатализ	244
§ 47. Природа фотокаталитических процессов	—
§ 48. Механизм фотокатализа	241
Глава IX. Ферментативный катализ	241
§ 49. Ферменты	—
§ 50. Формальная кинетика ферментативных реакций	254
§ 51. Механизм действия ферментов	257
§ 52. Моделирование ферментативных реакций	263
Глава X. Торможение химических реакций	268
§ 53. Ингибиторы	—
§ 54. Механизм действия ингибиторов	269
§ 55. Автоторможение	272
Приложения	274
I Последовательные реакции	—
II Число столкновений молекул в газовой фазе	277
III Энергия внутренних колебаний молекулы	286
IV Число столкновений частиц в растворе	295
V Число столкновений частиц с поверхностью	302
Предметный указатель	303

Мстислав Сергеевич Захарьевский

Кинетика и катализ

Редактор В. Д. Пиастро

Художественный редактор А. А. Малахов

Техн. редактор Е. Г. Жукова Корректоры А. М. Сурпина, И. А. Симкина

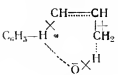
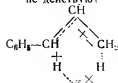


Сдано в набор 13 IX 1962 г. М 27124. Подписано к печати 25 III 1963 г.

Уч.-изд. л. 19,82. Печ. л. 19,62. Бум. л. 9,81. Формат бум. 60 × 90¹/₁₆

Тираж 7700 экз. Заказ 686. Цена в переплете 69 к.

Типография ЛОЛГУ Ленинград, Университетская наб., 7/9

ОПЕЧАТКИ И ИСПРАВЛЕНИЯ

Страница	Строка	Напечатано	Следует читать
142	6 сверху	не действует	не действуют
173	13 .		
201	9 .	На рис. 42 и 45	На рис. 42
205	23 .		
286	7 .		

ИЗДАТЕЛЬСТВО ЛЕНИНГРАДСКОГО УНИВЕРСИТЕТА • 1963

69 к.